

А.Х. МНАЦАКАНЯН

ПЕТРОЛОГИЯ ВЕРХНЕМЕЛОВОЙ
ВУЛКАНИЧЕСКОЙ СЕРИИ
СЕВЕРНОЙ АРМЕНИИ

ՀԱՅԿԱԿԱՆ ՍՍՀ ԳԻՏՈՒԹՅՈՒՆՆԵՐԻ ԱԿԱԴԵՄԻԱ
ԵՐԿՐՈԱԲԱՆԱԿԱՆ ԳԻՏՈՒԹՅՈՒՆՆԵՐԻ ԻՆՍՏԻՏՈՒՏ

Ա. Խ. ՄՆԱՑԱԿԱՆՅԱՆ

ՀՅՈՒՄԻՍԱՅԻՆ ՀԱՅԱՏԱՆԻ
ՎԵՐԻՆ ԿԱՎՃԻ ՀՐԱԲԽԱԾԻՆ
ՍԵՐԻԱՅԻ ՊԵՏՐՈՎՈԳԻԱՆ



ՀԱՅԿԱԿԱՆ ՍՍՀ ԳԱ ՀՐԱՏԱՐԱԿՉՈՒԹՅՈՒՆ
ԵՐԵՎԱՆ 1981

АКАДЕМИЯ НАУК АРМЯНСКОЙ ССР
ИНСТИТУТ ГЕОЛОГИЧЕСКИХ НАУК

А. Х. МНАЦАКАНЯН

ПЕТРОЛОГИЯ ВЕРХНЕМЕЛОВОЙ
ВУЛКАНИЧЕСКОЙ СЕРИИ
СЕВЕРНОЙ АРМЕНИИ

ИЗДАТЕЛЬСТВО АН АРМЯНСКОЙ ССР
ЕРЕВАН

1981

Печатается по решению ученого совета
Института геологических наук
АН Армянской ССР

Ответственный редактор
К. И. КАРАПЕТИАН

Рецензенты:
доктор г.-м. наук А.Ф. БЕЛОУСОВ
канд. г.-м. наук Б.П. ЗОЛОТАРЕВ

В работе излагаются особенности внутреннего строения вулканической серии среднего звена Предмалокавказского верхнелемового вулканического пояса и рассматриваются петрографические признаки — показатели последовательности кристаллизации интрапетиурических фаз. Обобщается опыт комплексного изучения состава породообразующих минералов, их кристаллохимической структуры и парагенетических ассоциаций. Закономерности составов существующих пар минералов использованы в качестве геотермометров. Количественные оценки температур интрапетиурической кристаллизации, режима кислорода и водного флюида позволили обосновать мантийную природу исходных базальтовых расплавов и коровую природу липаритовых. Выявлены конкретные минералогические и петрохимические критерии дискретности составов в изученном ряду базальт-андезит-липарат и высказываются соображения об автономности соответствующих вулканических очагов, определяемой различиями магмообразующих субстратов.

Круг затронутых в работе вопросов актуален для магматической петрологии и интересен для широкого круга петрографов и минералогов.

М 1904020000
703(02) - 81 82-80

© Издательство АН Армянской ССР. 1981

ПРЕДИСЛОВИЕ.

За последнее десятилетие заметно усилился интерес к изучению химизма породообразующих минералов, их кристаллохимической структуры и парагенетических ассоциаций в рамках определенных петрохимических комплексов пород. Эти исследования дают возможность на основе известных работ, систематизирующих экспериментальные материалы, оценить физико-химические условия кристаллизации магм различного состава и генезиса, особенности их флюидного и температурного режимов. Важно при этом подчеркнуть, что приложение физико-химических данных к природным объектам требует определенных строгих ограничений, поэтому рассмотрение генетических вопросов должно сочетаться с полевыми геологическими исследованиями, петрографическими описаниями и с химизмом изучаемых магматических комплексов. Главная задача настоящей книги состоит в том, чтобы на примере верхнемеловой вулканической серии Северной Армении, слагающей среднее звено Предмалокавказского вулканического пояса, обобщить результаты применения геологических, петрографических и химико-минералогических методов, обсудить на этой основе генезис вулканических пород данной серии и выявить петрохимические и минералогические критерии дискретности в изученном ряду базальт-андезит-липарат. Другим, геотектоническим аспектом, обсуждаемым в работе, является временная и пространственная сопряженность формирования названной серии со среднеальпийским этапом деструкции и погружения Закавказского срединного массива.

х х

Выбор верхнемеловых вулканических пород северной части Армянской ССР в качестве объекта для специальных минералогических исследований определялся следующими их особенностями: 1) разнообразием типов пород и сравнительно свежим, кайнотипным обликом вулканической серии в целом; 2) высоким содержа-

нием и крупными размерами порфировых вкрапленников; 3) широким набором минералов, отвечающих непрерывному и прерывистому реакционным рядам Н.Боуэна, и значительным диапазоном колебаний их составов.

В процессе исследований проводилось раздельное изучение фракций фенокристаллов и основной массы, определялся валовой химический состав пород разновозрастных вулканических комплексов, слагающих данную серию. При подборе штуковых проб и искусственных шлихов по возможности исключались породы с признаками субъектного поствулканического преобразования. Извлечение мономинеральных навесок проводилось из фракций +0,25, +0,4 мм, заведомо отвечающих размерам порфировых выделений в изученных породах. Из порошков магнитных фракций изготавливались анишлифы для изучения сростков магнитных минералов и структур распада твердых растворов. Состав фенокристаллов всех минералов изучался на основе оптических определений, химических, рентгенометрических и спектральных анализов. Для биотитов, плагиоклазов и вулканических стекол использовались также результаты термического анализа, выполненного в лаборатории ИГН АН Арм. ССР под руководством И. Х. Петросова, и применялся метод инфракрасной спектроскопии (аналитики Л. Г. Кузнецова и Э.А. Липатова, ВСИГИ).

В большинстве случаев разделение вкрапленников различных генераций оказалось затруднительным и поэтому приведенные в работе химические анализы минералов следует рассматривать как средние составы тех или иных фаз интрапеллурической кристаллизации. Химические анализы минералов (60 обр.) и пород (90 обр., включая основные массы) выполнялись в химической лаборатории ИГН АН АрмССР (руководитель О.А.Бозоян, аналитики А.А.Петросян, Л.А.Оганесян, Э.Ш.Гаспарян, Г.М.Джрабашян, С.Г.Чаталян); содержания элементов группы железа в минералах определены количественно-спектральным методом в лаборатории под руководством Г.М.Мкртчяна; коэффициенты парной корреляции окислов в различных выборках химических анализов рассчитаны в лаборатории математических методов ИГН (руководитель Х.Г.Давтян).

Исключительно трудоемкая работа выполнена Э.Х.Хуршудяном по рентгенометрическому исследованию мономинеральных фракций вкрапленников, которое проводилось на современных отечественных дифрактометрах УРС-50ИМ, ДРОН-0,5 и ДРОН-2. Методика съемки и расшифровка каждого минерала совершенно индивидуаль-

на; результаты усреднены посредством повторных съемок с малой скоростью сканирования и с помощью внутренних и внешних стандартов. Полученные данные использованы в диагностике, расчете некоторых параметров кристаллической решетки, для определения главных типов изоморфных замещений, влияния химического состава на интенсивность рефлексов и величину параметров, а также для расшифровки фазового состава отдельных монофракций.

В данной работе использованы также результаты флюидного анализа 40 образцов вулканических пород верхнемеловой серии, выполненного методом высокотемпературной газовой хроматографии в лаборатории экспериментальной и теоретической петрологии Института Земной коры СО АН СССР (руководитель Ф.А.Летников, аналитик Н.В.Забоева).

В подготовке настоящей работы принимали участие Л.Г.Хачатryan, М.А.Индигикян, В.В.Закеян, Бабаян Д.Р. и Назаретян Л.Р.

Г л а в а I

ГЕОЛОГИЧЕСКОЕ СТРОЕНИЕ И СОСТАВ ВЕРХНЕМЕЛОВОЙ ВУЛКАНИЧЕСКОЙ СЕРИИ СЕВЕРНОЙ ЧАСТИ АРМЯНСКОЙ С С Р

Основные вопросы, связанные с геологическим строением, стратиграфическим расчленением осадочных, вулканогенно-осадочных и вулканических образований и развитием крупных структурных единиц северо-восточной части Армянской ССР получили свое разрешение в работах А.Т.Асланяна /1/, А.А.Атабекяна /2/, Г.А.Чубаряна и М.А.Аракеляна /3/, Г.А.Туманяна /4/ и других исследователей. Специальные литологические и фациально-палеогеографические исследования верхнемеловых отложений данной территории, выполненные М.А.Сатианом /5/, выявили неоднородность в распределении фаций осадочных и вулканогенно-осадочных пород, связанную с различными тенденциями развития отдельных крупных зон. В ранних работах автора /6, 7, 8/ проведена расшифровка внутреннего строения верхнемеловой вулканической серии и описана фациальная изменчивость вулканических образований. Выявлены реперные фациальные типы пород (эпикластические брекчи и конгломерато-брекчи, спекшиеся туфы-игнимбриты), характеризующие прибрежно-морской, островной режим верхнемелового вулканизма. Петрографические и петрохимические особенности вулканических пород позволили выделить две конкретные вулканические формации, образующие вертикальный ряд.

Ниже кратко рассмотрены лишь наиболее существенные стороны геологии и структурного положения верхнемеловых вулканических образований, которые могут служить отправными моментами в проведенном исследовании.

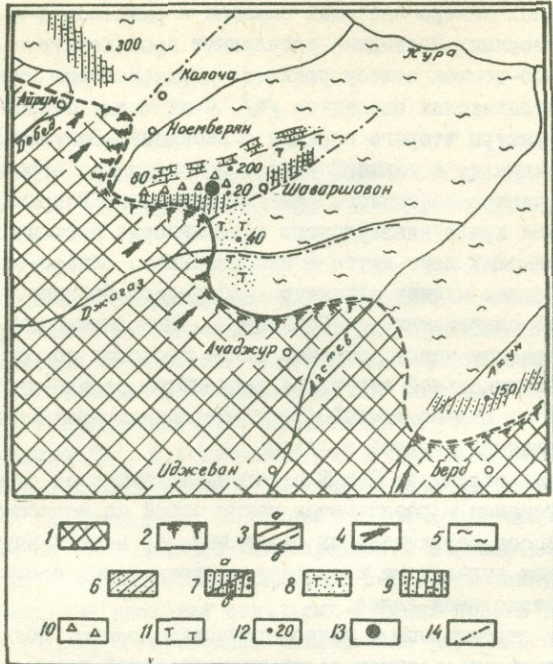
В региональном тектоническом плане верхнемеловые отложения междуречья Дебед-Тауш приурочены к Прикуриńskiej мегасинклинальной зоне и к периклинальным частям Алавердского и Шамшадинского антиклиниориев, входящих в Сомхето-Карабахскую мегаантклинальную зону /1/. Зона перехода названных антиклиниориев к Прикуринской структуре имеет сложное строение, определяемое соче-

танием продольных северо-западных складок и разломов с поперечными антикавказскими. Последние расчленяют протяженную с северо-запада на юго-восток полосу развития верхнемеловых отложений на ряд тектонических элементов /4/. К их числу относятся поперечные структуры второго порядка - Дебедашен-Банушская и Иджеванская синклинали, а также Таузская моноклиналь, ограниченные разломами северо-восточного или близширотного направления. Северо-восточное крыло Алавердского антиклиниория состоит в свою очередь из сменивших друг друга в направлении с северо-запада на юго-восток более мелких структур - Айрумской брахиантеклинали, Папакарской синклинали и Воскепар - Шаваршаванской брахиантеклинали, границы между которыми также проходят по разломам. В Таузской моноклинальной структуре выделяются северо-западный (Паравакарский) и юго-восточный (Товуз-Неркинкармирахбюрский) участки, разделенные долиной р. Ахум.

Перечисленные структуры II и III порядков являются по существу конседиментационными и различаются между собой по мощности отдельных комплексов верхнемеловых отложений, времени и интенсивности проявления вулканизма и составу вулканических продуктов, на чем мы и остановимся далее.

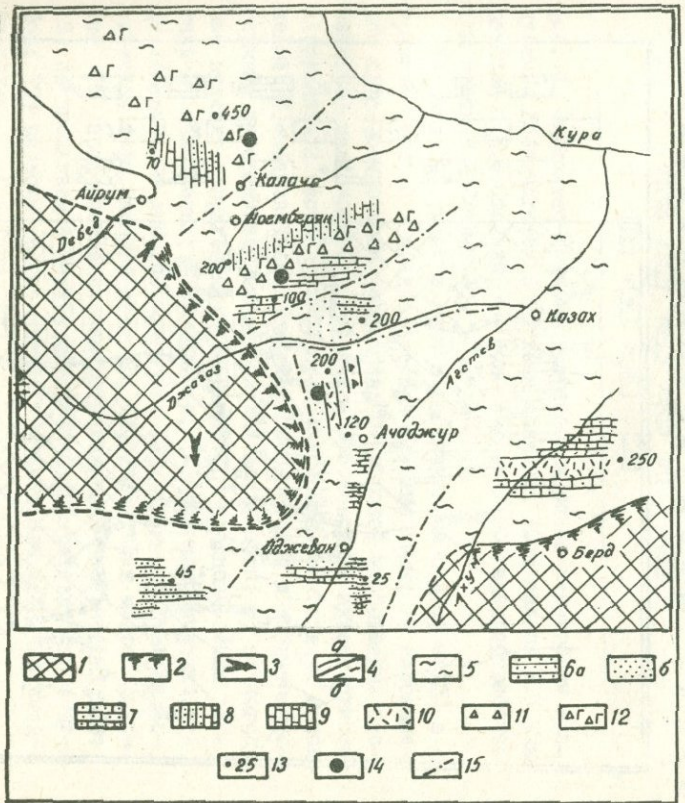
Обращаясь к структурным и палеологическим данным, подчеркнем, что формирование верхнемеловой вулканической серии данного региона связано с развитием новообразованного Прикуринского прогиба и сопряженных с ним поперечных структур. Образование Прикуринского прогиба отвечает самостоятельному альб-верхнемеловому этапу развития области; его заложение сопровождалось раздроблением южной и юго-западной частей Закавказского срединного массива вдоль системы Предмалокавказских разломов глубокого заложения. Последние были смещены к северо-востоку относительно консолидированных юрских структур, но наследовали их северо-западное простиранье. Образовались, кроме того, новые и активизировались древние поперечные разломы, по которым закладывались Иджеванская и Таузская впадины. О проявлении этих поперечных нарушений в современной структуре региона было сказано выше.

Изучение послойных разрезов и внутреннего строения верхнемеловой серии позволило выделить в ее составе три крупных комплекса пород, подчекивающие последовательность развития вулканического процесса во времени. Это комплексы сеномана-нижнего турона, верхнего турона - нижнего конька, верхнего ко-

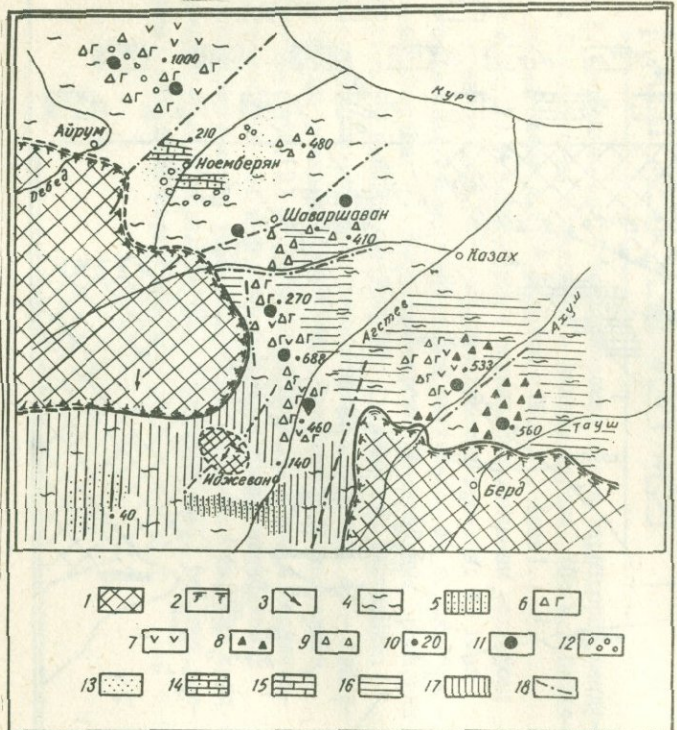


Фиг. I. Фациально-палеогеографическая схема территории между речьми Дебед-Агстев в сеномане - нижнем туроне. (По М.А.Сатиашвили с дополнениями А.Х.Мнацаканян и Ж.О.Степанян).

I) суши; 2) участки суши с сильно расчлененным рельефом;
 3) а - граница суши, б) - предполагаемая граница; 4) главное направление сноса обломочного материала; 5) морской мелководный бассейн; 6) прибрежно-морские мелководные органогенно-детритовые известняки, мергели, туффитовые песчаники; 7) а) - прибрежно-морские полимиктовые песчаники, б) - гравелиты; 8) прибрежно-морские туфопесчаники, туфоалевролиты, псамитовые туфы; 9) прибрежно-морские песчаники и песчанистые известняки; 10) пирокластические брекчии андезитов; 11) литокластические туфы андезитов; 12) мощности; 13) предполагаемые центры вулканических извержений; 14) разломы, разделяющие отдельные структуры.

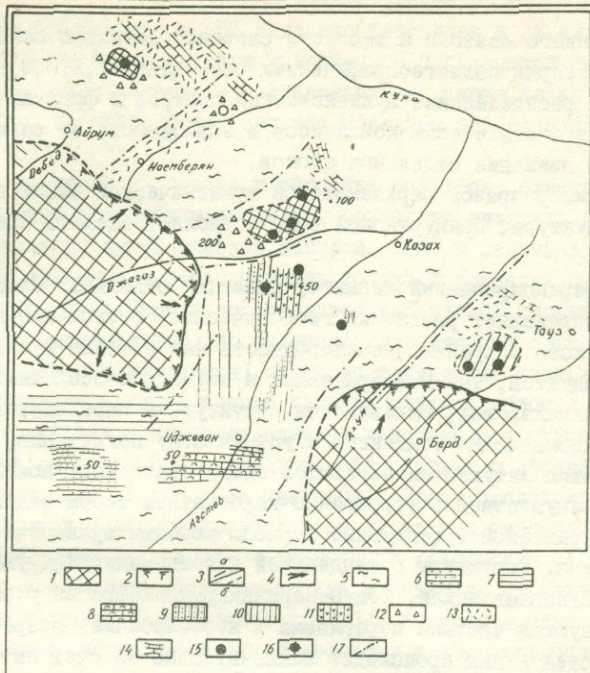


I) суши; 2) участки суши с расчлененным рельефом; 3) главное направление сноса обломочного материала; 4) а - граница суши, б - предполагаемая граница; 5) морской мелководный бассейн; 6) а - прибрежно-морские и мелководные песчаники, туффитовые песчаники с линзами рудистовых известняков, б - полимиктовые песчаники; 7) прибрежно-морские туфопесчаники, туффиты, известковистые песчаники и гравелиты; 8) прибрежно-морские полимиктовые песчаники и песчанистые известняки; 9) органогенно-детритовые известняки; 10) спекшиеся туфы андезито-дацитового состава; 11) пирокластические брекчии андезитов; 12) эпиклассические брекчии оливиновых базальтов и андезито-базальтов; 13) мощности; 14) предполагаемые центры вулканических извержений; 15) разломы, разделяющие отдельные структуры (конседиментационные по Г.А.Туманяну /6/).



Фиг. 3. Фациально-палеогеографическая схема территории междууречья Дебед-Агстев в верхнем коньяке - нижнем сантоне. (Составлена А.Х.Мнацаканян и Ж.О.Степанян на основе фациально-палеогеографической карты М.А.Сатиана).

I) суши; 2) участки суши с сильно расчлененным рельефом; 3) направление сноса осадочного материала; 4) морской мелководный бассейн; 5) морские мелководные вулкано-терригенные песчаники и алевролиты; 6) прибрежные эпикластические брекчии оливиновых базальтов, конгломераты, вулкано-терригенные песчаники; 7) базальтовые лавы; 8) пирокластические брекчии базальтов; 9) пирокластические брекчии андезитов; 10) мощности отложений; II) предполагаемые центры вулканических извержений; 12) терригенные и вулкано-терригенные гравелиты; 13) полимиктовые песчаники; 14) известковистые песчаники; 15) микрозернистые известняки; 16) площадь возможного накопления вулканических пород; 17) площадь возможного накопления вулкано-терригенных песчаников; 18) разломы, разделяющие отдельные структуры (конседиментационные по Г.А.Туманяну).



Фиг. 4. Фациально-палеогеографическая схема территории междуречья Дебед-Агстев в верхнем сантоне. (Составлена А.Х.Мнапакянин и Ж.О.Степанян на основе фациально-палеогеографической карты М.А.Сатиана).

1) суша; 2) участки суши с расчлененным рельефом; 3) а - граница суши, б - предполагаемая граница суши; 4) направление сноса осадочного материала; 5) морской мелководный бассейн; 6) мелководные и умеренно-глубоководные известковистые алевролиты и песчаники; 7) предполагаемая мощность их накоплений; 8) мелководные органогенно-обломочные и дегрито-биогермные известняки, известковистые алевролиты; 9) мелководные вулкано-терригенные песчаники; 10) предполагаемая площадь их накопления; 11) андезиты; 12) литокластические туфы липаритов и липарито-дацитов; 13) витро-кристаллоклассические туфы кислого состава; 14) известняки микрозернистые; 15) предполагаемые центры извержений андезитовых лав; 16) предполагаемые центры извержений липаритовых лав и туфов; 17) разломы, разделяющие отдельные блоки (конседиментационные по Г.А.Туманяну).

ньяка – нижнего сантонса и верхнего сантонса, детально описанные ранее. Серия палеогеографических схем (фиг. I, 2, 3, 4) иллюстрирует распределение вулканических центров и фациальные изменения в составе этих комплексов в зависимости от различных темпов движения отдельных блоков.

Сравнение разрезов верхнемеловой вулканической серии в различных структурах Прикуринской зоны позволяет сделать следующие выводы:

1. Дифференцированный характер движений отдельных блоков-структур определяет различные геологические соотношения крупных комплексов и крайнюю неоднородность как состава вулканических продуктов, так и терригенных и нормально-осадочных отложений. Папакарская, Иджеванская структуры и Паравакарский участок, проявляющие тенденцию к устойчивому погружению, характеризуются затуханием перерывов между отдельными комплексами и преимущественно терригенно-карбонатным типом седimentации, прерываемой в отдельные периоды мощными вулканическими извержениями. Структуры с тенденцией к воздыманию (Айрумская, Воскепар-Шаваршаванская, Товуз-Неркинкармир-ахбурский участок) характеризуются частыми перерывами и несогласиями; возрастание мощностей в них происходит исключительно за счет интенсивного поступления лав и грубообломочного вулканического материала.

2. Выявляется общая антидромная последовательность в смене составов вулканических извержений начиная от сеномана – верхнего турона до верхнего сантонса. Однако наиболее мощные вулканические извержения, связанные с активизацией глубоких разломов, развивались в гомодромной последовательности. Конtrастные вулканические ряды свойственны структурам с восходящей тенденцией, что четко устанавливается на примере Айрумской, Воскепар-Шаваршаванской структур и Товуз-Неркинкармир-ахбурского участка. Количественные соотношения разностей внутри единой конъяк-сантонской серии этих структур примерно отвечают 45–70% – оливин-плагиоклаз-пироксеновых и плагиоклазовых базальтов, 5–10% – андезитов и андезито-базальтов и 25–30% – дацитов и липаритов. В Иджеванском прогибе и на Паравакарском участке та же возрастная серия более однородна и устойчиво сохраняет основной – средний состав при различном количественном соотношении продуктов (примерно 80% базальтов и 20% андезитов и андезито-базальтов в Иджеванской струк-

туре и 90% базальтов, 5% андезито-базальтов и 5% кислых производств - на Паравакарском участке). В Папакарской синклинальной структуре сеноман - нижнеконьякская серия также имеет основной - средний состав при значительном преобладании андезитов (70%).

3. Вариации в составе и строении разрезов, отвечающих определенным возрастным пределам, позволяют очертить районы со средоточения вулканических центров. Так, в сеномане - нижнем туроне эти центры располагались только в пределах Папакарской структуры и на Паравакарском участке Таузской структуры. Ко времени максимального проявления вулканических процессов (верхний коньак-нижний сантон) очаги вулканических извержений сосредотачивались вдоль границ главных структур-блоков с Алавердинским поднятием и приурочивались к участкам пересечения продольных разломов Предмалокавказской системы с поперечными. Вулканические центры типа шлаковых конусов представляли цепочку островов и контролировались на отдельных участках разноориентированными разломами-близширотными /Айрумская структура/, северо-восточными /Шаваршаванская и Таузская структуры/, северо-западными /Иджеванский прогиб/. В верхнем сантоне очаги вулканализма смещаются к северо-востоку и сосредотачиваются в единой полосе поднятия. В качестве основной магмоконтролирующей системы сохранились Предмалокавказские разломы; структурный контроль II порядка осуществлялся субмеридиональными разломами.

4. Парагенезис пород, свойственный коньак-сантонским вулканическим накоплениям, фаинальные изменения и значительные мощности эпикластических и пирокластических продуктов указывают на их принадлежность к переходной вулканогенно-осадочной формации вулканических островов. По преобладающему типу пород в пределах главных структур-блоков выделяются две формации - оливин-базальт-андезитовая и липаритовая, образующие вертикальный ряд. Геологические признаки, описанные ранее /6,7/, могут с вероятностью свидетельствовать о существенном участии газово-флюидной (водной) фазы в исходных расплавах. К этим признакам для I формации относятся: резкое преобладание в обломочной части брекчий шлаковых выбросов, широкое развитие манделыштейновых оторочек в лавовых потоках, субвулканических телах и дайках, поствулканические процессы с образованием комплекса водосодержащих минералов; для II формации - значи-

тельный объем взрывоопасных продуктов (туфы различной разности, пеплы), наличие пемзовых туфов, потоков и даек обсидианов и обсидиан-перлитов, их неоднородное строение и появление в закаленных зонах потоков стекловатых шаровидных обособлений, происхождение которых можно объяснить путем разделения расплава на две несмешивающиеся жидкости.

ГЛАВА II

О ГЛУБИННОМ СТРОЕНИИ СЕВЕРО-ВОСТОЧНОЙ ЧАСТИ АРМЯНСКОЙ ССР

Известные из литературы данные свидетельствуют о том, что в северо-восточной части Сомхето-Карабахской зоны фундаментом складчатых серий коры и мела является регионально развитый древний (байкальский) метаморфический комплекс. На поверхности известен целый ряд вторично-блоковых выступов-обнажений этого метаморфического комплекса (Локский массив, выходы в верховьях рек Ахум, Асрик-чай и др.). Предполагается, что в основании мезозойской геосинклиналии данный метаморфический этаж мог в последующем играть роль сиалического слоя коры.

В раннеалыйское время (юра-нижний мел) происходило раскалывание Закавказского срединного массива доальпийской консолидации и заложение Сомхето-Карабахской эвгеонтиклиналии, которая претерпевает инверсию и складчатость на рубеже нижнего и верхнего мела. Прикуринская система верхнемеловых структур развивалась позднее вдоль пограничной зоны между названным срединным массивом и новообразованным Сомхето-Карабахским поднятием. Общий региональный план, план складчатости юрско-неокомских и верхнемеловых отложений в целом совпадает один с другим и отвечает северо-западному направлению. Отмечается вместе с тем и дискордантное соотношение пликативных структур и развитие в верхнемеловых отложениях поперечных северо-восточных складок, формирование которых связывается с унаследованием плана дислокаций древнего метаморфического комплекса.

Описываемый регион характеризуется относительно слабым развитием послеверхнемеловых отложений. В восток-северо-восточной полосе Иджаванского прогиба известны маломощные осадочные отложения среднего эоценена и отмечаются проявления базальтового вулканизма /9/. Более поздние тектонические движения в регионе, начавшиеся в олигоцен-нижнем миоцене и продолжавшиеся в неотектонический этап, связаны с интенсивным прогибанием Кури-

ской межгорной впадины и моноклинальным поднятием северо-восточного склона. Малого Кавказа /I, 10/. При этом основные неотектонические структурные элементы отчетливо наследуют древние донеогеновые пликативные структуры. Выясняется, таким образом, что проявления новейшего тектогенеза развиваются унаследованно от ларамийского и альпийского. В этой связи важно подчеркнуть, что и глубинные структуры региона и крупные геофизические аномалии так же развиваются в значительной степени унаследованно /3, II/.

Рассматриваемой области развития верхнемеловой вулканической серии отвечает обширное поле положительных аномалий силы тяжести - Алавердско-Иджеванская зона максимума по Ш.С.Оганесяну /12/. Эта зона входит в протягивающийся вдоль южной границы Куринской депрессии Мартуни-Тбилисский гравитационный максимум, соответствующий геологическим границам Сомхето-Карабахской зоны. Последняя отделяется от Прикуринской межгорной впадины системой глубоких разломов и флексур, фиксируемой гравитационными ступенями /13/.

По данным гравиметрии и по результатам сейсмозондирования общая мощность земной коры в северо-восточной части Сомхето-Карабахской зоны оценивается цифрами порядка 45-48 км. Поверхность древнего фундамента залегает примерно на глубине 4-5 и менее километров; глубина поверхности Мохо составляет 45-42 км. Как показали Б.К.Балавадзе и Г.К.Твалтвадзе, а позднее и А.Р. Арутюнян /14/ для области характерен общий подъем "базальтового" слоя в направлении с северо-запада на юго-восток. В том же направлении убывает в целом небольшая (7-13 км) мощность "гранитного" слоя коры. Таким образом, в основании Прикуринской системы верхнемеловых структур складчатый фундамент залегает относительно неглубоко и по данным И.О.Цимельзона /15/ наиболее приподнятое положение занимает в пределах Шамшадинского антиклиниория. Более поздние исследования /13/ показали, что в северо-западной области, в пределах Айрумской, Папакарской и Воскепар-Шаваршаванской структур, поверхность фундамента залегает от уровня моря на глубине 2-3 км, в Иджеванском прогибе - 3-4 км и в Таузской структуре - 1,5 - 2 км.

Алаверди-Иджеванская зона гравитационного максимума по описанию Ш.С.Оганесяна характеризуется монотонным нарастанием аномалий силы тяжести в северо-восточном направлении и отличается линейной северо-западной вытянутостью их. Эта зона

неоднородна и указанный автор выделяет в ее пределах северо-западный Ламбалинский относительный максимум (нижнее течение р.Дабед) и Севкарский минимум, ограниченный с юго-запада, северо-запада и северо-востока полосами относительно повышенных градиентов силы тяжести. Этот минимум пространственно совпадает с локальной Севкар-Саригюхской зоной верхнесантон-кампансского погружения в пределах Иджеванского прогиба. Внутри самого Иджеванского прогиба геофизические данные последних лет обнаружили приподнятое положение кровли "базальтового" слоя, отсутствие гранитного слоя и залегание раздела Мохо на глубине около 40 км (участок с.Узунтала - г. Иджеван). Разломы, ограничивающие данную структуру, отчетливо выражены также в рельфе поверхности фундамента. Кроме того, в рельфе поверхности фундамента устанавливаются сквозные поперечные разломы в основании Таузской моноклинальной структуры и вдоль границы Айрумской и Папакарской структур.

Таким образом, для глубинного строения региона характерно высокое положение метаморфического субстрата и верхней границы "базальтового" слоя. Интенсивные положительные аномалии силы тяжести, рельеф субстрата и крупные поперечные нарушения структуры гравитационного поля в региональном плане совпадают с главными мезозойскими складчатыми и дислокативными структурами. Эти особенности позволяют предполагать, что начало глубинных процессов, вызывающих эти аномалии и приводящих к возрастанию мощности "базальтового" слоя и редуцированию "гранитного", может быть связано с юрско-верхнемеловой историей развития региона.

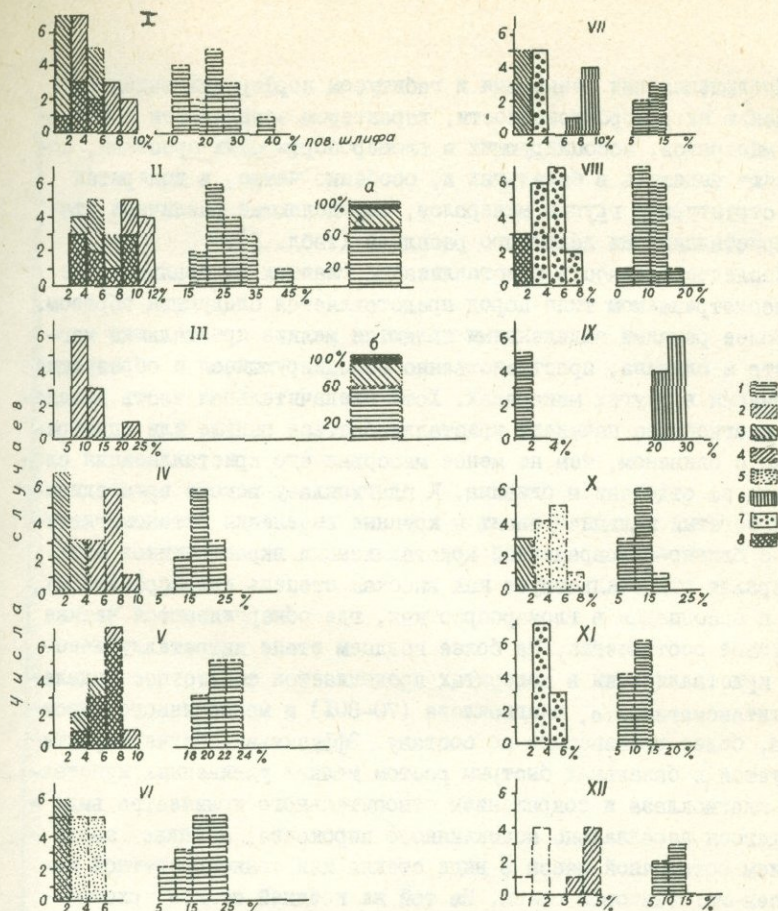
ГЛАВА Ш.

КРАТКАЯ ПЕТРОГРАФИЧЕСКАЯ ХАРАКТЕРИСТИКА ВЕРХНЕМЯЛОВЫХ ВУЛКАНИЧЕСКИХ ПОРОД

Систематическое петрографическое описание всех разновидностей пород лавовой, субвулканической и пирокластической фаций выполнено ранее /6, 7/. Приводимая ниже табл. I характеризует наиболее свежие, не затронутые или слабо затронутые вторичными изменениями типы пород. Эти породы представлены разностями лавовой, субвулканической и жерловой фацией. Количественное содержание порфировых выделений в них представлено на фиг. 5 в виде гистограмм распределения.

Рассмотрим кратко основные особенности пород и, в частности, те петрографические признаки, которые могут явиться показателями последовательности кристаллизации, условий интраплаттерурической и эфузивной кристаллизации, а также морфологии интраплаттерурических faz.

Базальты и долериты представлены эвпорфировыми плагиоклаз-оливин-клинопироксеновыми и собственно оливиновыми (тип "A") разностями. В первых разностях суммарное содержание вкрапленников плагиоклаза, оливина, клинопироксена и магнетита составляет в базальтах в среднем 30–40% поверхности шлифа, в долеритах 40–50%. В составе порфировых выделений исключительно велика доля плагиоклаза с интервалом значений в базальтах 20–30, иногда 35–40%, в долеритах – 20–35%, вплоть до 40–45% поверхности шлифа. В базальтах содержание оливина и моноклинного пироксена примерно равное при небольшом преобладании оливина, в то же время в долеритах наряду с общим возрастанием количества вкрапленников темноцветных заметно возрастает роль оливина. Собственно оливиновые долериты занимают в данной группе обособленное положение. Они содержат в фенокристаллах исключительно один оливин в сростках с хрошинеллю; среднее значение содержаний оливина приходится на интервал 5–15%, возрастаая в отдельных случаях до 20–25% поверхности шлифа.



Фиг. 5. Состав и содержание порфировых вкрапленников в группах пород верхнемаловой серии: I - оливин-плагиоклаз-пироксеновые базальты (15 шлифов); II - оливин-плагиоклаз-пироксеновые долериты (15 шлифов); III - оливиновые долериты (10 шлифов); IV - гиперстеновые андезито-базальты (12 шлифов); V - двупироксеновые андезито-базальты (13 шлифов); VI - плагиоклазовые и плагиоклаз-пироксен-рогообманковые андезиты (15 шлифов); VII - кварц-биотитовые дацины (5 шлифов); VIII - биотитовые липариты и липарито-травтихи (15 шлифов); IX - кварцевые липариты (10 шлифов); X - рогообманковые липариты и липарито-дацины (10 шлифов); XI - биотитовые обсидианы (10 шлифов); XII - гиперстен-рогообманковые перлиты (5 шлифов).

I) плагиоклаз; 2) клинопироксен; 3) оливин; 4) гиперстен; 5) роговая обманка; 6) кварц; 7) биотит; 8) сапфир.

Наблюдения над размерами и габитусом порфировых выделений, степенью их резорбированности, характером зональности и составом минералов, ассоциирующих в гломеропорфировых сростках, позволяют выделить в базальтах и, особенно четко, в долеритах три структурные группы минералов, определяющие различные этапы кристаллизации исходного расплава (табл. I).

Последовательность кристаллизации главных минеральных фаз в рассматриваемом типе пород представляется следующим образом. Наиболее ранними выделениями являются мелкие кристаллики магнетита и оливина, пространственно ассоциирующиеся и образующие включения в других минералах. Хотя незначительная часть выделений плагиоклаза начинала кристаллизоваться раньше или одновременно с оливином, тем не менее массовая его кристаллизация следовала за отделением оливина. К плагиоклазу вскоре присоединяются богатый кальцием авгит и крупные выделения титаномагнетита; о близко-одновременной кристаллизации вкрапленников этих минералов свидетельствует как высокая степень идиоморфизма их, так и ассоциация в гломеросростках, где обнаруживаются четкие ойтовые соотношения. На более позднем этапе интрапеллурической кристаллизации в долеритах продолжается совместное выделение титаномагнетита, плагиоклаза (70–80%) и моноклинного пироксена, более железистого по составу. Эффузивная стадия характеризуется в базальтах быстрым ростом мелких удлиненных кристаллов плагиоклаза и сокращением относительного количества выделяющегося параллельно моноклинного пироксена, а также застыванием остаточной массы в виде стекла или тонкоагрегатной пироксен–магнетитовой смеси. На той же поздней стадии кристаллизации в долеритах продолжается выделение плагиоклаза (60–75% An) и моноклинного пироксена в количественных соотношениях примерно 70:30, а также обособление палагонит–анальцимового кристаллизационного остатка. Фенокристаллы плагиоклаза и клинопироксена I структурной группы на эффузивной стадии обрастают зональными каемками и резорбируются основной массой.

Кристаллизация долеритов типа "A" происходит в два последовательных этапа – выделение интрапеллурических вкрапленников оливина (и хромита) и совместное образование плагиоклаза и клинопироксена в позднюю стадию; количественное соотношение последних примерно отвечает 60:40.

Двупироксеновые и гиперстеновые андезито–базальты так же относятся к эвпорфировым разностям и содержат в различных ко-

Таблица I

Петрографическая характеристика главных типов пород
верхнемеловой вулканической серии северо-восточной части Армянской ССР

Комплекс	Типы пород	Минеральный состав и размеры зерен фенокристаллов (в мм)			Структура основной массы	Распространение
		Фенокристаллы I генерации	Фенокристаллы II генерации	Основная масса		
I	2	3	4	5	6	7
Верхнеконъкт-нижнесантонский	Оливин-плагиоклаз-пироксеновые базальты	плагиоклаз (дл. 2.2-1.6 шир. 1.8-1.3) клинопироксен (дл. 2.5-0.4) оливин (дл. 1.1-0.4) титаномагнетит (0.2-0.5)	плагиоклаз (дл. 0.9-0.5 шир. 0.2-0.1)	микролиты и лейсты плагиоклаза, клинопироксен, магнетит, вулканическое стекло	микродолеритовая, гиалопилитовая	Широко развиты в Прикурийской зоне, Иджеванском и Таузском прогибах. Слагают дайки, потоки, обломки в брекчиях
	Оливин-плагиоклаз-пироксеновые долериты	плагиоклаз (дл. 3.3-0.5 шир. 1.5-0.2) клинопироксен (дл. 2.7-0.4) оливин (дл. 2.8-0.7) титаномагнетит (0.7-1.2)	плагиоклаз (дл. 0.9-0.4 шир. 0.4-0.1) клинопироксен (дл. 0.3-0.1)	лейсты плагиоклаза, клинопироксен, магнетит, интерстициальные минералы (анальцин, палагонит)	долеритовая, призматически-зернистая	Развиты в тех же структурных зонах, слагают крупные потоки, пластовые тела, дайки
	Гиперстеновые андезито-базальты	плагиоклаз (дл. 1.9-1.3, шир. 1.1-0.6) гиперстен (дл. 1.2-0.3) титаномагнетит (0.3-0.6)	плагиоклаз (дл. 0.4-0.1, шир. 0.2-0.05) клинопироксен (дл. 1.2-0.2)	микролиты плагиоклаза, клинопироксен, рудный минерал, кристаллиты, вулканическое стекло	гиалопилитовая, микролитовая	Слагают субвулканическое тело и маломощный поток в разрезе с. Кохб
	Роговообманковые андезиты	плагиоклаз (дл. 1.5-0.8 шир. 0.7-0.3) роговая обманка (дл. 0.9-0.3) ильменит, магнетит (0.5-0.7)	плагиоклаз (дл. 0.5-0.2, шир. 0.2-0.1) клинопироксен (дл. 0.5-0.1)	микролиты плагиоклаза, рудный минерал, вулканическое стекло, кристаллиты	гиалопилитовая, пилотакситовая	Встречены в одном потоке Кохбского разреза и слагают дайку в низах Ачаджурского разреза
	Плагиоклазовые андезиты	плагиоклаз (дл. 1.7-1.1, шир. 1.0-0.5) роговая обманка (дл. 0.5-0.3) магнетит, ильменит (0.7-0.9)	плагиоклаз (дл. 0.9-0.4, шир. 0.3-0.1)	то же	гиалопилитовая	Слагают субвулканические тела в районе с. Шаваршаван, Купчи-Айрум, единичные потоки в левобережье р. Тауш
Верхнесантонский	Двутироксеновые андезито-базальты	плагиоклаз (дл. 2.2-1.3, шир. 1.5-0.4) гиперстен (дл. 0.9-0.4) титаномагнетит (0.3-0.5)	плагиоклаз (дл. 2.0-1.3, шир. 0.6-0.1)	микролиты плагиоклаза, клинопироксен, рудный минерал, кристаллиты, вулканическое стекло	гиалопилитовая, интегрографическая, реже интерсертальная	Развиты в Иджеванском прогибе и слагают систему потоков в районе сел Саригях-Севкар
	Оливиновые долериты (типа "A")	оливин (дл. 0.1-0.2) хромит (0.2-0.3)	-	лейсты плагиоклаза, клинопироксен, рудный минерал	долеритовая	Развиты в Иджеванском прогибе и слагают пластовые тела (Ачаджур, г. Сатылмыш)
	Кварц-биотитовые дациты	плагиоклаз (дл. 2.7-1.5, шир. 1.0-0.4) клинопироксен (дл. 0.5-0.3) кварц (диаметр 3.0-1.8) биотит (дл. 0.9-0.2)	-	лейсты альбита и фельзитовый кварц-полевошпатовый агрегат	витрофировая, фельзитовая, аллотриоморфно-зернистая. Текстура массивная	Слагают экструзионные тела на участке Кардан (Прикурийская зона)
	Биотитовые липариты и липарито-трахиты	плагиоклаз (дл. 2.9-1.8, шир. 1.3-0.8) биотит (дл. 2.5-0.2) титаномагнетит ильменит (0.2-0.4)	сандин (дл. 2.1-0.5, шир. 0.8-0.3)	кварц-калиполевошпатовый агрегат, микролиты и лейсты альбита, кристаллиты, рудный минерал	аллотриоморфно-зернистая, микропилитовая, фельзитовая. Текстура флюидальная	Слагают вулканические куполы и потоки в левобережье р. Джогас
	Кварцевые липариты	кварц (диаметр 3.6-2.1) плагиоклаз (дл. 2.1-1.0, шир. 1.0-0.6)	-	кварц-полевошпатовый агрегат, микролиты альбита	аллотриоморфно-зернистая, фельзитовая, витрофировая. Текстура массивная	Слагают экструзионное тело, г. Карабал
Верхнесантонский	Биотитовые обсидианы	плагиоклаз (дл. 1.8-0.8, шир. 1.3-0.4) биотит (дл. 0.8-0.4) титаномагнетит ильменит (0.3-0.4)	-	вулканическое стекло (N=I.498) и кристаллиты	витрофировая, гиалиновая, перлитовая, микротрещистость; в зонах закалки-обособления буровато-коричневого стекла (N=I.492)	Маломощные потоки в левобережье р. Джогас
	Роговообманковые липариты	плагиоклаз (дл. 1.3-0.6, шир. 0.5-0.3) роговая обманка (дл. 1.5-0.4) клинопироксен (дл. 0.6-0.3) магнетит, ильменит (0.2-0.4)	-	Кварц-полевошпатовый агрегат, микролиты альбита, рудный минерал, кристаллиты	микропойкилитовая, фельзитовая, гиалопилитовая, витрофировая. Текстура флюидальная	Вулканические куполы и потоки в левобережье р. Тауш.
	Гиперстен-рогообманковые перлиты	плагиоклаз (дл. 2.4-0.6, шир. 0.5-0.1) гиперстен (0.6-0.3) роговая обманка (дл. 0.3-0.1) магнетит (0.2-0.3)	-	вулканическое стекло (N=I.50) кристаллиты, микролиты альбита	витрофировая, гиалопилитовая	Слагают маломощные дайки, прорывающие купола Кер-оглы и Саккал (р. Тауш)

личествах вкрапленники магнетита, гиперстена, плагиоклаза и моноклинного пироксена. Суммарное содержание вкрапленников в этом типе пород составляет 30–40% от поверхности шлифа. Среди фенокристаллов преобладающей фазой является плагиоклаз, содержание которого приходится на интервал 15–25%. Содержание магнетита обычно не превышает 2–3%, гиперстен слагает 4–8, изредка 10% поверхности шлифа. Моноклинный пироксен в двупироксеновых разностях так же содержитя в пределах 4–8%, сокращаясь в гиперстеновых разностях до 1–3%.

Как и в предыдущем типе пород, в описываемых андезито-базальтах выделяются, в соответствии с тремя последовательными этапами кристаллизации, три структурные группы минералов.

Соотношения минералов—вкрапленников между собой и основной массой, их облик и структурные взаимоотношения позволяют наметить следующую последовательность кристаллизации андезито-базальтов. Наиболее ранними минералами на этапе интрапеталлурической кристаллизации являются магнетит и гиперстен, несколько позже начинается массовая кристаллизация плагиоклаза I генерации. На более позднем этапе интрапеталлурической кристаллизации прекращается рост вкрапленников гиперстена, продолжается выделение плагиоклаза, к которому уже присоединяется моноклинный пироксен, образующий в отдельных случаях венчики и камки вокруг зерен гиперстена. Эти соотношения по-видимому скорее указывают на то, что гиперстеновые кристаллы служили центрами кристаллизации для возникающих мелких зерен клинопироксена, чем на реакционное замещение. Постэмфизовый этап кристаллизации приводит к быстрому застыванию остаточной массы в виде стекла, насыщенного мелкими кристаллическими фазами и кристаллитами.

Плагиоклазовые, роговообманковые и пироксен-роговообманковые андезиты относятся к эвпорфировым разностям и отличаются от андезито-базальтов относительно меньшим количеством вкрапленников и незначительной ролью в их составе темноцветных. Содержание вкрапленников в этих породах составляет в сумме 20–30% поверхности шлифа. Главным минералом—вкрапленником является плагиоклаз (15–25%), на долю роговой обманки приходится 2–6%, в некоторых плагиоклазовых разностях она отсутствует. Клинопироксен отмечается в количестве 2–3%. Характерными минералами во вкрапленниках этих пород являются ильменит и магнетит, слагающие около 2–3% поверхности шлифа. Описываемые

породы сложены тремя структурными группами минералов.

Намечается следующая последовательность выделения кристаллических фаз. Наиболее ранними интрапеллурическими выделениями являются ильменит и магнетит, затем кристаллизуются роговая обманка и плагиоклаз I генерации, нередко пространственно ассоциирующие. На позднем этапе интрапеллурической кристаллизации продолжается выделение вкрапленников плагиоклаза, появляется клинопироксен. Эффузивная стадия кристаллизации характеризуется образованием стекловатого базиса, в котором наиболее индивидуализированной фазой являются микролиты плагиоклаза.

Дациты, липарито-дациты и липариты отличаются разнообразием типов микроструктур и состава порфировых вкрапленников и их ассоциаций. Приведенные в табл. I главные петрографические типы этой группы пород пространственно разобщены и слагают самостоятельные геологические тела (вулканические куполы, дайки или потоки). Общими признаками для всех отмеченных типов являются наличие двух структурных групп минералов-фенокристаллов и основной массы - и суммарное содержание вкрапленников в пределах 20-35%. Кристаллизация этих пород, за редкими исключениями, происходит в два последовательных этапа - интрапеллурический (I структурная группа) и эффузивный (II структурная группа). В состав первой структурной группы в различных типах пород входят плагиоклаз, биотит, роговая обманка, магнетит и ильменит, реже - моноклинный пироксен и гиперстен. Преобладающим минералом постоянно является плагиоклаз. В некоторых образцах биотитовых липарито-трахитов обнаруживаются вкрапленники сандинина, принадлежащие позднему этапу интрапеллурической кристаллизации.

Последовательность кристаллизации отдельных интрапеллурических фаз в различных типах пород различна; исключение составляют магнетит и ильменит, которые повсеместно являются самыми ранними выделениями. Так, в дацитах вкрапленники моноклинного пироксена и биотита появляются раньше вкрапленников плагиоклаза и кварца, а последние кристаллизуются близко-одновременно. В кварцевых липаритах фенокристаллы кварца выделяются относительно плагиоклаза раньше. В биотитовых липаритах и липарито-трахитах кристаллизация начинается с появления мелких кристалликов биотита, но далее идет совместное выделение фенокристаллов плагиоклаза и биотита; поздний этап интрапеллурической

кристаллизации характеризуется выделением небольших количеств санидина. В роговообманковых липарито-дацитах и липаритах первыми кристаллизующимися фазами являются ильменит и моноклинный циркон, затем следует близко-одновременная кристаллизация плагиоклаза и роговой обманки. В эффузивный этап во всех разностях дацитов и липаритов продолжается кристаллизация плагиоклаза и происходит застывание стекловатого остатка.

Биотитовые обсидианы состоят на 15–20% из фенокристаллов биотита, плагиоклаза и магнетита. Как и в биотитовых липаритах, в описываемых породах первой кристаллизующейся фазой является магнетит. Мелкие кристаллики биотита появляются в расплаве раньше плагиоклаза, но крупные идиоморфные вкрапленники обоих минералов часто группируются в гломеропорфировые участки и это позволяет предполагать совместную кристаллизацию главной массы этих выделений.

Гиперстен-рогообманковые перлиты содержат в стекловатой массе фенокристаллы гиперстена, магнетита, плагиоклаза и роговой обманки, в сумме составляющие 15–20% поверхности шлифа. Вкрапленники магнетита и гиперстена, отчетливо группирующиеся вместе, являются одной из первых интрапеллурических фаз. Гиперстен образует удлиненные призматические выделения размерами 0,6–0,3 мм. В гломеропорфировых скоплениях плагиоклаз и гиперстен ассоциируют редко, но в этих случаях гиперстен отчетливо идиоморфен в отношении плагиоклаза. Последний, в количественном отношении преобладающий среди фенокристаллов, начинает кристаллизоваться позже гиперстена и магнетита.

Подчеркнем в заключение главнейшие петрографические особенности верхнемеловых вулканических пород Северной Армении.

I. Высокое количественное содержание вкрапленников во всех главных типах пород свидетельствует о том, что излияния потоков, внедрению субвулканических тел или формированию вулканических куполов предшествовал начальный длительный процесс кристаллизации в глубинном очаге. Ранние интрапеллурические вкрапленники распределены в породах неравномерно и часто образуют гломеропорфировые скопления различного минералогического состава. Выявляются отдельные парагенетические ассоциации фенокристаллов, указывающие на значительную протяженность процесса интрапеллурической кристаллизации, а также на определенную последовательность выделения различных фаз или на параллельную их кристаллизацию.

2. Долериты, базальты, андезито-базальты и андезиты заметно дифференцированы по составу и обнаруживают два поколения интрапеллурических вкрапленников. Строение, характер зональности и габитус последних позволяет предполагать, что первый этап кристаллизации этих пород (магнетит, оливин или гиперстен, затем ранние плагиоклаз и клинопироксен) протекал в относительно равновесных условиях. К началу второго этапа интрапеллурической кристаллизации, отвечающего скорее всего перемещению магматических масс к поверхности и падению общего давления, возникают неравновесные соотношения между фенокристаллами и жидкостью. Происходит смена кристаллических фаз и, одновременно, изменение состава фаз, продолжающих свою кристаллизацию. Так, в базальтах и долеритах исчезает оливин, в андезито-базальтах и андезитах – гиперстен, а в совместно кристаллизующихся плагиоклазе и моноклинном пироксene увеличивается содержание альбитового и железистого компонента соответственно. Одновременно минералы I поколения резорбируются или обрастают каёмкой более позднего минерала и вместо однородных кристаллов плагиоклаза начинается выделение зерен резко зонального строения. Эффузивный этап кристаллизации базальтов и долеритов характеризуется совместной кристаллизацией плагиоклаза и пироксена и застыванием определенного количества остаточной массы. В андезито-базальтах и андезитах в эффузивный этап происходит застывание стекловатого остатка, насыщенного микролитами плагиоклаза и пироксена.

3. Липариты, липарито-дациты и дациты за редкими исключениями содержат интрапеллурические вкрапленники одного поколения, причем выпавшие фенокристаллы не успевают полностью выравниваться по составу с остаточной жидкостью и несут следы кристаллизации в неравновесных условиях. В этих породах обычно первой кристаллизующейся фазой является магнетит (ильменит), вслед за которым (или одновременно) начинают кристаллизоваться биотит или роговая обманка (или гиперстен). К последним вскоре присоединяется кислый плагиоклаз. Санидин, являющийся редким минералом-вкрапленником, выделяется на самых поздних этапах интрапеллурической кристаллизации. В некоторых сильно пересыщенных кремнеземом липаритах фенокристаллы кварца выделяются как фаза, избыточная против кварц-полевошпатовой эвтектики.

4. В составе фенокристаллов всех изученных пород плагиоклаз в количественном отношении резко преобладает над темноцветными и магнетитом, причем повсеместно он выделяется после магнетита и одновременно с каким-либо из темноцветных минералов, свой - ственных соответствующим типам пород. Его кристаллизация прослеживается на всех этапах становления пород, при этом закономерно изменяются состав, характер зональности и габитус.

5. Широкое развитие мандельштейновых текстур в обломках эпикластических брекчий, в верхних частях лавовых потоков, в некоторых дайках и силах оливин-плагиоклаз-пироксеновых базальтов и долеритов, ранняя кристаллизация магнетита, значительное количественное преобладание вкрапленников плагиоклаза относительно пироксена и крупные размеры вкрапленников последнего, а также появление на позднемагматическом этапе кристаллизации таких водосодержащих минералов, как анальцим и палагонит, являются важными показателями высокого парциального давления воды в исходном базальтовом расплаве. Высокое P_{H_2O} в магматическом очаге обусловило, по-видимому, также исключительно широкое проявление цеолитизации на поствулканическом этапе формирования верхнеконьяк-нижнесантонского комплекса /17/.

6. Породы андезитовой, липарито-дацитовой и липаритовой групп также обладают признаками, свидетельствующими о значительном участии водной фазы в родоначальном расплаве. Этими признаками являются: широкое проявление взрывных явлений в процессе формирования верхнесантонского комплекса, наличие гидроксилсодержащих минералов во вкрапленниках, повсеместная ранняя кристаллизация Fe-Ti окисных фаз и явления магматического расщепления на две стекловатые фазы, существующие в течение охлаждения и затвердевания пород.

ГЛАВА IV.

СОСТАВ ПОРОДООБРАЗУЮЩИХ МИНЕРАЛОВ ВЕРХНЕМЕЛОВОЙ ВУЛКАНИЧЕСКОЙ СЕРИИ СЕВЕРНОЙ ЧАСТИ АРМЯНСКОЙ ССР

Оливин

Оливин – постоянный компонент во вкрапленниках пород базальтового состава, ассоциирующий с плагиоклазом ряда битовнита и кальциевым авгитом. Он является одной из ранних интрагеологических фаз, кристаллизующейся одновременно или вслед за магнетитом. Устанавливается, кроме того, одновременная с выделением оливина кристаллизация первых зерен плагиоклаза (§ 85–90). Фенокристаллы оливина имеют эвгедральный облик, реже они оплавлены и имеют округлые очертания, в протолочках из базальтов и долеритов верхнего конька – нижнего сантонца цвет его медово-желтый; в долеритах верхнего сантонца оливин бесцветен или бледно-желтоватый. В свежих разностях он повсеместно прозрачен и обнаруживает четкие тонкие трещинки спайности по (010) и (100).

Содержание оливина во вкрапленниках оливин-плагиоклаз-пироксеновых базальтов, как следует из гистограммы (фиг.5), колеблется в пределах 2–6%, возрастая до 8–10% в долеритах. Высокие содержания вкрапленников оливина (10–15%) характерны для верхнесантонских долеритов, в которых он является единственным минералом в фенокристаллах.

Оптика оливинов. Изучение оптических свойств и химического состава вкрапленников оливина, выделенных из потоков и разновозрастных пластовых залежей, выявило принадлежность минерала к магнезиальным членам изоморфного ряда форстерит–фаялит. Одновременно отчетливо выделяются две разобщенные по составу группы вкрапленников. К первой относятся фенокристаллы из потоков и пластовых залежей верхний коньк – нижнесантонского комплекса, ко второй – фенокристаллы из пластовых залежей верхнего сантонца. Разностей, промежуточных между этими группами, не установлено.

Таблица 2

Оптические свойства и состав оливинов во вкраепленниках пород базальтового состава

В. сантон	Пластовые залежи	Потоки	Порода и номер образца	Оптические константы		% содержания молекул	Минерал		
				2V Ng	Ng ¹	Np ¹			
В. Коньяк - Н. сантон	Пластовые залежи дайки	Потоки	базальт (224)	92°	I,716	I,678	77	23	хризолит
			долерит (27)	96°	-	-	75	25	хризолит
			долерит (619)	95°	I,719	I,680	76	24	хризолит
			долерит (5)	98°	I,732	I,692	69	31	гиалосидерит
			базальт (6)	94°	I,730	I,690	70	30	хризолит-гиалосидерит
		Пластовые залежи	долерит (33)	96°	I,727	I,690	72	28	хризолит
			долерит (16)	110°	I,734	I,698	68	32	гиалосидерит
			долерит (55)	98°	I,734	I,702	67	33	гиалосидерит
			долерит (374)	94°	I,730	I,692	70	30	хризолит-гиалосидерит
			базальт (1)	95°	I,728	I,692	71	29	хризолит
V	Пластовые залежи	Потоки	долерит (32)	98°	I,732	I,693	69	31	гиалосидерит
			базальт (2028)	100°	-	-	66	34	гиалосидерит
			долерит (8)	88°	I,702	I,668	84	16	хризолит
			долерит (20)	90°	I,702	I,668	84	16	хризолит
			долерит (203)	90°	I,702	I,668	84	16	хризолит
		Пластовые залежи	долерит (263)	88°	-	-	88	12	хризолит
		Пластовые залежи	долерит (2038)	86°	-	-	94	6	форстерит

В табл. 2 приводятся оптические константы и процентное содержание Fo и Fa во вкрашенниках оливина различных типов пород. Определение состава производилось по показателям преломления, поскольку эти константы дают более точные результаты /18,19/. Величины 2V использовались в основном в целях контроля. Данные таблицы показывают, что оливины из пород верхнего конька-нижнего сантонса близки по составу и относятся к хризолитам, хризолит-гиалосидеритам. При этом вкрашенники из потоков имеют сравнительно более магнезиальный состав (23-31% Fa; вкрашенники из пластовых залежей содержат 29-34% Fa). Фенокристаллы в верхне-сантонских долеритах обнаруживают крайнее для изученной серии содержание фаялита в пределах 6-16% и относятся к хризолитам.

Химизм оливинов. Химический состав вкрашенников оливина охарактеризован семью анализами мономинеральных фракций (табл. 3). В той же таблице приводятся рассчитанные на основе 4 атомов кислорода количества катионов в кристаллохимических формулах. По молекулярным количествам MgO , FeO , CaO , MnO , исходя из соответствующих формул, рассчитаны миналы форстерита и фаялита - $2(MgO \cdot FeO) \cdot SiO_2$, ларнита - $2 CaO \cdot SiO_2$, и тефроита - $2 MnO \cdot SiO_2$. Результаты химических анализов обнаруживают в целом удовлетворительную сходимость с оптическими данными и также подчеркивают разделение вкрашенников оливина на две группы. Это видно по кристаллохимическим формулам, соотношению атомов Mg , Fe^{+2} , процентному содержанию миналов. В приведенных анализах отмечается некоторое отклонение суммы валентностей катионов от +8,00. Эта неполная компенсация положительных и отрицательных зарядов, хотя и незначительная, связана, по-видимому, с присутствием механических примесей. В частности, весь глиноzem и долю Fe_2O_3 следует относить за счет вторичного иддингита. При пересчете анализов в составе оливинов из пластовых залежей и потоков верхнего конька-нижнего сантонса определяется 26-30% фаялитового компонента, 1,7-2,1% ларнитового и 0,3-0,6% тефроитового. В оливинах из более молодых долеритов содержание фаялитового, ларнитового и тефроитового компонентов понижается до 16-17%, 1,4-1,5% и 0,2-0,3% соответственно.

Рентгенометрическая характеристика. Содержание Fo компонента в изученных оливинах оценивалось также рентгенометрически. В табл. 4 приведены результаты рентгеновского анализа четырех образцов фенокристаллов оливина из потоков (33 г) и разновоз-

Таблица 3

Химический состав и кристаллохимические формулы
вкраплеников оливина из верхнеконъяк-сантонаских
пород базальтового состава

	потоки			пластовые залежи		пластовые залежи	
	обр.6	обр.5	обр.33д	обр.1	обр.32д	обр.8	обр.20д
I	2	3	4	5	6	7	8
SiO ₂	38,76	37,98	37,98	37,04	37,04	39,44	40,14
TiO ₂	1,70	1,70	0,70	0,50	0,70	0,40	0,54
Al ₂ O ₃	1,37	0,84	0,75	1,56	0,87	0,62	1,00
Fe ₂ O ₃	1,21	0,88	3,69	3,72	2,45	0,72	-
FeO	22,98	24,91	21,25	22,00	24,91	15,29	14,22
CaO	1,28	1,04	1,28	1,28	1,42	1,00	1,16
MgO	31,94	31,86	33,10	32,82	32,88	41,78	42,26
MnO	0,30	0,48	0,36	0,56	0,42	0,14	0,26
Na ₂ O	0,25	0,23	0,32	0,25	0,17	0,21	-
K ₂ O	0,07	0,02	0,03	0,05	0,07	0,02	-
Сумма	99,86	99,94	99,46	99,88	99,63	99,56	99,58

Количество ионов в пересчете на 4(0)

Si	1,017	1,009	1,001	0,991	0,994	1,000	1,006
Al	0,044	0,025	0,026	0,051	0,028	0,018	0,030
Ti	0,039	0,040	0,017	0,11	0,014	0,008	0,002
Fe ⁺³	0,022	0,019	0,075	0,054	0,051	0,012	-
Mg	1,261	1,269	1,320	1,293	1,259	1,579	1,583
Fe ⁺²	0,519	1,93	0,559	1,95	0,490	0,552	0,376
Mn	0,008	0,011	0,015	0,011	0,012	0,003	0,006
Ca	0,036	0,031	0,028	0,037	0,036	0,027	0,030

Продолжение табл.3

I	2	3	4	5	6	7	8
W _K	8,031	8,004	8,028	8,271	7,973	7,984	7,990

Соотношение атомов

Mg	71,0	69,4	73,3	72,6	69,4	82,9	83,6
Fe ⁺²	29,0	30,6	26,7	27,4	30,6	17,1	16,4
Mg / Fe ⁺²	2,4	2,3	2,7	2,7	2,3	4,9	5,1

Содержание минералов

Mg ₂ SiO ₄	69,6	68,0	71,7	70,7	67,6	81,6	82,6
Fe ₂ SiO ₄	28,1	29,8	25,8	26,7	29,8	16,8	15,6
Ca ₂ SiO ₄	2,0	1,7	2,0	2,0	2,1	1,4	1,5
Mn ₂ SiO ₄	0,3	0,5	0,5	0,6	0,5	0,2	0,3

Примечание: обр. 6-оливин-плагиоклаз-пироксеновый базальт, с.Ачаджур; обр. 5- оливин-плагиоклаз-пироксеновый долерит, с.Хаштарак; обр. 33д - то же, с.Шаваршаван; обр. 1- оливин-плагиоклаз-пироксеновый базальт, с.Хаштарак; обр. 32-д - оливин-плагиоклаз-пироксеновый долерит, с.Шаваршаван; обр. 8 - оливиновый долерит, г.Сатылмыш; обр. 20д - то же.

растных пластовых залежей (I,32g) и (8).

Для определения состава изученных оливинов при съемках на дифрактометре наиболее рациональным и удобным следует признать метод Йодера и Сахамы /20/. Нами использовалась определяющая кривая зависимости форстеритовой составляющей от межплоскостного расстояния d_{130} : Fo (мол.%) = $4233.91 - 1494.59 d_{130}$.

Таблица 4
Рентгенометрическая характеристика и состав оливинов из
вкрапленников пород базальтового состава

Породы и номер пробы	Содержание форстеритовой молекулы в %					
	по (I30)		по (I74)		по параметру "с" (004)	
	d (I30)	%	d (I74)	%	d (004)	%
Долерит (33)	2.7860	70.2	1.0270	67.7	1.5048	69.0
Базальт (I)	2.7850	71.7	1.0259	72.0	1.5040	71.2
Долерит (32)	2.7866	69.4	1.0266	69.3	1.5042	69.8
Долерит "А" (8)	2.7775	82.5	1.0232	82.8	1.4998	85.5

Из табл. 4 следует, что с полученными по межплоскостным расстояниям d (I30) значениями форстеритовой составляющей близко совпадают значения по параметру "с". Этот параметр, используемый в методе Яганбагло /21/, представлял для нас особый интерес, поскольку мог быть применен для определения состава единичных зерен оливина, для изучения вариаций состава в зональных кристаллах и, наконец, как в нашем случае, для определения валового состава порошкового образца. Яганбагло вывел серию графиков линейной зависимости между параметрами элементарной ячейки и составом, причем каждый параметр рассчитывался по одной характерной линии. Уравнение для параметра "с" имеет, как показано данным автором, следующий вид: Fo (мол.%) = $4977.01 - 815.40c + 3.7\%$.

По Ямбору и Смиту /22/ рефлекс (I74) также связан четкой линейной зависимостью с содержанием магнезиальной составляющей: Fo (мол.%) = $4151.46 - 3976.45 d$ (I74).

Интенсивности рефлексов, по которым определялся состав оливинов из верхнемеловых базальтов и долеритов, составляют 4-7 для линий (I30), 5-3 для линии (I74) и 2-5 для отражения (004).

Можно заметить, что для такого характерного рефлекса, как (004), эти цифры несколько занижены, что предположительно связывается с изоморфным вхождением Ca^{+2} в кристаллическую решетку минерала. Близкое совпадение значений Fo в каждом образце изученных оливинов, полученных по оптическим замерам, химическим и рентгено-спектральным данным, позволяет заключить, что вхождение в состав катионов Ca^{+2} в количестве 0.027 – 0.037 формульных единиц не влияет на величину межплоскостных расстояний $d_{(130)}$, $d_{(174)}$ и $d_{(004)}$ и, возможно, оказывается лишь на некотором снижении интенсивности отражения (004).

Присутствие CaO в описываемых оливинах необходимо особо отметить, поскольку содержание этого малого элемента не только может влиять на оптические константы, параметры решетки или интенсивности рефлексов минерала, но и несет информацию об условиях начальной кристаллизации базальтовой магмы /23/. По содержанию CaO изученные оливины безусловно не могут входить в особыю группу субкальциевых оливинов, выделенных Сахамой и Хитёненом /24/ на примере изучения вулканических пород специфического состава. Своебразная роль CaO в оливинах из верхнемеловых пород состоит в том, что, с одной стороны, выявляется прямая связь между содержаниями ларнитового и фаялитового компонентов, с другой – прямая зависимость Ca_2SiO_4 от количества нормативного аортита во вмещающих фенокристаллы оливина базальтах. Этот вопрос будет подробно рассмотрен в главе У. Здесь отметим только, что различия в содержаниях кальциевого минала в оливинах из двух различных групп верхнемеловых базальтов связаны как с содержаниями нормативного аортита в валовом составе пород, так и с временем кристаллизации первых выделений плагиоклаза. В базальтах и долеритах верхнего конъяк-нижнего сантонова кристаллизация плагиоклаза высокой основности начиналась уже на интрапеллурической стадии, в то время как в верхнесантонских долеритах плагиоклаз начинает кристаллизоваться только на эфузивной стадии, входя в состав основной массы.

Таким образом, рассмотренные особенности состава вкраплеников оливина позволяют заключить следующее: I. Фенокристаллы оливина в базальтовых породах верхнемеловой серии относятся к магнезиально-железистым разностям – продуктам фракционной кристаллизации базальтовой магмы. В ряду парагенетических типов оливинов по М.И.Ильинскому и Р.В.Колбанцеву /25/ их можно рассматривать в типе 7, который объединяет оливины фенокристаллов в

базальтах; 2) Выделенные по соотношению Mg составляющей две группы вкрапленников оливина отвечают разновозрастным вулканическим комплексам, при этом состав их последовательно изменяется с увеличением магнезиальности. 3) Для оливинов верхнеконьяк-нижнесантонского комплекса отмечается слабая дифференциация составов в сторону увеличения железистости в пластовых залежах по сравнению с потоками. Оливины из пород верхнесантонского комплекса устойчивы по составу. 4) Вхождение Ca^{+2} в отмеченных пределах в состав катионов изученных оливинов не влияет на величины межплоскостных расстояний $d_{(130)}$, $d_{(174)}$ и $d_{(004)}$.

Гиперстен

Для андезито-базальтов верхнемеловой серии гиперстен является характерным минералом-вкрапленником и содержание его составляет в гиперстеновых и двутироксеновых разностях 6-8% (фиг.5). Сравнительно меньше гиперстена в лицарито-дацитах и лицаритах; в количестве до 5% он встречается лишь в фенокристаллах перлитовой дайки, прорезающей купол Кер-оглы. В андезито-базальтах гиперстен ассоциирует с фенокристаллами плагиоклаза ряда андезин-лабрадор и моноклинным пироксеном; в обсидианах он встречается вместе с вкрапленниками роговой обманки и плагиоклаза. Гиперстен повсеместно является одним из наиболее ранних интрапаллюрических минералов и наряду с ранним плагиоклазом и магнетитом входит в состав I структурной группы. В андезито-базальтах обрастает каёмкой моноклинного пироксена, что позволяет различивать эти минералы по времени выделения в данных породах.

Оптика. Гиперстен образует длинно-призматические идиоморфные индивиды однородного строения с характерным плеохроизмом. Оптические свойства и состав гиперстенов из различных пород верхнемеловой серии приводятся в табл. 5. При определении состава учитывались указания В.С.Соболева /26/, Л.Н.Добрецова и ссавторов /27/, что наиболее сильную положительную связь с

Fe^{+2} обнаруживают показатели преломления, в то время как зависимость $2V$ от концентрации ионов имеет нелинейный характер. Составы описываемых вкрапленников, определенные по показателям преломления и величине $2V$, обнаруживают некоторое несоответствие (в табл. 5 приведены только значения, полученные по Ng^1). Содержание магнезиального компонента определялось по диаграммам Дира и др./28/ и Лика /29/, коэффициент железис-

Таблица 5

ОПТИЧЕСКИЕ КОНСТАНТЫ И СОСТАВ (В %) ФЕНОКРИСТАЛЛОВ
ГИПЕРСТЕНА В ПОРОДАХ ВЕРХНЕМЕЛОВОЙ ВУЛКАНИЧЕСКОЙ СЕРИИ

# образца	Порода	2V np	CNg	Ng'	Np'	mg^* по Дибу и соавторам	mg по Лику	f^* по Добрецову и соавторам
24	двуциркосеновый андезито-базальт	52°	7°	I,710	I,695	64	62	37
24a	"	54°	8°	I,709	I,693	65	63	36
I99	"	58°	0°	I,708	I,696	66	63	36
I9	"	60°	II°	I,708	I,696	66	63	36
2037 (7)	"	60°	8°	I,706	I,692	67	66	34
I3	гиперстен-роговообманковый перлит	56°	9°	I,718	I,706	58	57	43
2049	"	55°	9°	I,718	I,706	58	57	43

$$*mg = 100Mg / Mg + Fe^{+2} + Fe^{+3} + Mn; [36]$$

$$*f = \frac{(Fe^{+3} + Fe^{+2} + Mn + Ti) \cdot 100}{Mg + Fe^{+3} + Fe^{+2} + Mn + Ti}; [35]$$

Таблица 6

Химический состав и кристаллохимические формулы вкрапленников гиперстена из пород верхнемеловой серии

	В. конъяк - н. сантон		Верхний сантон		
	обр. 26	обр. 26а	обр. 7г	обр. I9дг	обр. I3г
SiO ₂	52,33	52,00	50,80	51,42	51,06
TiO ₂	0,45	0,30	0,20	0,16	0,37
Al ₂ O ₃	2,60	2,01	2,50	2,13	2,08
Fe ₂ O ₃	2,08	1,91	1,30	2,44	1,10
FeO	I9,00	I8,20	I9,00	I9,35	22,80
CaO	2,10	2,60	1,90	2,00	2,08
MgO	22,00	21,48	23,51	23,20	I9,80
MnO	0,50	0,64	0,85	0,86	0,35
Na ₂ O	0,36	0,67	0,32	0,24	0,25
H ₂ O	0,15	0,60	0,08	0,10	0,07
сумма	I00,57	I00,41	I00,36	I00,85	99,96

Кристаллохимическая формула в пересчете на 60

Si	I,910	I,930	I,880	I,890	I,930	I,930	I,930	I,930
Al	0,090	2,00	0,070	2,00	0,093	I,99	0,070	2,00
Al'	0,020	0,019	-	-	-	-	0,025	-
Ti	0,013	0,018	0,007	0,004	-	-	0,011	-
Fe ⁺³	0,057	0,054	0,036	0,066	-	-	0,032	-
Mg	I,260	I,190	I,300	I,270	-	-	I,110	-
Fe ⁺²	0,579	2,00	0,563	2,04	0,596	2,06	0,720	I,99
Mn	0,016	0,020	0,027	0,027	-	-	0,011	-
Ca	0,084	0,102	0,076	0,079	-	-	0,086	-
Na	0,026	0,049	0,022	0,018	-	-	0,018	-
K	0,009	0,026	0,004	0,004	-	-	0,005	-
W _K	I2,01	I2,09	I1,98	I2,04	-	-	I2,05	-

Соотношение атомов в %

Mg	64,4	64,2	66,2	65,3	58,0
Ca	4,5	5,5	3,9	4,0	4,4
Fe	31,1	30,3	29,9	30,7	37,6
f	35,7	35,5	33,6	35,3	41,0
f'	33,2	32,7	32,0	32,9	39,0
mg	64,8	65,1	65,7	64,9	59,0
Ca-Al чермак- ит	8,4	10,2	7,6	7,9	8,6

Примечание: обр. 26 - гиперстеновый андезито-базальт из суббулканического тела, с. Кохоб; обр. 26а - то же; обр. 7г - двуцирконовый андезито-базальт из потока, с. Сарытох; обр. 19 дг - то же; обр. 13 г - гиперстен-роговообманковый перлит из дайки; купол Кер-оглы.

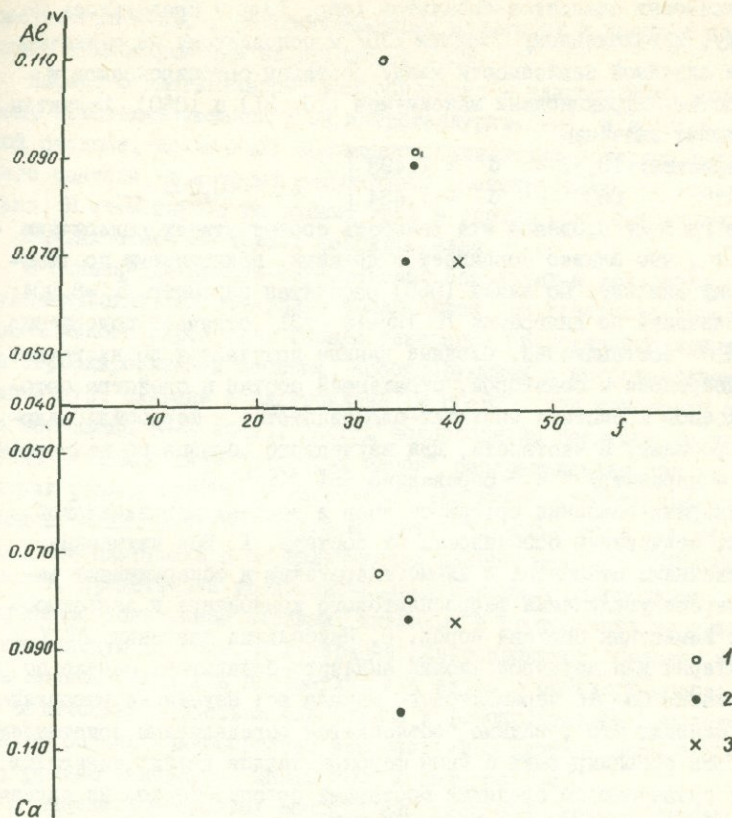
тости f — по диаграмме Л.Н.Добрецова. Лиц, статистически обработавший более 240 химических анализов ортопироксенов, показал, что существенных различий по величине $2V$ между вулканическими и плутоническими ортопироксенами не существует. Это отражено также и на диаграмме Л.Н.Добрецова с соавторами.

Рассмотрение данных таблицы показывает, что все изученные вкраупленники относятся к собственно гиперстену с отрицательным углом $2V$ и колебанием железистости в пределах 34—43%. Однако, по диаграмме Дира и соавторов составы изученных гиперстенов оказываются несколько более магнезиальными; значения mg по Лику и f по Добрецову близко совпадают. Отчетливо наблюдается закономерное увеличение железистости гиперстенов-вкраупленников в связи с общим увеличением кремнистотности пород от андезито-базальтов до перлитов.;

Химизм. В табл. 6 приведены химические анализы гиперстенов из различных пород верхнемеловой серии и рассчитанные на основе 6 атомов кислорода кристаллохимические их формулы. Составы изученных гиперстенов по данным химических анализов удовлетворительно совпадают с данными по оптическим замерам. Отметим, что все ортопироксены из верхнемеловых пород по коэффициенту f и содержанию Al^{IV} относятся к алюмогиперстенам /27/.

На диаграмме, построенной по формульным единицам Al^{IV} , Ca и величине f (фиг. 6), обнаруживается заметная дифференцированность состава гиперстенов в первую очередь по содержанию железистого компонента; оно возрастает при переходе от андезито-базальтов к перлитам. Менее четки различия по величине формульных единиц Ca и Al^{IV} . Наибольшие значения Al^{IV} и наименьшие Ca отмечаются для гиперстенов из двупироксеновых андезито-базальтов; различия между гиперстенами из двух других групп пород не выходят за пределы колебаний состава внутри самих гиперстеновых андезито-базальтов. Колебания в содержании чермакитового минала незначительны; это, по-видимому, следует объяснить тем, что в обоих типах пород фенокристаллы гиперстена находятся в равновесии с вкраупленниками плагиоклаза повышенной основности (47—63% An в андезито-базальтах и 38—56% An в перлитах). Колебания же в составе железистого компонента контролируются как ранней кристаллизацией рудного минерала (титаномагнетита), так и кристаллизацией другого темноцветного минерала (моноclinного пироксена и роговой обманки соответственно).

Рентгеновская диагностика одного образца гиперстена из дву-



Фиг. 6. Содержания главных компонентов в гиперстенах из пород верхнемеловой серии: 1) вкрапленники гиперстена из дву-
пироксеновых андезито-базальтов; 2) то же из гиперстеновых
андезито-базальтов; 3) то же из перлитов.

пироксеновых андезитов-базальтов (обр. I992) проводилась по методу, предложенному Звааном /30/ и основанному на существовании линейной зависимости между составом ортопироксенов и разностью дифракционных максимумов (10, 31) и (060). Получены следующие значения:

$$\begin{array}{l} \text{рефлексы: } 10,31 - d = 1,493 \\ 060 - d = 1,484 \end{array} \quad \left. \begin{array}{l} \\ \end{array} \right\} \Delta d = 0,009$$

По графику П.Зваана эта разность соответствует содержанию 64% En, что близко совпадает с данными, полученными по химическому анализу. По линии (060) рассчитан параметр $\delta = 8,904$; это значение по диаграмме R·Howie /31/ отвечает содержанию 67% En составляющей. Сходные данные получаются по диаграмме Л.Н.Добропова и соавторов, отражающей состав и свойства ортопироксенов в системе энстатит-алюмоэнстатит - ферросилит-алюмоферросилит. В частности, для изученного образца по величинам Ng' и параметру " δ " определено 65% $Mg_2Si_2O_6$.

Завершая описание ортопироксенов в породах верхнемеловой серии, подчеркнем особенности их состава. 1. Все изученные вкрашенники относятся к алломагнетитам и обнаруживают закономерное увеличение ферросилитового компонента в зависимости от изменения состава пород. 2. Наибольшие значения Al^{IV} характерны для двупироксеновых андезито-базальтов, однако по содержанию Ca- Al чермакитового минала все изученные вкрашенники близки, что, видимо, объясняется определенным сочетанием составов ассоциирующих с ними фенокристаллов других минералов. 3. По сравнению со средними составами ортопироксеноид из андезитов и дацитов орогенных формаций /27/ в гиперстенах верхнемеловой серии при равных значениях железистости отмечаются повышенные содержания Al^{IV} и Ca.

Клинопироксен

Клинопироксен - главный представитель темноцветных минералов в верхнемеловых породах базальтового и андезито-базальтового состава; значительно меньшую роль он играет в андезитах и дацитах и почти полностью отсутствует в липаритах и кислых стеклах. Содержание клинопироксена во вкрашенниках базальтов составляет 2-6% поверхности шлифа и возрастает до 4-10% в долеритах (фиг. 5). В составе фенокристаллов гиперстеновых андезито-базальтов он количественно подчинен гиперстену (2-4%), тогда как в двупироксеновых разностях его содержание воз-

растает до 4–6%. В роговообманковых андезитах и дацитах содержание клинопироксена не превышает 2–3%.

Наряду с плагиоклазом, клинопироксен – единственный минерал, кристаллизующийся и на интрапеллурической, и на эфузивной стадиях. Исключение составляют оливиновые долериты верхнего сантонса, в которых отсутствуют фенокристаллы клинопироксена. В этом случае он входит лишь в состав основной массы. В дацитах отмечены только фенокристаллы.

В оливин–плагиоклаз–пироксеновых базальтах и долеритах субвулканических тел отчетливо наблюдаются три генерации зерен моноклинного пироксена. Ранняя генерация представлена крупными корродированными зернами, ассоциирующими с вкрапленниками магнетита, оливина и плагиоклаза (№ 80–92). Эти кристаллы четко зональные (2–3 зоны), иногда волнообразно гаснущие, с неправильным или типа "песочных часов" распределением зон. В щихах ранние кристаллы клинопироксена имеют коротко–призматический облик, бледнозеленоватый цвет. Клинопироксен II генерации, ассоциирующий с вкрапленниками плагиоклаза – II (70–82%

An), представлен удалиенно–призматическими однородными или слабо зональными зернами, имеющими в протолочках густую темнозеленую окраску. III генерация клинопироксена образует мелкие идиоморфные или призматические зерна в основной массе; по оптическим свойствам они близки к фенокристаллам II поколения. В базисе клинопироксена ассоциирует с плагиоклазом № 60–75, рудным минералом, анальпимом и палагонитом.

В андезито–базальтах моноклинный пироксен кристаллизуется после гиперстена. Входит в состав II структурной группы, клинопироксен ассоциирует с фенокристаллами плагиоклаза (37–45% An). Фенокристаллы клинопироксена нередко сплавлены и содержат пойкилитовые включения стекла. В основной массе этих пород клинопироксен образует изометричные зерна, в количественном отношении подчиненные микролитам плагиоклаза и вулканическому стеклу.

В кварцевых дацитах клинопироксен образует идиоморфные вкрапленники и ассоциирует с плагиоклазом (№ 36–37), кварцем, биотитом и магнетитом.

Оптика клинопироксенов. Оптические свойства моноклинных пироксенов из различных пород верхнемеловой серии сведены в табл. 7. Обнаруживаются значительные колебания в величине угла оптических осей и показателей преломления. Пироксены из

Таблица 7

Оптические свойства клинопироксенов из пород верхне-
меловой серии

№ об- разца	П о р о д а	Характеристика зерна	2V _{Ng}	C _{Ng}	N _{g¹}	N _{p¹}
			5	6	7	8
I	2	3	4	5	6	7
Верхний коньак - нижний сантон	II	оливин-плагиоклаз- пироксен. базальт из потока	зональный вкрашенник ядро край	60° 57°	45° 43°	I,706 I,710 I,682 I,685
	33	оливин-плагиоклаз- пироксен. долерит из потока	зональный вкрашенник ядро край	58° 48°	48° 46°	I,710 I,722 I,687 I,698
	6	оливин-плагиоклаз- пироксеновый доле- рит из потока	вкрашенник не зональный	60°	44°	I,708 I,683
	39	"	"	57°	49°	I,710 I,684
	32	оливин-плагиоклаз- пироксеновый доле- рит из силла	"	56°	45°	I,712 I,689
	57	"	зональный вкрашенник ядро край призмы в осн. массе	58° 44° 46°	47° 45° 42°	I,711 - I,720 I,698
	5	"	не зональный вкрашенник	57°	44°	I,714 I,690
	2027 ^a	оливин. базальт из обломков в брекчиях	вкрашенники зональные ядро край	58° 52°	50° 48°	I,712 I,725 I,688 I,703
	369	оливин-плагиоклаз- пироксеновый доле- рит из дайкооб- разн. тела	зональный вкрашенник ядро край	60° 42°	42° 40°	I,706 I,720 I,683 I,696

I	2	3	4	5	6	7	8
			призмы в ос- новной мас- се	51°	37°	I,726	I,702
Верхний сантон	1п	оливин-пла- гиоклаз-пи- роксеновый долерит из дайкообразно- го тела	зональный вкрашенник I генерация: ядро край	59° 50°	48° 46°	I,712 -	I,687 -
	2б	гиперстен- андезит- базальт	не зональный вкрашенник II генерация не зональный вкрашенник	50° 54°	43° 41°	I,722 I,724	I,698 I,701
	41	пироксен-ро- гообманковый андезит	не зональный вкрашенник	53°	48°	I,725	I,702
	8	оливин-до- леритти- па "А"	призмы в ос- новной массе	54°	42°	I,718	I,695
	19	двуриксен андезитовый базальт	не зональный вкрашенник	56°	42°	I,720	I,694
	7	двуриксен андезито- базальт	зональный вкрашенник ядро край	56° 52°	46° 42°	I,720 I,728	I,694 I,703
	202	"	вкрашенник не зональный	52°	42°	I,726	I,702
	24	кварцевый дацит	"	54°	46°	I,723	I,698

пород базальтовой группы имеют в ядрах зональных фенокристаллов $2V$ в среднем $57\text{--}60^\circ$ и $Ng' = I.706\text{--}I.712$; к краевым зонам $2V$ уменьшается до $44\text{--}50^\circ$, Ng' возрастает до $I.722\text{--}I.725$. Близкие к последним оптические константы имеют в долеритах фенокристаллы клиноциркона II генерации и выделения в основной массе. В андезито-базальтах, андезитах и кварцевых дапитах вариации величин $2V$ и показателей преломления сравнительно невелики: $2V = 52\text{--}56^\circ$, $Ng' = I.718\text{--}I.728$. Последовательность изменения оптических свойств клинопироксенов-вкраепленников в различных типах пород верхнемеловой серии, а также от вкраепленников в основной массе выражается, таким образом, в возрастании значений показателей преломления и уменьшении величины $2V$.

Химизм. Химические анализы клинопироксенов - вкраепленников из различных типов пород верхнемеловой серии сведены в табл. 8; там же приведены кристаллохимические формулы, соотношения атомов Mg , $\Sigma Fe + Mn$, Ca , коэффициенты железистости f , f' и содержания $Ca-Al$ чермакитового минала, рассчитанного по способу, предложенному Л.Н.Добропольским и соавторами. Составы изученных пироксенов в % содержаниях катионов $Mg^+ (\Sigma Fe + + Mn)^+ Ca = 100$ изображены на пироксеновом четырехугольнике (фиг. 7). Из рассмотрения этих данных следует, что все пироксены из верхнемеловых пород принадлежат к авгитам и составы их различаются между собой в некоторых деталях. Клинопироксены из базальтов и долеритов на пироксеновой трапеции отчетливо сгруппированы вдоль границы авгит-салит и по классификации И.В.Гинсбурга /34/ относятся к богатым кальцием авгитам. По классификации Л.Н.Добропольса и др., учитывющей как содержание Ca на формульную единицу, так и коэффициент "f" и содержание Al в тетраэдрической координации, они отвечают салит-авгитам. Составы клинопироксенов из андезито-базальтов, андезитов и дапитов отчетливо смещаются от авгит-салитовой границы вправо и вниз, что указывает на убывание Wo и увеличение Fs и позволяет относить их к собственно авгитам по И.В.Гинсбургу или субкальциевым авгитам по Л.Н.Добропольсу.

Сравнивая особенности химизма клинопироксенов-вкраепленников в ряду базальт-андезито-базальт-андезит-дапит, следует отметить закономерные его изменения. Составы клинопироксенов из пород базальтовой группы, как эфузивной, так и субвуликанической фаций, обнаруживают близкое сходство. В этой группе кли-

Таблица 8

Химический состав и кристаллохимические формулы вкрапленников клинопироксена из пород верхнемеловой серии

	Верхний коньак - нижний сантон												верхний сантон		
	5п	6п	39gn	33gn	2027а	In	In ₁	In ₂	In ₃	32gn	26gn	4I	7	I9	24
SiO ₂	46.60	47.80	46.70	47.08	46.70	47.55	47.60	47.60	48.20	47.44	50.76	48.08	49.80	49.90	49.22
TiO ₂	0.76	0.68	0.84	0.82	0.95	0.72	0.48	0.50	0.61	1.04	0.72	0.66	0.66	0.66	0.60
Al ₂ O ₃	6.66	6.72	7.32	6.40	6.24	6.12	4.80	6.09	5.80	6.27	5.15	4.23	5.17	5.01	5.80
Fe ₂ O ₃	3.3I	3.74	3.18	3.II	4.23	3.99	4.03	3.03	3.78	2.92	3.37	1.96	3.12	2.08	2.63
FeO	5.86	5.39	5.06	6.39	5.30	4.37	4.57	4.07	5.80	6.59	7.90	9.90	7.60	8.59	6.86
CaO	22.08	22.00	22.00	21.64	21.76	21.34	22.60	22.41	21.41	21.39	18.10	18.50	19.09	19.35	20.12
MgO	13.72	13.96	14.42	14.02	14.33	14.00	14.76	14.42	13.72	13.04	13.68	15.04	13.17	13.65	14.27
MnO	0.19	0.01	0.22	0.08	0.19	0.08	0.12	0.14	0.16	-	0.40	0.48	0.28	-	0.28
Na ₂ O	0.45	0.63	0.20	0.45	0.50	0.57	0.32	0.55	0.60	0.50	-	0.25	1.13	0.55	0.50
K ₂ O	0.15	0.06	0.01	0.05	0.17	сл.	0.03	0.07	0.10	0.08	-	-	0.23	0.20	0.09
H ₂ O ⁻	0.16	0.08	0.12	-	0.08	0.05	0.80	0.16	0.20	0.16	-	0.10	-	-	-
п. п. п.	0.40	0.28	0.44	0.40	0.30	0.63	0.10	0.40	0.32	0.44	0.40	0.50	0.28	0.60	0.12
Сумма	100.34	100.55	100.51	100.44	100.75	99.42	99.74	100.70	100.77	100.48	99.70	100.63	100.59	100.49	

Кристаллохимическая формула в пересчете на 60

Z	Si	I.752	2.00	I.752	2.00	I.749	2.00	I.768	2.00	I.750	2.00	I.790	2.00	I.795	2.00	I.760	2.00	I.795	2.00	I.771	2.00	I.880	2.00	I.827	2.00	I.855	2.00	I.855	2.00	I.825	2.00
[Al] _{IV}	0.248	0.248	2.00	0.251	2.00	0.232	2.00	0.250	2.00	0.210	2.00	0.205	2.00	0.240	2.00	0.205	2.00	0.229	2.00	0.120	2.00	0.120	2.00	0.145	2.00	0.145	2.00	0.175	2.00		
[Al] _{VI}	0.050	0.048	0.074	0.052	0.024	0.052	0.062	0.024	0.027	0.020	0.014	0.014	0.014	0.014	0.029	0.029	0.029	0.029	0.049	0.014	0.014	0.020	0.020	0.020	0.020	0.020	0.020	0.076	0.079		
Y	Ti	0.023	0.020	0.022	0.023	0.023	0.027	0.023	0.027	0.020	0.014	0.014	0.014	0.014	0.079	0.079	0.079	0.079	0.049	0.016	0.016	0.040	0.040	0.040	0.040	0.040	0.040	0.018	0.018		
Fe ⁺³	0.095	0.104	0.088	0.086	0.017	0.108	0.108	0.108	0.116	0.108	0.107	0.107	0.107	0.107	0.093	0.093	0.093	0.093	0.055	0.085	0.085	0.058	0.058	0.058	0.058	0.058	0.058	0.071	0.071		
Mg	0.767	0.781	0.806	0.783	0.800	0.785	0.800	0.785	0.828	0.807	0.761	0.776	0.776	0.776	0.752	0.752	0.752	0.752	0.845	0.731	0.731	0.755	0.755	0.755	0.755	0.755	0.755	0.789	0.789		
X	Fe ⁺²	0.815	2.06	0.169	2.03	0.159	2.05	0.200	2.05	0.166	2.05	0.138	2.02	0.144	2.04	0.128	2.04	0.181	2.06	0.206	2.04	0.244	I.95	0.315	2.04	0.236	2.03	0.267	2.00	0.205	2.01
Mn	0.007	-	0.006	0.002	0.007	0.002	0.002	0.002	0.002	0.002	0.002	0.005	0.005	0.005	-	0.005	0.005	0.005	0.013	0.016	0.016	0.009	-	0.009	0.009	0.009	0.009	0.009	0.009	0.009	0.009
Ca	0.889	0.884	0.879	0.870	0.872	0.860	0.910	0.910	0.900	0.833	0.833	0.857	0.857	0.717	0.717	0.752	0.752	0.761	0.772	0.772	0.772	0.772	0.772	0.797	0.797	0.797	0.797	0.797	0.797	0.797	0.797
W	Na	0.032	0.023	0.012	0.031	0.036	0.041	0.023	0.041	0.041	0.045	0.045	0.036	0.036	0.005	0.005	0.004	0.004	-	0.023	0.023	0.080	0.040	0.040	0.036	0.036	0.036	0.009	0.009	0.004	
W _K	I2.03	II.99	I2.02	I2.03	I2.01	I2.02	I2.02	I2.12	I2.12	I2.09	II.98	I2.00	II.98	II.98	I2.12	I2.12	I2.00														

Соотношение атомов в %

Mg	39.6	40.3	41.6	40.3	40.7	41.5	41.4	41.5	40.3	40.4	41.3	42.6	40.0I	40.8	42.1
$\Sigma Fe + Mn$	14.7	14.1	13.1	14.8	14.8	13.1	13.1	12.4	15.5	15.0	19.2	20.5	18.1	17.6	15.2
Ca	45.7	45.6	45.3	44.9	44.5	45.4	45.5	46.3	44.2	44.6	39.5	37.9	41.8	41.6	42.7
f	5п	6п	39gn	33gn	2027а	In	In ₁	In ₂	In ₃	32gn	26gn	4I	7	I9	24
f ₁	0.228	0.272	0.254	0.284	0.284	0.254	0.250	0.240	0.329	0.289	0.330	0.323	0.336	0.314	0.277
$\Sigma Fe / Mg$	0.200	0.178	0.170	0.245	0.178	0.151	0.150	0.142	0.196	0.210	0.255	0.282	0.251	0.261	0.214
100·Fe ⁺²	0.365	0.349	0.306	0.366	0.354	0.313	0.314	0.292	0.378	0.369	0.449	0.437	0.439	0.431	0.350
Ca+Mg+Fe ⁺²	10.0	9.2	8.6	10.8	9.1	7.8	7.7	7.00	10.2	II.2	14.3	16.5	I3.7	I4.9	II.4
Ca-Al учрм.	24.8	24.8	25.1	23.2	25.0	21.0	20.5	24.0	20.5	22.9	12.0	I7.3	I4.5	I4.5	I7.5

$$f = \frac{Fe^{+3} + Fe^{+2} + Mn + Ti}{Mg + Fe^{+3} + Fe^{+2} + Mn + Ti}; \quad f' = \frac{Fe^{+2} + Mn}{Fe^{+2} + Mn + Mg}; \quad Ca - Al \text{ чермакитовый компонент} - 0.1(2000 - Si) \%$$

(Добрепов и др.)

Примечание: Обр.5 - вкрапленники клинопироксена из потока оливин-плагиоклаз-пироксеновых долеритов, с.Хаштарак.

Обр.6 - вкрапленники клинопироксена из потока оливин-плагиоклаз-пироксеновых базальтов, с.Ачаджур.

Обр.39 - вкрапленники клинопироксена из потока оливин-плагиоклаз-пироксеновых долеритов, с.Хаштарак.

Обр.33 - вкрапленники клинопироксена из потока оливин-плагиоклаз-пироксеновых долеритов, с.Шаваршаван.

Обр.2027а - вкрапленники клинопироксена из обломка оливин-плагиоклаз-пироксеновых мандельштейнов в эпикластических брекчиях, с.Хаштарак.

Обр. Iп - вкрапленники клинопироксена темнозеленого цвета (II генерация); дайкообразное тело оливин-плагиоклаз-пироксеновых базальтов, с.Хаштарак.

Обр. Iп₁ и Iп₂ - то же.Обр. Iп₃ - вкрапленники клинопироксена бледнозеленоватого цвета (I генерация). Дайкообразное тело оливин-плагиоклаз-пироксеновых базальтов, с.Хаштарак.

Обр.32 - вкрапленники клинопироксена из пластовой залежи оливин-плагиоклаз-

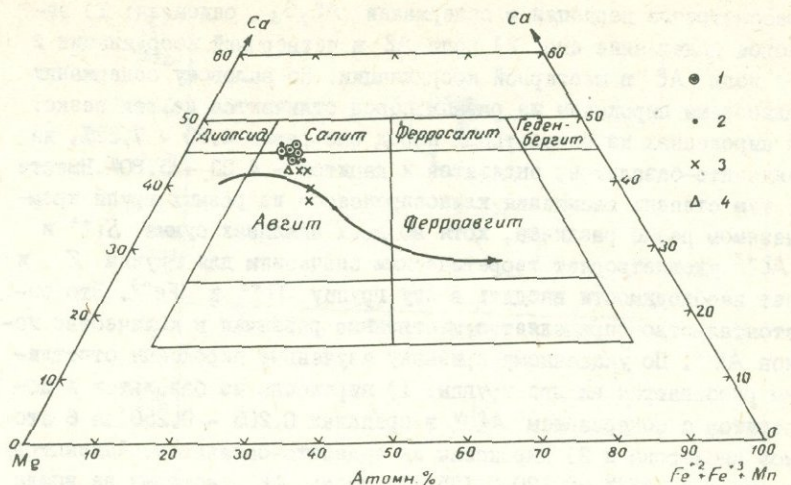
Обр.26 - вкрапленники клинопироксена из гиперстеновых андезитов-базальтов

Обр.4I - вкрапленники клинопироксена из дайки пироксен-роговообманковых андезитов

Обр.7 - вкрапленники клинопироксена из потока двупироксеновых андезитов

Обр. I9 - то же.

Обр.24 - вкрапленники клинопироксена из экструзивного тела кварцевых дайк.



Фиг. 7. Составы вкрапленников клинопироксенов верхнемеловой серии в пределах пироксенового четырехугольника.

(Номенклатура пироксенов по Польдерварту и Хессу. Тез же границы приняты Диором с соавторами и И.В.Гинсбург).

1) Клинопироксены из потоков оливин-плагиоклаз-пироксеновых базальтов и долеритов; 2) То же из пластовых залежей; 3) Клинопироксены из андезито-базальтов; 4) Клинопироксены из дапитов. (Стрелкой показана кристаллизации пироксенов насыщенной базальтовой магмы).

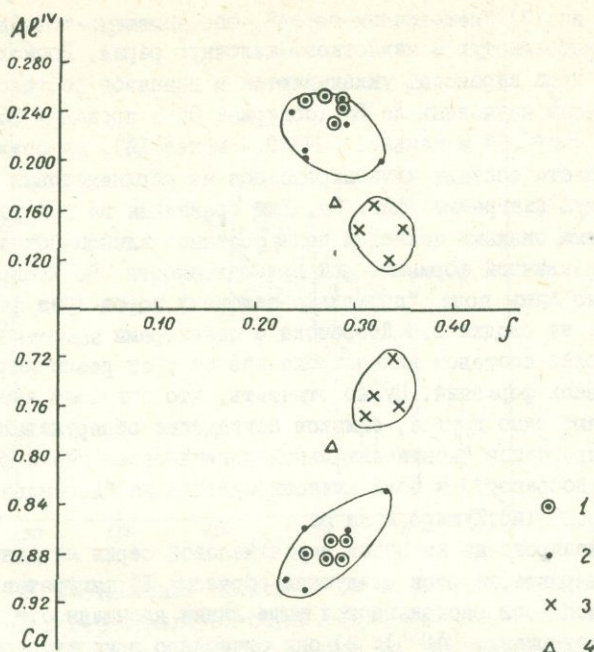
Клинопироксанов наиболее резкие различия существуют между вкрапленниками различных генераций: во вкрапленниках II генерации заметно увеличивается содержание Fs и Ti при незначительном уменьшении Wo , En и $Ca-Al$ чермакита. Клинопироксены из андезито-базальтов и андезитов по сравнению с таковыми базальтов обогащаются Fs , одновременно в них убывает содержание Wo при почти постоянном содержании энстатитовой составляющей и Ti ; в пироксен-роговообманковых андезитах магнезиальность возрастает. Клинопироксены из дапитов обладают по сравнению с андезито-базальтами более магнезиальным составом.

В ряду изученных пироксенов отмечаются также значительные различия по содержанию SiO_2 и Al_2O_3 . Остановимся на

рассмотрении вариаций в содержании Al_2O_3 , описывая: 1) валовое содержание его, 2) долю Al в четверной координации и 3) долю Al в шестерной координации. По валовому содержанию глиноzemа пироксены из разных пород отличаются не так резко: в пироксенах из базальтовых пород оно равно 4.80 - 7.32%, из андезито-базальтов, андезитов и дацитов - 4.23 - 5.80%. Вместе с тем степень насыщения клинопироксенов из разных групп кремнеземом резко различна, хотя во всех анализах сумма Si^{+4} и Al^{+3} удовлетворяет теоретическим значениям для группы Z и нет необходимости вводить в эту группу Ti^{+4} и Fe^{+3} . Это обстоятельство определяет существенные различия в количестве ионов Al^{IV} . По указанному признаку изученные пироксены отчетливо разбиваются на две группы: 1) пироксены из базальтов и долеритов с содержанием Al^{IV} в пределах 0.205 - 0.250 на 6 атомов кислорода и 2) пироксены из андезито-базальтов, андезитов, дацитов с $\text{Al}^{IV} = 0.120 - 0.175$. Та часть Al , которая не вошла в Z , наряду с ионами Fe^{+3} и Ti^{+4} включена в группу Y (шестерная координация). Наибольшие содержания Al^{VI} характерны для пироксенов из андезито-базальтов, андезитов и дацитов.

Рассмотренные особенности состава клинопироксенов из верхнемеловых пород иллюстрируются диаграммой (фиг.8), построенной по принципу, предложенному Л.Н.Добреповым и соавторами. Она представляет собой развернутый тетраэдр, в котором коэффициент железистости клинопироксенов (ось f) связан с содержанием в них волластонитового компонента (ось Ca) и $\text{Ca} - \text{Al}$ чермакита (ось Al^{IV}). По этим параметрам четко выделяются два ареала, соответствующие клинопироксенам из базальтовой группы и клинопироксенам из андезито-базальтов и андезитов. Промежуточное положение занимает клинопироксен из дацитов, который по железистости ближе к клинопироксенам из базальтов, но содержит меньше кальция и Al^{IV} . Вкрапленники II генерации в пластовых залежах базальтов по железистости соответствуют клинопироксенам из андезито-базальтов и андезитов, но по кальциевости и глиноzemистости они тяготеют к ареалам пироксенов базальтовой группы.

Таким образом, в ряду клинопироксенов из верхнемеловых пород различной основности обнаруживаются в целом закономерные изменения состава и высокие содержания Al^{IV} отмечаются во вкрапленниках пород, недосыщенных кремнеземом. На этом следует остановиться особо. Подчеркнем, что, как неоднократно обсуждалось в литературе /35, 36, 37, 38, 39/, содержание глинозема в



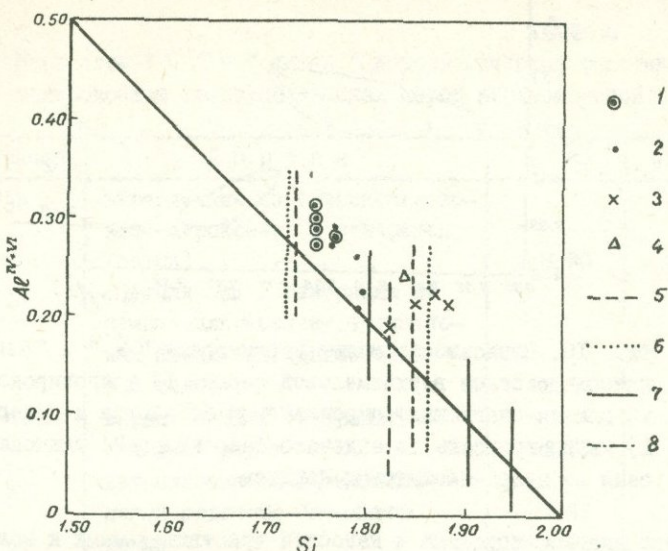
Фиг. 8. Зависимость между содержаниями Al^{IV} , Ca и коэффициентом железистости в клинопироксенах верхнемеловой серии. (Условные знаки см. на фиг. 7).

пироксенах определяется составом магмы и частично температурой и не зависит от фактора глубинности. Л.Н.Добрецов указывает, что это справедливо для тех диапазонов температур и давлений, в которых формируется большинство магматических пород. И.Куширо и М.Ле Ба впервые показали, что именно пропорция Al в тетраэдрической позиции структуры клинопироксенов имеет петрогенетическое значение как показателя степени насыщенности родоначальной базальтовой магмы SiO_2 . Закономерные вариации содержания Si и Al^{IV} характеризуют также процессы фракционирования и дифференциации внутри единых магматических серий. Куширо построен график, на который нанесены атомные содержания Al и Si; на нем линия, соединяющая точки 0.5 Al^{IV+VI} и 2.0 Si, соответствует линии "насыщенности тетраэдрической позиции". На данном графике Куширо и Ле Ба выделяют три поля составов, отвечающих клинопироксенам из (1) "пересыщенных щелочами пород (с фельдшпатоидами)", из (2) "нормальнощелочных пород (без фельдшпатоидами)" -

дов)", из (3) "нешелочных пород", объединяющих толейлитовую, высокоглиноземистую и известково-шелочную серии. Поскольку изученные нами пироксены укладываются в диапазон составов, статистически изученных Ле Ба (содержат Ca в пределах 35–55 атомных %, Fe ≈ 10% и меньше, Na₂O – менее 1%), мы сочли возможным нанести составы клинопироксенов из верхнемеловых пород на указанную диаграмму (фиг. 9). Для сравнения на ней различными условными знаками показаны поля составов клинопироксенов из пород различной формационной принадлежности. По Куширо и Ле Ба показано лишь поле "нормально-шелочных пород (без фельдшпатоидов)", из сводки Л.Н.Добрепова с соавторами заимствованы границы полей составов клинопироксенов из трех различных типов эфузивных формаций. Нужно отметить, что эти поля заметно перекрывают одно другое; близкое совпадение обнаруживают поле клинопироксенов "континентальной оливин-базальтовой формации" (по Л.Н.Добрепову) и поле клинопироксенов из "нормально-шелочных пород" (по Куширо и Ле Ба).

Клинопироксены из пород верхнемеловой серии на данной диаграмме характеризуются следующим образом: 1) фигурационные точки их составов располагаются выше линии насыщенности (постоянное содержание Al^{VI}); 2) они отчетливо группируются в пределах поля "нормальных щелочных пород без фельдшпатоидов" и "континентальной оливин-базальтовой формации" по названным авторам соответственно; 3) по сравнению с клинопироксенами "нешелочных пород" Куширо и Ле Ба, поле которых располагается в правом нижнем углу приведенной диаграммы и совпадает с полем клинопироксенов "орогеных андезитовых формаций" по Добрепову, клинопироксены верхнемеловых пород заметно более глиноземистые и недосыщенные SiO₂.

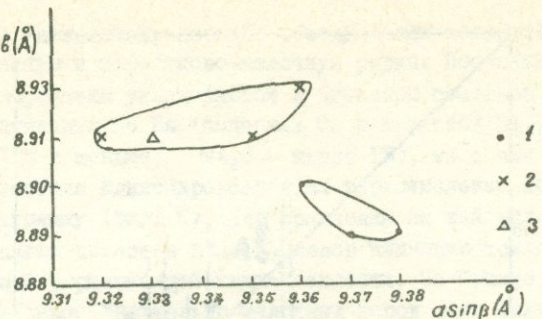
Рентгенометрическая характеристика. Рентгеновская диагностика клинопироксенов из пород верхнемеловой серии производилась по методу, разработанному П.Звааном /30/ и И.В.Гинсбург, Г.А. Сидоренко /40/. Для выявления различий моноклинных пироксенов между собой указанные авторы предлагают использовать определенные линии или сочетания линий. По этому признаку Зваан выделил четыре группы клинопироксенов (B₁, B₂, B₃, B₄), каждая из которых имеет характерные дифракционные максимумы, или группу максимумов. Внутри каждой группы пироксены подразделяются как по величинам межплоскостных расстояний, так и по интенсивностям некоторых линий.



Фиг. 9. Соотношение атомов Si и Σ Al в клинопироксенах верхнемеловой серии. Условные знаки 1-4 см. фиг. 7; 5) поле клинопироксенов из "щелочных пород без фельдшпатоидов" (по Куширо и Ле Басу); 6) поле клинопироксенов "континентальной оливин-базальтовой формации"; 7) поле клинопироксенов "океанической оливин-базальтовой формации"; 8) поле клинопироксенов "орогенных андезитовых формаций" (6,7 и 8 по Добрепцову и др.).

Исследование семи образцов клинопироксенов из различных пород верхнемеловой серии показало, что все они входят в группу авгитов (V_1 по Зваану) с характерными для них интенсивными отражениями (221), (310), (311), (131) и (221), (531) и парой сильных максимумов в области средних углов – (260) и (531). По дифрактометрическим картинам богатые кальцием авгиты из базальтовой группы и собственно авгиты из андезито-базальтов, андезитов и дацитов различаются не так четко. В частности, в первых не всегда отмечается характерное по И.В.Гинсбург и Г.А.Сидоренко расщепление рефлекса (260) с появлением слева от него дополнительного рефлекса.

По отражениям (060) и (600) были рассчитаны параметры " b " и " $\sin\beta$ " соответственно, которые для клинопироксенов яв-



Фиг. 10. Зависимость между параметрами "b" и "asin β " клинопироксенов верхнемеловой серии: 1) клинопироксены из оливин-плагиоклаз-пироксеновых базальтов и долеритов; 2) клинопироксены из андезито-базальтов; 3) клинопироксены из кварц-биотитовых дацитов.

ляются диагностирующими и наиболее чувствительными к колебаниям содержаний Mg - Fe, Al и Ca. Полученные результаты приведены в табл. 9. По этим данным построена также диаграмма (фиг. 10), на которой клинопироксены из пород базальтовой группы и клинопироксены из андезито-базальтов, андезитов и дацитов отчетливо обособляются.

В сводке А.Дира есть указания на то, что при содержании более 0.05 атома Al на 6 атомов кислорода наблюдается уменьшение параметра "b" и это уменьшение вызвано только Al⁺³ в октаэдрических положениях. И.Виткинд на примере изучения серии клинопироксенов из альбузитов Монтаны пришел к заключению, что общее высокое содержание Al⁺³ сильно уменьшает значения параметров "b" и "asin β "; при этом главное влияние оказывает Al⁺³ тетраэдрической координации. Этот вывод он обосновывает тем, что в изученном им ряду пироксенов наиболее резкие вариации обнаруживает именно величина Al^{IV} (равная 0.040-0.060 в кислых и средних породах и 0.103 - 0.814 - в основных), в то время как значения Al^{VI} во всех образцах близки.

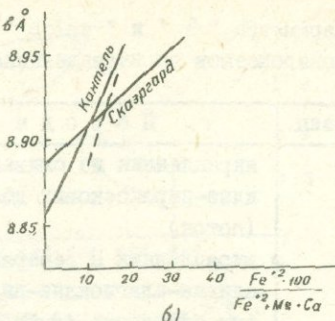
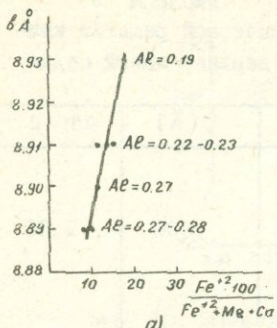
В клинопироксенах верхнемеловых пород, как было выше показано, также отмечаются резкие колебания в значениях Al⁺³, замещающего Si в кристаллической решетке. Эти изменения направлены в сторону уменьшения величины Al^{IV} от базальтов к андезито-базальтам, андезитам и дацитам. Одновременно в том же направлении несколько возрастают содержания Al^{VI}. Однако, как сле-

Таблица 9

Параметры "б" и "asinq" кристаллической решетки клинопироксенов во вкрапленниках пород верхнемеловой серии

Образец	П о р о д ы	б (Å)	asinq
33gn	вкрапленник из оливин-плагио- клас-пироксеновых долеритов (поток)		
I	вкрапленник II генерации из оливин-плагиоклас-пироксено- вых базальтов (дайкообраз- ное тело)	8.90	9.36
In ₃	вкрапленник I генерации из тех же пород	8.89	9.38
7gn	вкрапленник из двуциркосе- новых андезито-базальтов	8.89	9.37
I9gn	то же	8.91	9.32
41gn	вкрапленник из пироксен- роговообманковых андезитов	8.91	9.35
24gn	вкрапленник из кварцевых да- шитов	8.93	9.36
		8.91	9.33

дует из графика, изображенного на фиг. II, суммарное влияние ионов Al^{+3} приводит к резкому уменьшению параметра "б" в изученном нами ряду клинопироксенов и, следовательно, можно согласиться с выводом Виткинда об определяющем влиянии на вариации значения "б" ионов Al в четверной координации. Вместе с тем взаимосвязь параметра "б" с составом клинопироксенов имеет более сложный характер и определяется не только вхождением в их структуру Al^{+3} . Важно подчеркнуть, что "б" не зависит от содержания Ca и обнаруживает тесную связь с замещениями $Mg^{+2} \rightarrow Fe^{+2}$, возрастаая с увеличением Fe^{+2} /43,44, 45/. На фиг. IIa видно, что существует прямая зависимость между параметром "б" и отношением $Fe^{+2}/(Fe^{+2} + Mg + Ca)$ в пироксенах из различных по составу пород верхнемеловой серии. На том же графике приведены значения Al^{+3} , убывающие с возрастанием железистости.



Фиг. II. а) Зависимость параметра " b " от замещений типа $Mg^{+2} - Fe^{+2}$ и содержания Al^{IV+VI} в клинопироксенах верхнемеловой серии; б) Вариации параметра " b " в клинопироксенах различных магматических серий. 1. Верхнемеловая серия; 2. Серии по Ле-Февру.

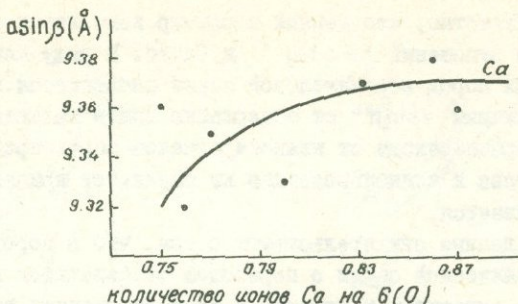
П.Лефевр /45/, детально изучивший изменение этого параметра в клинопироксенах из лав Кантала (Овернь, Франция), подчеркнул, что вариационные связи " b " с Al^{+3} и Fe^{+2} имеют линейный характер и специфичны для отдельных магматических ассоциаций или серий. Для каждой из ассоциаций по величине " b " можно оценить отношение $Fe^{+2}/Fe^{+2} + Mg + Ca$ в ряду клинопироксенов. Лефевр приводит для сравнения кривые вариации " b " в зависимости от Fe^{+2} в клинопироксенах лав магматических ассоциаций Канталь и Скаэргард. На фиг. IIб воспроизведен этот график; показана также кривая для изученных клинопироксенов верхнемеловых пород. Различный наклон кривых очевидно указывает на разный темп изменений величины параметра " b " в связи с железистостью. Кривая для наших клинопироксенов наклонена примерно под тем же углом, что кривая лав Кантала, в отличие, например, от несравненно более пологой кривой клинопироксенов Скаэргарда. Но в лавах Кантала интервал вариаций " b " ($8.86 - 8.95 \text{ \AA}^0$) значительно шире, чем в изученных нами клинопироксенах ($8.89 - 8.93 \text{ \AA}^0$).

Клинопироксены из верхнемеловых пород характеризуются в целом пониженными значениями параметра $as \sin \beta$; его значения для клинопироксенов из базальтовой группы приближаются к диоп-

сидовым (9.37 \AA^0). Известно, что данный параметр изменяется совместно с изменением отношений Ca : Mg и Ca : Fe . В ряду клинопироксенов различных пород верхнемеловой серии наблюдается прямая зависимость величины asinc от содержания ионов кальция (фиг. 12), причем при переходе от клинопироксенов пород среднего и кислого состава к клинопироксенам из базальтов кривая постепенно выполаживается.

Все приведенные данные свидетельствуют о том, что в породах верхнемеловой вулканической серии с переходом от базальтов к андезито-базальтам, андезитам и дацитам в клинопироксенах возрастают значения показателей преломления, значения параметра " b ", увеличиваются железистость и Al^{IV} , уменьшаются — величины $2V$, значения " asinc ", убывает кальциевость и Al^{IV} при почти постоянной магнезиальности. Это может свидетельствовать о том, что из теоретически возможных вариантов изоморфных замещений в изученном ряду клинопироксенов реально осуществляются следующие: 1) изовалентные замещения $\text{Ca}^{+2} \rightarrow \text{Fe}^{+2}$ (вариации параметра " asinc " и угла $2V$) и $\text{Mg}^{+2} + \text{Ca}^{+2} \rightarrow \text{Fe}^{+2}$ (вариации параметра " b " и показателей преломления); 2) гетеровалентные замещения типа $\text{Si}^{+4} \text{Mg}^{+2} \rightarrow \text{Al}_{IV}^{+3} \text{Al}_{VI}^{+3}$ (в целом пониженные значения параметров " b " и " asinc ", вариации " b "), 3) изоморфизм $\text{Ca}^{+2} \rightarrow \text{Mg}^{+2}$ проявлен слабо (не наблюдается необходимого уменьшения параметра " asinc " в направлении от базальтов к дацитам).

В заключении подчеркнем основные особенности состава клинопироксенов-вкрапленников в породах верхнемеловой вулканической серии. 1) Все изученные клинопироксены относятся к авгитам (богатым кальцием и собственно авгитам). 2) В связи с увеличением SiO_2 , железистости и убыванием Al_2O_3 , CaO во вмещающих породах состав клинопироксенов-вкрапленников изменяется в сторону увеличения Fs компонента, убывания глиноземистости и кальциевости. Одновременно состав клинопироксенов в породах определяется составом сосуществующих темноцветных и магнетита, выделяющегося во многих случаях как первая кристаллическая фаза. 3) По данным рентгеновского анализа изученные богатые Ca авгиты и собственно авгиты не различаются; вариации параметра " b " находятся в зависимости от Fe^{+2} и $\text{Al}_{IV}^{+3} \text{Al}_{VI}^{+3}$. 4) Разнообразие составов изученных клинопироксенов может быть связано главным образом с изоморфными замещениями $\text{Ca}^{+2} + \text{Mg}^{+2} \rightarrow \text{Fe}^{+2}$, $\text{Ca}^{+2} \rightarrow \text{Fe}^{+2}$ и $\text{Si}^{+4} \text{Mg}^{+2} \rightarrow \text{Al}_{IV}^{+3} \text{Al}_{VI}^{+3}$.



Фиг. 12. Зависимость параметра "асинβ" от содержания Са в клиноцирексенах верхнемеловой серии.

Роговая обманка

Роговая обманка - относительно редкий минерал в составе пород верхнемеловой серии (фиг. 5). Она является главным темноцветным минералом - вкрапленником в натровых липаритах и липарито-дацитах жерловой фации левобережья р. Тауш. В этих породах она слагает 4-6% поверхности шлифа и ассоциирует с вкрапленниками магнетита, ильменита и плагиоклаза (№ 49-37). В дайках гиперстен-роговообманковых перлитов фенокристаллы роговой обманки находятся совместно с вкрапленниками плагиоклаза (№ 55-38), гиперстена ($f = 41.0\%$) и титаномагнетита. Описываемый минерал встречается также в плагиоклазовых и пироксен-роговообманковых андезитах, в которых слагает 2-6% поверхности шлифа и ассоциирует с плагиоклазом (46-35% An) и переменным количеством авгита ($W_{38} E_{42} F_{20}$).

Во всех перечисленных типах пород роговая обманка представлена зеленовато-бурыми призматическими кристаллами, окаймленными скоплениями мелких зернышек магнетита; более мелкие выделения иногда на цело опацитизированы. Кристаллы не зональные, однородные, с характерной схемой плеохроизма: Ng - темный буровозеленый, Nm - буровато-зеленый, Nr - зеленый.

Оптика и химизм роговых обманок. Оптические константы и коэффициенты железистости (и магнезиальности) вкрапленников амфиболов (табл. 10) варьируют в сравнительно небольших пределах. По диаграмме У.А.Дира и соавторов, построенной с учетом изменений состава в связи с $2V$, Ng и Nr, коэффициент магнезиальности изученных амфиболов колеблется от 52 до 66%; наименее магнезиальным составом обладают вкрапленники роговой обманки из плагиоклаз-рогообманковых андезитов. Химические анализы четырех образцов роговой обманки^{x)}, а также рассчитанные

^{x)} Обр. 30 (шлиф 572) проанализирована также З.О.Чибухчяном

Таблица 10

Оптические константы вкрапленников роговой обманки
из пород верхнемеловой серии

Образ- цы	Порода	2V _{Np}	CNg	Ng ¹	Np ¹	$\frac{100 - Fe}{Fe + Mg}$ по диаг- рамме В.С. Соболева	$\frac{100 - Mg}{Mg + Fe + Mn}$ по диаг- рамме Дира и др.
4Ia	плагиоклаз-ро- говообманковый андезит (дайка)	78°	I4°	I.678	I.678	27	60
30	плагиоклаз-ро- говообманковый андезит (поток)	69°	I3°	I.686	I.662	34	54
I6	плагиоклаз-ро- говообманко- вый липарит (купол)	74°	I6°	I.678	I.654	26	59
I5	плагиоклаз-ро- говообманковый липарит (купол)	76°	I4°	I.672	I.645	23	66
634	плагиоклаз-ро- говообманковый липарит (купол)	73°	I6°	I.676	I.652	25	61
I3	плагиоклаз-ро- говообманковый - перлит	71°	I5°	I.680	I.660	27	58

на основе 24 атомов кислорода кристаллохимические формулы и соотношения основных компонентов, приведены в табл. I2. Кристаллохимические формулы изученных амфиболов в целом отвечают теоретическим соотношениям $x:y:z:(OH) = (2-3):5:8:24$.

В группу x включены катионы Mg, Na, Ca ; в группе Y постоянно отмечается некоторый избыток катионов, который является допустимым для амфиболов из вулканических пород из-за низкого содержания (OH). Из их рассмотрения следует, что все изученные амфиболы относятся, согласно классификации У.А.Дира и соавторов, к подгруппе кальциевых амфиболов; соотношения окисного и закисного железа наряду с оптическими свойствами, окраской и тонами плеохроизма отвечают обыкновенной роговой обманке.

методом сравнительной дисперсии двупреломления.

Характерной особенностью химизма роговых обманок из верхнекемовых пород различного состава является высокое содержание кальция на формульную единицу (2.08–1.91), соответствующее верхнему пределу содержаний этого катиона. По содержанию $(\text{Na}+\text{K})$ различия не такие резкие и значения коэффициента α_{Ca} составляют 21–23%. Далее, описываемому минералу свойственна высокая глиноzemистость, однако значения Al^{IV} в образцах из андезитов, приближающиеся к допустимому верхнему пределу замещений Si на Al , заметно уменьшаются в липаритах и, особенно, в перлитах. Эти изменения связаны с возрастанием щелочности от андезитов к перлитам и представлены на диаграммах в координатах $\text{Al}^{IV} - (\text{Al}^{VI} + \text{Fe}^{+3} + \text{Ti})$ и $\text{Al}^{IV} - (\text{Na} + \text{K})$, заимствованных у У.А.Дира с соавторами (фиг. I3). Фигуративная точка образцов из липаритов и перлитов ложится в поле составов роговых обманок, а точки, соответствующие андезитам, смещаются за счет высокой доли Al^{IV} к линии изоморфного ряда паргасит–чермакит. Судя по отношению $\frac{100 \cdot \text{Mg}}{\text{Mg} + \text{Fe} + \text{Mn}}$ равному 54–70%, количество ионов Mg постоянно преобладает над суммой $(\text{Fe}^{+3} + \text{Fe}^{+2})$, а наиболее высокая магнезиальность отмечается в роговой обманке из липаритов. Сотношения между коэффициентом магнезиальности и содержанием ионов Si изображены на фиг. I3 в. Приведенные в табл. II отношения Fe^{+3}/Fe указывают на разную степень окисленности изученных роговых обманок. В связи с этим необходимо также отметить постоянно низкое, по сравнению с теоретической формулой, содержание гидроксила, связанное с процессом окисления значительной части двухвалентного железа. Известно, что в лавах и экструзивах этот процесс является результатом экзотермических реакций в поверхностных условиях /46, 47/.

В целом изменение составов вкрапленников роговых обманок в последовательности андезит–перлит происходит в сторону возрастания степени насыщенности Si^{+4} ; параллельно этому магнезиальность сначала возрастает в липаритах, затем резко уменьшается в перлитах, а сумма щелочей убывает в липаритах и вновь несколько возрастает в перлитах. Очевидно, что направленность изменений Mg и $\text{Na} + \text{K}$ не соответствует тем, которые должны наблюдаться в генетически связанным ряду пород, эволюционирующих от средних к кислым. Поэтому отметим, что плагиоклаз–рогообманковые андезиты и рогообманковые липариты (и перлиты) принадлежат пространственно разобщенным и параллельно развивающимся рядам (Прикуринская зона, Таузский прогиб). Кроме того,

Таблица II

Химический состав и кристаллохимические формулы вкрапленников роговой обманки из верхнемеловых пород

	Обр. 4Ia	Обр. 30	Обр. I5	Обр. I3 ^x
I	2	3	4	5
SiO ₂	39.42	40.75	44.00	45.58
TiO ₂	2.00	I.04	0.80	0.95
Al ₂ O ₃	II.56	I2.50	I3.06	8.33
Fe ₂ O ₃	6.00	6.85	5.80	5.13
FeO	II.24	II.50	7.90	II.12
CaO	I2.8I	I2.42	I2.20	I2.85
MgO	I4.00	II.90	I4.16	I2.40
MnO	0.30	0.22	0.36	0.42
Na ₂ O	I.65	I.35	I.44	I.66
K ₂ O	0.50	0.92	0.38	0.46
H ₂ O ⁺	I.20	0.69	0.80	0.92
H ₂ O ⁻	-	-	0.06	0.10
Сумма	100.68	100.14	100.96	99.92

Количество ионов в пересчете на 24 (0)

Z	Si	6.008	6.190	6.430	6.838	8.00
		8.00	8.00	8.00		
Y	Al	I.992	I.810	I.570	I.I62	
	Al	0.093	0.433	0.673	0.297	
X	Ti	0.228	0.128	0.088	0.I08	
	Fe ⁺³	0.696	5.65	0.786	0.964	5.I7
Y	Mg	3.I70	2.700	3.085	2.765	
	Fe ⁺²	I.425	I.476	0.310	I.387	
X	Mn	0.037	0.027	0.053	0.054	
	Na	0.495	0.42I	0.42I	0.486	
Wn	Ca	2.085	2.014	I.9II	2.054	2.63
		2.67	2.62	2.40		
OH	K	0.09I	0.183	0.070	0.090	
	OH	I.225	I.96	0.712	2.00	I.009
O	O	0.740	I.288	0.400	I.27	2.00
					0.99I	
Wn		47.26	48.27	47.60	48.00	

I	2	3	4	5
Соотношения атомов				
Mg / Fe ⁺²	2.3	1.8	10.0	1.9
100-Mg	59.4	54.1	69.7	57.8
Mg+ Σ Fe + Mn				
Asi	24.9	22.6	19.6	14.5
a ⁺³ _{VI}	18.00	24.3	20.6	18.9
a _{Ca}	21.9	23.1	20.5	21.9
Fe ⁺³ / Σ Fe	0.33	0.62	0.24	0.29

Примечание: $a_{Si} = \frac{Al^{IV}}{Al^{IV} + Si} \cdot 100$; $a_{VI}^{+3} = \frac{(Al_{VI} + Ti + Fe^{+3}) \cdot 100}{Mg + Fe^{+3} + Fe^{+2} + Al^{VI} + Mn + Ti}$

$$a_{Ca} = \frac{(Na + K) \cdot 100}{Na + K + Ca} \quad (\text{по С.А.Кориковскому}) / 48.$$

Обр. 4I - дайка пироксен-роговообманкового андезита, с. Ачаджур; обр. 30 - субвулканическое тело плагиоклаз-роговообманковых андезитов, с. Шаваршаван; обр. 15 - роговообманковый липарит, купол Кероглы; обр. 13 - гиперстен-роговообманковый перлит из дайки, купол Кероглы.

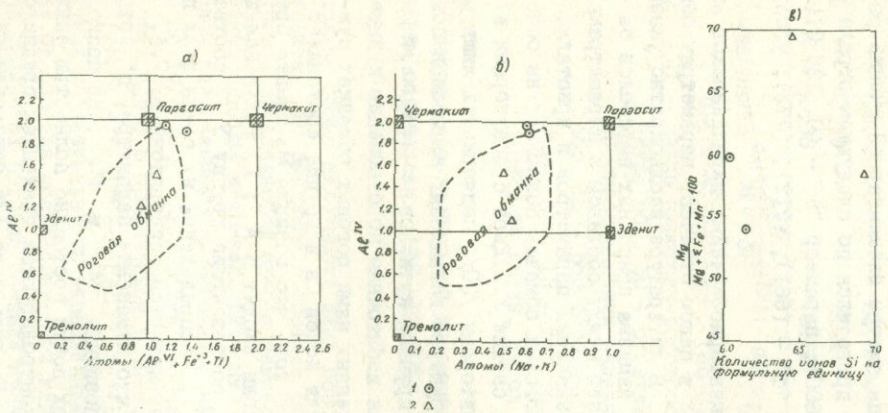
x) Методом сравнительной дисперсии двупреломления З.О.Чибухчиным определены $MgO = 12.30\%$, $Al_2O_3 = 8.00\%$, $CaO = 12.90\%$.

поскольку общая щелочность этих пород заметно возрастает лишь в перлитах, то различия в составе роговых обманок андезитов и липаритов определяются скорее температурой кристаллизации и участием других интрапеллурических фаз, например, плагиоклаза. Высокая глиноземистость роговых обманок из андезитов объясняется по W. Hally /49/ более высокой температурой кристаллизации этих пород и проявлением компенсированного изоморфизма по типу $(Mg^{+2}, Fe^{+2}) Si^{+4} \rightarrow (Al^{+3}, Fe^{+3}) Al^{+3}$. Далее, в андезитах пониженная магнезиальность вкрапленников роговой обманки зависит также от состава существующего клинопироксена. В роговообманковых липаритах роговая обманка является единственным темно-цветным минералом-вкрапленником и ранняя кристаллизация ильменита и магнетита, связывающая значительную часть железа, могла обусловить более магнезиальный состав кристаллизирующегося амфибола. Различия же в составах роговых обманок из липаритов, с одной стороны, и перлитов, с другой, определяются скопре замечательным возрастанием в сумме щелочей Na_2O , а также

появлением во вкраплениках второго темноцветного минерала (гиперстена), чем различиями в температурах кристаллизации.

Рентгенометрическая характеристика. Вкраплениники роговой обманки из андезитов (4Ia), липаритов (15) и перлитов (13) исследовались также рентгеновским методом. Диагностика показала принадлежность всех изученных образцов в обыкновенной роговой обманке. В табл. I2 приводятся параметры элементарной ячейки роговых обманок, расчет которых проводился по следующим отражениям: параметр "a" - (400), (600); параметр "b" - (0, 12.0), (0.14.0) и (0.10.0); параметр "c" - (66I), (712), (772); угол β - (64I), (603).

Рассчитанные параметры элементарной ячейки вкраплеников амфибола из верхнемеловых пород в целом отвечают параметрам обыкновенной роговой обманки /28/. В литературе неоднократно указывалось, что крайняя сложность химизма природных амфиболов затрудняет выявление тесных связей между составом и параметрами ячейки. Поэтому рассмотрение значений параметров и кристаллохимических формул изученных роговых обманок позволяет на основе положений, суммированных в сводке У.А.Дира с соавторами и в статье Р.А. Colville с соавторами /50/, подчеркнуть лишь следующее: 1) Известно, что в структуре кальциевых амфиболов позиция M_4 соответствует группе крупных катионов x (Ca, Na, K), если количество их не является избыточным по отношению к двум подходящим положениям. В изученных нами роговых обманках сумма этих катионов более 2 и доля ионов Ca в группе составляет 76-80%. Это позволяет судить о том, что позиция M_4 занята преимущественно Ca, а щелочные ионы входят в A; 2) Более мелкие катионы Mg, Fe⁺², Fe⁺³, Al, Ti, составляющие группу Y, соответствуют позициям M_1 , M_2 , M_3 . Распределение их среди этих позиций в природных амфиболах не является беспорядочным. Р.А. Colville и соавторы показали, что изменение параметра "b" есть функция размеров катионов в позициях M_2 и M_4 . Но поскольку M_4 в кальциевых амфиболах почти постоянно полностью занимается Ca, то колебания "b" контролируются значением среднего радиуса ионов в позиции M_2 . По диаграмме I3в цитированной работы можно судить, что значения параметра "b" изученных амфиболов из верхнемеловых пород, равные I8.II-I8.08, соответствуют среднему радиусу ионов в M_2 в пределах 0.60-0.65. Эти значения "b" определенно указывают также на то, что позиция M_2 на 50% занята ионами Al и на 50% ионами Fe⁺². Следовательно,



Фиг. I3. Состав вкрапленников роговой обманки из пород верхнемеловой серии:

а - зависимость между Al^{IV} и $\text{Al}^{VI} + \text{Fe}^{+3} + \text{Ti}$;

б - зависимость между Al^{IV} и $\text{Na} + \text{K}$;

в - зависимость между $\text{Mg}/(\text{Mg} + \text{Fe} + \text{Mn})$ и $\text{Si}/\text{Al}^{IV} + \text{Fe}^{+3} + \text{Ti}$.

I. Роговые обманки из андезитов; 2. Роговые обманки из кислых эфузивов.

в изученных амфиболах ионы Mg и Fe^{+2} наряду с оставшимися ионами Al и Fe^{+3} входят главным образом в позиции M_1 и M_3 ; 3) Параметр "asinq" является функцией как размера катионов в тетраэдрической координации, так и в октаэдрической. Colville и соавторы установили, что минимальные значения его (9.4 \AA) отмечаются тогда, когда Si занимает все тетраэдрические позиции, а Mg и Al все октаэдрические; максимальные значения (9.6 \AA) наблюдаются в случае, когда октаэдрические позиции заняты преимущественно крупными катионами. Полученные для наших амфиболов значения asinq близки и равны примерно 9.5 \AA , что подтверждает распределение Al^{+3} как по тетраэдрическим позициям, так и по октаэдрическим. Можно, кроме того, считать, что октаэдрические положения примерно на 50% заняты крупными катионами и на 50% - мелкими катионами; 4) Угол β контролируется скорее всего отношением Al/Si , чем ионами в позиции M_4 . По этому параметру амфиболы из андезитов, с одной стороны, и амфиболы из липаритов и перлитов, с другой, различаются довольно четко в соответствии с тем, что в первых большее количество ионов Si замещено на Al (см. различия по коэффициенту изоморфизма a_{Si}); 5) Значения параметра "c" определяются размером

Таблица I2

Данные рентгеновского анализа моноклинных амфиболов из пород верхнемеловой серии

№ образца	Минерал	Параметры элементарной ячейки в \AA					
		a	b	c	β	asinq	csinq
4Ia	обыкновенная роговая обманка	9.895	18.II	5.301	$73^{\circ}36'$	9.492	5.085
15	обыкновенная роговая обманка	9.874	18.08	5.283	$74^{\circ}42'$	9.524	5.096
I3	обыкновенная роговая обманка	9.888	18.08	5.272	$74^{\circ}12'$	9.515	5.073

катионов в положениях M_1 , M_2 и возрастают при замещении Mg на Fe^{+3} . В нашем случае амфиболы из андезитов имеют большую величину "с" по сравнению с амфиболами из кислых пород, что вероятно отражает более магнезиальный состав последних; 6) Параметр "csin β " прямо коррелируется с содержанием Al^{IV} .

Итак, подчеркнем основные особенности состава роговых обманок - вкраепленников из верхнемеловых пород. 1) По оптическим свойствам, химизму и результатам рентгеновского исследования изученные амфиболы представлены обыкновенной роговой обманкой с постоянно пониженным содержанием гидроксила. 2) С изменением состава вмещающих пород от андезитов до перлитов и липаритов во вкраепленниках роговой обманки при одинаковой щелочности убывает степень замещения Si на Al и возрастает коэффициент магнезиальности. Изменения эти вероятно связаны с температурой кристаллизации пород и определяются составом сосуществующих минералов - вкраепленников. 3) Рассчитанные параметры элементарной ячейки могут использоваться для суждения об упорядоченном распределении катионов в различных структурных позициях. 4) Высокое содержание Al^{IV} , суммарное содержание щелочей, отношение Fe / Mg при данных содержаниях SiO_2 во вмещающих породах позволяет изученные роговые обманки относить к типу, свойственному ассоциациям пород островных дуг, выделенному Якешем и соавтором /51/ на основании детального сравнения химизма амфиболов из вулканических ассоциаций островных дуг и окраин континентов.

Биотит

В верхнемеловых вулканических породах биотит встречается исключительно во вкраепленниках кислых вулканических пород, содержащих SiO_2 в пределах 66–70% и K_2O – 3–5.60%. Это обсидиан-перлиты потоков, липариты и кварцевые дациты жерловой фации, развитые в левобережье р. Джогас и к востоку от с. Саригюх. В обсидиан-перлитах биотит – единственный ёмечийский минерал, составляющий 2–6% поверхности шлифа и ассоциирующий с вкраепленниками олигоклаз-андезина и магнетита. В биотитовых липаритах содержание его возрастает до 4–8%; ассоциирующие вкраепленники представлены олигоклаз-андезином, магнетитом, санидином. В кварцевых дацитах биотит, составляющий 2–4% поверхности шлифа, находится совместно с вкраепленниками авгита ($W_{0.43} En_{42} Fs_{15}$) кварца и магнетита.

Во вкрапленниках лав и туфов биотит образует пластинчатые или изометричные шестиугольные выделения с опацитизацией полирефлекции и по трещинкам спайности. Характерны включения идиоморфных кристалликов циркона и аппатита. Схема абсорбции обычна, но N_g биотит окрашен в темно-коричневый цвет.

Значение угла оптических осей во всех изученных образцах равно или близко к 0° . Показатели преломления $N_g = N_m$ варьируют от 1.670 до 1.681, что свидетельствует о значительном колебании коэффициента железистости (табл. 13). Наиболее железистыми по составу являются вкрапленники биотита из кварцевых дацитов.

Химизм биотитов. В табл. I4 приводятся результаты полного химического анализа 5 образцов биотита из всех типов верхнemеловых биотитсодержащих пород. По этим данным изученный минерал относится к промежуточному типу между изоморфными рядами истонит-сидерофиллит и флогопит-аннит. Химические анализы рассчитаны на $24(\text{OH}, \text{O})$ в соответствии с теоретической формулой $\text{x}_2 \text{Y}_{6-4} \text{Z}_8 \text{O}_{20} (\text{OH}_4)_4$.

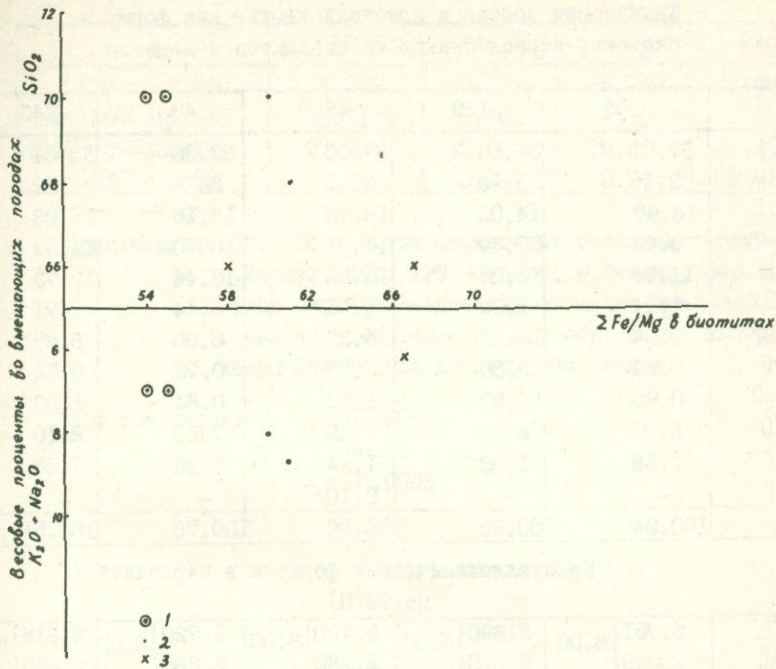
Содержание крупных межслоевых катионов в 12-кратной координации (группа X) колеблется от 1.63 до 2.36. Во всех анализах калий составляет 75–85% ионов группы; наиболее высокие содержания Na отмечаются в биотитах из кварцевых дацитов ($\text{K}/\text{Na}=3.58$). Количество катионов в октаэдрических позициях (группа Y) составляет 5.61–6.30, что близко к теоретической цифре 6.0 в триоктаэдрических слюдах. Характерно, что большинство в этой группе составляет катионы $\text{Fe}^{+2}, \text{Fe}^{+3}$ и Mg при постоянном преобладании $\text{Fe}^{+2} + \text{Fe}^{+3}$ над Mg , меньшую часть составляют $\text{Al}^{\text{IV}}, \text{Ti}, \text{Mn}$. Поскольку постоянно присутствует Al^{IV} , Ti входит только в октаэдрическую позицию и количество его в общем уменьшается с увеличением отношения $\frac{\text{Fe}}{\text{Fe} + \text{Mg}}$ от биотитов из обсидиан-перлитов и липаритов к биотитам из кварцевых дацитов. В изученных биотитах тетраэдрические позиции заняты исключительно катионами Si и Al , содержание Al^{IV} колеблется в пределах 2.250–2.365 на формульную единицу и максимальное значение устанавливается в биотитах из кварцевых дацитов. В дополнительной группе одновалентные катионы OH^- составляют 50% или меньше, что свидетельствует о высокой степени изоморфного замещения гидроксила на O^- в связи с окислением Fe^{+2} .

Наиболее четкие различия в составе изученных биотитов наб-

Таблица I3

Оптические свойства и состав вкраепленников биотита из верхнемеловых
липаритов и дацитов

Образец	Порода	$N_g = N_m$	$\Sigma Fe \cdot 100 / (\Sigma Fe + Mg)$ по В.С. Соболеву (мол. %)	$FeO + 2(Fe_2O_3 + TiO_2)$ по Хейнричу (мол. %)	Название минерала по Трегеру
I0	обсидиан-перлит из потока	I.670	72	35	лепидомелан
I39	обсидиан-перлит из потока	I.675	76	38	лепидомелан
49 ₁	биотитовый липарито-трахит из купола	I.678	78	40	лепидомелан
49 ₂	биотитовый липарито-трахит из купола	I.674	75	38	лепидомелан
38	плагиоклазовый липарит из потока	I.680	80	43	лепидомелан-аннит
246	кварцевый дацит из экструзива	I.681	81	45	лепидомелан-аннит



Фиг. 14. Зависимость между составом биотитов-вкраепленников и содержанием SiO_2 и $(Na_2O + K_2O)$ во вмещающих породах.

I) Биотит из обсидианов; 2) Биотит из липаритов и липарито-траплитов; 3) Биотит из кварц-биотитовых дацитов.

людятся по коэффициентам железистости $\frac{\Sigma Fe \cdot 100\%}{\Sigma Fe + Mg}$; $FeO + 2(Fe_2O_3 + TiO_2)$ и глиноземистости $Al - 100\% / Al + Mg + Fe + Si$.

Общая железистость возрастает от 54% в биотитах из обсидиан-перлитов до 67,6% в кварцевых дацитах. Судя по графику (фиг. 14), корреляция между коэффициентами железистости биотитов и вмещающих пород отсутствует, но намечается связь между валовым содержанием SiO_2 в материнских породах и железистостью биотитов-вкраепленников. Последняя при этом возрастает с уменьшением SiO_2 . На том же графике видно, что с увеличением общей щелочности от обсидиан-перлитов ранних излияний к биотит-сандиновым липарито-траплитам экструзий железистость биотитов несколько возрастает. Одновременно кварцевые дациты,

Таблица 14

Химический состав и кристаллохимические формулы
биотитов-вкрашенников из липаритов и дацитов

	106	139	49 _I ^X	49 ₂	246
SiO ₂	37.74	36.56	37.20	37.30	35.84
TiO ₂	2.36	2.62	3.45	2.30	1.52
Al ₂ O ₃	16.97	14.02	16.15	17.16	15.03
Fe ₂ O ₃	9.20	10.47	11.31	10.40	14.59
FeO	II.99	I3.04	I2.68	I3.44	I2.73
CaO	I.14	I.97	I.06	I.14	I.71
MgO	9.14	10.72	8.33	8.00	6.89
MnO	0.84	0.80	0.37	0.72	0.72
Na ₂ O	0.98	0.87	I.22	0.84	I.50
H ₂ O	8.00	8.30	6.65	7.60	8.10
H ₂ O ⁺	I.88	I.32	I.24	I.88	I.88
H ₂ O ⁻	-	-	0.10	-	-
Сумма	100.24	100.69	100.02	100.78	100.51

Кристаллохимические формулы в пересчете
на 24(О)

z	Si	5.751	5.690	5.720	5.720	5.635	8.00
	Al	2.249	2.310	2.280	2.280	2.365	
	Al	0.780	0.250	0.661	I.205	0.410	
	Ti	0.275	0.309	0.407	0.267	0.113	
y	Fe ⁺³	I.065	I.235	I.315	I.200	I.715	5.61
	Fe ⁺²	I.531	I.690	I.641	I.715	I.665	
	Mn	0.110	0.103	0.046	0.092	0.094	
	Mg	2.080	2.482	I.920	I.825	I.615	
x	Ca	0.183	0.327	0.176	0.184	0.283	
	Na	0.293	I.63	2.23	I.88	0.258	2.36
	K	0.156		0.370	I.491	I.620	
OH	OH	I.945	3.985	I.345	I.390	I.955	2.000
	O	2.040		4.00	4.00	2.045	4.00
wk		45.5	46.5	46.6	46.4	45.8	

Отношения атомов

Fe · 100 %	55.30	54.00	66.60	61.50	67.60
Fe + Mg					
Na + K	0.476	0.745	0.578	0.501	0.746
Al					
Al · 100 %	20.9	I8.7	21.7	24.60	20.6
Al + Mg + Fe · 51					

продолжение табл. I4

	I06	I39'	49 ₁ ^X	49 ₂	246
K/Na	3.940	6.270	3.70	5.760	3.58
Mg + Fe/Al	1.545	2.115	1.660	1.360	1.800
FeO·2(Fe ₂ O ₃ +TiO ₂)	35.II	39.22	42.20	38.84	44.90
Fe ⁺³ /Fe ⁺²	0.68	0.73	0.80	0.70	1.03

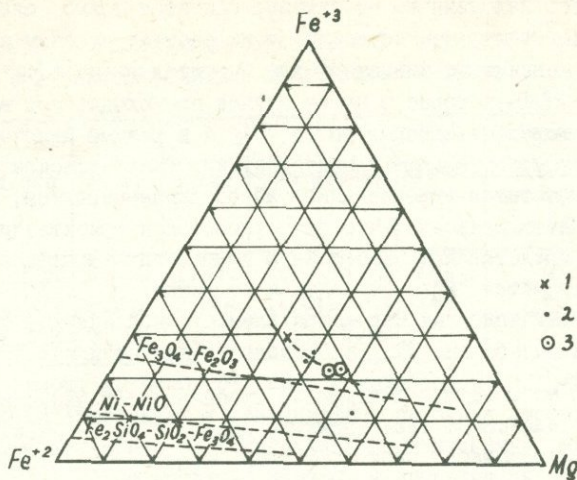
Примечание: обр. I06 – поток биотитовых обсидиан-перлитов, г.Мровул; обр. I39 – то же, г.Учголь; обр.49₁ – купол биотит-сандининовых липарито-траплитов, г.Кзылкая; обр.49₂ – то же, обр. 246 – экструзив кварц-биотитовых дапитов, уч.Кардан.

^X В том числе: Li₂O = 0.0042;
Rb₂O = 0.015;
Cs₂O = 0.0006

содержащие меньше щелочей, характеризуются высокой железистостью биотита вкрапленников. Эти незакономерные соотношения можно объяснить тем, что биотит в обсидиан-перлитах и липаритах - единственный темноцветный минерал и различия в его составе связаны со степенью дифференциации последовательных порций расплава. В кварцевых же дацитах состав биотита непременно должен контролироваться составом ассоциирующего с ним авгита, который как более тугоплавкая фаза связывает значительную часть магния.

Обращаясь к тройной диаграмме $Fe^{+3}-Fe^{+2}-Mg$ (фиг. 15), можно видеть, что указанное изменение железистости в биотитах ряда обсидиан-перлит-липарат-кварцевый дацит происходит преимущественно за счет заметного возрастания Fe^{+3} при незначительном увеличении Fe^{+2} . На рассматриваемую диаграмму пунктиром нанесены также составы твердых растворов биотитов серии флогопит-аннит, изученных Д.Р.Вонсом и соавтором /52/ в экспериментальной системе $MgFe_3AlSi_3O_{12}H_1 - MgFe_3AlSi_3O_{10}(OH)_{12} - Mg_3AlSi_3O_{10}(OH)_2$. Эти твердые растворы устойчивы в условиях парциального давления кислорода, контролируемых индивидуальными буферами равновесия $Fe_3O_4 - Fe_2O_3$, $Ni-NiO$, $Fe_2SiO_4 - SiO_2 - Fe_3O_4$.

Фигуративные точки наших биотитов в треугольнике составов $Fe^{+2}-Fe^{+3}-Mg$ располагаются выше линии составов, устойчивых при P_{O_2} , эквивалентном буферной смеси $Fe_3O_4 - Fe_2O_3$. При этом линия изменения их состава наклонена под некоторым углом к линии $Fe_3O_4 - Fe_2O_3$. Это сравнение позволяет ориентировочно считать, что равное 55-67% отношение $Fe/Fe + Mg$ в биотитах верхнемеловых пород контролировалось в период их кристаллизации значением P_{O_2} , которое несколько превосходит таковое в эксперименте с буфером $Fe_3O_4 - Fe_2O_3$. По диаграмме Д.Р.Вонса и соавтора биотиты такого состава должны быть устойчивы ниже контура 60-70, т.е. при $t = 600-920^\circ$ и $-\log f_{O_2} = 12-14$. Поскольку имеются свидетельства того, что кристаллизация вкрапленников биотита в изученных верхнемеловых породах происходила в интрапаллюрических условиях, можно вслед за указанными авторами предположить, что P_{O_2} в очаге кислой магмы не контролировалось извне, но определялось составом магмы и ее температурой и роль буфера в ней могла осуществляться окислами (магнетитом, ильменитом), кристаллизующимися в самой магме. (В других разделах работы эти вопросы будут рассмотрены подробнее).



Фиг. 15. Соотношения компонентов Fe^{+2} – Fe^{+3} ~ Mg во вкрапленниках биотитов из кислых вулканических пород верхнемеловой серии. 1. Биотит из кварц-биотитовых дацитов; 2. Биотиты из липаритов и липарито-трахитов; 3. Биотиты из обсидианов.

Коэффициент глиноземистости изученных биотитов колеблется от 18.7–20.9 в обсидиан-перлитах и кварцевых дацитах до 21.7–24.60 в биотитовых липаритах и липарито-трахитах. Устанавливается прямая зависимость между общей щелочностью пород и глиноземистостью вкрапленников биотита.

На диаграмме в координатах $\frac{\text{Si}}{\text{Al}} - \frac{\text{Mg} + \text{Fe}}{\text{Al}}$, рассмотренной А.А. Маракушевым и соавтором /53/, фигуративные точки изученных биотитов располагаются в пределах Ш поля щелочности (гранитоидов нормальной щелочности) или приближаются к его границе с полем гранитоидов повышенной щелочности (ІУ). По сравнению с составами биотитов из кислых экструзивов и эфузивов, использованными указанными авторами при построении диаграммы, биотиты из верхнемеловых кислых пород характеризуются более низкими отношениями Si/Al и $\text{Mg}+\text{Fe}/\text{Al}$, т.е. повышенной ролью Al как в тетраэдрической позиции, так и в октаэдрической. Кроме того, против выведенных ими стандартных кристаллохимических формул биотитов для каждого поля щелочности наши биотиты отличаются высокой долей O^- в гидроксильной группе.

Из всего изложенного по химизму биотитов можно, следовательно, предположить, что колебания в их составе связаны с изоморфными замещениями по известной для биотитов схеме $(Mg+Fe)O + SiO_2 \rightarrow Al_2O_3$, которые в нашем случае происходят под влиянием обоих факторов — температуры (и P_{O_2}) и режима щелочности.

Рентгенометрическая характеристика. Рентгеновское изучение образцов биотитов-вкраепленников из обсидиан-перлитов, липаритов и дайитов показало, что они относятся к триоктаэдрическим слюдам и представляют однослойную моноклинную модификацию IМ. Расчет параметра " β " производился по линии (060), " $c\sin\beta$ " — по (005). Вычисленные параметры элементарной ячейки, структурный тип и содержание Fe в октаэдрических позициях по диаграмме Gower /54/ приводятся в табл. 15. Отметим удовлетворительную сходимость значений коэффициента железистости по оптическим данным, химическим определениям и по отношению $J_{(004)}/J_{(005)}$.

Несмотря на вариации в составе биотитов из различных пород, значения межплоскостных расстояний d (060) колеблются в относительно небольших пределах, в связи с чем и параметры " β " и " $c\sin\beta$ " имеют близкие значения. При этом наиболее низкими значениями " β " характеризуются вкраепленники биотита из кварцевых дайитов, что является отражением наиболее высокого содержания в них трехвалентного железа. В изученных биотитах закономерные вариации обнаруживаются для отношения интенсивностей $J_{(004)}/J_{(005)}$, которые чувствительны к изоморфным замещениям Fe-Mg. Оно возрастает от 0.98 до 1.17 параллельно с возрастанием $Fe/Fe + Mg$ от 55 до 67.60%.

ИК-спектры поглощения. На спектрофотометре UR -10 для образца биотита из липарито-траверитов /49/ получены также инфракрасные спектры поглощения в области волновых чисел 400-3800 cm^{-1} (лаборатория ИК-спектроскопии, ВСЕГЕИ, аналитик Э.А.Липатова). Анализ спектра поглощения (фиг. 16) позволяет сделать следующие выводы: 1) Образец содержит Fe^{+3} в количестве более 1 на элементарную ячейку из шести октаэдрических позиций, о чем говорит заметная полоса поглощения с максимумом около 3540 cm^{-1} , вызываемая валентными колебаниями гидроксильных групп, связанных с вакансиями октаэдрического слоя. 2) Образец содержит некоторое количество воды в форме H_2O , о чем свидетельствует наличие полосы поглощения при 1640 cm^{-1} , вызываемой деформационными колебаниями молекул воды, а также наличие небольшого фона поглощения при 3400 cm^{-1} , обычно относимого к валентным колебаниям H_2O .

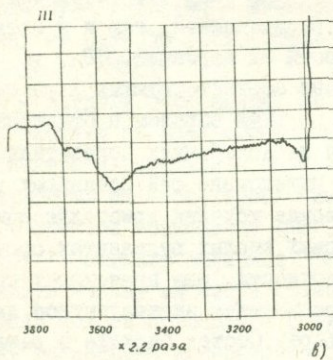
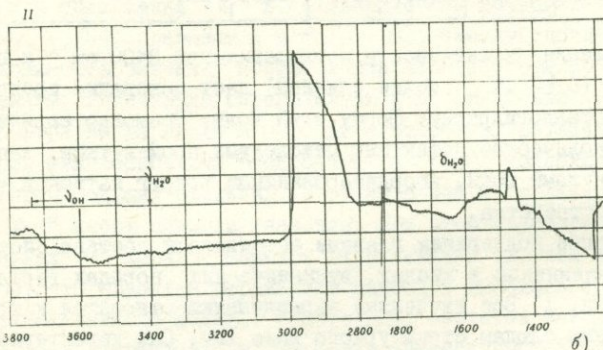
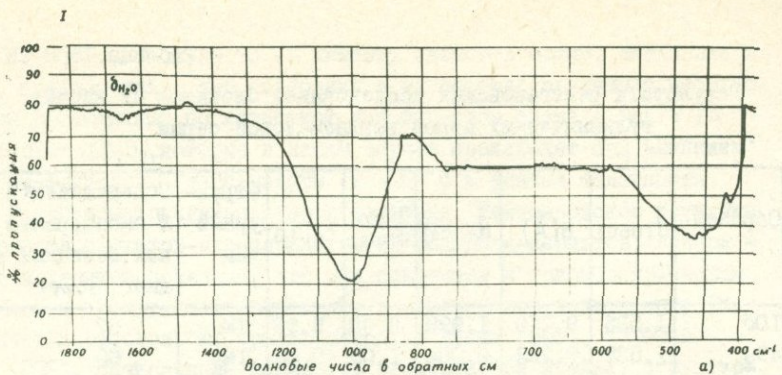
Таблица 15

Результаты рентгеновских исследований биотитов из кислых вулканических пород верхнемеловой серии

Образец	$d_{(060)}$	$b(\text{\AA})$	$d_{(005)}$	$\frac{J_{(004)}}{J_{(005)}}$	$c \sin \beta$	Структурный тип	Содержание Fe (в %) в октаэдрических позициях по диаг. Gower
I06	1.535	9.210	1.998	0.98	9.98	IM _I	57
49 ₂	1.537	9.222	2.004	1.00	10.04	IM _I	60
246	1.533	9.198	1.993	1.17	9.93	IM _I	65

Низкое отношение интенсивности поглощения при 3400 см^{-1} к поглощению при 1640 см^{-1} (менее единицы) дает основание предполагать кристаллогидратную форму этой воды. Возможно наличие некоторого количества дефектных межслоевых промежутков, заполненных молекулами воды, координированными вокруг катионов межслоевого пространства.

В заключение подчеркнем главные особенности состава биотитов из вкрапленников в кислых, вулканических породах верхнемеловой серии. 1) Все изученные вкрапленники относятся к триоктаэдрическим слюдам структурного типа IM_I. Они характеризуются постоянным преобладанием $\text{Fe}^{+2} + \text{Fe}^{+3}$ над Mg и сравнительно высокой ролью Al как в тетраэдрической, так и в октаэдрической позициях. 2) В зависимости от вариаций SiO_2 и $(\text{Na}_2\text{O} + \text{K}_2\text{O})$ во вмещающих породах составы соответствующих вкрапленников биотита несколько варьируют главным образом в отношении общей железистости. Это отражается на колебаниях показателя преломления $N_g = N_m$ и отношениях интенсивностей базальных рефлексов (004) и (005). 3) Геохимические условия кристаллизации вкрапленников биотита в верхнемеловых кислых вулканитах соответствуют гранитоидам нормальной щелочности. Она происходит при парциальном давлении кислорода, превышающем эквивалентное давление при магнетит-гематитовом буфере. Состав биотита в различных типах пород контролируется кроме того составом существующих минералов-вкрапленников, в частности, магнетита, авгита и санидина. 4) ИК - спектр поглощения образца биотита из лициртов подтверждает высокое содержание Fe^{+3} в октаэдрических положениях и позволяет судить о наличии дефектных межслоевых промежутков, заполненных молекулами воды в кристаллогидратной форме.



ФИГ. 16. ИК-спектры поглощения образца вкраплеников биотита из биотит-сандининовых липарито-травхитов (обр. 49); I(а), II(б) – спектры в разных областях волновых чисел, III(в) – участок спектра (б) с большим вертикальным масштабом (ув. $\times 2,2$).

а) Плагиоклаз

Плагиоклаз является существенной составной частью всех разновидностей пород верхнемеловой вулканической серии. В оливиновых базальтах и долеритах эфузивной фации содержание его составляет 15–20% поверхности шлифа, возрастая до 20–35% в субвулканических и даечных образованиях. В двуцирконовых и гиперстеновых андезито–базальтах, плагиоклазовых андезитах количество его отвечает 15–20%. Несколько сокращаются содержания вкрапленников плагиоклаза в кислых вулканических породах – 10–15% в биотитовых и роговообманковых липаритах и стеклах и всего 5–10% – в кварц–биотитовых дацитах. Заметно обеднены плагиоклазом кварцевые липариты (до 2%).

В изученной вулканической серии породы основного и среднего состава содержат обычно три поколения зерен плагиоклаза – фенокристаллы I и II генераций и лейсты и микролиты в основной массе. Как уже рассматривалось в петрографической части работы, вкрапленники ранней и поздней генераций различаются по составу, габитусу, степени резорбированности, характеру зональности. Все отличительные особенности сведены в табл. 16. Добавим только, что в базальтах и долеритах вкрапленники I генерации составляют 60–80% от всего содержания фенокристаллов плагиоклаза и главные отличия между зернами I и II поколения касаются состава и облика. В то же время в андезито–базальтах вкрапленники разных генераций резко различаются по степени резорбированности при сравнительно небольших вариациях состава.

Распределение участков резорбции, совпадающее с очертанием зон или кристаллографических направлений, обычно /100/ или /010/, случаи изгиба зональности вокруг стекловатых или кристаллических включений и, наконец, состав самих включений, отвечающий составу основной массы данной породы, свидетельствуют о том, что в плагиоклазах–I часть втеков и заливов образуется в процессе роста кристаллов и не есть результат только коррозии основной массой. Это наблюдается и в оливиновых базальтах, но особенно четко – в двуцирконовых андезито–базальтах. Вероятнее всего предположить, что взаимодействие между плагиоклазом I генерации и основной массой, как следствие негомогенности окружающей кристалл среды, проявлялось уже на интрапетилическом этапе кристаллизации и этот процесс,

продолжающийся на собственно эфузивном этапе, морфологически проявляется в виде коррозионных каемок, появления изъеденных или оплавленных очертаний. В плагиоклазах ранней генерации следует, таким образом, различать "включенные заливы" и "коррозионные заливы" (терминология В. Власкегбу /55/).

Порфировые выделения плагиоклаза в кислых породах изученной серии принадлежат одному поколению и отличаются слабой резорбированностью с образованием редких точечных включений стекла или втеков основной массы.

Оптика плагиоклазов. Оптические свойства вкрапленников и лейстов плагиоклазов свидетельствуют о том, что в целом различные петрографические типы пород верхнемеловой серии характеризуются высокой основностью, что в оливиновых базальтах выражается в появлении аортита, а в липаритах и липарито-дацитах - андезин-лабрадора в ядрах зональных кристаллов I генерации.

Изучение двойниковых срастаний показало, что наиболее распространеными как для фенокристаллов обеих генераций, так и для зерен основной массы являются альбитовые, карлсбадские и альбит-карлсбадские двойники; замеры на них одновременно использовались для определения степени упорядоченности по диаграмме А.С.Марфинина /56/. В единичных случаях во вкраплении -ках обнаруживается двойникование по манебахскому и альбит - эстарельскому законам. В приведенных замерах позиция индикаторы большей частью отвечает условиям симметрии между двумя индивидами двойника. В породах липарито-дацитового и липаритового ряда альбитовые двойники встречаются гораздо чаще. В них для диапазона составов 26-35% An, Nr₁ и Nr₂ двух индивидов сближены и строгое построение двойниковой оси невозможно. В таких случаях полученные замеры контролировались измерением ориентировки полюса спайности (001) или оси альбит-карлсбадских двойников.

Характер зональности в изученных вкрапленниках плагиоклаза отражен в табл. 16. Заметим здесь же, что случаи обратной или осцилляторной зональности, как отражение резко неравновесных условий кристаллизации, отмечаются лишь в стекловатых породах кислого состава.

Величины углов $2V$, колеблющиеся для пород определенного состава в строгих пределах, использовались для характеристики

Таблица 16

Характеристика вкрапленников плагиоклазов различных генераций
в породах верхнемеловой вулканической серии

Породы	Оливиновые базальты	Оливиновые долериты	Двулироксеновые и гиперстеновые андезито-базальты	Плагиоклазовые плагиоклаз-рого-вооб.анд.	Биотитовые обсидианы, липариты, рогово-обм.липариты	Гиперстен-рого-вообманковые обсидианы
% от всего содержания вкрапленников плагиоклаза Облик и отношение длины к ширине	80 - 90 таблитчатые, коротко-призматические кристаллы; 1.5-1.2:I	80 - 70 таблитчатые, коротко-призматические кристаллы; 1.5-1.2:I	60 - 70 таблитчатые коротко-призматические кристаллы; 1.5-2.5:I	10 призматические кристаллы: 1.5-2.5:I	100 призматические удлиненно-призматические кристаллы; 2.5-3.5:I	100 удлиненно-призматические кристаллы: 4-5:I
Зональность и состав зон	прямая, прерывно-ступенчатая; широкая однородная внутренняя зона (№94-82) и узкая краевая каемка (№76-73)	прямая, прерывно-ступенчатая широкая однородная внутренняя зона (№92-84) и узкая краевая каемка (№76-75)	прямая, прерывно-ступенчатая; однородная внутренняя зона (№62-55) и узкая краевая каемка (№57-46)	прямая; волнообразная с постепенной сменой состава от №66-67 до 52-53	нерезкая, прямая, прерывно-ступенчатая со сменой зон от №36 до 30, реже от №48-49 до 33-34. Изредка обратная	четкая, прямая, не прерывно-волнообразная со сменой зон от 38 до 32. Иногда обратная, осцилляторная с резкими границами зон и от № 40 к 56 до 38
Резорбированность	широкие ядра слабо резорбированы включениями клиноп. и магнетита; каемка чистая, края разъедены осн. массой	ядра слабо резорбированы включениями клиноп. и магнетита; каемка чистая, края разъедены осн. массой	полная ("сотовые" кристаллы) или зональная, очертания оплавленные, включения - стекло основной массы	слабая зональная резорбция, очертания четкие; включения - стекло, магнетит	слабая точечная или зональная резорбция; кристаллы, слабо оплавленные включения стекла	слабая, точечная, включения стекла основной массы вдоль (100) или (010).
% от всего содержания вкрапленников плагиоклаза	10 - 20	30 - 40	30 - 40	90	-	-

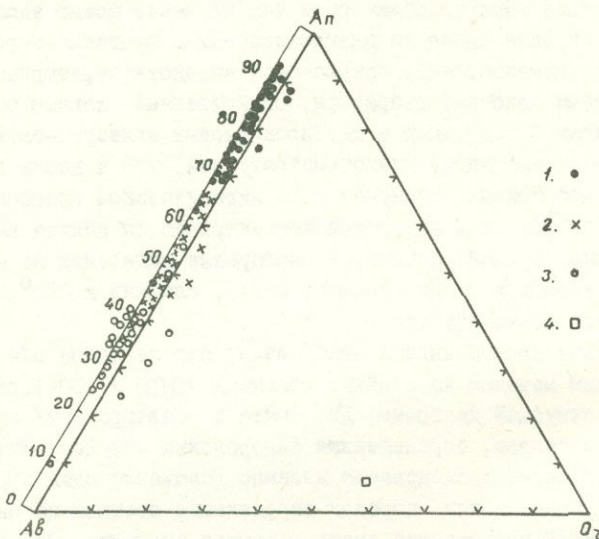
Породы	Оливиновые базальты	Оливиновые долериты	Двулироксеновые и гиперстеновые андезито-базальты	Плагиоклазовые плагиоклаз-рого-вооб.анд.	Биотитовые обсидианы, липариты, рогово-обм.липариты	Гиперстен-рого-вообманковые обсидианы
Облик и отношение длины к ширине	призматические, длинно-призматические кристаллы; 4-5:I	призматические, длинно-призматические кристаллы 4-5:I	призматические, удлиненно-призматические кристаллы 2.5-3:I	удлиненно-призматические кристаллы; 3:I	-	-
Зональность и состав зон	прямая, волнообразная или ступенчато-прерывистая, с последовательной сменой зон от № 80-73 до 70-66	прямая волнообразная или ступенчато-прерывистая, с последовательной сменой зон от № 80-73 до 70-63	прямая, волнообразная или ступенчато-прерывистая со сменой зон от № 46-47 до № 42-43.	слабо проявленная, прямая; № 46-41 от центра к периферии	-	-
Резорбированность	микротиновые кристаллы, редкая точечная резорбция вдоль спайн. (100) или (010); очертания четкие, включ.-магнетит, пироксен	микротиновые кристаллы, редкая точечная резорбция вдоль (100) или (010); очертания четкие, включ.-магнетит, клинопироксен	микротиновые кристаллы, точечная резорбция вдоль (100) или (010); очертания четкие, включения-стекло осн.массы, магнетит.	слабая точечная резорбция; включения - стекло, магнетит	-	-

температурного состояния изученных вкраепленников плагиоклаза. На диаграмме Дж. Смита и соавтора /57/ измеренные значения $2V$ обнаруживают известный разброс относительно кривых высоко- и низкотемпературного типов. Однако отмечается, что $2V$ плагиоклазов состава битовнит-анортит определенно тяготеют к кривой низкотемпературного (упорядоченного) типа. На интервале 40–60% Ap обе кривые заметно сближены и тем не менее можно заметить, что среди вкраепленников из плагиоклазовых и плагиоклаз-рогово-обманковых андезитов чаще встречаются высокотемпературные типы. В то же время основные лабрадоры, свойственные главным образом вкраепленникам I генерации в двутироксеновых андезито-базальтах, располагаются как вдоль низкотемпературной, так и вдоль высокотемпературной кривых. Значения $2V$ вкраепленников плагиоклаза из липарито-дацитов и липаритов концентрируются вблизи высокотемпературной кривой. Некоторые порфировые выделения из кислых пород жерловой фации, имеющие $2V$, близкий к $\pm 90^\circ$, относятся к упорядоченному типу.

Показатели преломления плагиоклазов, определенные обычным иммерсионным методом на спайных обломках (010) и (001), дают по соответствующей диаграмме Дж. Смита и соавтора /57/ составы, близкие к составам, определенным Федоровским методом. Эти два метода в процессе исследования взаимно дополняли один другой; в кислых вулканических породах определение состава по значениям показателей преломления имело решающее значение. Оно производилось без поправок на структурное состояние вкраепленников плагиоклаза, поскольку специальными исследованиями /58, 59/ показано, что различиями в показателях преломления низко- и высокотемпературных типов практически можно пренебречь.

Химизм плагиоклазов. Химический состав вкраепленников плагиоклаза охарактеризован десятью анализами (табл. 17), представляющими все главные типы пород верхнемеловой серии. В той же таблице приводятся кристаллохимические формулы, а также молекулярные содержания альбитового, анортитового и ортоклазового компонентов. В приведенных формулах отмечается постоянный небольшой избыток катионов в группе X за счет нахождения Fe^{+3} , Ti и Mg . Последние скорее всего связаны с примесями – мелкими вростками стекла, магнетита и клинопироксена. Общее содержание катионов в группе Z близко к теоретическому содержанию 16.0, причем степень замещения Si на Al закономерно уменьшается от битовнитов $Si:Al=1,1$ к олигоклазам с $Si:Al=2,3$.

В том же направлении резко убывает степень замещения Na на Ca . При этом отмечается, что в плагиоклазах среднего и кислого ряда отношение $\text{Si}:\text{Al}$ никогда не достигает 3:1, т.е. полностью разупорядоченные разности отсутствуют. О том же свидетельствуют и значения степени упорядоченности, определенные оптически.



Фиг. 17. Химические составы вкрапленников плагиоклаза из пород верхнемеловой серии на тройной диаграмме альбит-анортит-ортоклаз: 1) плагиоклазы из оливин-плагиоклаз-пироксеновых базальтов и долеритов; 2) плагиоклазы из андезито-базальтов и андезитов; 3) плагиоклазы из кислых эфузивов; 4) сандинин. На дополнительную линию $\text{Ab} - \text{An}$ нанесены составы вкрапленников I и II генераций, а также лейстов основной массы по данным оптических замеров.

Молекулярные содержания Ab , An и Or составляющих наносились на тройную диаграмму (фиг. 17). Фигуративные точки изученных составов плагиоклазов во всем ряду битовнит-олигоклаз располагаются близко к стороне $\text{Ab}-\text{An}$, что указывает на постоянное низкое содержание Or компонента, варьирующего в пределах 1.6-3.9% в основных плагиоклазах и 2.5-5% - кислых

Таблица I7

Химический состав и кристаллохимические формулы вкрапленников плагиоклаза из пород верхнемеловой вулканической серии

Оксиды	Обр.5	Обр.374	Обр. I	Обр. I9	Обр. 7	Обр. 30	Обр. IO	Обр. 2042	Обр. I5	Обр. I3
SiO ₂	43.96	44.75	47.22	53.74	55.30	57.80	60.10	62.14	62.99	58.10
TiO ₂	0.16	0.30	0.22	0.22	0.10	0.22	-	-	-	0.II
Al ₂ O ₃	34.22	34.58	33.44	28.54	28.15	26.32	24.64	23.33	22.65	25.93
Fe ₂ O ₃	0.82	0.49	0.44	0.44	0.35	0.96	0.96	0.80	0.49	0.96
FeO	-	-	-	-	-	-	-	-	0.28	-
CaO	I7.80	I7.86	I6.61	II.65	9.95	9.21	6.20	6.28	4.45	7.50
MgO	0.89	0.23	0.16	0.52	0.29	0.69	0.30	0.52	-	0.53
MnO	0.03	0.01	0.01	0.01	0.02	-	0.01	-	0.01	0.02
Na ₂ O	I.02	I.07	2.63	4.88	5.57	5.68	7.25	6.00	7.40	6.25
K ₂ O	0.67	0.49	0.50	0.30	0.45	0.25	0.83	I.I	0.40	0.75
H ₂ O	0.30	0.09	0.06	0.12	0.16	0.10	0.10	0.02	0.07	0.04
n. n. n	0.46	0.35	0.64	0.36	0.40	0.40	0.44	0.38	0.73	0.54
Сумма	I00.33	I00.37	I00.93	I00.78	I00.74	I00.83	I00.83	I00.57	99.47	I00.83

Кристаллохимическая формула в пересчете
на 32(0)

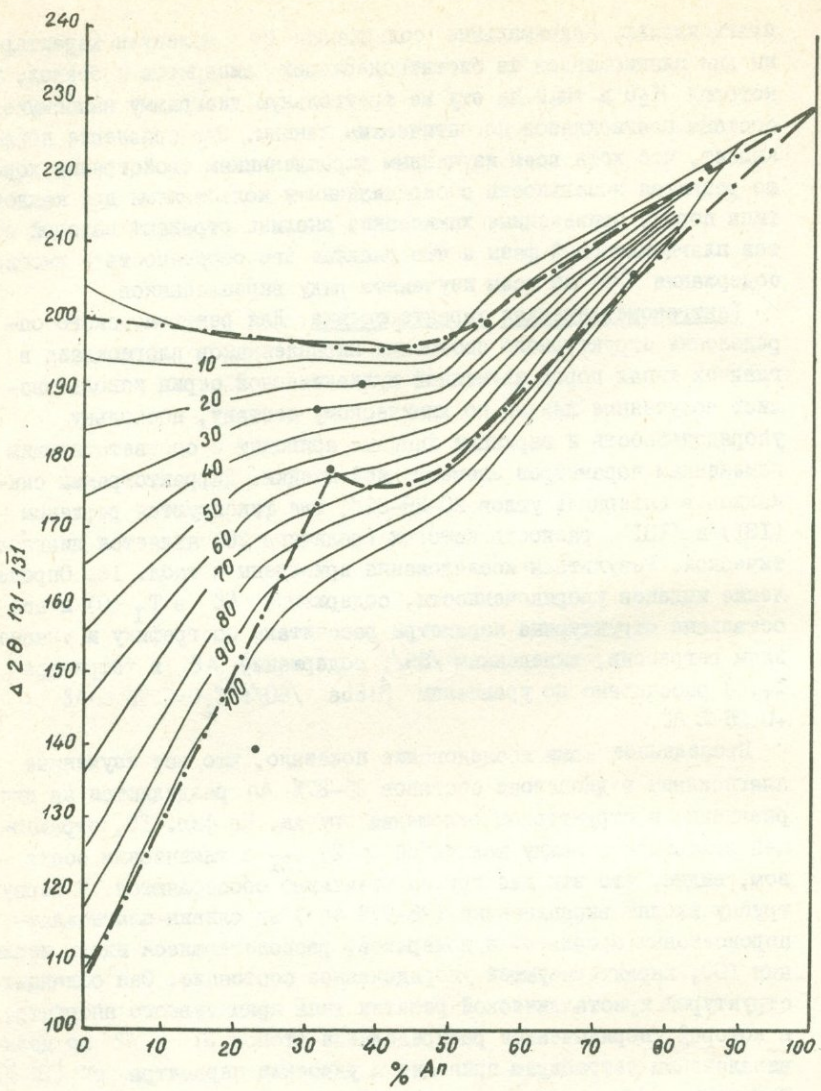
Z	Si	8.158	15.52	8.309	I5.86	8.616	I5.90	9.730	I5.82	9.910	I5.88	I0.200	I5.74	I0.750	I5.91	II.000	I5.90	II.250	I6.07	I0.450	I5.90	
	Al	7.457	-	7.549	-	7.285	-	6.090	-	5.970	-	5.540	-	5.160	-	4.900	-	4.820	-	5.450	-	
	Fe ⁺³	0.II0	-	0.067	-	0.060	-	0.070	-	0.065	-	0.130	-	0.129	-	0.163	-	0.060	-	0.130	-	
	Ti	0.044	-	0.044	-	0.030	-	0.030	-	0.030	-	0.030	-	-	-	-	-	-	-	0.020	-	
	Mg	0.240	-	0.067	-	0.055	-	0.040	-	0.076	-	0.180	-	0.075	-	0.128	-	-	-	0.140	-	
x	Fe ⁺²	-	4.42	-	4.22	-	4.44	-	4.19	-	4.13	-	4.14	-	4.10	-	3.80	-	0.040	3.60	-	4.09
	Mn	-	-	-	-	-	-	-	-	-	-	-	-	-	-	-	-	-	-	-	-	
	Ca	3.520	-	3.530	-	3.240	-	2.270	-	I.930	-	I.760	-	I.190	-	I.190	-	0.860	-	I.440	-	
	Na	0.350	-	0.400	-	0.940	-	I.710	-	I.940	-	I.980	-	2.510	-	2.060	-	2.550	-	2.170	-	
	K	0.160	-	0.II0	-	0.110	-	0.070	-	0.II0	-	0.060	-	0.193	-	0.255	-	0.086	-	0.190	-	
w%		63.84	-	63.95	-	64.09	-	64.09	-	63.94	-	63.92	-	64.10	-	63.93	-	64.08	-	64.14	-	
%	Ab	8.6	-	9.9	-	21.9	-	42.2	-	48.8	-	52.1	-	64.4	-	58.7	-	72.9	-	57.1	-	
mol.	An	87.5	-	87.3	-	75.6	-	56.1	-	48.4	-	46.3	-	30.6	-	34.0	-	24.6	-	37.9	-	
	Or	3.9	-	2.7	-	2.5	-	I.7	-	2.8	-	I.6	-	5.0	-	7.3	-	2.5	-	5.0	-	
	Si/Al	I.I	-	I.I	-	I.2	-	I.6	-	I.7	-	I.8	-	I.1	-	2.1	-	2.3	-	I.9	-	
	Na/Ca	0.I	-	0.I	-	0.3	-	0.8	-	I.I	-	I.I	-	2.2	-	I.7	-	2.9	-	I.5	-	

Обр.5 - оливин-плагиоклаз-пироксеновый долерит, поток, с.Хаштарак; обр. 374 - то же; обр. I - оливин-плагиоклаз-пироксеновый базальт, дайкообразное тело, с.Хаштарак; обр. I9 - двупироксеновый андезито-базальт, поток, с.Саригюх; обр. 7 - то же; обр. 30 - плагиоклаз-роловообманковый андезит, дайкообразный массив Шор-Ахшор, с.Шаваршаван; обр. IO - биотитовый обсидиан-перлит, поток, г.Мровул; обр. 2042 - биотитовый липарит, поток, г.Мровул; обр. I5 - роговообманковый липарит, вулканический купол, г.Саккал; обр. I3 - гиперстен-роговообманковый перлит, дайка, купол Кер-оглы.

плагиоклазах. Максимальные содержания Al_2O_3 молекулы характерны для плагиоклазов из биотитсодержащих липаритов и стекол, в которых $\text{K}_2\text{O} > \text{Na}_2\text{O}$. На эту же треугольную диаграмму наносились составы плагиоклазов по оптическим данным. Это сравнение показывает, что хотя всем изученным вкраупленникам свойственна хорошо развитая зональность с определенными колебаниями для каждого типа пород, приведенные химические анализы отражают валовый состав плагиоклазовой фазы и что главная его особенность - высокое содержание Ca во всем изученном ряду вкраупленников.

Рентгенометрическая характеристика. Для рентгеновского определения структурного состояния вкраупленников плагиоклаза в главных типах пород изученной вулканической серии использовались полученные данные по химическому составу, поскольку упорядоченность и вариации химизма приводят к соответствующим изменениям параметров элементарной ячейки. Дифрактограммы снимались в интервале углов $20-29-32^\circ$, где фиксируются рефлексы (131) и $(\bar{1}\bar{3}1)$, разность которых (величина 2θ) является диагностической. Результаты исследования приведены в табл. I8. Определение индекса упорядоченности, содержания Al_2O_3 в $T_1(0)$ и все остальные структурные параметры рассчитаны по графику и уравнениям регрессии, выведенным /59/; содержание Al_2O_3 в тетраэдре $T_1(0)$ рассчитано по уравнению Ribbe /60/: $T_1=0.75 \Delta \text{Al}_2\text{O}_3 + 0.25 \leq \text{Al}_2\text{O}_3$.

Проведенное нами исследование показало, что все изученные плагиоклазы в диапазоне составов 25-87% An разделяются на две различные в структурном отношении группы. На фиг. I8, отражающей зависимость между величиной $\Delta 2\theta_{131}$ и химическим составом, видно, что эти две группы отчетливо обособляются. В первую группу входят вкраупленники (75-87% An) из оливин-плагиоклаз-пироксеновых базальтов и долеритов, располагающиеся вдоль изолинии 100, характеризующей упорядоченное состояние. Они обладают структурой кристаллической решетки типа примитивного аортита, в которой упорядоченное распределение атомов Si и Al по неэквивалентным тетраэдрам приводит к удвоению параметра "с" (14 \AA). Величина $\Delta \text{Al}_2\text{O}_3$, отражающая разность содержаний Al_2O_3 в тетраэдрах $T_1(0)$ и $T_1(\text{т})$, близка к 0, что также является показателем полной $\text{Si}-\text{Al}_2\text{O}_3$ упорядоченности данных битовников. Кроме того, в них содержание Al_2O_3 в положении $T_1(0)$ приближается к 2, т.е. в этой позиции сосредоточено примерно 22-25% Al_2O_3 от всего содержания Al_2O_3 по кристаллохимическим формулам.



Фиг. 18. Положение фигуративных точек и структурное состояние изученных вкрапленников плагиоклаза на диаграмме зависимости $\Delta 2\theta_{131-131}$ от состава в ряду плагиоклазов, построенной Бамбаузером и соавторами /62/.

Во вторую группу входят вкрапленники плагиоклаза из средних и кислых разностей изученного ряда пород. Они характеризуются высоким промежуточным, близким к неупорядоченному и промежуточным структурными состояниями и имеют структуру решетки типа высокого альбита. Вкрапленники лабрадора из стекловатых двупироксеновых андезито-базальтов наиболее близки к неупорядоченному типу — у них индекс упорядоченности равен 15, $\Delta Al = 0.14$ и судя по тому, что содержание Al в $T_1(0)$ составляет примерно 25% от ΣAl распределение его по неэквивалентным тетраэдрам близко к статистическому. Андезины из липаритов и обсидианов располагаются вдоль изолиний 20–30 или 60, характеризующих промежуточное состояние. Соответственно у них величина ΔAl закономерно возрастает до 0.20–0.23 и содержание Al в тетраэдре $T_1(0)$ равно примерно 28%. Отличительной особенностью вкрапленников олигоклаза из вулканического купола роговообманковых липаритов является принадлежность к упорядоченному типу с высоким значением $\Delta Al (0,51)$ и содержанием Al в $T_1(0)$ до 35% от всего ΣAl .

Если обратиться к литературным данным, то необходимо подчеркнуть, что рассмотренные две различные по структурному состоянию группы вкрапленников относятся к различным кинетическим типам по А.С.Марфунину, существенно отличающимся по скорости переходов упорядочение–разупорядочение. Как отмечает указанный автор, аортит в отношении $Al-Si$ всегда упорядочен и ΔAl в нем достигает 0. Лишь с появлением некоторого количества альбитового компонента (в битовнатах) становится возможным возникновение неупорядоченного состояния, при этом аортит–битовниты обладают высокой скоростью трансформации из одного состояния в другое. В средних и кислых плагиоклазах скорость упорядочения уменьшается и в природных образованиях чаще сохраняются неупорядоченные и промежуточные разности, представляющие высокотемпературные закаленные кристаллы. Эти основные положения, суммированные А.С.Марфуниным /66/, подтверждены более поздними работами /63/.

В изученном ряду вкрапленников плагиоклаза из верхнемеловой серии заметна определенная зависимость упорядоченности от состава (упорядоченные битовниты и промежуточные, близкие к неупорядоченным лабрадор–андезиты); для средних и кислых вкрапленников отмечается вариации индекса упорядоченности в зависимости от фациальной принадлежности, степени кристалличности основной массы и условий охлаждения. Обсуждая структурное состояние изу-

Таблица 18

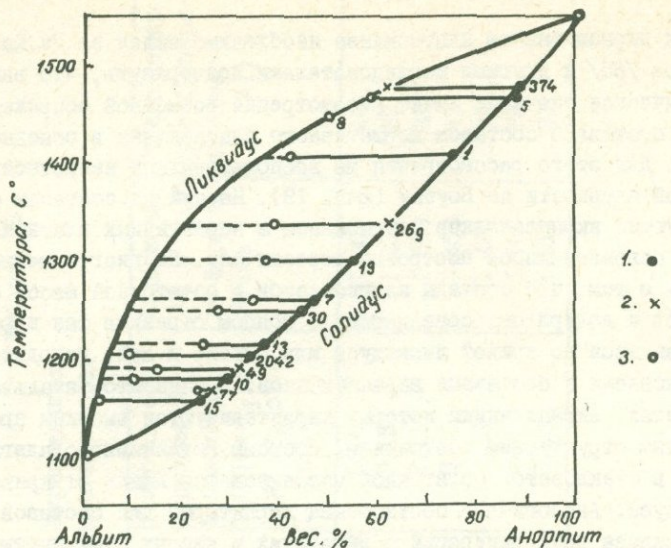
Состав и структурная характеристика вкраплеников
плагиоклаза из верхнемеловых вулканических пород

Образец	%Al по кристаллохимической формуле	Отношение Si/Al	$\Delta^{28}\text{Al}_{\text{I3I}-\text{I3I}}$ (ΔI3I)	Индекс упорядоченности и.у. (ΔI3I)	Разность содержания Al в положении $T_{\text{I}}(0)$ и $T_{\text{I}}(m)$ $\Delta \text{Al} = T_{\text{I}}(0) - T_{\text{I}}(m)$	Содержание Al в $T_{\text{I}}(0)$ по формуле Ribbe	Индекс структурной упорядоченности S(ΔAl)
5	87	1.094	2.23	упорядоченный	0.06	1.909	46
I	75	1.180	2.06	90 ~ 100	0.15	1.934	60
I9	56	1.59	2.02	15	0.14	1.628	32
2042	34	2.25	1.77	60	0.31	1.458	47
IO	30	2.08	1.85	30	0.23	1.463	32
I5	24	2.30	1.38	сверхупорядоч.	0.51	1.588	52
I3	38	2.00	1.90	20	0.20	1.513	32

ченных вкрапленников плагиоклаза необходимо вслед за Дж.Кармайклом /65/ и другими исследователями подчеркнуть, что важное генетическое значение имеет рассмотрение возможной сопряженности их состава с составом нормативного плагиоклаза в основной массе. Для этого рассмотрения мы воспользовались известной диаграммой плавкости по Боузну (фиг. 19). На ней по составам соответствующих вкрапленников плагиоклаза и нормативных плагиоклазов в основной массе построены отрезки фаз. По диаграмме можно судить о том, что составы плагиоклазов в остаточной массе базальтов и долеритов, совпадающие с концом отрезков фаз и расположенные по кривой ликвидуса или близко к ней, находятся в равновесии с составами вкрапленников. В андезито-базальтах и андезитах, вкрапленники которых характеризуются высоким промежуточным структурным состоянием, составы нормативного плагиоклаза в стекловатой остаточной массе ложатся вдали от кривой ликвидуса. Аналогичные соотношения характерны для составов плагиоклаза двух генераций в липаритах и кислых стекловатых породах. Лишь в одном образце роговообманковых липаритов (обр. 15) отмечается близкое соответствие между составами вкрапленников и нормативного плагиоклаза в остаточной массе, при этом фенокристаллы закономерно обнаруживают упорядоченное структурное состояние.

ИК - спектры поглощения плагиоклаза. ИК - спектры поглощения пяти образцов вкрапленников плагиоклаза из базальтов, андезито-базальтов и обсидианов снимались Л.Г.Кузнецовой (лаборатория ВСГМИ) на спектрофотометре UR -10 фирмы Карл Цейс. На фиг. 20 изображены полученные спектры поглощения плагиоклазов различного состава.

Как установлено специальными исследованиями /66/, наиболее чувствительными к структурному состоянию плагиоклазов являются полосы поглощения $600-650 \text{ см}^{-1}$ (ν_1) и $500-550 \text{ см}^{-1}$ (ν_2). Расположение максимумов данных полос поглощения позволило, с одной стороны, определить состав изученных вкрапленников из верхнемеловых пород, близко совпадающий с химическими и оптическими определениями, и с другой - судить о степени упорядоченности этих образцов. По приведенным спектрам максимально неупорядоченными являются образцы плагиоклазов из двуцирконовых андезито-базальтов (обр. 19) и гиперстен-роговообманковых обсидианов (обр. 13), для которых характерна большая прояженность (как бы "растянутость") максимума ν_1 . На фиг. 21

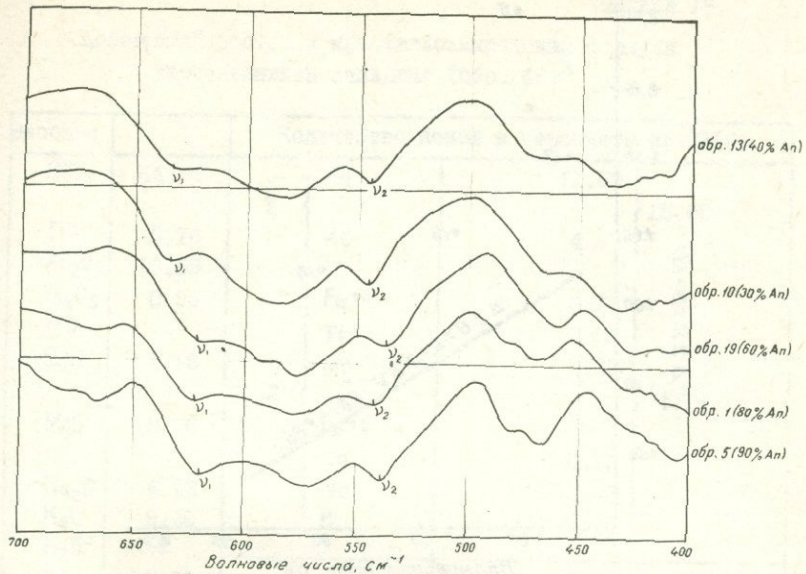


Фиг. 19. Составы изученных плагиоклазов пород верхнемеловой серии на диаграмме равновесия плагиоклазов (по Н.Боэну): 1) химические составы вкрапленников; 2) составы по оптическим замерам; 3) составы нормативного плагиоклаза в основной массе пород. Пунктиром приведены концы отрезков фаз. (Номера образцов соответствуют приведенным в табл. I7).

отчетливо видна обратная связь между величинами Δv ²⁰ и разностью волновых чисел $\Delta \nu$, причем линия изменения этих величин коррелируется с линией регрессии, уравнение которой рассчитано Л.Г.Кузнецовой с соавторами для плагиоклазов одного состава (30–40% An), но с различными температурными условиями кристаллизации. В отличие от данных цитированной статьи в нашем случае вариации указанных параметров определяются в первую очередь основностью плагиоклазов.

б) Санидин

Санидин – сравнительно редкий минерал во вкрапленниках кислых вулканических пород изученной верхнемеловой серии. В ассоциации с фенокристаллами андезина и биотита он встречается в липарито-трахитах, слагающих вулканический купол Кылкая и поток массива г. Сурп-Саркис. Содержание его в этих по-

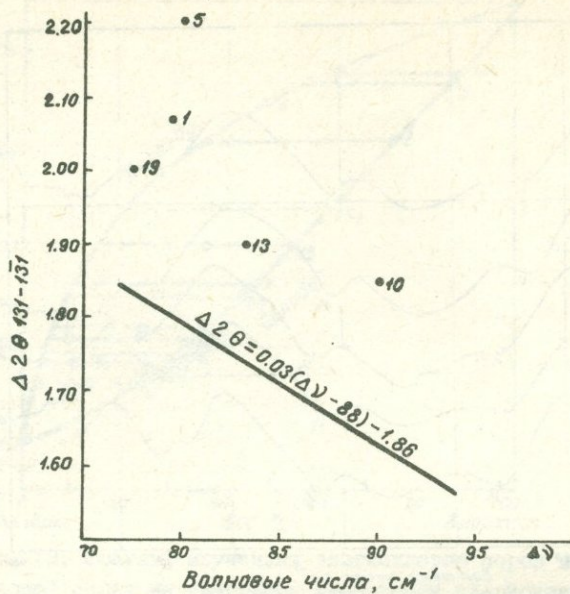


Фиг. 20. ИК - спектры поглощения вкрапленников плагиоклазов из пород верхнемеловой серии. (% содержания An определены Л.Г.Кузнецовой).

родах составляет 2-3% от поверхности шлифа. Наблюдаемые петрографические соотношения указывают, что выделение вкрапленников санидина происходит после кристаллизации главной массы фенокристаллов андезина и биотита.

Санидин образует водянопрозрачные таблитчатые выделения, оптически однородные, без следов зональности. Погасание в зоне \perp (010) косое, до 10° ; $-2V = 40-42^\circ$; $Ng' = 1.534$, $Np' = 1.526$. Полученные значения угла оптических осей и показателей преломления заметно повышены, что объясняется высоким процентом анортитовой составляющей. Подобное увеличение угла $2V$ и показателей преломления в зависимости от содержания An особенно четко выражается в ряду санидин-высокий альбит /28, 65/.

Химический состав и кристаллохимическая формула образца санидина приведены в табл. 19, состав катионов в группах Z и X близко отвечает теоретическому. Расчет на молекулярные проценты ортоклаза, альбита и анортита обнаруживает в исследованном образце санидина повышенное содержание Ab и An компонентов.



Фиг. 21. Корреляция величин $\Delta 2\theta_{131}-131$ и разности $\Delta\nu$ волновых чисел ν_1 и ν_2 (средних значений максимумов полос поглощения 600–650 и 500 и 550 см⁻¹) для разных плагиоклазов из пород верхнемеловой серии. (Линия регрессии по Л.Г.Кузнецовой (76).

Данные химического анализа, указывающие на высокое содержание Ab молекулы в фенокристаллах сандинина, полностью согласуются с рентгенометрическими, которые показали, что изученные вкрашенники рентгеновски не гомогенны и представлены калиевой (сандинин) и натриевой (альбит) фазами. Это явление обычное для природных щелочных полевых шпатов в пределах составов Or₂₅–Or₆₀/28%. Судя по интенсивностям проявленных рефлексов альбита (201), (130), (112), содержание его составляет примерно 35%, что немногим ниже определенных по химическому анализу 38%. Определение степени упорядоченности альбитовой фазы затруднительно из-за размытости рефлексов (131) и (131), связанный с наличием калиевого полевого шата. Для определения структурного вида и степени упорядоченности собственно калиевого полевошпата-

Таблица 19

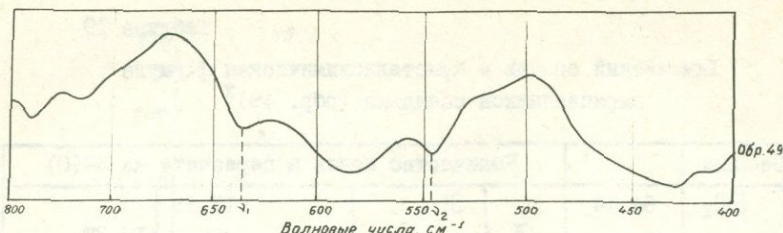
Химический состав и кристаллохимическая формула
вкрапленников санидина (обр. 49)^{x)}

Весовые	Количество ионов в пересчете на 32(0)				
SiO ₂	64.44	Z	Si	II.63	15.80
TiO ₂	0.16		Al	4.17	
Al ₂ O ₃	19.63		Fe ⁺³	0.13	
Fe ₂ O ₃	0.96		Ti	0.02	
FeO	-		Mg	0.20	
CaO	1.16		Fe ⁺²	-	4.19
MgO	0.76		Ca	0.23	
-	-		Na	1.46	
Na ₂ O	4.13		K	2.15	
H ₂ O	9.25	W _K		63.97	
H ₂ O-	-				
п.п.н.	0.30				
Сумма	100.79	мол.%	Or	56.00	
			Ab	38.00	
			An	6.00	

x) В том числе:
 $Li_2O = 0.0064;$
 $Rb_2O = 0.039;$
 $Cs_2O = 0.001$

вой фазы использован график Т.А.Соседко /67/. По величине $\Delta \varphi_{(060)-(204)} = 9.20$ степень упорядоченности равна 0.1, т.е. эта фаза должна относиться к неупорядоченному моноклинному структурному виду - санидину.

Таким образом, оптические данные, химический состав, различные рентгеновские несмешивающиеся фазы и степень упорядоченности свидетельствуют о принадлежности изученных вкрапленников щелочного полевого шпата к высокотемпературному ряду твердых растворов высокий альбит-санидин.



Фиг. 22. ИК - спектр поглощения вкрапленников санидина из биотит-санидиновых липарито-трахитов.

Инфракрасный спектр поглощения образца санидина (Л.Г.Кузнецова, ВСЕГЕИ), представленный на фиг. 22, характеризуется наличием полосы поглощения с двумя максимумами в области чисел $700-800 \text{ см}^{-1}$ $\Delta\nu = \nu_1 - \nu_2 = 635 - 545 = 90$. При такой разнице волновых чисел степень "ИК-упорядоченности" рассчитанная по эмпирической формуле $O=0.05(\Delta\nu-90)$, равна 0, что также подтверждает принадлежность изученных вкрапленников щелочного полевого шпата санидиду.

X X X

Завершая описание, подчеркнем особенности состава вкрапленников полевых шпатов в вулканических породах верхнемеловой серии.

1. Во всех изученных типах пород за редкими исключениями вкрапленники плагиоклаза количественно постоянно преобладают над вкрапленниками темноцветных минералов. Диапазон вариаций состава вкрапленников плагиоклаза различных генераций отвечает 92-75% An в оливиновых базальтах и 35-24% An в липаритах и обсидианах. Эти значения указывают на то, что главной особенностью плагиоклазов во всех членах данной серии является повышенное содержание анортитового компонента.

2. В изученном ряду плагиоклазов выделяются две различные структурные (и кинетические) группы вкрапленников: полностью упорядоченные битовиты со структурой примитивного анортита и высокие-промежуточные, близкие к неупорядоченным лабрадор-андезиты со структурой высокого альбита. Последние характеризуются различной степенью Si-Al упорядоченности и наименее

Химический состав магнитных фракций из верхнемеловых вулканических пород
и пересчет на миналы

Весовые %	I	2	3	4	5	6	7	8	9	10
	обр.5	обр.33	обр.32	обр.1	обр.19	обр.30	обр.15	обр.13	обр.10	обр.49
R0	FeO	40.00	40.80	41.60	38.10	37.40	30.60	30.00	29.30	20.08
	MnO	0.53	0.52	0.44	0.32	0.39	0.50	0.50	0.36	0.20
	NiO	0.01	0.01	0.01	0.04	0.09	-	-	-	0.01
	CoO	0.02	0.02	0.02	0.03	0.03	-	-	-	0.01
R ₂ O ₃	Fe ₂ O ₃	27.72	27.80	28.00	32.00	34.00	67.40	60.48	43.20	68.32
	V ₂ O ₃	0.70	0.64	1.12	0.72	0.78	0.13	0.16	0.25	0.15
	Cr ₂ O ₃	0.07	0.06	0.15	0.23	0.16	0.01	0.01	0.01	0.02
TiO ₂	TiO ₂	17.72	17.44	17.60	16.80	15.60	1.36	4.56	8.74	2.98
Сумма		86.78	87.28	88.94	88.84	88.45	100.00	95.71	81.88	91.74
100 %	R0	46.70	47.30	47.30	43.40	42.90	31.10	31.90	36.40	22.10
	R ₂ O ₃	32.90	32.70	32.90	37.00	39.50	67.54	63.30	53.00	74.70
	TO ₂	20.40	20.00	19.80	18.90	17.60	1.36	4.80	10.60	3.20
Миналы ^{x)}	mgt	47.75	47.30	47.75	54.50	57.00	95.60	89.40	76.79	62.10
	usp	42.65	45.70	45.00	28.40	29.30	-	-	8.78	-
	il	9.65	7.00	7.20	17.10	13.70	2.80	9.00	14.57	6.10
	hem	-	--	-	-	-	1.60	1.60	-	31.90
FeO / FeO + Fe ₂ O ₃		0.76	0.76	0.76	0.72	0.71	0.32	0.33	0.60	0.23
										0.13

^{x)} Сокращения: mgt - магнетит; usp - ульвошинель; il - ильменит; hem - гематит.

Примечание:

Титаномагнетиты:

обр. 5 - поток оливин-плагиоклаз-пироксеновых долеритов с. Хаштарак

обр.33 - поток оливин-плагиоклаз-пироксеновых долеритов, с.Шаваршаван

обр.32 - пластовая залежь оливин-плагиоклаз-пироксеновых долеритов, с.Шаваршаван

обр.1 - пластовая залежь оливин-плагиоклаз-пироксеновых базальтов, с.Хаштарак

обр.19 - поток двупироксеновых андезито-базальтов, с.Саригюх

обр.13 - дайка гиперстен-роговообманковых перлитов, купол Кер-оглы.

Магнетиты:

обр.30 - дайкообразное тело плагиоклазовых андезитов, вершина Шиш-тапа

обр.15 - купол роговообманковых липаритов, г. Кер-оглы.

Маггемиты:

обр.10 - поток биотитовых обсидиан-перлитов, г.Мровул

обр.49 - купол биотит-сандининовых липарито-трапхитов, г.Кызыл-Кая.

упорядоченными являются вкрапленники из кислых вулканических стекол. Особенности химического состава и соотношения катионов Si – Al в тетраэдрической координации, а также структурная характеристика вкрапленников плагиоклаза свидетельствуют об отсутствии полностью разупорядоченных разностей со статистически равномерным распределением Al во всех тетраэдрах.

3. Среди верхнесантонских кислых лав, их жерловых и пирокластических фаций преобладающим является тип пород с одним полевым шпатом (плагиоклазом) во вкрапленниках. Двуполевошпатовая ассоциация свойственна биотит-сандиновым липарито-трахитам. Плагиоклаз в них отвечает кислому андезину (30–35% An); щелочной полевой шпат относится к высокотемпературной (неупорядоченной) серии высокий альбит – сандин и представлен распавшимся твердым раствором сандина и альбита [$Opx_{56}(Ab + An)_{44}$]. Кристаллизация вкрапленников щелочного полевого шпата в этих породах происходит после кристаллизации андезина и биотита.

Магнетит

Магнетит – самый распространенный и характерный акцессорный минерал верхнемеловых эфузивных и субвулканических пород описываемого региона. В изученных породах магнетит представлен за редкими исключениями титансодержащей разностью – титаномагнетитом (оливин-плагиоклаз-пироксеновые базальты и долериты, двупироксеновые андезито-базальты, роговообманковые липариты и перлиты) и титаномаггемитом – (биотитовые липариты и стекла). Чистый магнетит без существенной примеси TiO_2 обнаруживается лишь в плагиоклазовых андезитах субвулканических тел Коньяк-нижнесантонского комплекса (гг. Шиш-тапа, Шор-Ахпюр).

Содержание титаномагнетита во вкрапленниках колеблется в широких пределах, но в однотипных породах довольно устойчиво. Наиболее высокие содержания этого минерала (1–0.6%) отмечаются в эфузивных и субвулканических базальтах и долеритах верхнего Коньяка – нижнего сантонса. Такие же содержания характерны для двупироксеновых андезито-базальтов верхнего сантонса. Заметно уменьшаются концентрации титаномагнетита в роговообманковых липаритах и перлитах (0.3–0.1%). Содержание титаномагнетита во вкрапленниках биотитовых липаритов и стекол составляет 0.7–0.3%. Концентрации чистого магнетита во

вкрапленниках плагиоклазовых андезитов довольно низкие (0.1-0.05%).

В составе фенокристаллов верхнемеловых пород из других Fe-Ti окисных минералов с магнетитом постоянно ассоциирует обособленный ильменит, однако количественные его содержания резко колеблются в породах различного состава. Эти колебания в целом обнаруживают обратную связь с содержаниями самого магнетита и будут рассмотрены при описании ильменита.

В шлихах магнетит встречается в виде хорошо ограненных октаэдрических кристаллов (0.6-0.5 мм), образующих цепочечные срастания. Иногда видны следы растворения, выраженные в сглаженности вершин и ребер и появлении скульптурных граней. В полированных шлифах устанавливаются по крайней мере две генерации магнетита. Более ранняя генерация представлена включениями во вкрапленниках темноцветных, а также крупными (0.7-0.1мм) самостоятельными вкрапленниками, изометричными, иногда с разъединенными очертаниями. Более поздняя генерация отвечает мелким (0.05-0.001 мм) точечным, тонким дендритовым выделениям или тонкодисперсной рудной пыли в основной массе всех изученных пород.

Во всех главных типах пород верхнемеловой серии изучен химический состав и проведено рентгенографическое исследование магнитных фракций размерностью выше 0.3 мм, отвечающих генерации порфировых выделений магнетита. Выделенный из тяжелой фракции магнитный концентрат с размером зерен 0.3-0.6 мм после просеивания дополнительно истирался, промывался и многократно очищался от сростков с породообразующими минералами на электромагните УЭМ-1. Предварительно из нерастертый фракции для минералогического исследования путем прессования порошка изготавливались анишлины.

Наблюдения в отраженном свете показали, что вкрапленники титаномагнетита из оливин-плагиоклаз-пироксеновых базальтов и долеритов не затронуты процессами гематитизации. В некоторых образцах пород из маломощных лавовых потоков наблюдаются чистые однородные зерна магнетита. В целом же для магнетитов, выделенных как из крупных лавовых потоков, так и из субвуликанических тел, характерна решетчатая структура распада, представленная ориентированными по октаэдрической отдельности (!!) пластинчатыми выделениями ильменита. Последние распределяются в зернах магнетита-хозяина относительно равномерно и лишь в ред-

ких случаях тонкие краевые участки ильменита не содержат. Это должно свидетельствовать о более или менее равномерном распределении титана в составе исходного твердого раствора магнетита. В образцах субвулканических тел отмечается иногда изометричные выделения или тонкие прожилки ильменита, секущие решетчатую структуру магнетитовых зерен, но не выходящие за пределы последних. Можно, таким образом, предположить два последовательных этапа распада твердого раствора и связанные с ними различные по морфологии проявления ильменита.

Титаномагнетиты из вкраепленников двуцирконосных андезито-базальтов также представлены решетчатыми индивидами; в них проявлена очень слабая гематитизация в виде тонких прожилков или узкой прерывистой каемки.

Однородные магнетитовые зерна, лишенные включений и почти не затронутые процессами гематитизации, отмечаются во вкраепленниках плагиоклазовых андезитов и роговообманковых липаритов.

Вкраепленники титаномагнетита из даек гиперстен-роговообманковых перлитов содержат редкие пластинчатые вrostки ильменита, приуроченные в основном к центральным частям зерен.

Во всех перечисленных случаях подсчитать количественное содержание тонких пластинок ильменита в анишлифах оказалось невозможным и эти содержания, как будет показано ниже, оценивались по химическим и рентгенометрическим анализам.

В биотитовых липаритах и обсидиан-перлитах порфировые выделения титаномагнетита в значительной степени преобразованы в маггемит (титаномаггемит), являющийся кубической разновидностью Fe_2O_3 (γ - Fe_2O_3). Последняя образуется при непрерывном окислении магнетита (титаномагнетита) без разрушения его кристаллической структуры. В изученных анишлифах магнетит изотропен, имеет голубовато-серый цвет; при сравнении с реликтовыми зернами магнетита у него обнаруживается более высокая отражательная способность. Выделения маггемита повсеместно испещрены беспорядочно ориентированными мельчайшими трещинками, напоминающими коррозионную структуру. В полях маггемита отмечаются редкие пластинчатые выделения гематита.

Химизм магнетитов. Для суждения о химическом составе вкраепленников — магнетитов в изученных породах проанализировано десять образцов магнитных фракций из различных типов пород. В частности, выполнены химические определения Fe_2O_3 , FeO , TiO_2 .

и количественные спектральные анализы на V_2O_3 , Cr_2O_3 , NiO , CoO , MnO (табл. 20). Поскольку сумма этих окислов почти во всех случаях приближается к 88%, мы произвели расчет химических анализов на нормативный состав^x. Эти пересчеты подтверждают фазовый состав изученных магнетитов, выявленный оптически и рентгенометрически.

При пересчетах анализов окислы V_2O_3 и Cr_2O_3 объединялись с Fe_2O_3 в группу R_2O_3 , NiO , CoO и MnO -с FeO в группу RO , TiO_2 в группу TO_2 . Затем содержание этих групп приводилось к 100%. Расчет химических составов титаномагнетитов (анал. I-5, 8, табл. 20) на миналы производился по способу E. A. Vincent /70/ и А.И. Цветкова с соавторами /71/. В основу расчета положено допущение, что все полуторные окислы в данных анализах входят в группу шпинели типа $RO \cdot R_2O_3$ (магнетит), остаток же RO комбинируется с TiO_2 в молекулы $2RO \cdot TiO_2$ (ульвошпинель) и $RO \cdot TiO_2$ (ильменит).

Химические анализы магнетитов из плагиоклазовых андезитов и роговообманковых липаритов, а также маггемитов (анализы 6-7 и 9-10 табл. 20), как содержащие избыток Fe_2O_3 , рассчитывались по другому способу на магнетитовый, ильменитовый и гематитовый миналы.

Рассмотрим подробнее химические составы проанализированных магнетитов и маггемитов. Титаномагнетиты из базальтов и долеритов характеризуются значительным преобладанием FeO над Fe_2O_3 и высокими концентрациями V_2O_3 , Cr_2O_3 , MnO . В нормативном их составе магнетитовый минал составляет 47-54% и постоянно количественно преобладает. Содержание ульвошпинелевого компонента колеблется в пределах 45-42%, ильменитового - 9-7%. В титано-магнетитах из базальтов субвуликанической фации отмечаются более резкие колебания в содержании ульвошпинелевого и ильменитового миналов (45-28% и 7-17% соответственно).

В титаномагнетитах из двупироксеновых андезито-базальтов сохраняется преобладание FeO над Fe_2O_3 , хотя и не столь резкое. По сравнению с титаномагнетитами из оливин-содержащих пород в них увеличивается содержание ильменитового и магнетитового миналов (57 и 14% соответственно), уменьшается ульвошпинелевая составляющая (29%). Несколько убывает MnO , заметных

^x И.Я. Центр с соавторами /69/ показала, что расчеты на миналы по частным определениям сопоставимы с результатами расчетов по полным анализам, если сумма Fe_2O_3 , FeO и TiO_2 равна или более 88%.

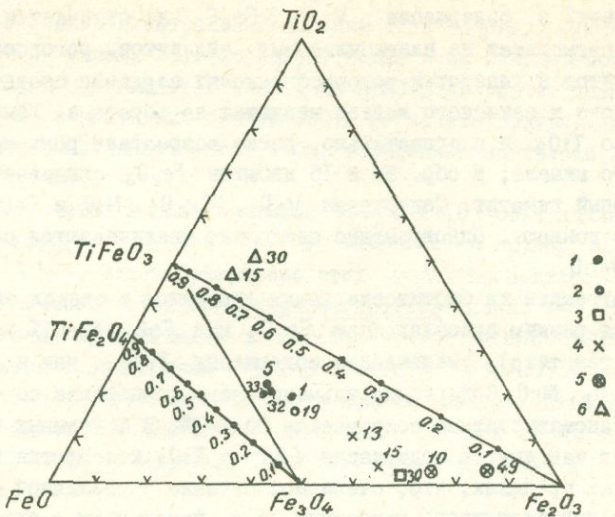
изменений в содержании V_2O_3 , Cr_2O_3 не отмечается.

В магнетитах из плагиоклазовых андезитов, роговообманковых липаритов и гиперстен-роговообманковых перлитов соотношения окисного и закисного железа меняются на обратные. Убывает количество TiO_2 и, следовательно, резко возрастает роль магнетитового минерала; в обр. 30 и 15 избыток Fe_2O_3 связывается в нормативный гематит. Содержания V_2O_3 , Cr_2O_3 , NiO и CoO также резко убывают, одновременно несколько увеличиваются содержания MnO .

Маггемиты из биотитсодержащих липаритов и стекол характеризуются резким преобладанием Fe_2O_3 над FeO (40–61% нормативного гематита), уменьшением содержания TiO_2 , как и V_2O_3 ,

Cr_2O_3 , MnO . Содержание ильменитового компонента по сравнению с титаномагнетитами сокращается до 6–7%. В изученных двух образцах маггемитов содержания FeO и TiO_2 колеблются в значительных пределах, что, очевидно, связано с различной степенью окисления первичного магнетита, т.е. замещением в октаэдрических позициях $3 Fe^{+2}$ на $2 Fe^{+3}$. Они принадлежат, следовательно, различным промежуточным членам изоморфного ряда магнетит–маггемит ($Fe_3O_4 - \delta - Fe_2O_3$), изученного J. Hagg /72/, E. Bashta /68/ и др. исследователями.

Таким образом, в изученных породах оливин–базальтового и андезито–базальтового ряда, а также в гиперстен–роговообманковых перлитах химический состав магнетитов, выраженный в минералах, характеризуется ассоциацией магнетит+ульвошинель+ильменит, которая в андезитах и липаритах сменяется ассоциацией магнетит+ильменит+гематит. Изменения в составе данных магнетитов отчетливо видны на фиг. 23, представляющей треугольную диаграмму в системе $FeO - Fe_2O_3 - TiO_2$. В целом все они располагаются в поле "обобщенного титаномагнетита" по Т. Нагата /73/. Точки химических составов изученных титаномагнетитов отклоняются от идеальной линии титаномагнетита ($Fe_2TiO_4 - Fe_3O_4$) к линии $TiFeO_3 - Fe_2O_3$ и располагаются близко к линии изоморфного ряда ильменит–магнетит. С изменением химического состава вмещающих пород от оливиновых базальтов через андезито–базальты и плагиоклазовым андезитам, роговообманковым липаритам и, наконец, к биотит–содержащим липаритам, точки составов вкрапленников магнетита смещаются вправо и вниз, в сторону закономерного увеличения Fe_2O_3 и сокращения TiO_2 . Соответственно они располагаются вблизи линии $Fe_3O_4 - Fe_2O_3$.



Фиг. 23. Химический состав магнетитов и ильменитов из вкрапленников пород верхнемеловой серии на тройной диаграмме $\text{FeO}-\text{Fe}_2\text{O}_3-\text{TiO}_2$ (по Акимото). Поле, ограниченное сериями $\text{Fe}_3\text{O}_4-\text{Fe}_2\text{TiO}_4$ и $\text{Fe}_2\text{O}_3-\text{FeTiO}_3$, отвечает составам "обобщенного титаномагнетита" (по Т.Нагата).

1. Титаномагнетиты из базальтов и долеритов;
2. Из андезито-базальтов; 3. Из андезитов;
4. Из роговообманковых липаритов и стекол;
5. Маггемиты из биот.липаритов и стекол;
6. Ильмениты.

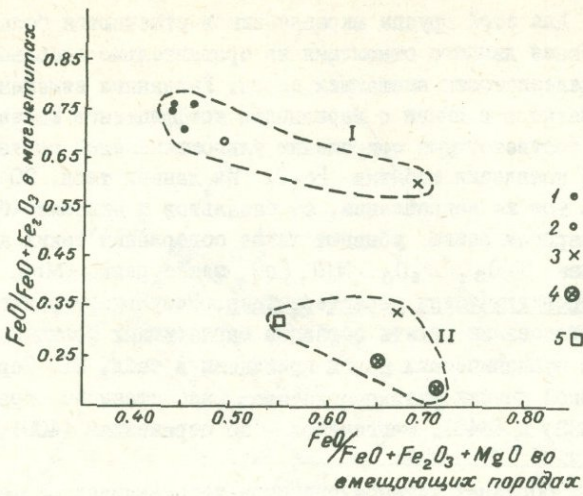
На другой диаграмме (фиг. 24), отражающей изменение отношения $\text{FeO} / (\text{FeO} + \text{Fe}_2\text{O}_3)$ в магнетитах в зависимости от увеличения общей железистости вмещающих пород, обособляются два ряда фигурациальных точек. Первый ряд объединяет составы титаномагнетитов, характеризующиеся высокими значениями $\text{FeO} / (\text{FeO} + \text{Fe}_2\text{O}_3)$, постепенно убывающими на фоне резкого увеличения железистости пород в направлении от оливин-плагиоклаз-пироксеновых базальтов через андезито-базальты к роговообманковым перлитам. Второй ряд объединяет составы магнетитов и маггемитов из плагиоклазовых андезитов, роговообманковых и биотитовых липаритов, характеризующиеся более низкими значениями отношения $\text{FeO} / (\text{FeO} +$

$+ Fe_2O_3$. Для этой группы вкрапленников отмечаются более разные колебания данного отношения на сравнительно небольшом интервале железистости вмещающих пород. Указанные изменения состава магнетитов в связи с вариациями коэффициента железистости пород соответствуют сокращению ульвошинелевой составляющей, вплоть до появления избытка Fe_2O_3 . Из данных табл. 20 следует, что в том же направлении, от базальтов и андезито-базальтов к липаритам резко убывают также содержания таких компонентов, как V_2O_3 , Cr_2O_3 , NiO , CoO , менее резко - MnO .

Рентгенометрическая характеристика. Результаты рентгеновского исследования девяти образцов магнетитных фракций из верхненемеловых вулканических пород приведены в табл. 21. Параметры элементарной ячейки титаномагнетитов рассчитаны по отражениям (311), (333) и (440), магнетитов - по отражениям (400), (800), (440) и (220).

Во всех образцах титаномагнетитов устанавливается фазовая негомогенность: они сочетают кубическую и ромбоздрическую фазы; последняя принадлежит чистому ильмениту. В одном образце из долеритов (обр. 5) обнаруживаются две кубические фазы с различными параметрами кристаллической решетки. По графику, предложенному Т.А. Соседко, рассчитывались содержания ильменита в пробах. Для этого снималась область углов $2\theta(Fe)=37^{\circ}42^{\circ}$, где проявляются отражения (220) магнетита и (211) дискретной ильменитовой фазы. Отношение интенсивностей этих двух линий ($I_{магн.}(220) / I_{ильм.}(211)$) определяет количество ильменита в образце.

Обращаясь к рассмотрению таблицы, следует отметить, что рассчитанные параметры титаномагнетитов заметно повышены по сравнению с чистым магнетитом. Кроме того, значения "a" в соответствии с изменениями состава титаномагнетитов уменьшаются с переходом от базальтов к липаритам. Повышенные значения параметра "a" связаны, как установлено С. Акимото с соавторами /74/ и Т. Нагата /73/, с входлением молекулы ульвошинели в твердый раствор с магнетитом, а также с высокими содержаниями MnO . Образование этой серии твердых растворов происходит при высоких температурах и возможно на том основании, что оба минерала обладают одинаковой структурой обратной шпинели. Между рассчитанными по химическим анализам содержаниями Fe_2TiO_4 в изученных титаномагнетитах и содержанием этого компонента, определяемым по графику линейной зависимости параметра "a" от состава в изо-



Фиг. 24. Зависимость состава вкрапленников титаномагнетитов и маггемитов пород верхнемеловой серии от валовой железистости. I. Титаномагнетиты из оливин-плагиоклаз-пироксаниевых базальтов и долеритов; 2. Из андезито-базальтов; 3. Из роговообманковых липаритов и перлитов; 4. Из биотитовых липаритов и стекол; 5. Из андезитов.

морфном ряду ульвошинель-магнетит/75,73/ отмечается близкое совпадение. Подтверждением того, что обнаруженная при расчетах минералов ульвошинель является составной частью твердых растворов изученных титаномагнетитов, может служить, кроме того, нахождение двух самостоятельных кубических фаз (обр. 5) с параметрами, соответствующими начальным членам ряда магнетит-ульвошинель. Так, первый параметр (8.400 \AA) на диаграмме состояния системы $FeO - Fe_2O_3 - TiO_2$ по С.Акимото приближается к чистому магнетиту и отвечает твердому раствору ульвошинели в магнетите в точке 0.I (т.е. составу 10% Fe_2TiO_4 и 90% Fe_3O_4). Второй параметр (8.439 \AA) отвечает точке 0.4 (40% Fe_2TiO_4 и 60% Fe_3O_4). Судя по интенсивностям рефлексов, вторая фаза количественно преобладает и поэтому в валовом химическом анализе этого образца содержание Fe_2TiO_4 (42.65%) ближе подходит к цифре, определяемой по второму параметру.

Таблица 21

Результаты рентгеновского анализа магнитных фракций
из верхнемеловых вулканических пород

Номера образцов	Название дискретных фаз	Параметр а (Å) кубической фазы	Мол. процент Fe_2TiO_4 в тверд. растворе по графику Баста (1960) и Нагата (1965)	$J \frac{\text{mag}}{220}$		Процентное содержание ильменитовой фазы по графику Т.А.Соседко
				$J \frac{\text{il}}{211}$	$J \frac{\text{il}}{211}$	
5	магнетит титаномагнетит	{ 8.400 8.439	{ 8 40	10.7	-	10
33	титаномагнетит ильменит	8.452	46	I4.1	-	8
32	титаномагнетит ильменит	8.448	43	I4.0	-	8
I	титаномагнетит	8.422	27	6.5	-	16
I9	титаномагнетит	8.423	27	6.0	-	17
I3	титаномагнетит ильменит	8.413	10	7.6	-	13

Таблица 21а

Номер обр.	Название кубической фазы	Параметр а (Å)	Вес. проценты $\gamma - Fe_2O_3$ в тв. растворе по графику Баста (1959)
30	магнетит	8.371	65
10	маггемит	8.353	73
49	маггемит	8.348	84

Как уже отмечалось при рассмотрении тройной диаграммы $FeO - Fe_2O_3 - TiO_2$ составы изученных титаномагнетитов отклоняются от линии твердых растворов магнетит-ульвошинель, что происходит за счет нахождения ильменитового компонента. При этом, судя по данным таблиц, между рассчитанными по химическим анализам и определенными рентгенометрически содержаниями ильменитовой фазы отмечается близкое совпадение. Следовательно, в данном случае ильменит в титаномагнетитах присутствует главным образом в виде индивидуализированной фазы, гомогенная примесь его либо отсутствует, либо находится в незначительном количестве. Это еще и означает, что величины параметра "а" в изученных титаномагнетитах почти исключительно определяются вхождением ульвошинелевого компонента в твердый раствор.

Таким образом, особенности химического состава, высокие значения параметра "а", обнаружение двух кубических фаз, принадлежность ромбоэдрической фазы к чистому ильмениту и отсутствие ферриильменита приводят нас к выводу, что изученные титаномагнетиты относятся к различным членам серии магнетит-ульвошинель-ильменитовых твердых растворов. Образование таких кристаллов в магматических породах происходит при высоких температурах в широком диапазоне составов. Допускается /70, 75, 76/, что при этих температурах ильменитовый компонент входит в твердый раствор в качестве неустойчивой кубической модификации ($\gamma - FeTiO_3$); для синтезированных кубических кристаллов серии $Fe_3O_4 - Fe_2TiO_3$ параметры элементарной ячейки остаются близкими к параметрам магнетита вплоть до составов с 37% $\gamma - FeTiO_3$. Установлено, что гомогенность кристаллов в поле твердых растворов $Fe_3O_4 - Fe_2TiO_4 - \gamma - FeTiO_3$ может сохраняться в условиях быстрого охлаждения, когда разница между более высоким парциальным давлением кислорода в базальтовой магме и равновесным тита-

номагнетитом не успевает заметно сказаться или отсутствует /77/. Такие кристаллы содержат в растворенном виде до 50% Fe_2TiO_4 . Известно также, что составы титаномагнетитов чувствительны к изменениям окислительно-восстановительных реакционных отношений между кристаллами и магмой. При этом магнетиты, сохраняющиеся в процессе охлаждения преимущественно в восстановительных условиях (т.е. вдоль или вблизи линии шпинелей типа Fe_3O_4 - Fe_2TiO_4) предпочтительнее сохраняются гомогенными вплоть до низких температур, чем кристаллы серии Fe_3O_4 - $FeTiO_3$. На диаграмме FeO - TiO_2 - O /76, 78/, последняя серия смещена относительно магнетит-ульвошинелевой к кислородному углу, т.е. ее образование является следствием увеличения степени окисления первичного сложного титаномагнетита. Одновременно кубическая γ - $FeTiO_3$ при охлаждении претерпевает быструю инверсию в ромбоэдрическую α - $FeTiO_3$ с образованием ильменитовых пластинок. Экспериментальные исследования и изучение природных титаномагнетитов позволили Е. Basta /75/ прийти к заключению, что в дальнейшем при более низких температурах, распад оставшихся кубических фаз происходит в форме отделения чистого магнетита и твердого раствора состава Fe_2TiO_4 - Fe_3O_4 с варьирующим соотношением компонентов. Окисление ульвошинели в соответствии с реакцией $6 Fe_2TiO_4 + O_2 = 2Fe_3O_4 + 6FeTiO_3$ приводит к появлению другой, более поздней генерации ильменита. По приведенным причинам следует, что наблюдаемый ныне фазовый состав титаномагнетитов из верхнемеловых пород не совсем точно отвечает составу в момент интратилурической кристаллизации. В различных типах пород в разной степени проявлены последовательные процессы распада магнетитовых растворов. Так, в титаномагнетитах из двутироксеновых андезито-базальтов и гиперстен-рогообманковых перлитов проявлена инверсия γ - $FeTiO_3$ в чистый ильменит; в титаномагнетитах из оливинсодержащих базальтов наряду с этим процессом происходит отделение чистого магнетита и твердого раствора состава 40% Fe_2TiO_4 . И, наконец, в некоторых пластовых залежах оливиновых долеритов в результате медленного охлаждения и более длительного взаимодействия между кристаллами титаномагнетита и остаточным расплавом, когда роль внешнего окислителя усиливается со временем, происходит частичное окисление ульвошинели и выделение более поздних обособлений ильменита. И не случайно, что именно в этом образце устанавливается, с одной стороны,

резкое увеличение количества ильменитовой фазы, с другой - заметное уменьшение параметра ячейки титаномагнетита.

Чистый магнетит из плагиоклазовых андезитов является однозначным и имеет пониженное значение параметра $a = 8.371(\text{\AA})$, что позволяет относить его к промежуточным членам изоморфной серии $\text{Fe}_3\text{O}_4-\gamma\text{-Fe}_2\text{O}_3$ с содержанием $\gamma\text{-Fe}_2\text{O}_3$ в пределах 65%.

В титаномагнетитах из биотитсодержащих липаритов и стекол сохраняется неизменной кубическая структура элементарной ячейки и не проявляется дискретной ильменитовой или гематитовой фаз. Количество изредка наблюдаемого в амфилах гематита настолько мало, что на дифрактограммах не фиксируется даже самый сильный рефлекс. По особенностям химического состава и параметрам элементарной ячейки изученные маггемиты относятся к конечным членам изоморфного ряда $\text{Fe}_3\text{O}_4-\gamma\text{-Fe}_2\text{O}_3$; состав их по графику зависимости между "a" и $\gamma\text{-Fe}_2\text{O}_3$ соответствует 73 и 84% $\gamma\text{-Fe}_2\text{O}_3$. Эти значения свидетельствуют о том, что с увеличением степени окисления (с возрастанием нормативного гематита в химическом составе) параметр "a" уменьшается. Гомогенный характер изученных титаномагнетитов позволяет судить о том, что окисление вкраплеников первичного магнетита происходило в условиях быстрого охлаждения при температуре ниже 550° , поскольку выше этой температуры титаномагнетит инверсионно переходит в титаногематит и феррильменит, сохраняющиеся в виде несмешивающихся фаз /68/.

Ильменит

Ильменит пользуется широким развитием в породах верхнемеловой вулканической серии, однако распределение его крайне неравномерное и обнаруживает обратную зависимость от содержания титаномагнетита и магнетита. Подчеркнем, что в породах со значительными концентрациями ильменита, последний ассоциирует с чистым магнетитом. Максимальные концентрации ильменита (0.6–0.4%) отмечаются в плагиоклазовых андезитах субвулканических тел, заметно обедненных магнетитом. Содержания в пределах 0.5–0.3% характерны для роговообманковых липаритов, в которых количество магнетита сокращено и не превышает 0.3–0.1%. В оливинсодержащих базальтах и двупироксеновых андезито–базальтах с содержаниями титаномагнетита до 1% концентрации ильменита низкие (0.03–0.01%). Минимальные содержания ильменита (0.005–0.001%) отмечаются в биотитовых липаритах и обсидианах.

Порфировые вкрапленники ильменита, размерами 0.6–0.4 мм, имеют характерный пластинчатый облик и представлены уплощенными по пинакоиду (0001) кристаллами с хорошо развитыми гранями ромбоэдра (1011). Двойники редки. Границы кристаллов зачастую исщерленные, шероховатые, с глубокими ямками вследствие замещения лейкоксеном. В полированных шлифах ильменит образует неправильные крупные выделения, тяготеющие к участкам скопления вкрапленников темноцветных минералов. Возможно, ильменит присутствует и в мезостазисе пород, но отличить его от титаномагнетита в тонкодисперсной массе очень трудно.

Химические анализы и нормативно-минералогический состав двух образцов вкрапленников ильменита, выделенных из платиоклазовых андезитов и роговообманковых липаритов, приведены в табл. 22. Исследованные образцы содержат избыток TiO_2 по отношению к сумме двухвалентных окислов ($FeO+MnO$), рассчитанный как нормативный рутил. Этот избыток достигает 15.7% в ильмените из платиоклазовых андезитов, тогда как в ильмените из роговообманковых липаритов составляет всего 0.65%. Возможно, что такие соотношения определяются составом существующих вкрапленников магнетита, в которых также варьируют содержания TiO_2 .

В связи с более высокими содержаниями FeO количество ильменитовой молекулы в ильмените из роговообманковых липаритов выше, чем в ильмените из платиоклазовых андезитов. Кроме того, в ильмените из липаритов особенно велико содержание MnO , которое при расчете миналов суммируется с FeO . В обоих образцах сравнительно высоки содержания окисного железа. На тройной диаграмме (фиг. 23) фигуративные точки исследованных образцов располагаются вблизи ильменитового конца изоморфной серии $TiFeO_3$ и Fe_2O_3 . От точки чистого ильменита они смещены несколько вправо, к гематитовому углу диаграммы.

Результаты рентгеновского анализа образцов ильменита приведены в табл. 23. Условия съемки те же, что и титаномагнетитов и маггемитов. Изученные ильмениты однофазные, гематитовой фазы не устанавливается. Параметры кристаллической решетки рассчитывались в гексагональной установке осей; параметр "a" рассчитан по отражениям (300), (330), (110), параметр "c" – по (204), (116), (108). Затем для удобства пользования диаграммой эти параметры переведены в ромбоэдрическую установку. Отмечается, что в обоих образцах значения параметра "c" несколько занижены, что должно быть связано с нахождением Fe_2O_3 в качестве

Таблица 22

Химический состав вкраепленников ильменита из пород верхнемеловой серии

Образец	TiO ₂	Fe ₂ O ₃	FeO	MnO	Сумма	Пересчет на 100%			минералы ^x		
						TiO ₂	Fe ₂ O ₃	FeO+MnO	iℓ	hem	Ru
30	51.20	14.80	31.88	1.38	99.06	51.70	14.90	33.40	69.80	14.50	15.70
I5	44.60	16.12	34.19	5.10	100.01	44.60	16.12	39.29	83.35	16.00	0.65

Обр. 30 - ильменит из плагиоклазовых андезитов; дайкообразное тело, г.Шин-тапа; обр. I5 - ильменит из роговообманковых липаритов, купол Кер-оглы.

^x Сокращения iℓ - ильменит; hem - гематит; Ru - рутил.

Таблица 23

Результаты рентгеновского анализа вкраепленников ильменита из пород верхнемеловой серии

Образец	Параметры решетки в гексагональной установке в (Å)		Параметры решетки в ромбическая установке		Содержание TiFeO ₃ (в мол.%) по графику T.Нагата (1965)
	a	c	a	α	
30	5.073	13.95	5.49	55°00	69.70
	5.083	14.07	5.53	54°48	
					84.85

твердого раствора. Содержания $TiFeO_3$ в молекулярных процентах, определяемые с помощью графика Т.Нагаты /73/, по полученным величинам $d_{\text{ч}}$ и $\phi_{\text{ч}}$ близко отвечают рассчитанным по химическим анализам содержаниям ильменитового компонента.

Хромшпинель

Хромшпинель является редким для пород верхнемеловой серии акцессорным минералом и встречается совместно с вкрапленниками олигина в долеритах верхнесантоцкого комплекса в количестве 0.6-1%. Она образует правильные октаэдрические кристаллы черного цвета с сильным металлическим блеском. Размеры выделений 0.08-0.2мм; грани кристаллов гладкие, без следов коррозии. Нередки цепочные срастания мелких кристаллов или нарастание их на более крупные. Количественно-спектральным анализом в описываемом минерале установлены следующие элементы $Mg = 5,33\%$ ($MgO = 8,84\%$), $Al = 1,30\%$ ($Al_2O_3 = 4,91\%$), $Ti = 0,37\%$ ($TiO_2 = 0,62\%$), $V = 0,054\%$, $Mn = 0,11\%$, $Co = 0,027\%$, $Ni = 0,21\%$, $Sc = 0,024\%$. Для рентгенограммы характерны следующие интенсивности рефлексов и величины межплоскостных расстояний: 5(4,794), 6(2,925), 10(2,497), 8(2,069), 7(1,593), 9(1,646). Параметр элементарной ячейки составляет $a_0 = 8,2863 \text{ \AA}$. Полученные спектральные и рентгенометрические данные позволяют относить минерал к хромпикотиту с содержанием $Cr_2O_3 \approx 58\%$. Отметим, что по сравнению с теоретической формулой хромпикотита в изученном нами образце содержание Al_2O_3 заметно понижено, с чем следует связывать высокое значение параметра a_0 .

Кварц

Наряду с калиевым полевым шпатом и плагиоклазом кварц является составной частью мезостазиса липаритов и присутствует в виде неправильных зерен в наиболее раскристаллизованных участках его. В липаритах, слагающих экструзив Карабал, и в кварцевых дайзитах участка Кардан кварц образует крупные изометрические вкрапленники размерами 0.1-3 мм; количественное его содержание составляет в липаритах 20-29%, в дайзитах - 5-6%. Фенокристаллы кварца свежи и водянопрозрачны, имеют, как правило, оплавленный вид с заливами и включениями основной массы. В липаритах г. Карабал они постоянно раздроблены и пересечены вязкой основной массой.

Взаимоотношения кварца с плагиоклазом и биотитом, а также исключительная чистота и указанные выше морфологические особенности свидетельствуют, что фенокристаллы кварца являются наиболее ранними интрапеллурическими выделениями в данных породах.

Индикация и расчет параметров элементарной ячейки дали следующие величины в Å : $a = 4.895 \pm 0.005$ и $c = 5.390 \pm 0.005$. Эти данные, особенно для параметра "с", заметно занижены по сравнению с величинами для природных и синтетических кварцов. Установлено /79/, что при снижении температуры кристаллизации количество элементов-примесей, входящих в решетку кварца, увеличивается, и это приводит к небольшому увеличению параметров элементарной ячейки. Данные спектральных анализов вкрапленников кварца из изученных липаритов и дацитов указывают на значительную их чистоту. С этим связано пониженное значение параметра "с", близкого к параметру кварца, не содержащего примесей ("с"=5.393), что должно указывать на высокую температуру кристаллизации описанных вкрапленников.

ОСОБЕННОСТИ СОСТАВА БАЗИСА (ОСНОВНЫХ МАСС) ВЕРХНЕМЕЛЛОВЫХ ВУЛКАНИЧЕСКИХ ПОРОД

Изучение химизма базиса эфузивных и субвулканических пород имеет большое значение для установления хода кристаллизации расплава в собственно эфузивную стадию после выделения фенокристаллов. Особенно важны соотношения химических составов валовых пород и остаточных жидкостей для установления хода кристаллизации полевых шпатов.

В базальтах и долеритах верхнеконъяк-нижнесантонского комплекса основная масса слагает примерно 50–65% объема породы и характеризуется высокой степенью кристалличности. Преобладают микродолеритовая, долеритовая и призматически-зернистая структуры; в шлаковых обломках брекчий устанавливаются гиалопилитовая, реже – интерсерпентальная структуры, однако в них резко выражены процессы позднего окисления стекла вплоть до полного замещения опаковым веществом. В оливиновых долеритах верхнесантонского комплекса (тип "А") основная масса количественно резко преобладает (92–80%) над фенокристаллами оливина и характеризуется микродолеритовой структурой с переходами к призматически-зернистой.

В гиперстеновых и двупироксеновых андезито-базальтах разно-

возрастных комплексов базис слагает примерно 70–60% объема породы. Резко преобладающими являются гиалопилитовая и интергра-нулярная структуры; вулканическое стекло в них свежее, нерас-кристаллизованное. В плагиоклазовых андезитах субвулканических тел основная масса составляет примерно 70–75% объема породы и характеризуется гиалопилитовой, реже – пилотакситовой структу-рой. Стекло в них слабо раскристаллизовано.

Породы липаритового, липарито-дацитового и дацитового сос-тава, слагающие верхнесантонский комплекс, по сравнению с ба-зальтами отличаются более высокими содержаниями основной массы (80–85%). Исключением являются кварцевые липариты экструзива Карабал, в которых количество остаточной стекловатой массы сок-ращается до 65–70%. Породам данной группы свойственно большое разнообразие микроструктурных типов основных масс. В биотито-вых и биотит–санидиновых разностях микроструктуры относятся к типу аллотриоморфно–зернистых (микроаплитовые, микрофельзито-вые, фельзитовые); в роговообманковых разностях отмечаются микропойкилитовые, реже – гиалопилитовые микроструктуры. Флю-идальным разностям свойственно чередование мелкокристалличес-ких, раскристаллизованных полос с витрофировыми. Порфировые стекловатые породы данной группы (обсидиан–перлиты и перлиты) содержат 85–90% свежего нераскристаллизованного стекла. Оно обладает перлитовой микроотдельностью и содержит кристаллиты рудного минерала; стекло в дайке гиперстен–рогообманковых перлитов наряду с кристаллитами содержит микролиты кислого пла-тиоклаза.

В табл. 24 приведены величины показателей преломления вул-канических стекол и соответствующие содержания SiO_2 в них, оп-ределяемые по кривой Джорджа. Там же приведены весовые процен-ты SiO_2 в валовых анализах пород и в стекловатом базисе. Рас-смотрение этих данных показывает, что валовая кремнекислотность пород ниже кремнекислотности стекол их собственного базиса. При этом отмечается, что разница в указанных содержаниях SiO_2 наибольшая в породах с высоким содержанием порфировых вкраплен-ников и с более высокой степенью кристалличности базиса (в ан-дезито–базальтах). Это обычная закономерность /80/, свидетель-ствующая о том, что в породах с далеко продвинувшейся интра-теллурической кристаллизацией темп увеличения кислотности ос-таточного расплава, застывшего в виде стекловатой массы, бо-лее высокий.

Химизм. Выполнено двенадцать химических анализов мелкокристаллического и стекловатого базиса главных типов верхнемеловых вулканических пород, на основании которых можно сделать некоторые выводы о направлении изменения химизма кристаллизационного остатка (табл. 25). С этой целью построена диаграмма А.Н.Заваринского, на которой показаны также особые точки системы альбит-аортит-диопсид и проекции эвтектической кривой на плоскостях as_b и cs_b . Рассмотрение диаграммы (фиг. 25) выявляет следующий ряд особенностей.

В оливин-плагиоклаз-пироксеновых базальтах и долеритах верхнеконьяк-нижнесантонского комплекса составы базиса остаются в пределах группы базальтов и сохраняют недосыщенный SiO_2 характер. По сравнению с валовым, составы базиса несколько более лейкократовые и смешаются в сторону заметного увеличения содержания щелочных алюмосиликатов и железистости; в нормативном составе это выражается в небольшом возрастании процентов нефелина. В плоскости cs_b видно отчетливое сокращение количества аортитовой извести. Наибольший разрыв в составах валовых пород и основной массы отмечается для верхнесантонских оливиновых долеритов. В них состав базиса разко обедняется темноцветными компонентами. Кроме того, в отличие от предыдущей возрастной группы базальтов, содержание полевошпатовой извести почти не изменяется и отсутствует нормативный нефелин. Таким образом, исходный валовый состав разновозрастных базальтов верхнемеловой серии, парагенезис интрателлурических фаз и последовательность их выделения определяют тот или иной ход последующей кристаллизации. Раннее выделение наряду с кристаллами оливина (Fo_{69-79}) и титаномагнетита (с 42-45% ульвошинели) также вкрапленников битовнита и богатого кальцием авгита приводят к появлению кристаллизационного остатка, обогащенного щелочами и железом. При этом в условиях сохраняющейся недосыщенности SiO_2 плагиоклаз основной массы характеризуется высокой основностью (50-62% An), возрастает железистость авгита, а повышение щелочности реализуется в появлении интерстициальных обособлений анальцима и палагонита. Напротив, отделение оливина (Fo_{82-83}) в качестве единственной интрателлурической фазы смешает остаточный расплав в сторону увеличения кремнекислотности, что в конечном счете приводит к кристаллизации более натрового плагиоклаза и субкальциевого авгита.

Таблица 24

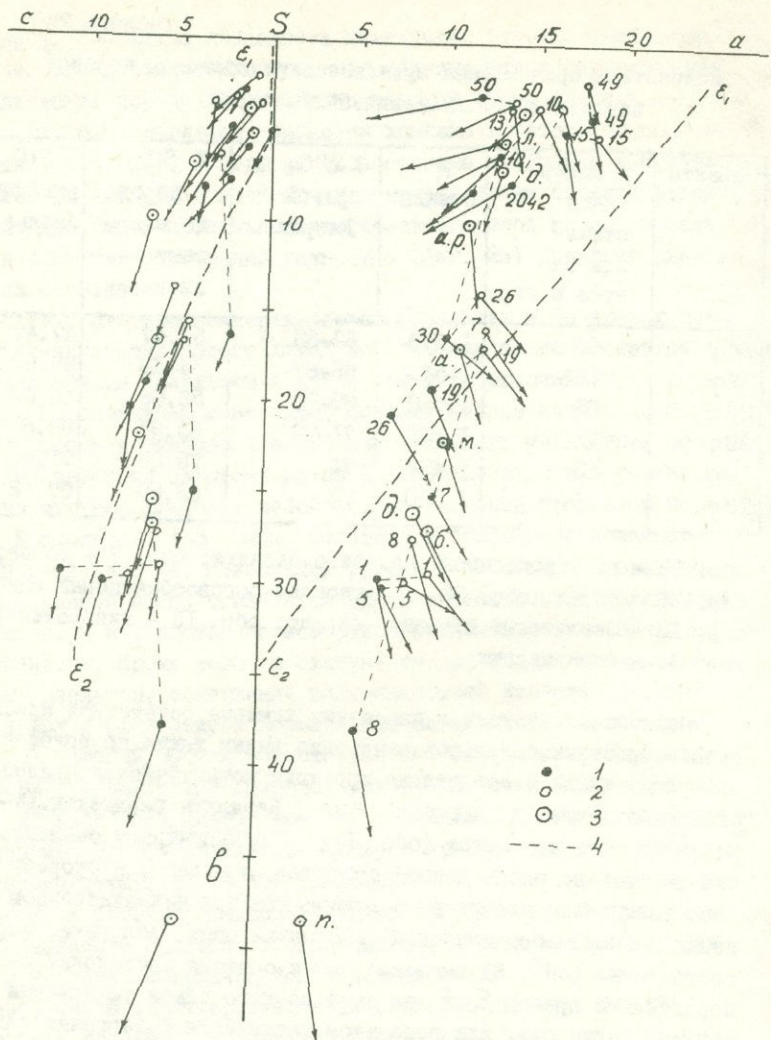
Показатели преломления вулканических стекол в породах верхнемеловой вулканической серии

Образец	% содержания стекла или базиса в пор.	N стекла	% SiO ₂ по кривой Джорджа	% SiO ₂ в породе по валовому анализу	% SiO ₂ по анализу базиса
I9g	60	I.518	62-63	53.47	57.47
7g	66	I.514	66-67	54-48	59.07
26g	65	I.510	69-70	53.09	60.07
30g	75	I.506	71-72	63.97	69.60
I0g	85	I.498	74	70.28	71.60
I3g	85	I.500	72	65.89	69.42

обр. I9 - двуцироксеновый андезито-базальт; обр. 7 - то же; обр. 26 - то же; обр. 30 - плагиоклаз-роговообманковый андезит; обр. I0 - биотитовый обсидиан-перлит; обр. I3 - гиперстен-роговообманковый перлит.

Различные тенденции в изменении химизма остаточной массы разновозрастных базальтов отчетливо видны также по положению связующих линий относительно проекции контактической кривой диопсид-плагиоклаз в плоскости ASb. Базальты верхнеконьяк-нижнесантонского комплекса (обр. I и 5) обнаруживают смещение точек состава не вдоль данной проекции, а вправо, в сторону резкого увеличения альбитового компонента при незначительном убывании диопсидового компонента. В оливиновых долеритах верхнего сантонса (обр. 8) смещение точек состава происходит близко параллельно кривой E₂E₁ за счет резкого темпа уменьшения нормативного диопсида при небольшом увеличении содержания альбита в базисе.

В группе двуцироксеновых и гиперстеновых андезито-базальтов отмечается существенные изменения состава основной массы, которая отвечает уже андезитам. Эти изменения состоят в резком увеличении лейкократовости, возрастании содержания щелочных алюмосиликатов и железистости, сокращении аортитовой известки. Фигуративные точки пар валовая порода-базис в данной группе



Фиг. 25. Диаграмма А.Н.Заваринского для валовых составов и базиса групп пород верхнемеловой серии. 1. Валовые составы; 2. Базис; 3. Связующие линии. п - пикрит; б - базальт; м - мелапир; а - андезит; а.р. - андезит роговообманковый; л - липариты.

Таблица 25

Химический состав и петрохимические характеристики основных
масс (базиса) верхнемеловых вулканических пород Северной
Армении

Оксиды	5	I	8	I9	7	26	30	I3	50	I5	49	IO	2042
SiO ₂	46.28	47.13	51.33	57.47	59.07	60.07	69.60	69.42	69.46	70.62	71.24	71.60	71.87
TiO ₂	0.78	0.69	0.45	0.93	0.93	0.49	0.33	0.38	0.15	0.44	0.08	0.08	0.05
Al ₂ O ₃	16.42	15.96	15.09	15.69	15.74	16.18	15.79	14.78	14.78	14.57	15.33	12.42	13.25
Fe ₂ O ₃	4.42	4.42	0.65	3.05	2.26	3.71	2.57	2.09	1.20	2.64	1.68	1.92	1.90
FeO	10.24	8.00	6.08	5.07	4.63	3.76	0.28	0.28	1.50	-	-	-	-
CaO	10.32	10.96	9.30	7.07	6.89	7.28	2.59	2.91	1.82	0.99	1.27	1.27	1.30
MgO	5.50	5.64	9.16	3.01	3.29	2.40	1.22	0.74	0.37	0.70	0.34	0.71	0.70
MnO	0.60	0.25	0.27	0.14	0.12	-	0.08	0.13	-	0.07	0.04	0.08	0.10
Na ₂ O	2.90	3.98	2.94	3.88	4.00	3.88	3.63	4.88	3.20	5.50	3.75	3.88	3.99
K ₂ O	0.80	0.80	1.15	2.25	2.20	2.13	3.25	1.63	4.10	4.55	6.50	4.25	4.80
H ₂ O-	0.16	-	1.46	0.34	0.59	0.24	0.17	0.92	1.20	0.14	0.66	0.22	0.20
H ₂ O+	-	-	-	-	1.27	-	-	2.22	-	-	0.52	4.40	1.40
П.п.п.	1.00	-	1.85	1.68	1.27	0.59	1.32	2.22	2.56	0.60	0 -	-	0.15
P ₂ O ₅	-	2.07	-	-	-	-	-	-	-	-	-	-	0.10
Сумма	99.42	99.90	99.73	100.58	100.99	100.73	100.83	99.79	99.34	100.82	100.82	100.83	99.81

Числовые характеристики по А.Н.Заваринскому

a	7.9	10.2	8.2	II.8	I2.0	II.6	I2.4	I3.2	I3.4	I8.0	I7.3	I4.6	I6.0
c	7.4	5.7	6.0	4.7	4.5	5.2	3.1	3.4	2.3	0.3	1.3	0.9	0.9
b	29.7	29.2	27.4	I6.8	I5.8	I3.8	6.4	3.5	3.2	5.0	2.2	3.5	3.4
s	55.0	54.9	58.4	66.7	67.7	69.4	78.4	79.9	81.1	76.7	79.2	81.0	79.7
f'	49.0	40.4	24.1	45.5	40.2	43.2	38.9	58.8	46.6	61.0	66.7	49.0	49.0
m'	I8.7	26.5	56.6	30.3	35.1	29.7	29.5	35.3	I7.8	22.1	24.2	33.3	33.3
c'	32.3	33.1	I9.8	24.2	24.7	27.1	-	5.9	-	I6.9	9.1	I7.7	I7.7
a'	-	-	-	-	-	3I.6	-	35.6	-	-	-	-	-
n	84.0	87.9	78.4	72.1	73.7	73.9	64.2	82.2	54.2	64.5	46.9	57.3	56.0
t	I.3	I.I	0.7	I.2	I.2	0.4	0.3	0.3	0.2	0.4	0.I	0.I	0.I
y	I3.3	I3.2	2.0	I5.6	I2.1	I7.1	33.7	50.9	3I.1	59.7	66.7	47.0	47.0
Q	-I3.1	-I6.3	- II.6	+ 5.1	+ 6.9	+I0.4	+28.3	+30.0	+33.1	+I7.1	+22.5	+3I.9	+26.5
a/c	I.I	I.8	I.4	2.5	2.7	2.2	4.0	3.9	5.8	60	I3.3	I6.2	I7.8

Нормативный состав по CIPW

ap	-	5.05	-	-									
il	I.52	I.37	0.91	I.82	I.67	0.91	0.61	0.61	0.46	0.76	0.15	0.15	0.15
mgt	6.48	6.48	0.93	4.40	3.24	3.94	0.23	0.46	I.39	-	-	-	-
hem	-	-	-	-	-	-	2.40	I.76	0.32	3.67	I.76	I.92	I.92
or	5.00	5.00	7.24	I3.36	I3.80	I2.84	I9.48	9.46	24.49	27.27	38.40	25.60	28.38
ab	22.02	30.41	24.64	32.51	34.08	32.51	30.93	4I.42	27.26	46.66	3I.98	32.51	34.08
an	29.2I	23.09	24.48	I8.9I	I8.36	20.86	I2.79	I3.07	9.18	I.39	5.56	3.89	3.89
tno	9.18	7.20	9.06	6.85	6.62	6.27	-	0.58	-	I.5I	0.35	I.05	I.05
dien	4.02	3.7I	5.52	3.6I	3.92	3.7I	-	0.50	-	I.3I	0.30	0.90	0.90
fs	5.14	3.30	3.03	3.03	2.37	2.24	-	-	-	-	-	-	-
hy(en,	-	-	6.73	3.8I	4.22	2.2I	2.8I	I.3I	0.80	0.40	0.50	0.80	0.80
hy(fs,	-	-	3.69	2.5I	2.90	3.83	-	-	-	-	-	-	-
ol(fo	6.75	7.20	6.6I	-	-	-	-	-	-	-	-	-	-
fa	7.54	5.35	4.08	-	-	-	-	-	-	-	-	-	-
ne	I.42	I.99	-	-	-	-	-	-	-	-	-	-	-
q	-	-	-	7.8I	8.7I	II.23	28.53	27.64	30.39	I8.44	2I.32	29.43	26.79
cor	-	-	-	-	-	-	I.53	-	I.73	-	-	-	-
Сумма	98.28	I00.15	96.92	98.62	98.89	99.85	99.3I	96.8I	96.02	I00.65	I00.32	96.25	98.30

Соотношение компонентов в пересчете на 100%

	5	I	8	I9g	7	26g	30g	I3	50g	I5	49g	IO	2042
An/An+Ab	57.0	43.2	49.9	36.9	35.1	39.1	29.2	24.0	25.2	2.9	I4.8	I0.7	I0.2
$\Sigma Fe/\Sigma Fe+Mg^x$	0.57	0.5I	0.29	0.55	0.48	0.54	0.43	0.5I	0.62	0.59	0.60	0.43	0.43
An	52.0	39.5	43.4	29.2	28.1	3I.8	20.2	20.5	I5.1	I.8	7.3	6.3	5.9
Ab	39.1	52.0	43.8	50.2	52.3	49.5	49.0	64.7	44.7	6I.9	42.1	52.4	51.4
Or	8.9	8.5	I2.8	20.6	I9.6	I8.7	30.8	I4.8	40.2	36.3	50.6	I1.3	42.7
q	-	-	-	I4.5	I5.7	2I.0	36.1	35.2	37.0	20.0	23.2	33.6	29.8
ab	-	-	-	60.6	6I.3	58.9	39.2	52.7	33.2	50.4	34.8	37.2	38.3
or	-	-	-	24.9	23.0	20.1	24.7	I2.1	29.8	29.6	42.0	29.2	3I.9
Ab	3I.6	44.9	36.9	50.0	52.1	49.5	-	74.6	-	I1.7	83.7	84.9	85.3
An	42.0	34.1	36.7	29.2	28.1	3I.8	-	23.5	-	2.7	I4.7	I0.9	9.8
Di	26.4	2I.0	26.4	20.8	I9.8	I8.7	-	I.9	-	5.6	I.7	5.I	4.9
Di	33.8	3I.8	36.1	-	-	-	-	-	-	-	-	-	-
Fo	I2.4	I6.2	I3.5	-	-	-	-	-	-	-	-	-	-
An	53.8	52.0	50.4	-	-	-	-	-	-	-	-	-	-

x)Отношение рассчитывалось по сумме молекулярных количеств ($(FeO + Fe_2O_3 + MnO)/\Sigma Fe$) и MgO.

Примечание: обр. 5 - базис оливин-плагиоклаз-пироксенового долерита, поток, с.Хаштарак; обр. I - базис оливин-плагиоклаз-пироксенового базальта, дайкообразное тело, с.Хаштарак; обр. 8 - базис оливинового долерита "A", пластовая залежь, с.Саригюх; обр. I9 - базис двупироксенового андезито-базальта - поток, с.Саригюх; обр. 7 - то же; обр. 26 - базис гиперстенового андезито-базальта, субвулканическое тело, с.Кохб; обр. 30 - базис плагиоклаз-роговообманкового андезита, дайкообразный массив, г.Шор-Ахюр; обр. I3 - базис гиперстен-роговообманкового перлита, купол Кер-оглы, дайка; обр. 49 - базис кварцевого липарита, экструзив, г.Караачал; обр. I5 - базис роговообманкового липарита, купол Кер-оглы; 49 - базис биотит-сандиновского липарита-травната, купол Кзылкая; обр. IO - базис биотитового осидиан-перлита, поток, г.Мровул; обр. 2042 - базис биотитового липарита, поток, г.Мровул.

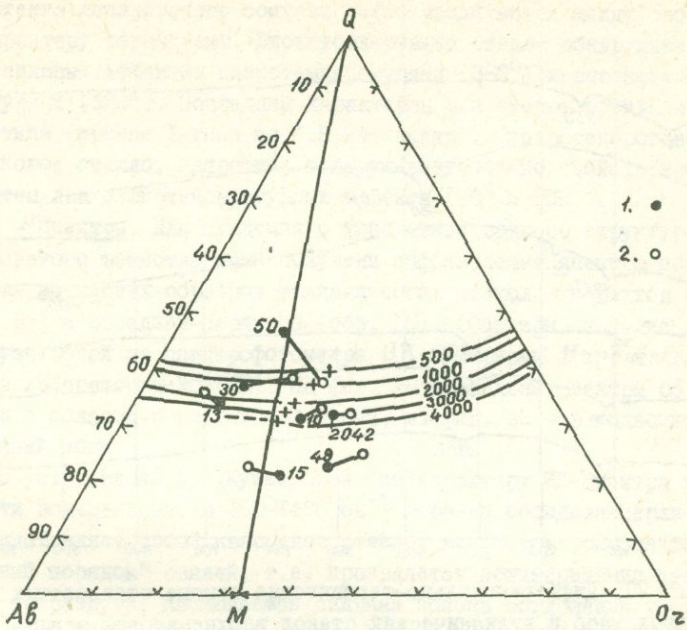
пород близко примыкают к котектической кривой и смещение составов кристаллизационного остатка происходит строго вдоль этой кривой.

В плагиоклаз-роговообманковых андезитах основная масса по химизму близко соответствует дацитам. По сравнению с валовым составом в основной массе отмечается резкое увеличение лейко-кратовости, возрастание роли щелочных алюмосиликатов (за счет K_2O) и проявляется пересыщенность глиноземом (параметр a' и появление корунда в нормативном составе).

Группа кислых пород характеризуется заметными различиями в составе валовых пород и соответствующих основных масс. При равных значениях параметра "в" базис роговообманковых и биотитовых липаритов обнаруживает более высокое содержание щелочных алюмосиликатов, в первом случае за счет возрастания роли Na_2O , во втором - K_2O . В кварцевых липаритах в сторону основной массы увеличивается коэффициент железистости. В стекловатых разностях пород разрыв в составах пар валовая порода - основная масса наибольший. В остаточной массе их отчетливо уменьшается параметр "в", возрастает железистость и количество свободной извести (параметр "с^I"). Нормативные составы валовых пород и базиса группы кислых вулканитов, включая и плагиоклаз-роговообманковые андезиты, рассмотрены, кроме того, в координатах системы кварц-альбит-ортоклаз - (H_2O), детально изученной Н.Боузеном и соавтором /81/. Поскольку на диаграмме Заварицкого эта система проектируется в виде налегающих друг на друга отрезков вдоль линии $5a$, мы воспроизвели ее отдельно на фиг. 26, где показаны также котектические линии кремнезем - полевой шпат при различных давлениях водяного пара. На диаграмму нанесены весовые количества нормативных альбита, ортоклаза и кварца в рассматриваемых породах, где они составляют 80% или более от общей нормы; точки сопряженных составов пар валовая порода - основная масса соединены между собой. На диаграмме видно, что фигуративные точки различных петрографических типов пород располагаются в различных полях первичной кристаллизации. Изменение состава базиса от начальных точек происходит различными путями, но во всех случаях оно направлено в сторону котектических линий. Точка валового состава кварцевых липаритов находится в поле первичной кристаллизации кварца, в соответствии с чем вкрапленники кварца в этих породах рассматриваются как самая ранняя кристаллическая фаза, избыточная против эвтектики.

Остаток отчетливо смешен в направлении ортоклазового угла диаграммы к котектической линии с минимальным давлением водяного пара. Содержание нормативного анортита в остаточной массе кварцевых липаритов составляет примерно 9%, отношение Ab/Ap невелико (3.0) и это позволяет рассматривать возникший эвтектический расплав как имеющий аплитовый характер, т.е. обогащенный кварцевым и ортоклазовым компонентом. Начальные точки составов биотит-сандиновых липарито-тракхитов и роговообманковых липаритов расположены в поле кали-натриевых полевых шпатов, несколько правее линии, соединяющей вершину SiO_2 с точкой минимума (M) полевых шпатов^{X)} и разграничающей поля плагиоклаза и ортоклаза. Соответственно первой кристаллической фазой в этих породах является кислый плагиоклаз (25–35% An), содержащий в твердом растворе до 2.5–5% Or . Состав остаточной массы в биотит-сандиновых липарито-тракхитах смешается к стороне кварц-ортоклаз, что объясняет выделение на поздних этапах кристаллизации вкрапленников сандинина с содержанием 38% альбитового компонента. Сходная тенденция в изменении состава основной массы видна по расположению связующих линий для биотитовых липаритов и обсидиан-перлитов, точки которых находятся на котектических кривых с высоким давлением H_2O , вблизи минимумов плавления. В основных массах биотитсодержащих разностей процент нормативного анортита сокращен (4–5.5%) и по Ab/Ap отношению (6.0–8.0) кристаллизационный остаток приближается к гранитной эвтектике. В связи с этим еще раз подчеркнем существенно кварц-калиполевошпательный характер базиса биотитовых липаритов и развитие микроаплитовых, аллотриоморфнозернистых микроструктур. В роговообманковых липаритах состав остаточной массы смешается, напротив, в сторону увеличения альбитового и кварцевого компонентов и резкого возрастания Ab/Ap отношения. Этим объясняется кристаллизация на эффузивном этапе микролитов альбита и преимущественное развитие микропойкилитовых структур. Точки сопряженных составов в гиперстен-роговообманковых перлитах

X) По А.Н. Заварицкому и В.С. Соболеву точка минимума на прямой альбит-ортоклаз отвечает 65% Ab и 35% Or .

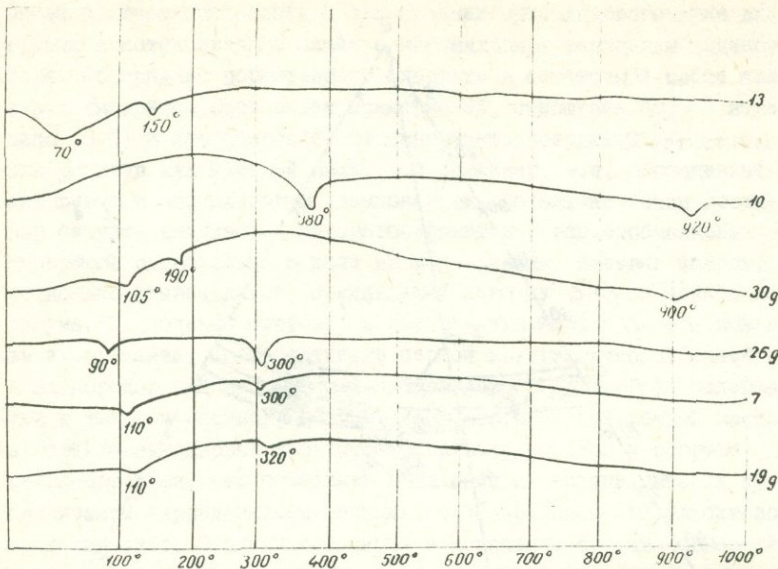


Фиг. 26. Нормативные составы андезитов и кислых эффи-
зивов верхнемеловой серии на диаграмме состояния сис-
темы альбит-ортоклаз-кварц-вода. Нанесены котектиче-
ские линии при различных P_{H_2O} . (Условные знаки см. выше).

отчетливо располагаются влево от линии SiO_2-M . В этих раз-
ностях смещение составов базиса, как и в роговообманковых ли-
паритах, направлено к $Ab-Q$ стороне диаграммы; отношение
 Ab/An невелико (3.0).

Таким образом, липариты и стекловатые кислые породы верх-
немеловой серии, пространственно разобщенные и связанные с де-
ятельностью отдельных вулканических центров, не только соот-
ветствуют различным петрографическим типам, но и различаются
по тенденции изменения состава кристаллизационного остатка
после выделения интрапеллурических фаз.

Термический анализ. Приведенные на фиг. 27 термограммы об-
разцов существенно стекловатых основных масс двупироксеновых
андезито-базальтов, плагиоклаз-роговообманковых андезитов и
вулканических стекол липаритового состава позволяют судить



Фиг. 27. Дифференциальноперегревающие кривые стекловатых основных масс и вулканических стекол верхнемеловой серии /записаны И.Х. Петровским/; обр. 19, 7, 26 - гиалопилитовые основные массы андезито-базальтов; обр. 30д - стекловатая основная масса андезитов; обр. 10 - биотит-плагиоклазовый обсидиан-перлит; обр. 13 - гиперстен-роговообманковый перлит.

о характерных тепловых эффектах, проявляющихся на различных температурных интервалах. Рассмотрение термограмм показывает, что стекло в гиалопилитовых основных массах двупироксеновых андезито-базальтов (обр. 19г, 7г, 26г) характеризуется двумя четко выраженным эндотермическими реакциями при низких температурах ($100\text{--}110^\circ$) и ($300\text{--}320^\circ$). Этот тип термограмм, указывающий на выделение низкотемпературной воды в два последовательных этапа, свойственен перлитовым стеклам /83/. Стекло в основной массе плагиоклаз-роговообманковых андезитов (обр. 30) обнаруживает две эндотермические реакции на более низком температурном интервале (105° и 190°), а также слабо выраженную высокотемпературную реакцию (880°). Это позволяет коррелировать данную термограмму с кривыми II типа по В.В. Наседкину, характерными как для перлитов, так и обсидианов. Вулканичес-

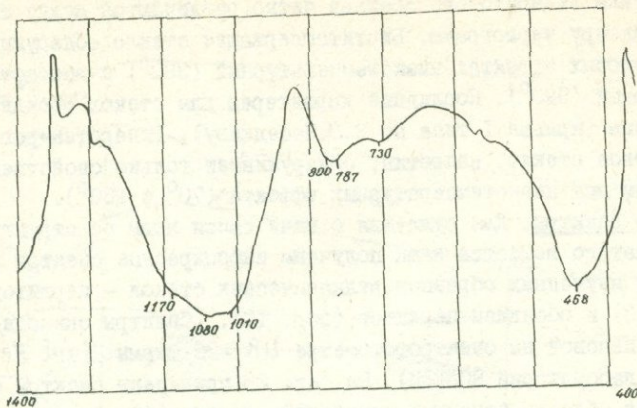
кие стекла липаритового состава четко различаются между собой по характеру термограмм. Биотитсодержащее стекло обнаруживает два тепловых эффекта: низкотемпературный (380°) и высокотемпературный (920°). Последний характерен для стекол обсидианового типа (кривая I типа по В.В.Наседкину). Гиперстен-рогово-обманковое стекло, напротив, обнаруживает только свойственные перлитам два низкотемпературных эффекта (70° и 150°).

ИК - спектры. Для суждения о типе связи воды со структурой стекловатого вещества нами получены инфракрасные спектры поглощения изученных образцов вулканических стекол - перлитов (обр. I3) и обсидиан-перлитов (обр. IO). (Спектры снимались Л.Г.Кузнецовой на спектрофотометре UR -20 фирмы *Märk Zeis*, ГДР, в лаборатории ВСЕГЕИ). На фиг. 28 приведены спектры образцов в области основных колебаний, на фиг. 29 - в области колебаний воды.

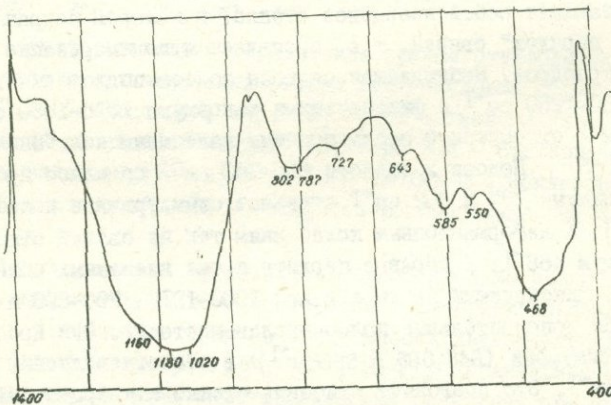
Как установлено Л.Г.Кузнецовой, по характеру ИК-спектра в области волновых чисел $400\text{--}1480 \text{ см}^{-1}$ образец обсидиан-перлита представляет собой кварцевое стекло, в котором сохраняется "ближний порядок" связей, т.е. проявляется полимеризация кварцевых тетраэдров. Наблюдаемая сильная полоса поглощения в области $1000\text{--}1200 \text{ см}^{-1}$ с фиксируемыми максимумами $1010\text{--}1080 \text{ см}^{-1}$ и 1170 см^{-1} относится к ассиметричным валентным колебаниям связи $\text{Si}-\text{O}-\text{Si}$. Полоса в области $800\text{--}750 \text{ см}^{-1}$ со слабо проявленными максимумами 787 и 802 см^{-1} отражает симметричные колебания $\text{Si}-\text{O}-\text{Si}$. К деформационным колебаниям тех же связей относится максимум 468 см^{-1} . В образце перлита кроме названных полос поглощения, фиксируемых на интервалах $1000\text{--}1210$, $700\text{--}800$ и 468 см^{-1} , отмечаются дополнительные полосы - полевошпатовые. Они проявлены тремя максимумами ($643, 585$ и 550 см^{-1}) в области волновых чисел $550\text{--}650 \text{ см}^{-1}$. Это позволяет отнести стекло к кварц-полевошпатовому типу, т.е. считать, что наряду с кварцевыми тетраэдрами в нем начинают полимеризовываться также алюмокремниевые тетраэдры.

На фиг. 32 в обоих исследованных образцах в области колебаний ($400\text{--}3700 \text{ см}^{-1}$) наблюдаются две одинаковые полосы. Первая - узкая полоса с четко выраженным максимумом $1630\text{--}1640 \text{ см}^{-1}$; вторая - широкая полоса с размытым максимумом $3400\text{--}3600 \text{ см}^{-1}$ и еще проявленным максимумом в области $3200\text{--}3300 \text{ см}^{-1}$. На этом основании присутствие молекулярной воды в обоих образцах является бесспорным. Максимумы высокочастотного крыла полосы

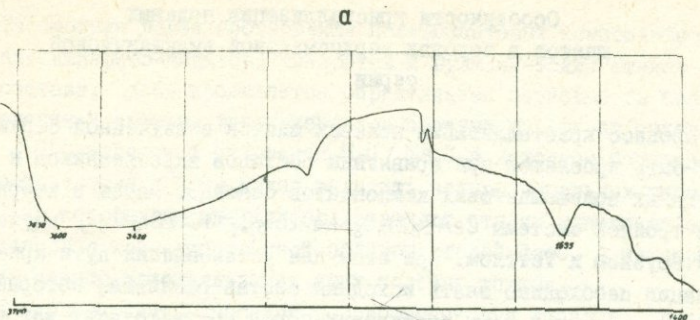
a



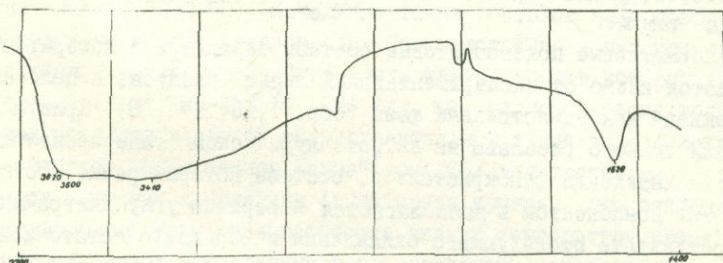
б



Фиг. 28. ИК - спектры поглощения вулканических стекол в области основных колебаний: а - обсидиан-перлит (обр. I0); б - перлит (обр. I3).



б



Фиг. 29. ИК – спектры поглощения вулканических стекол в области колебаний молекул воды:
а – обсидиан-перлит (обр. 10); б – перлит (обр. 13).

3400–3600 ($3620\text{--}3625 \text{ см}^{-1}$) можно относить уже к валентным колебаниям гидроксильных групп OH^- . Отчетливо проявленные полосы с максимумом 727 см^{-1} (обр. 13) и 730 (обр. 10) по-видимому характеризуют деформационные колебания OH^- , хотя однозначно приписать эти полосы к колебаниям OH^- в группе воды или к свободному гидроксиду затруднительно.

Полученные спектры, таким образом, дают основание считать, что изученные стекла относятся к типу, содержащему и H_2O , и OH^- .

Особенности кристаллизации полевых
шпатов в породах верхнемеловой вулканической
серии

Процесс кристаллизации полевых шпатов в изученной серии может быть прослежен при сравнении составов вкрапленников и нормативных полевошпатовых компонентов основной массы в координатах тройной системы $\text{CaAl}_2\text{Si}_2\text{O}_8 - \text{NaAlSi}_3\text{O}_8 - \text{KAlSi}_3\text{O}_8$, изучен-ной Боузном и Таттлом. При этом для установления пути кристаллизации необходимо знать исходный состав расплава, который в случае изученных нами порфировых пород соответствует валовому нормативному составу тройных полевых шпатов. Последние нанесены на тройную диаграмму (фиг. 30); составы вкрапленников и соответствующие нормативные компоненты основных масс представ-лены там же.

Нормативные полевошпатовые составы базальтов и долеритов ложатся влево от экспериментальной линии солидуса, в поле пла-гиоклаза как единственный фазы (обр. I, 5, 374, 8). Кристалли-зация данного расплава на интрапетраллическом этапе происходит путем выделения фенокристаллов, составы которых резко обогаще-ны Ап компонентом и располагаются в верхнем углу диаграммы. В результате последующего охлаждения и реакции с остаточной жидкостью составы плахиоклазов постепенно смещаются параллель-но линии солидуса в сторону увеличения альбитовой составляю-щей, оставаясь в пределах того же плахиоклазового поля.

Валовые нормативные составы полевых шпатов в двупироксено-вых андезито-базальтах (обр. 7, 19, 26) и плахиоклаз-роговооб-манковых андезитах (обр. 30) также располагаются в поле одного плахиоклаза и строго ложатся на линию солидуса. Это свидетель-ствует о близком соответствии между температурами кристаллиза-ции этих пород и экспериментальными данными. Ранняя кристалли-зация вкрапленников плахиоклаза, также значительно обогащенных Ап по сравнению с валовым составом, смещает состав остаточной жидкости в сторону поля двух полевых шпатов. Однако состав ее не достигает точки K_5 , т.е. остается в пределах составов, рав-новесных с плахиоклазом. Линии, связывающие составы фенокрис-таллов и основных масс, отчетливо пересекают линию солидуса, что позволяет сделать вывод о неравновесных условиях кристаллиза-ции, в результате чего реакция между выделившимися фенокрис-таллами и остаточной жидкостью не успевает дойти до конца.

Рассмотрим далее соотношения полевошпатовых компонентов в группе липарито-дацитов, липаритов и вулканических стекол того же состава. Здесь проявляется определенная зависимость порядка отделения и состава фенокристаллов полевых шпатов от содержания SiO_2 , извести и отношения $\text{K}_2\text{O} / \text{Na}_2\text{O}$ в исходном расплаве. В соответствии с этим можно выделить четыре начальных типа пород, из которых первые три представляют стадию кристаллизации плагиоклаза как единственной полевошпательной фазы, а четвертый тип — стадию кристаллизации двух полевых шпатов.

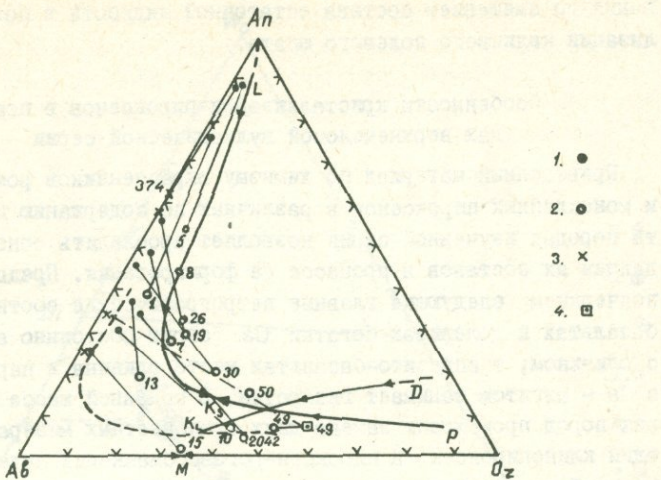
К первому типу относятся роговообманковые липариты, липарито-дациты и гиперстен-роговообманковые перлиты, характеризующиеся содержанием SiO_2 в пределах 65–72%, высоким процентом нормативного анортита (12–15%) и низким значением $\text{K}_2\text{O} / \text{Na}_2\text{O}$ отношения (0.30–0.50). Начальные точки составов этих пород расположены в поле плагиоклаза. Соответственно в них кристаллизуются вкрапленники одного плагиоклаза, состав которых варьирует в пределах 28–40% An . На фиг. 30 видно смещение точек фенокристаллов влево от экспериментальной линии и расположение на солидусе, построенном Кармайклом /65/ для третичных кислых стекол Британии и Ирландии (пунктирная кривая). Это отклонение к альбитовому углу означает более низкую температуру кристаллизации изученных вкрапленников по сравнению с вкрапленниками из трахитов по Боузну и Таттлу. В рассматриваемых перлитах резко выражены следы неравновесной кристаллизации — проявление в связи с переохлаждением осцилляторной зональности с промежуточной зоной, отвечающей 55–56% An , и расположение фигуративной точки стекловатого базиса в пределах того же плагиоклазового поля, указывающее на несоответствие состава охлажденной жидкости составу ранних фенокристаллов. В липаритах же устанавливаются близкие к равновесным условиям взаимодействия между вкрапленниками и остаточной массой, вследствие чего состав вкрапленников оказывается несколько более кислым по сравнению с перлитами и фигуративная точка базиса, достигая линии $\text{K}_2\text{O} / \text{Na}_2\text{O} = 0.55$, располагается близко к точке минимума в ряду альбит-ортоклаз.

Ко второму типу относятся кварцевые липариты, характеризующиеся содержанием SiO_2 в пределах 75–77%, нормативного анортита — 6–7% и отношением $\text{K}_2\text{O} / \text{Na}_2\text{O} = 0.32–0.55$. Начальная точка данных пород расположена на линии солидуса и совпадает с точкой K_S . При охлаждении этих необычно богатых кремнекислотой пород первой кристаллической фазой является кварц, позднее про-

исходит кристаллизация вкрапленников кислого плагиоклаза ($25\% \text{An}$) в соответствии с исходным низким содержанием An . Далее состав остаточной жидкости отчетливо смещается вдоль солидуса к границе двух полевых шпатов, не достигая, однако, области устойчивости калиевого полевого шата.

Третий тип представлен биотитовыми липаритами и обсидианами с содержанием 69–71% SiO_2 , нормативного анортита – 8–12% и более высоким отношением $\text{K}_2\text{O}/\text{Na}_2\text{O} = 0.60–0.70$. Валовые составы этих пород располагаются на линии солидуса вблизи точки K_5 . Высокое содержание извести в данных составах определяет раннюю кристаллизацию вкрапленников плагиоклаза (№34–36), выделение которых смещает состав остаточной жидкости в сторону кривой совместной кристаллизации двух полевых шпатов $K_L\bar{D}$.

Четвертый, сравнительно редкий тип, отвечает биотит–сандишновым липарито–трахитам, содержащим 67–69% SiO_2 , 4–5% нормативного анортита и имеющим наиболее высокое $\text{K}_2\text{O}/\text{Na}_2\text{O}$ отношение, равное 0.80–0.95. Начальная точка их состава расположена на линии $K_L\bar{D}$ внутри треугольника фаз, вершины которого соответствуют фигуративным точкам вкрапленников плагиоклаза, сандишина и основной массы. Значительные содержания извести в исходном расплаве и параллельная кристаллизация биотита, связывающего часть K_2O обусловливают кристаллизацию плагиоклаза (32–38% An) как первой полевошпатовой фазы. В последующем происходит заметное смещение остаточной жидкости в поле калиевого полевого шата. В результате на более поздних этапах интрапеллической кристаллизации начинается выделение самостоятельных фенокристаллов сандишина с 38% альбитового компонента. Одновременно вкрапленники плагиоклаза резорбируются и обрастают каёмкой калиевого полевого шата. Наклон той стороны треугольника фаз, которая связывает составы совместно находящихся вкрапленников плагиоклаза и сандишина, отвечает конноде для фаз, кристаллизующихся в экспериментальных условиях при $720^\circ / 84\%$. Судя по негомогенному характеру вкрапленников сандишина, в дальнейшем, ниже температуры солидуса, происходил распад твердого раствора, несмотря на то, что вмещающие породы испытывали быстрое охлаждение в эфузивных или приповерхностных условиях. Свидетельством последнего является тот факт, что калиевая фаза сохранила малый угол оптических осей и неупорядоченную структуру. Подобному распаду способствует, как указывают А.Н. Заваринский и В.С. Соболев, повышенное содержание альбитового компонента в исходном калий–натриевом твердом растворе.



Фиг. 30. Нормативные составы полевых шпатов вало-
вых пород верхнемеловой серии на диаграмме $Ab-An-Or$
(по Буэну и Татту). Составы вкрапленников плалио-
класов из пород верхнемеловой серии, соединенные
связующими линиями с нормативными полевошпатовыми
составами базиса: 1) составы вкрапленников плалио-
класа по хим. анализам (табл. 17); 2) нормативные
составы базиса (табл. 25); 3) составы плалиокла-
зов по оптическим замерам; состав вкрапленников
санидина (табл. 19). Линия $L-K_5-P$ — граница не-
прерывной серии тройных твердых растворов; линия
 K_5-D — котектика двух полевых шпатов; пунктирная
линия — солидус для третичных кислых стекол Бри-
тании и Исландии (по Кармайклу).

Таким образом, в группе липарито-дацитов и липаритов первой полевошпатовой фазой постоянно является плалиоклаз (An_{25-40}), в редких случаях проявляется более поздняя кристаллизация са-
нидина (Or_{56}). Это находится в закономерной зависимости от
того, что общий исходный состав данных пород проектируется в
плалиоклазовом поле тройной системы и лишь анализы основной
массы достигают котектической линии. Биотит-санидиновые липа-
рито-трахиты, исходный состав которых лежит на котектической
линии, представляют собой пример далеко зашедшего фракциониро-

вания со смещением состава остаточной жидкости в поле кристаллизации калиевого полевого шпата.

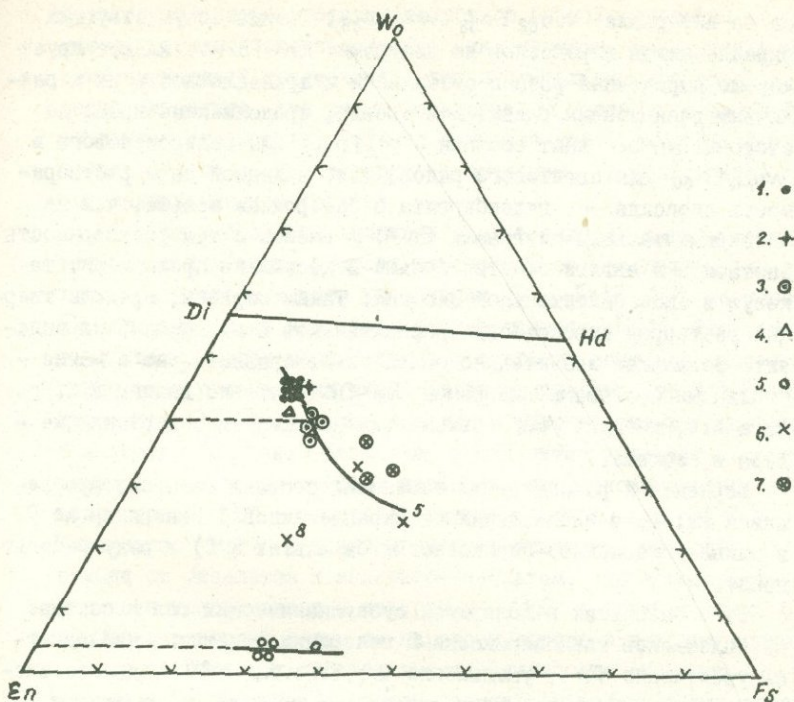
Особенности кристаллизации пироксенов в породах верхнемеловой вулканической серии

Приведенный материал по химизму вкрапленников ромбических и моноклинных пироксенов в различных по содержанию кремнекислости породах изученной серии позволяет проследить основные тенденции их составов в процессе ее формирования. Предварительно подчеркнем следующие главные петрографические соотношения: в базальтах и долеритах богатый Ca авгит постоянно ассоциирует с оливином; в андезито-базальтах место оливина в парагенезисе с Ca - авгитом занимает гиперстен. В основной массе тех и других пород происходит замена двух темноцветных минералов на один клинопироксен. В пироксен-роговообманковых андезитах и кварц-биотитовых дацитах вкрапленники авгита ассоциируют с роговой обманкой и биотитом, в основной же массе этих пород клинопироксен отсутствует.

Составы вкрапленников изученных пироксенов, в том числе один анализ вкрапленников II генерации в базальтах, рассматриваются ниже в системе $\text{En}-\text{Di}-\text{Hd}-\text{Fs}$ (фиг. 31). По данным химических анализов основных масс наносились также составы нормативных клинопироксенов^X в них.

Анализ диаграммы показывает, что линии эволюции составов вкрапленников авгита от базальтов (и долеритов) к андезито-базальтам и дацитам направлены от линии $\text{Di}-\text{Hd}$ круто вниз и вправо, т.е. в сторону увеличения железистости, уменьшения кальциевости при почти постоянной магнезиальности. Одновременно составы гиперстенов варьируют в сторону возрастания железистости в направлении от андезито-базальтов к перлитам. Далее, к пироксенам основной массы, судя по расположению точек ее нормативных составов в поле железистых или субкальциевых авгитов, происходит резкое возрастание железистости, убывание кальцие-

^X Составы получались путем пересчета молекулярных количеств CaO , MgO , FeO на метасиликаты после вычитания молекулярных количеств CaO и FeO , необходимых для расчета нормативных An и Mgt . Сумма Wo , En , Fs приводилась затем к 100%.



Фиг. 31. Линии эволюции составов пироксенов верхнемеловой серии на тройной диаграмме $Etn - Wo - Fs$.

I. Авгиты I генерации из оливин-плагиоклаз-пироксеновых базальтов и долеритов; 2. Авгит II генерации из тех же пород; 3. Авгиты из андезито-базальтов; 4. Авгит из кварц-биотитовых дацитов; 5. Гиперстены из андезито-базальтов и перлитов; 6. Нормативные составы клинопироксенов в основной массе базальтов и долеритов; 7. Нормативные составы клинопироксенов в андезито-базальтах.

вости и менее резкое – магнезиальности.

В целом сосуществование бедного Ca ромбического пироксена и богатого кальцием клинопироксена в изученных андезито-базальтах может быть объяснено с помощью экспериментальной фазовой диаграммы $MgSiO_3 - CaMgSi_2O_6$ Ф.Бойда /85/, на которой даже при высоких температурах существует предел твердых растворов и куполообразная кривая сольвуса пересекается с кривой солиду-

са на интервале $W_{032}E_{n68}-W_{012}E_{n88}$. Тренды существующих вкрапленников пироксенов на диаграмме $E_{n}-Fs-Wo$ иллюстрирует хорошо выраженный разрыв смесимости и принадлежность их к различным реакционным рядам. Эти тренды, продолженные назад до стороны $E_{n}-Di$ дают составы $W_{05}E_{n95}$ для гиперстенового и $W_{040}E_{n60}$ для авгитового рядов, т.е. в данной паре растворимость диопсида — геденбергита в гиперстене меньше, чем на экспериментальной диаграмме $E_{n}-Di$. Вместе с тем растворимость энстатита в авгите заметно больше и несколько превосходит таковую в экспериментальной системе. Таким образом, пределы твердых растворов пироксеновых вкрапленников в верхнемеловых андезито-базальтах значительно более узкие сравнительно с магнезиальными составами диаграммы $E_{n}-Di$, что по данным Д.Х.Грина и А.Е.Рингвуда /86/ объясняется повышением содержания же-леза в системе.

Вернемся к рассмотрению изменений состава авгитов, прослеживая их: 1) в направлении от вкрапленников I генерации ко II в оливин-плагиоклаз-пироксеновых базальтах и 2) в ряду базальт-дасит.

I) В базальтах и долеритах суббулканических тел в составе вкрапленников клинопироксена II генерации отчетливо наблюдается увеличение Fs , уменьшение Wo , E_{n} и $Al^{IV}+Al^{VI}$. Подобная схема изменения составов клинопироксенов соответствует тренду равновесной кристаллизации /87, 28, 88, 89/. В рассматриваемом нами случае он проявляется в условиях сравнительно медленного охлаждения в мощных суббулканических телах. В этой связи важно отметить, что по литературным данным в щелочных оливиновых базальтах /89, 90/ клинопироксены от вкрапленников к основной массе (или от ядра к периферии в крупных зональных кристаллах) варьируют в сторону увеличения Fe , а также Al и Ti , в отличие, например, от пироксенов толейитовых базальтов, в которых Al и Ti убывают в том же направлении. По Шереру объясняется это тем, что в щелочных базальтах плагиоклаз выделяется после клинопироксена. Однако тренды пироксенов оказываются значительно более сложными и определяются временем кристаллизации не только плагиоклаза, но и магнетита /89/. К этому необходимо добавить, что в самой группе щелочных оливиновых базальтов в зависимости от значения P_{H_2O} и смещения точки эвтектики последовательность кристаллизации плагиоклаза и клинопироксена также может изменяться. Отмеченное в верхнемеловых базальтах и до-

леритах изменения состава авгитов от ранней генерации вкрапленников к поздней определяется, таким образом, как длительной кристаллизацией плагиоклаза, так и длительным процессом выделения магнетита, при этом уменьшение Al^{+2} связано с дальнейшим убыванием активности SiO_2 в основной массе, что фиксируется появлением на смену плагиоклазу анальпима (и палагонита) в кристаллизационном остатке.

2) В ряду базальт-андезито-базальт-андезит-дацит главная тенденция изменения состава вкрапленников клинопироксена состоит в последовательном увеличении $\text{SiO}_2, \text{Fe}^{+2}, \text{Al}^{VI}$ и убывании Ca при несколько незакономерных вариациях Mg^{+2} . Эта тенденция находится в закономерной связи с составом вмещающих пород и частично была рассмотрена выше. Здесь необходимо еще раз подчеркнуть, что рост кремнекислотности (и щелочности) от оливиновых базальтов к андезито-базальтам и андезитам приводит к согласованному увеличению степени насыщенности клинопироксенов SiO_2 , возрастанию Al^{VI} и соответствующему сокращению Al^{IV} и Ca . Количество Mg^{+2} в клинопироксенах отчетливо убывает при переходе от базальтов к андезито-базальтам, что непосредственно определяется изменением содержания MgO в этих породах. Одновременно клинопироксены из пироксен-роговообманковых андезитов и кварц-биотитовых дацитов вместо ожидаемого высокого темпа накопления Fe (в связи с ростом кремнекислотности и щелочности вмещающих пород) обнаруживают исключительно высокую магнезиальность. Эти соотношения будут рассмотрены в следующей главе и поэтому здесь отметим только, что они объясняются высокой железистостью ассоциирующих с ними вкрапленников водосодержащих минералов - амфибола и биотита.

Таким образом, химизм клинопироксенов верхнемеловой вулканической серии, кристаллизующихся в широком диапазоне составов пород, зависит прежде всего от степени насыщенности вмещающих пород кремнекислотой и от возрастания железистости в сторону дацитов. Соотношения Fe, Mg и Ca во вкрапленниках клинопироксенов зависят от времени кристаллизации титаномагнетита и определяются составом ассоциирующего с ними другого темноцветного минерала: в базальтах и андезито-базальтах авгит менее магнезиален относительно оливина и гиперстена, в андезитах и дацитах он оказывается более магнезиальным относительно роговой обманки и биотита. Смена ассоциации двух темноцветных минералов на один клинопироксен в основной массе отвечает в изучен-

ных базальтах и андезито-базальтах изменениям условий интрапеллурической кристаллизации на эфузивные; т.е. падению температуры кристаллизации и увеличению роли Fe^{+2} за счет Ca^{+2} .

ГЛАВА У.

СООТНОШЕНИЯ СОСТАВОВ СОСУЩЕСТВУЮЩИХ МИНЕРАЛОВ- БИКРАПЛЕННИКОВ В ПОРОДАХ ВЕРХНЕМЕЛОВОЙ ВУЛКАНИ- ЧЕСКОЙ СЕРИИ СЕВЕРНОЙ АРМЕНИИ

Известно большое число работ, в которых под разными углами зрения исследовались закономерности распределения изоморфных компонентов между существующими минералами /91, 92, 93, 35, 84, 94, 95, 96, 97, 98/. В работах Д.С.Коржинского содержатся первые указания на то, что равновесие некоторых минеральных фаз и сопряженное изменение их состава определяется внешними параметрами минералообразования (температурой и давлением). Наиболее полный обзор исследований в области равновесного распределения компонентов между фазами можно найти в публикациях С.К.Саксены /99, 100/ и в серии работ Л.Л.Перчука /101, 102, 103/. Л.Л.Перчук установил общие закономерности перераспределения изоморфных элементов между существующими минералами переменного состава в зависимости от температуры и давления и сформулировал принцип фазового соответствия для природных минералов. На этом принципе базируются методы минералогической термометрии и барометрии для целого ряда фаз. Применение этих методов при петрологических исследованиях требует, однако, учета определенных ограничений. Важным аспектом изучения распределения компонентов между минералами является выяснение степени достижения химического равновесия в породе /98/. По Саксене, если равновесие достигнуто, то независимо от степени идеальности минералов распределение компонентов между двумя бинарными фазами при определенных термодинамических условиях будет выражаться плавной кривой; в минералах со сложными изоморфными замещениями приближение к химическому равновесию следует рассматривать относительно каждого элемента отдельно. Здесь же приведем указание Э.Н.Елисеева /96/, что химическое (и тепловое) равновесие между кристаллами и расплавом достигается гораздо медленнее, чем механическое

равновесие в жидкой фазе, т.е. химическое равновесие достигается в процессе полного охлаждения магмы.

Исходя из приведенных в главе IV данных об ассоциациях и химизме порфировых вкрапленников вулканитов описываемой верхнемеловой серии ниже рассматривается распределение главных породообразующих элементов (Fe , Mg , Na , K , Ca , Ti , Al , Mn) между существующими минералами. Следует оговориться, что при этом учитываются в первую очередь петрографические критерии равновесности между минералами в ассоциации порфировых вкрапленников. Наблюдения показывают, что в разные этапы кристаллизации различных типов пород верхнемеловой серии в равновесии между собой (и с расплавом) находятся один из темноцветных минералов и плагиоклаз определенного состава. Это согласуется с основным законом кристаллизации изверженных пород или реакционным принципом по Н.Л.Боузну. Равновесными принимаются пары плагиоклаз- (оливин, гиперстен, клинопироксен, роговая обманка, биотит) в соответствующих типах пород, а также магнетит-ильменит, роговая обманка-клинопироксен, биотит - санидин. Пары оливин-клинопироксен (базальты и долериты), гиперстен-клинопироксен (андезито-базальты), плагиоклаз-санидин и кварц-плагиоклаз (липарины) являются разновременными и обнаруживают четкую последовательность образования. Вместе с тем принадлежность их к стадии интрапетиурической кристаллизации и возможность противопоставлять эти пары парагенезисам основной массы позволяют считать, что конец кристаллизации одного минерала совпадает с началом кристаллизации другого, а порядок их выделения строго определяется общим химическим составом породы и котектическими соотношениями. Поэтому для пар ортопироксен-клинопироксен и плагиоклаз-санидин мы использовали имеющиеся диаграммы фазового соответствия, полагая, что полученные значения отражают либо минимальную температуру, при которой происходила смена парагенезисов и установление нового равновесия между фазами, либо температуру субсолидусных превращений.

Для рассмотрения распределения компонентов между перечисленными парами существующих фенокристаллов рассчитывались мольные (атомные) доли этих компонентов в соответствующих бинарных растворах, или в поликомпонентных твердых растворах с учетом преимущественного типа изоморфизма (по Л.Л.Перчуку). Мольная (атомная) или ионная доля компонента выражает отношение числа молей n , компонента I к общему числу молей компонентов I и 2

$$\text{в бинарном растворе: } x_1 = \frac{m_1}{m_1 + m_2} \quad x_2 = \frac{m_2}{m_1 + m_2} \\ x_2 = 1 - x_1;$$

или отношение числа молей данного компонента к общему числу молей в К - компонентной смеси: $x_i = \frac{m_i}{\sum_k m_j}$.

Вычисление мольных долей компонентов в изученных нами минералах производилось по кристаллохимическим формулам; полученные величины соответствуют атомным долям.

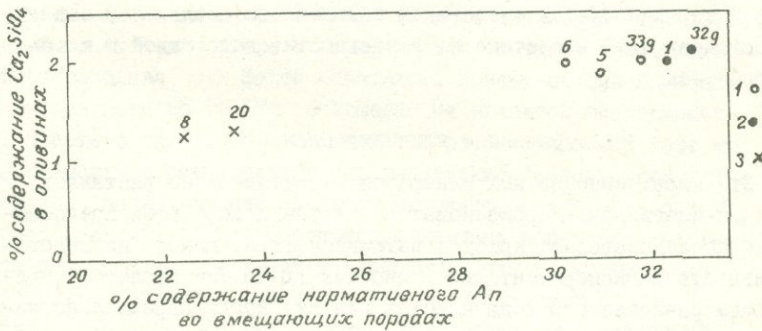
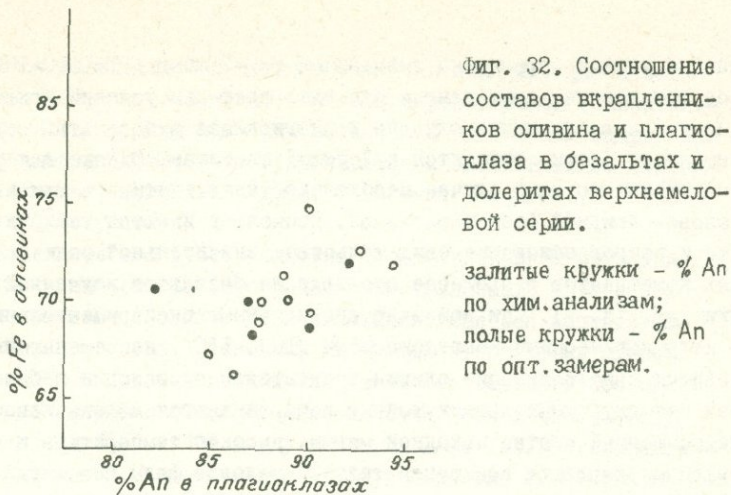
Оливин - плагиоклаз

Парагенезис оливина и плагиоклаза I генерации является самым ранним в группе оливин-плагиоклаз-пироксеновых базальтов и долеритов. Количественное соотношение вкрапленников этих минералов в данной группе пород указывает на резкое преобладание плагиоклаза над оливином и прямую зависимость между содержаниями тех и других фенокристаллов. Кроме того, долериты по сравнению с базальтами характеризуются более высоким суммарным содержанием вкрапленников оливина и плагиоклаза. В рассматриваемых породах оливин обычно является первой кристаллической фазой, чему способствует то известное обстоятельство, что его растворимость в присутствии пироксена, имеющего с ним общий ион (Fe, Mg) значительно уменьшается /104/. Плагиоклаз - I начинает кристаллизоваться почти одновременно с оливином и на значительном протяжении, до появления богатого кальцием авгита, они выделяются параллельно. В соответствии с этой последовательностью особенности данного парагенезиса могут условно рассматриваться в экспериментальной "сухой" системе диопсид-форстерит-анортит. Исходя из этой схемы следует считать, что кристаллизация оливина в рассматриваемых породах верхнемеловой серии начинается в поле форстерита у самой граничной линии DE , близко совпадающей с изотермой 1300° . По достижении этой линии начинается кристаллизация плагиоклаза и совместное выделение обоих минералов следует вдоль DE до тройной эвтектической точки E , в которой появляется клинопироксен. Количественные соотношения вкрапленников указанных минералов, по подсчетам средних содержаний их, приведенных к 100%, составляют в базальтах: оливин-16,4%, клинопироксен - 11,1%, плагиоклаз - 72,5%; в долеритах - оливин 18,9, клинопироксен - 13,9%, плагиоклаз - 67,2%. Нетрудно видеть, что эти цифры резко отличаются от та-

ковых в точке тройной эвтектики в безводной системе Di-Fo-An и различия очевидно состоят в заметном увеличении роли оливина, но главное - в резком нарушении соотношений плагиоклаза и клинопироксена в сторону увеличения плагиоклаза.

По А.Н.Заварышкому и В.С.Соболеву /84/ в четырехкомпонентной системе форстерит-фаялит-анортит-альбит плагиоклаз любого состава может быть в равновесии с любым оливином. В рассматриваемом нами случае интервалы составов совместно кристаллизующихся оливина и плагиоклаза приходятся на 67-75% Fo и 80-95% An (фиг. 32). На приведенной диаграмме видна прямая зависимость между этими компонентами, однако пределы колебаний состава плагиоклазов шире, чем оливинов, т.е. последние более устойчивы. Нахождение фигуративных точек оливин-плагиоклаз-пироксеновых базальтов и долеритов в системе An - Fo - Di вблизи аортитового поля и на граничной линии объясняет вхождение ларнитового компонента в состав вкрапленников оливина, т.е. проявление аортитового эффекта кристаллизации /31/. Возможность вхождения иона Ca в форстерит на том основании, что сторона Di-Fo не бинарна, была показана И.Куширо и И.Шерером /105/. На графике, построенным нами для верхнемеловых базальтов и долеритов, отчетливо выделяется коррелируемость между содержанием нормативного аортита во вмещающих породах (следовательно, также и степенью основности вкрапленников плагиоклаза) и содержанием Ca_2SiO_4 в фенокристаллах оливина (фиг. 33). Совместной кристаллизацией вкрапленников оливина и плагиоклаза объясняется также различие в содержаниях Ca_2SiO_4 между двумя группами вкрапленников оливина, выделенными выше при описании оливина и отвечающими оливин-плагиоклаз-пироксеновым и оливиновым разностям. Последние характеризуются минимальным содержанием Ca_2SiO_4 в оливинах и это можно объяснить тем, что оливин в них был единственной интрапеллурической фазой и кристаллизация плагиоклаза начиналась лишь в эфузивный этап.

Парагенезис основного плагиоклаза и магнезиального оливина, а также наблюдаемая последовательность выделения вкрапленников оливина, плагиоклаза и клинопироксена характерны по экспериментальным данным Д.Х.Грина и А.Б.Рингвуда /106, 107/ для щелочных оливиновых базальтов, кристаллизующихся на малых глубинах в условиях высоких температур. И.Куширо и Г.С.Йодер /108/ экспериментально установили, что для состава 1An+1Fo на Р-Т диаграмме область устойчивости ассоциации An+Fo занимает левый



Фиг. 33. Зависимость содержания ларнитового компонента в фенокристаллах оливина от содержания нормативного аортита в базальтах и долеритах верхнемеловой серии.

1. Вкрапленники оливина из потоков оливин-плагиоклаз-пироксеновых базальтов. 2. То же-пластовых залежей. 3. Вкрапленники оливина из оливиновых долеритов ("А").

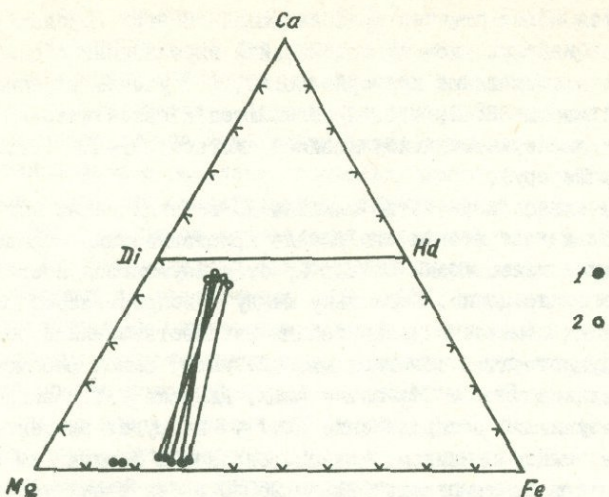
нижний угол и ограничена значениями $P=0-7$ кбар и $T=1000-1300^{\circ}$. Все эти данные, приведенные для интерпретации условий кристаллизации вкраплеников оливина и плагиоклаза в базальтах верхненемеловой серии, относятся к "сухим" системам. Однако для рассматриваемого нами случая необходимо также учитывать влияние газово-жидкой фазы в расплаве, поскольку имеются геологические и петрографические свидетельства значительной роли летучих компонентов в процессе становления базальтов изученной серии (см. гл. I). Как показано специальными экспериментальными и петрологическими исследованиями /109, 110/, непременными условиями кристаллизации оливин-анортитовой ассоциации в базальтах малоглубинных промежуточных камер являются малокалиевый и недосыщенный состав исходной магмы, высокая температура и повышенное давление восстановительной газовой фазы. На этом основании можно высказать предположение, что выделение именно оливин-плагиоклазовой ассоциации на самых ранних этапах кристаллизации оливин-плагиоклаз-пироксеновых базальтов верхненемеловой серии является следствием повышенного давления газов-восстановителей в системе и, в частности, водородной и метановой фазы.

Оливин - клинопироксен

Эта пара темноцветных минералов в составе фенокристаллов оливин-плагиоклаз-пироксеновых базальтов и долеритов представляет последовательно кристаллизующиеся фазы. Данная последовательность в экспериментальной системе $Fo-Di-An$ является выражением равновесного хода кристаллизации, когда параллельно изменяется состав плагиоклаза и жидкости. В изученных нами породах с появлением авгита прекращается кристаллизация оливина и одновременно состав вкраплеников плагиоклаза от 92-82% достигает 78-65% An. Качественное содержание вкраплеников оливина и клинопироксена от общей суммы вкраплеников ($Pl+Ol+Cr_x$) в базальтах составляет, как уже указывалось выше, 16,4% и 11% соответственно, т.е. ранняя интрапеллурическая фаза преобладает в породах, испытавших быстрое охлаждение. В полностью раскристаллизованных разностях количество вкраплеников клинопироксена возрастает до 13,9%, хотя оливин продолжает количественно преобладать (18,0%). Если же учесть, что далее в эфузивный этап кристаллизация клинопироксена продолжается, то в валовом составе долеритов клинопироксеновая фаза безусловно

становится количественно преобладающей. В этих породах в пересчете на бинарную систему соотношения вкрапленников оливин: клинопироксен составляют примерно 60:40, а с учетом клинопироксена основной массы 18:82, т.е. приближаются к эвтектическим соотношениям в экспериментальной двойной системе $Fe - Ti$ (II:89 по Куширо и Шереру).

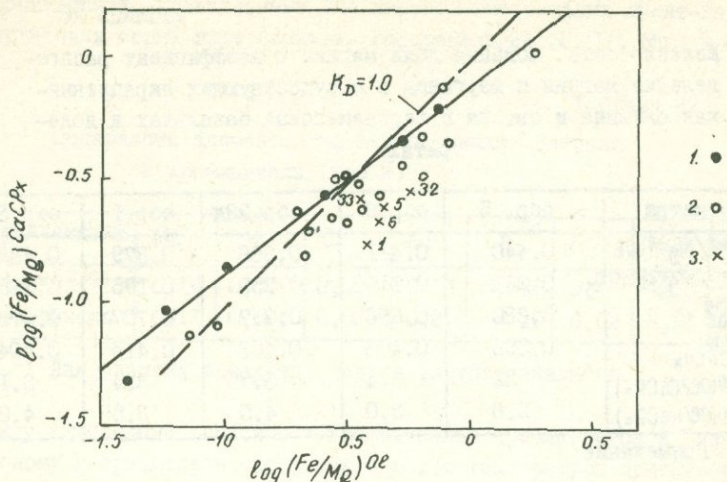
Значительное количество оливина во вкрапленниках изученных базальтов и долеритов и его ранняя кристаллизация определяет существенно известковый состав кристаллизующегося позднее моноклинного пироксена. Поскольку между фенокристаллами оливина и авгита не отмечается реакционных взаимоотношений и оба минерала сосуществуют с основной массой, имеет смысл рассмотреть распределение Fe и Mg между ними. Дж.Дюке /III/ экспериментально изучивший распределение Fe, Mg и других элементов группы железа между оливином, клинопироксеном и фемиическим расплавом в интервале температур 1125–1250°С в безводных условиях и при 1 бар общего давления, показал, что разделение Fe и Mg по оливиновым и клинопироксеновым фазам в интервале этих 125° не зависит от температуры и определяется составом кристаллизующегося расплава. Эти факты объясняют, почему оливин-клинопироксеновая пара по Fe/Mg отношению не является геотермометром. Вместе с тем Fe/Mg отношение в рассматриваемой паре минералов может использоваться при разделении генетических типов базальтов, поскольку оно является индикатором железистости исходного расплава /II2/. Соотношения химизма совместно находящихся вкрапленников оливина и клинопироксена в верхнемеловых базальтах и долеритах приведены в табл. 26 и на фиг. 34. На тройной диаграмме $Mg-Fe-Ca$ отчетливо видно, что магнезиальность оливина постоянно значительно выше магнезиальности клинопироксена, причем составы этих пар варьируют сопряженно и ограниченный предел колебаний состава оливинов из различных дифференциатов параллелизуется с ограниченными колебаниями Fe/Mg отношения в клинопироксенах. Та же закономерность видна по сравнительно постоянно величине коэффициента распределения магния. Положение связующих линий на тройной диаграмме и фигуративных точек на диаграмме, заимствованной из работы Дюке (фиг. 35), указывает, что разделение Fe и Mg в данных парах близко к равновесному и является закономерным для недосыщенных SiO_2 базальтов, в которых преобладающая часть магния концентрируется в оливине. Подобный характер распреде-



Фиг. 34. Соотношение составов сосуществующих вкрапленников оливин и клинопироксена в оливин-плагиоклаз-клинопироксеновых базальтах и долеритах верхнемеловой серии. 1. Оливин;
2. Клинопироксен.

ления ионов Fe и Mg установлен экспериментально /I06, III/ и эмпирически на природных образцах /87, II3, II4/. Он согла-сается с общим принципом фазового соответствия, отвечаая право-й части обменной реакции: $\text{O}F_{\text{Fe}} + \text{CaP}_{\text{Mg}} = \text{CaP}_{\text{Fe}} + \text{O}F_{\text{Mg}}$, при-веденной Л.Л.Перчуком и И.Д.Рябчиковым /I03/. В этой связи отметим, что прямо противоположные соотношения Fe/Mg и нак-лоны связующих линий составов сосуществующих оливина и клино-пироксена установлены для траппов Сибирской платформы /II2, II6/ и силла Garbh Eilean /II7/, имеющих насыщенный SiO_2 сос-тав и высокую железистость.

Обратимся теперь к распределению Mn между изученными фено-кристаллами оливина и клинопироксена. Как видно из табл. 26, K_D^{Mn} постоянно выше I, что определяется преимущественной концентрацией Mn во вкрапленниках оливина. Эксперименты Дюке показали, что K_D^{Mn} (и Ni) в паре оливин-клинопироксен обнару-живает закономерные вариации в связи с температурой, причем



Фиг. 35. Распределение Fe^{+2} и Mg между оливином и клинопироксеном по Джоке.

1. Составы по результатам экспериментов Джоке. 2. Составы по авторам /III/. 3. Составы сосуществующих пар из верхнемеловых базальтов и долеритов.

его значения уменьшаются с возрастанием температуры. Однако температурный интервал на графике Джоке составляет всего $1100^{\circ}-1300^{\circ}$ и значения K_D^{Mn} для его экспериментальных образцов не превышают 2.5. Если с известной долей условности эти данные приложить к изученным в верхнемеловых базальтах парам, можно лишь отметить, что их кристаллизация шла при температурах ниже 1100° ($K_D^{\text{Mn}}=3.0-4.5$).

Таким образом, для сосуществующих во вкраплениниках верхнемеловых базальтов и долеритов оливинов и клинопироксенов характерно устойчивое и равновесное соотношение Fe и Mg при K_D^{Mg} равном в среднем 3.4. Это можно объяснить устойчивостью состава самих плагиоклаз-оливин-пироксеновых базальтов и, что очень важно, длительностью периода кристаллизации магнетита (от интрапетилического этапа до эфузивного), которая контролировала на всем протяжении интрапетилического этапа вхождение Fe в темноцветные силикаты.

Таблица 26

Железистость, мольные доли магния и коэффициент распределения магния и марганца в существующих вкраплениках оливина и авгита в верхнемеловых базальтах и долеритах

Параметры	обр. 5	обр. 6	обр. 33д	обр. I	обр. 32
$(Fe^{+2}/Mg^{+2})Ol$	0.440	0.411	0.366	0.379	0.438
$(Fe^{+2}/Mg^{+2})CaCpx$	0.241	0.216	0.255	0.175	0.265
χ_{Ol}^{Mg}	0.680	0.696	0.717	0.707	0.676
χ_{CaCpx}^{Mg}	0.396	0.403	0.403	0.415	0.404
$K_D^{Mg}(Ol/CaCpx)$	32	3.4	3.7	3.4	3.1
$K_D^{Mn}(Ol/CaCpx)$	2.6	3.0	4.5	3.5	4.2

Примечание:

$$\chi = \frac{Mg}{Mg + \sum Fe + Ca}$$

соответственно в оливине и в
авгите

$$K_D^{Mg} = \frac{\chi_{Ol}^{Mg}}{1 - \chi_{Ol}^{Mg}} \cdot \frac{1 - \chi_{CaCpx}^{Mg}}{\chi_{CaCpx}^{Mg}}$$

$$K_D^{Mn} = \frac{\chi_{Ol}^{Mn}}{\chi_{CaCpx}^{Mn}}$$

рассчитывался по отношению весо-
вых % в оливине и авгите.

Оливин-хромшипинель

Этот парагенезис отвечает интратектонической стадии кристаллизации оливиновых долеритов верхнесантонского комплекса. Распределение MgO , Al_2O_3 и микроэлементов группы железа между существующими минералами (табл. 27) указывает на преимущественное обогащение хромшипинеля относительно оливина титаном, ванадием и особенно резко глиноzemом. В то же время никель и марганец концентрируются в большей степени во вкраплениках оливина. Малая степень окисленности, низкие титанистость и глиноzemистость, высокая магнезиальность рассматриваемой ассоциации вкраплеников позволяют коррелировать ее с

ассоциациями, характерными для высокомагнезиальных дунит-гарпургитовых серий гипербазитов. Распределение Ni, Ti, Mg и Al

Таблица 27

Содержание элементов во вкраепленниках оливина
и хромшпинели (вес %)

Вкраепленники	Mn	V	Co	Ni	Cr	TiO ₂	MgO	Al ₂ O ₃
Оливин ^{x)}	0,14	0,002	0,026	0,55	0,088	0,47	42,0	0,80
Хромшпинель	0,II	0,054	0,027	0,21	< 10	0,62	8,84	4,91

x) Для оливина выведены средние из трех анализов.

между изученными оливином и хромшпинелем приближается к равновесному и ориентировочно характеризует температуры существования ультраосновных расплавов, т.е. отвечает высокотемпературной части обменной реакции.

Плагиоклаз-клинопироксен

Парагенезис этих минералов, составляющих обычно второе поколение вкраепленников, является ведущим для целого ряда пород верхнемеловой вулканической серии. В табл. 28 помещены приведенные к 100% количественные содержания этих фенокристаллов, мольные доли Ca в них^{x)}, K_D^{Ca}, а также общая железистость клинопироксанов.

Обращает внимание то, что во всех типах пород количественные соотношения рассматриваемой пары вкраепленников по сравнению с эвтектическими в системе An-Di (58% An : 42% Di) резко смешены в сторону аортитового компонента. Преобладание плагиоклаза над клинопироксеном сохраняется также в основной массе оливин-плагиоклаз-пироксеновых долеритов и базальтов (65-70% Pd : 35-30% CPx). Выше уже был случай указать, что такое смешение объясняется высоким давлением паров воды в расплаве и соответствующим понижением температуры эвтектики. Согласно экспериментам Йодера в системе An-Di-H₂O при P_{H2O} = 10 кбар

x) Мольная доля Ca в данных, существенно бессланочных клинопироксенах, рассчитывалась с учетом изоморфизма по схеме Ca⁺ → → Mg⁺ → Fe⁺.

расплав кристаллизуется при температуре 1000° и содержит анортитовый и диопсидовый компоненты примерно в отношении 77:23, а при $P_{H_2O}=5$ кбар и температуре 1100° - 72:28. Приведенные данные объясняют и те факты, что в изученном ряду пород верхнемеловой серии плагиоклаз, как избыточная против двойной эвтектики фаза, начинает кристаллизоваться раньше клинопироксена, и что затем следует их параллельная кристаллизация, отвечающая случаю несмесимости фаз в твердом состоянии. Эти соотношения, как и сам процесс роста крупных кристаллов клинопироксена (и магнетита) в оливин-плагиоклаз-клинопироксеновых базальтах и долеритах, позволяют предположить, что состав газово-флюидной фазы на протяжении периода интрапеллурической кристаллизации этих пород от вкрапленников I генерации ко II изменялся в сторону возрастания степени окисленности и появления в системе паров воды, возможно за счет H_2 .

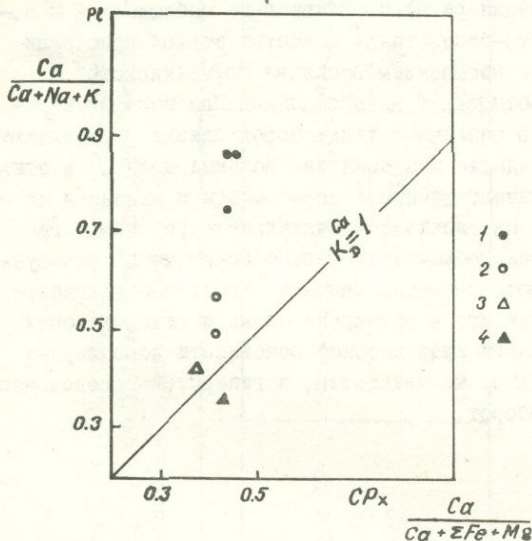
Рассмотрение данных (табл. 28) показывает далее, что составы сосуществующих плагиоклазов и клинопироксенов в ряду базальт-андезито-базальт-андезит закономерно варьируют в сторону увеличения Ab компонента плагиоклазов и возрастания железистости клинопироксенов. При переходе к кварцевым дашитам прямая корреляция очевидно нарушается: содержание Ab в плагиоклазе продолжает возрастать, но параллельно железистость клинопироксена заметно уменьшается. Это объясняется присутствием железистого биотита, соотношения которого с клинопироксеном будут рассмотрены отдельно.

Распределение кальция между вкрапленниками плагиоклаза и клинопироксена может быть объяснено на основе следующей обменной реакции, рассмотренной в работе Дж. Кармайкла с соавторами /38/: $CaAl_2Si_2O_8 + SiO_2 = CaAl_2Si_2O_8$.

Преобразуя это уравнение, названные авторы получили выражение $\frac{a_{CaAl_2Si_2O_8}}{a_{CaAl_2Si_2O_8} \cdot a_{SiO_2}} = K(t, p)$, или $\frac{a_{CaAl_2Si_2O_8}}{a_{CaAl_2Si_2O_8}^{CPX} \cdot a_{SiO_2}^{iquid}} = K(t, p) \cdot a_{SiO_2}^{iquid}$

Оно означает, что количество Са компонента в рассматриваемой паре определяется активностью SiO_2 , с уменьшением которой кальциевость (и глиноземистость) клинопироксена растет. Из данных табл. 28 видно, что значения коэффициента распределения Са в направлении от базальтов к дашитам уменьшаются, т.е. кальциевость плагиоклазов и клинопироксенов изменяется по-раз-

ному. Причем, как видно из фиг. 36, $\chi_{\text{Pc}}^{\text{Ca}}$ варьирует в широких пределах при несравненно более узком диапазоне $\chi_{\text{CPx}}^{\text{Ca}}$. Это объясняется более резким темпом возрастания активности SiO_2 и последовательном снижении температуры кристаллизации соответствующих расплавов.



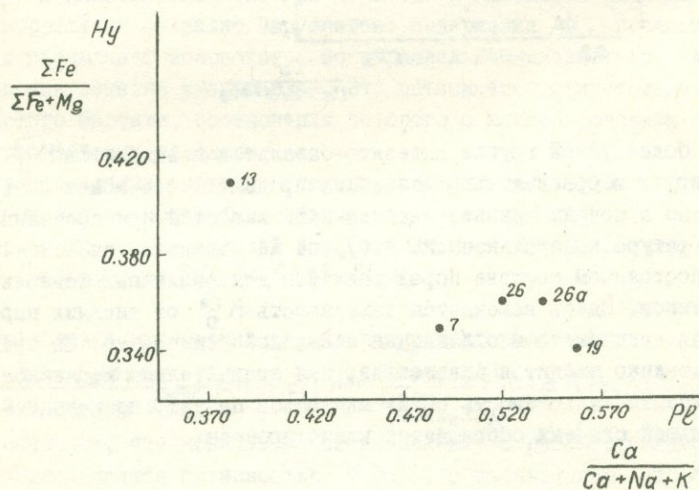
Фиг. 36. Распределение кальция между вкраепленниками сосуществующих плагиоклазов и альбитов в породах верхнемеловой серии.
1. Базальты и долериты; 2. Андезито-базальты; 3. Андезиты; 4. Дациты.

В более узкой группе андезито-базальтов и андезитов K_p^{Ca} варьирует в сравнительно небольших пределах, что может быть связано с сопряженным изменением кальциевостей при постоянной температуре кристаллизации. В группе же базальтов значения K_p^{Ca} при постоянном составе пород различны для различных фациальных типов. Здесь намечается зависимость K_p^{Ca} от внешних параметров: при быстром охлаждении и высокой температуре Ca преимущественно входит в плагиоклаз; при сравнительно медленном охлаждении кальциевость обоих минералов падает, но кальцием в большей степени обогащается клинопироксен.

Плагиоклаз – гиперстен

Эта ассоциация, входящая в I структурную группу минералов, свойственна андезито-базальтам и гиперстен-роговообманковым перлитам, в которых содержание SiO_2 составляет 53–56% и 65–66% соответственно. Признаков образования гиперстена за счет реакционного растворения раннего оливина не наблюдается и появление его в андезито-базальтах в качестве первой кристаллической фазы связано с насыщением расплава кремнекислотой.

Количественные соотношения вкрапленников плагиоклаза и гиперстена (табл. 29) в различных типах пород близки и указывают на постоянное преобладание плагиоклаза. Мольные доли Ca в этих минералах не обнаруживают взаимной зависимости и диапазон колебаний кальциевости плагиоклаза значительно шире, чем у гиперстена. Вместе с тем наблюдается четкая обратная коррелируемость между кальциевостью плагиоклазов и железистостью гиперстенов (фиг. 37), так что в двупироксеновых и гиперстеновых андезито-базальтах плагиоклаз высокой основности ассоциирует с гиперстеном пониженной железистости, в гиперстен-роговообманковых перлитах – наоборот.



Фиг. 37. Зависимость между кальциевостью плагиоклазов и железистостью гиперстенов в сосуществующих вкрапленниках верхнемеловой серии.

Таблица 28

Количественные соотношения (вес, %) и параметры состава сосущес-
твующих вкрапленников плагиоклаза и клинопироксена в различных
типах пород верхнемеловой вулканической серии

	Обр.5	Обр.6	Обр. I	Обр.19	Обр.7	Обр.4I	Обр.24
Вкрапленники Pл:CPx							
(в вес %)	84.6 : 15.4	78 : 22	82.3 : 17.7	70.4 : 29.6	69.0 : 31.0	87.3:12.7 x) x)	61.9:19.1
$x_{P\ell}^{Ca}$	0.875	0.873	0.756	0.561	0.484	0.430 0.365	
x_{CPx}^{Ca}	0.457	0.456	0.442	0.416	0.418	0.379 0.427	
$K_D^{Ca}(P\ell/CPx)$	8.33	8.21	3.91	1.80	1.28	1.23 0.76	
$\Sigma Fe/\Sigma Fe+Mg \& CPx$	14.7	14.1	15.5	17.6	18.1	20.5 15.2	

х) по оптике

Примечание: $x_{P\ell}^{Ca} = \frac{Ca}{Ca+Na+K}$; $x_{CPx}^{Ca} = \frac{Ca}{Ca + \Sigma Fe+Mg}$; $K_D^{Ca} = \frac{x_{P\ell}^{Ca}}{1-x_{P\ell}^{Ca}} \cdot \frac{1-x_{CPx}^{Ca}}{x_{CPx}^{Ca}}$

Обр.5 - поток оливин-плагиоклаз-пироксеновых долеритов; обр.6 - поток оливин-плагиоклаз-пирок-
сеновых базальтов; обр.I - дайкообразное тело оливин-плагиоклаз-пироксеновых базальтов; обр.19 -
поток двупироксеновых андезито-базальтов; обр.7 - то же; обр.4I - дайка пироксен-роговообманко-
вых андезитов; обр.24 - экструзия кварц-биотитовых дацитов.

Таблица 29

Количественные соотношения (вес, %) и параметры состава сосуществующих вкрапленников плагиоклаза и гиперстена в различных породах верхнемеловой вулканической серии

	Обр.26	Обр.26а	Обр.19	Обр.7	Обр.13
Вкрапленники					
Ре : Ну	66.5:33.5	66.3:33.7	72.2:27.8	73.1:26.9	65.9:34.1
$x_{\text{ре}}^{\text{Ca}}$	0.520 ^{x)}	0.540 ^{x)}	0.560	0.484	0.379
$x_{\text{ну}}^{\text{Ca}}$	0.045	0.055	0.039	0.040	0.044
$\Sigma \text{Fe} / \Sigma \text{Fe} + \text{Mg}$ в гиперстене	0.36	0.36	0.34	0.35	0.41

^{x)} по оптике

Примечание: $x_{\text{ре}}^{\text{Ca}} = \frac{\text{Ca}}{\text{Ca} + \text{Na} + \text{K}}$; $x_{\text{ну}}^{\text{Ca}} = \frac{\text{Ca}}{\text{Ca} + \Sigma \text{Fe} + \text{Mg}}$;

обр.26 и 26а – субвулканическое тело гиперстеновых андезито-базальтов; обр.19 – поток двутироксеновых андезито-базальтов; обр.7 – то же; обр.13 – дайка гиперстен-роговообманковых перлитов.

Гиперстен – клинопироксен

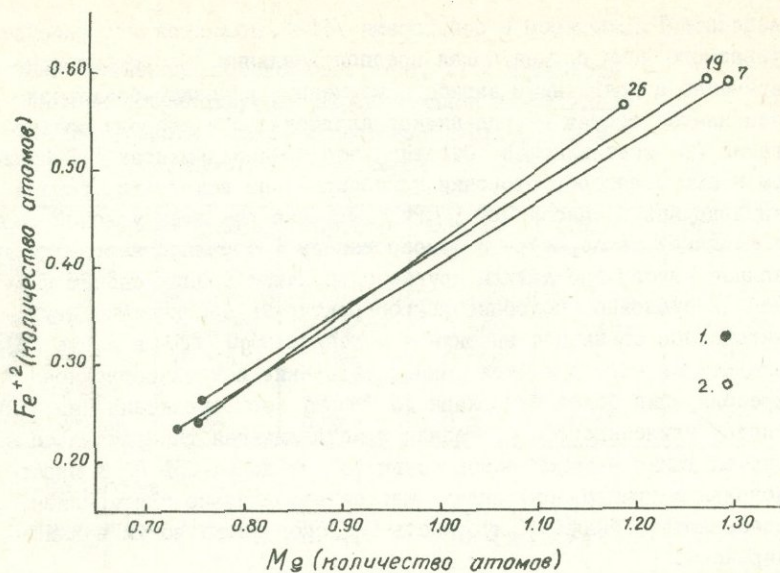
Эта пара составляет главный парагенезис темноцветных минералов в группе андезито-базальтов. По их относительному содержанию выделяются собственно гиперстеновые и двутироксеновые разности. Гиперстен постоянно количественно преобладает над авгитом, причем в гиперстеновых разностях их соотношение приближается к 3:1, в двутироксеновых доходит до 1.2 – 1.4:1 (табл. 30). В петрографическом разделе работы уже отмечалось, что рассматриваемые вкрапленники кристаллизуются в последовательности гиперстен–клинопироксен, о чем свидетельствует как ассоциация их соответственно с вкрапленниками плагиоклаза I и II генерации, так и образование каемок клинопироксена вокруг гиперстена. Последнее можно объяснить постепенным падением температуры в интэрраттермических условиях, при котором растет содержание Fe и состав гиперстена выходит за пределы En₆₄ Fs₃₆. При этом стабильной фазой становится клинопироксен. Такое объяснение, при-

веденное Г.С.Йодером и соавторами /118/, является для рассматриваемого нами случая более предпочтительным, поскольку одновременно с появлением авгита в изученных андезито-базальтах изменяется состав вкрапленников плагиоклаза в сторону возрастания Ab составляющей. Отметим, что в экспериментах Г.С.Йодера и его соавторов оторочки клинопироксена вокруг гиперстена наблюдались в смесях $\text{OPx} : \text{CPx} = 3:1$, но для этих условий (при постоянной температуре и фиксированном содержании железа) указанные авторы предложили другое объяснение возникновению каемок. Безусловно, подобные микроструктурные соотношения двух пироксенов связаны с высоким отношением $\text{MgO} : \text{FeO}$ в магме /84/, следствием чего является раннее выделение и количественное преобладание более тугоплавкого $\text{Fe}-\text{Mg}$ ортопироксена над кальциевым клинопироксеном. Ранняя кристаллизация гиперстена объясняется также высокой основностью (55–57 до 64–65% Al в ядрах зональных кристаллов) выделяющегося параллельно плагиоклаза, связывающего значительную часть Ca , способного войти в клинопироксен.

Мы располагаем составами трех сосуществующих пар гиперстен-авгит. В табл. 30 приведены мольные доли Mg, Ca , содержания Fe^{+2} и значения коэффициента распределения Mg и Ca между ними. Данные таблицы графически отражены на диаграммах (фиг. 38 а, б).

На фиг. 38а видно, что в изученных парах гиперстен всегда выше по магнезиальности и железистости, чем авгит. Распределение ионов Fe и Mg между ними закономерно, о чем можно судить по направленности линий возрастания железистости и магнезиальности. Подобное распределение отвечает правой, высокотемпературной части обменной реакции $\text{CPx}_{\text{Mg}} + \text{OPx}_{\text{Fe}} = \text{OPx}_{\text{Mg}} + \text{CPx}_{\text{Fe}}$, которая по Р.Кретцу /94/ и Л.Л.Перчуку /103/ лежит в основе равновесия между этими фазами. Значения K_{d}^{Mg} обнаруживают постоянство, причем по средней его величине, равной 0.69, изученные пары ложатся несколько выше кривой, очерченной Кретцем и Саксеной для магматических пород (фиг. 38б).

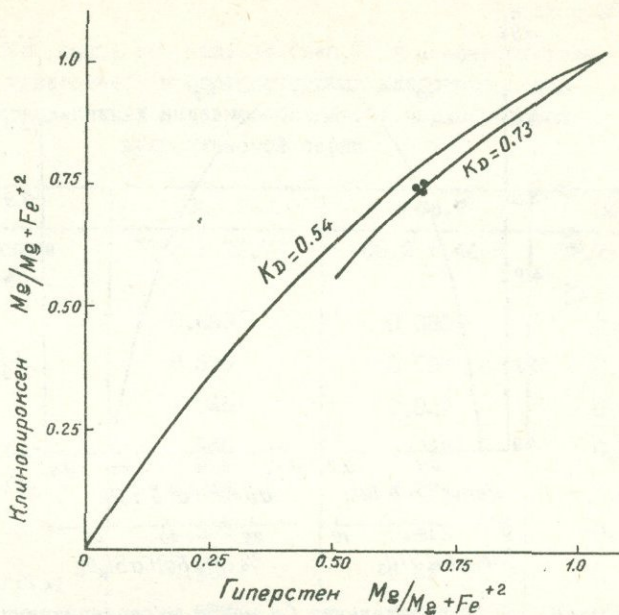
Для изучения распределения Ca в рассматриваемой паре вкрапленников мы воспользовались диаграммой Саксены /99/, на которой кривые вариации содержаний Ca имеют близкое сходство с кривыми сольвуса на экспериментальной диаграмме $\text{MgSiO}_3 - \text{CaMgSi}_2\text{O}_6$. По распределению Ca и ограниченным пределам колебаний K_{d}^{Ca} (фиг. 39) изученные пары также равновесны, причем



Фиг. 38а. Распределение Mg и Fe^{+2} между существующими вкрапленниками клинопироксена и гиперстена в андезито-базальтах верхнемеловой серии. 1. Клинопироксен; 2. Гиперстен.

с увеличением $\ln K_p^{\text{Ca}}$ концентрации Ca в гиперстене несколько возрастают, в авгите - убывают.

Отвечающее идеальному распределение Fe и Mg в ассоциации ортопироксен-клинопироксен дало основание Л.Л.Перчуку /103/ разработать для метаморфических и магматических пород эмпириическую диаграмму - двупироксеновый термометр. Установлено, что при постоянстве средней магнезиальности в этой паре $- \chi_{Mg} = 0.5(\chi_{Mg}^{\text{Cpx}} + \chi_{Mg}^{\text{Opx}}) \approx 0.65$, связь между температурой и K_p линейна. Составы изученных в верхнемеловых андезито-базальтах гиперстенов и авгитов, имеющие $\chi_{Mg} = 0.69$, дают по диаграмме Л.Л.Перчука температуру кристаллизации в пределах $790-820^\circ$. Эти цифры скорее отвечают той минимальной температуре, при которой устанавливается равновесие данной пары фаз с остаточной жидкостью или температуре субсолидуса. Оценивая их, отметим также, что отсутствие в изученных породах пиконита является прямым следствием кристаллизации вкрапленников из относительно низкотемпературной магмы, в области

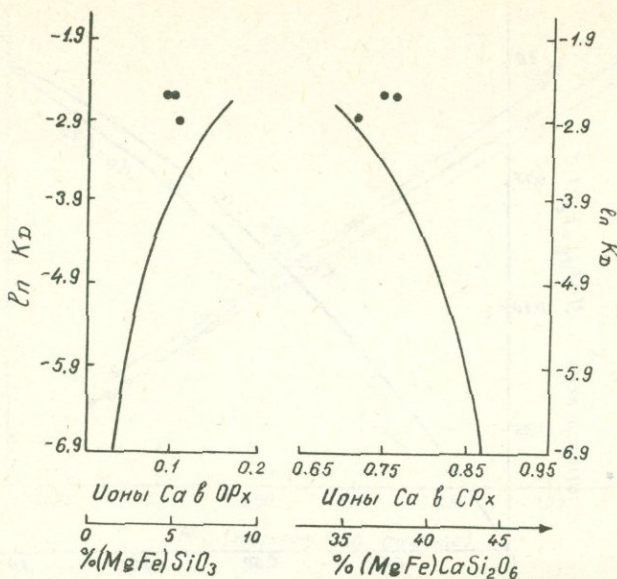


Фиг. 38 б. Распределение Mg и Fe^{+2} между сосуществующими вкрапленниками гиперстена и авгита в андезито-базальтах верхнемеловой серии. Кривые симметрии ($K_D = 0.54$ – метаморфические породы и $K_D = 0.73$ – магматические породы) приведены по Кретцу /94/ и Саксене /99/.

температуру ниже точки инверсии пижонит-ромбический пироксен, равной 1100° .

Клинопироксен – роговая обманка

Эта ассоциация вкрапленников в породах верхнемеловой серии встречается редко и свойственна лишь плагиоклаз-пироксен-роговообманковым андезитам, залегающим в виде маломощной дайки на нижних горизонтах верхнеконъяк-нижнесантонского комплекса у с. Ачаджур.Петрографические соотношения указывают на их одновременную кристаллизацию в интрапетиолитических условиях при значительном количественном преобладании роговой обманки над авгитом (4 : 1).



Фиг. 39. Распределение Са между вкрапленниками гиперстена и авгита в андезито-базальтах верхнемеловой серии на графике Саксены /99/.

В таблице ЗI приведены мольные доли Mg и Ca в данной сосуществующей паре. По Л.Л.Перчуку распределение магния и железа в ней описывается обменной реакцией $\text{Am}_{\text{Mg}} + \text{CPx}_{\text{Fe}} = \text{CPx}_{\text{Mg}} + \text{Am}_{\text{Fe}}$, которая с возрастанием температуры смещается вправо. Распределение Mg в изученной нами паре роговая обманка – клинопироксен соответствует правой, высокотемпературной части уравнения. По кальциевости авгит также выше сосуществующего амфибола. Мольные доли Mg в изученной нами паре наносились на построенную Л.Л.Перчуком диаграмму, где приведены изотермы распределения Mg между роговой обманкой и клинопироксеном из неэклогитовых пород. При этом учитывалось, что кристаллохимические формулы наших минералов не резко отличаются от выведенных названным автором средних. Температуры кристаллизации рассматриваемой пары, определенные по этой диаграмме, отвечают $790^{\circ} - 800^{\circ}$. Сходные цифры получаются по приближенной диаграмме с изотермами распределения Ca между этими минералами. Более высокие цифры ($900 - 920^{\circ}$) получаются по

Таблица 30

Количественные соотношения (вес, %) и параметры состава гиперстенов и сосуществующих клинопироксенов во вкрапленниках андезито-базальтов верхнемеловой вулканической серии

	Обр.26	Обр.7	Обр.19
Вкрапленники			
Hy : CPx	78.3 : 21.7	55.2 : 44.8	57.7 : 42.3
χ_{Hy}^{Mg}	0.668	0.680	0.671
Fe^{+2} в Hy	0.579	0.587	0.596
χ_{Hy}^{Ca}	0.045	0.039	0.040
χ_{CPx}^{Mg}	0.745	0.749	0.739
Fe^{+2} в CPx	0.244	0.236	0.267
χ_{CPx}^{Ca}	0.395	0.418	0.418
$K_{D(Hy/CPx)}^{Mg}$	0.68	0.69	0.71
$K_{D(Hy/CPx)}^{Ca}$	0.072	0.057	0.059

Примечание:

$$\chi^{Mg} = \frac{Mg}{Mg + \Sigma Fe}$$

соответственно в гиперстене и клинопироксене

$$\chi^{Ca} = \frac{Ca}{Ca + \Sigma Fe + Mg}$$

соответственно в гиперстене и клинопироксене

$$K_{D(Hy/CPx)}^{Mg} = \frac{\chi_{Hy}^{Mg}}{1 - \chi_{Hy}^{Mg}} \cdot \frac{1 - \chi_{CPx}^{Mg}}{\chi_{CPx}^{Mg}} ;$$

$$K_{D(Hy/CPx)}^{Ca} = \frac{\chi_{Hy}^{Ca}}{1 - \chi_{Hy}^{Ca}} \cdot \frac{1 - \chi_{CPx}^{Ca}}{\chi_{CPx}^{Ca}} .$$

модифицированной диаграмме фазового соответствия данного парагенезиса для базальтовых пород, приведенной Г.С.Закариадзе и М.Б.Лордкипанидзе /97/.

Таблица 3I

Параметры состава клинопироксена и существующей роговой обманки (обр.4I)

	клинопироксен	роговая обманка
x_{Mg}	0.686	0.596
x_{Ca}	0.970	0.781

Примечание:

$$x_{Mg} = \frac{Mg}{Mg + \sum Fe + Mn}$$

соответственно в роговой обманке и клинопироксene.

$$x_{Ca} = \frac{Ca}{Ca + Na + K}$$

- " -

Плагиоклаз - роговая обманка

Этот парагенезис вкрапленников отмечается в субвулканических андезитах, роговообманковых липаритах и перлитах, характеризующихся преобладанием Na_2O в сумме щелочей. В названных породах устанавливается параллельная кристаллизация этих минералов при значительном количественном преобладании плагиоклаза над роговой обманкой (примерные соотношения 3:I).

По Л.Л.Перчуку равновесие между амфиболами и плагиоклазом определяется обменной реакцией $NaAl(Mg, Fe)_{2.25} Al_{1.5} Si_3 O_{12} + NaAlSi_3 O_8 \rightleftharpoons CaAl_2 Si_2 O_8 + HNa(Mg, Fe)_{2.25} Al_{0.5} Si_4 O_{12}$, причем основность плагиоклаза, равновесного с амфиболами, возрастает с увеличением температуры. Следовательно в высокотемпературных условиях с плагиоклазом высокой основности будет ассоциировать менее кальциевый амфибол.

В табл. 32 приведены мольные доли кальция, Al в четверной координации (O_{Si}) и коэффициент распределения Ca между описываемыми минеральми. По данным таблицы построен график зависимости кальциевостей роговой обманки и плагиоклаза (фиг. 40). Полученные результаты показывают, что распределение каль-

Таблица 32

Параметры состава вкрапленников плагиоклаза и сосуществующей роговой обманки в породах верхнемеловой серии

	Обр.4Ia	Обр.30	Обр.15д	Обр.13
$x_{\text{Ca}}^{\text{Pe}}$	0.450 ^{x)}	0.463	0.246	0.379
$x_{\text{Ca}}^{\text{Amf}}$	0.780	0.768	0.790	0.781
$K_{\text{D}(\text{Pe}/\text{Amf})}^{\text{Ca}}$	0.23	0.26	0.10	0.17
$a_{\text{Si}}^{\text{Pe}}$	-	0.350	0.299	0.342
$a_{\text{Si}}^{\text{Amf}}$	0.249	0.226	0.196	0.145

Примечание:

x) по оптике.

обр. 4Ia - плагиоклаз-пироксен-роговообманковый андезит; обр.30 - плагиоклаз-роговообманковый андезит; обр.15д - роговообманковый липарит; обр.13-гиперстен-роговообманковый перлит.

Параметры:

$$x_{\text{Ca}} = \frac{\text{Ca}}{\text{Ca} + \text{Na} + \text{K}}$$

соответственно в плагиоклазе и роговой обманке.

$$a_{\text{Si}} = \frac{\text{Al}^{\text{IV}}}{\text{Al}^{\text{IV}} + \text{Si}}$$

- " -

$$K_{\text{D}}^{\text{Ca}} = \frac{x_{\text{Ca}}^{\text{Pe}}}{1 - x_{\text{Ca}}^{\text{Pe}}} \cdot \frac{1 - x_{\text{Amf}}^{\text{Ca}}}{x_{\text{Amf}}^{\text{Ca}}}$$

ции в изученных трех парах приближается к равновесному: с плагиоклазом наиболее высокой основности ассоциирует роговая обманка наиболее низкой кальциевости, что происходит за счет возрастания роли Na в последней. Однако интервалы колебания содержаний Ca в плагиоклазе шире соответствующих колебаний в амфиболе. Так же закономерно варьирует K_{D}^{Ca} , заметно убывающий с возрастанием x_{Ca} в роговой обманке. Рассмотрение таблицы обнаруживает еще одну особенность составов совместно находящихся плагиоклаза и роговой обманки. Она состоит в парал-

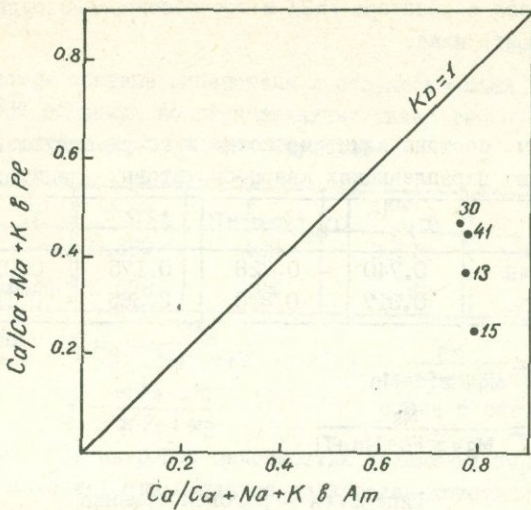
лельном убывании Al^{IV} (α_{Si}) в обоих минералах при переходе от андезитов к липаритам и перлитам, происходящем с возрастанием SiO_2 и щелочности. Только в плагиоклазе убывание Al^{IV} идет с уменьшением χ_{Ca} , а в роговой обманке — с возрастанием χ_{Ca} . Таким образом, отмеченная в главе IV особенность изменения состава роговой обманки, состоящая в возрастании степени насыщенности тетраэдрической позиции Si^{+4} и степени замещения $2(\text{Na} + \text{K})$ на Ca^{+2} при переходе от андезитов к липаритам и перлитам, находит свое объяснение в плане отмеченных равновесных соотношений между вкрапленниками плагиоклаза и роговой обманки.

Поскольку приведенные нами составы роговых обманок по железистости, магнезиальности и $(\text{Ca} + \text{Na} + \text{K})$ резко отличаются от статистически среднего состава амфибола, для которого Л.Л.Перчукум построена диаграмма фазового соответствия, использовать эту диаграмму для определения температуры совместной кристаллизации плагиоклаза и роговой обманки невозможно. Однако по приведенным параметрам и в частности, по убыванию χ_{Ca} можно ориентировочно судить о том, что температура кристаллизации этих минералов в андезитах немного выше, чем в липаритах, причем по фазовой диаграмме названного автора составы рассматриваемой пары в андезитах и перлитах коррелируются с составами в гранулитах и низах амфиболитовой фации ($680^{\circ}\text{--}950^{\circ}$), а составы в липаритах — с верхами амфиболитовой фации ($400\text{--}680^{\circ}$).

Биотит — клинопироксен

Эта ассоциация также является редкой для верхнемеловых пород и отмечается лишь в кварц-биотитовых дацитах экструзива Кардан (правый берег р. Джогас). В количественном отношении вкрапленники биотита преобладают над клинопироксеном (примерно 3:1). Другие вкрапленники в этих породах представлены плагиоклазом (36–37% An), кварцем, а также окисленным магнетитом.

По Л.Л.Перчуку обменное равновесие между биотитом и клинопироксеном имеет вид: $\text{Bi}_{\text{Mg}} + \text{CPx}_{\text{Fe}} = \text{CPx}_{\text{Mg}} + \text{Bi}_{\text{Fe}}$. В табл. 33 приводятся мольные доли Mg во вкрапленниках биотита и клинопироксена, а также содержание Ti и Al^{IV} . Приведенные значения показывают, что по соотношению магнезиальностей изученная пара отвечает правой, высокотемпературной части данного уравнения. По исключительно высокой глиноземистости, а также по кальциевости обоих минералов, по магнезиальности и титанистости клинопи-



Фиг. 40. Распределение составов существующих вкрапленников плагиоклаза и роговой обманки в зависимости от кальциевости в верхнемеловых вулканитах: обр.30 - плагиоклаз-роговообманковые андезиты; обр.41 - пироксен-роговообманковые андезиты; обр.15 - роговообманковые липариты; обр. 13 - гиперстен-роговообманковые перлиты.

роксена и высокой степени окисленности биотита описываемые вкрапленники существенно отличаются от "средних" составов Л.Л.Перчука и оценить примерную температуру их кристаллизации по его диаграмме невозможно даже с учетом титанистости. Судя по высокому значению K_D^{Mg} можно лишь предположить высокие температуры кристаллизации. Для примерной оценки приведем $T=795^{\circ}\text{C}$, определенную для вкрапленников клинопироксена и биотита из кварцевых латитов, изученных Ларсеном с соавторами /119/. Однако составы описанной нами пары отличаются от последних лишь пониженной магнезиальностью биотита при равном K_D^{Mg} для клинопироксена. Поэтому ориентировочно можно принять, что в верхнемеловых кварц-биотитовых дацитах температура должна быть несколько ниже приведенной цифры, но выше $740-750^{\circ}$. Этот вывод следует из экспериментальных

данных Д.Вонса и соавтора /52/ и его обоснование будет приведено несколько ниже.

Таблица 33

Параметры состава клинопироксена и сосуществующего биотита во вкраплениках кварц-биотитовых дацитов (обр. 24д)

	x_{Mg}	x_{Mg} с учетом Ti	$A\delta^{IV}$	Ti	$K_{D(Cr-Bi)}^{Mg}$
Клинопироксен	0.740	0.728	0.175	0.018	0.77
Биотит	0.317	0.310	2.365	0.113	

$$1) \quad x_{Mg} = \frac{Mg}{Mg + \sum Fe + Mn};$$

$$2) \quad x_{Mg} = \frac{Mg}{Mg + \sum Fe + Mn + Ti}.$$

Гиперстен - роговая обманка

Для пород верхнемеловой серии данный парагенезис довольно редок и отмечается лишь в дайке перлита, секущей вулканический купол Кер-оглы в левобережье р. Тауш. Известно, что ассоциация этих темноцветных минералов и плагиоклаза, характерная для высокотемпературных магматических и метаморфических пород, является также критерием глубинности образования и режима щелочности /101, 120/.

По Л.Л.Перчуку распределение Fe и Mg в ассоциации гиперстена и амфиболя описывается обменной реакцией $Am_{Mg} + Opx_{Fe} = Opx_{Mg} + Am_{Fe}$, равновесие в которой сдвигается вправо при повышении температуры.

В изученных перлитах гиперстен количественно преобладает над роговой обманкой (2.3:1). Они ассоциируют с плагиоклазом повышенной основности (№55-56 в ядрах зональных кристаллов и №37-38 в краевых частях) и сами обладают высокой магнезиальностью (табл. 34). Однако мольная доля Mg в гиперстене сравнительно выше, чем в амфиболе, т.е. соотношения Fe и Mg в них отвечают правой части приведенной реакции. Кроме того, по кальциевости и глиноземистости роговая обманка значительно выше, чем гиперстен. На диаграмме И.А.Тарарина гиперстен до отношениям $Si/A\delta$ и $Mg+Fe/A\delta$ попадает в поле чарнокитов, рапакиви и кислых стекловатых гранитоидов. Эти особенности состава гиперстена, т.е. пониженные известковость и глиноземистость, объяс-

Таблица 34

Параметры состава гиперстена и сосуществующей роговой обманки во вкрапленниках гиперстен-роговообманковых перлитов

	x_{Mg}	f	A^{IV}	Ca^{+2}
Гиперстен	0.569	40%	0.070	0.086
Роговая обманка	0.578	42%	1.162	2.054

$$\text{Примечание: } x_{Mg} = \frac{Mg}{Mg + \sum Fe}$$

$$f = \frac{\sum Fe \cdot 100}{\sum Fe + Mg}$$

соответственно в гиперстене и роговой обманке

няются повышенной натровой щелочностью вмещающих перлитов, а пониженная железистость является следствием кристаллизации на значительных глубинах, в условиях сравнительно низкого давления паров H_2O .

Кристаллохимические формулы изученных вкрапленников гиперстена и амфибола не так резко отличаются от "средних" составов, для которых Л.Л.Перчуком выведены приближенные диаграммы фазового соответствия магнезиальностей. Оценка примерной температуры кристаллизации этой пары дает 780–800°C. Отметим, что магнезиальность пары гиперстен-роговая обманка в верхнемеловых перлитах заметно ниже, чем, например, в парах из дайитов, изученных Кармайклом /121/, и для которых Л.Л.Перчук определил температуры 800–900°C.

Плагиоклаз – санидин

Ассоциация вкрапленников двух полевых шпатов свойственна лишь биотит-санидиновым липарито-трахитам экструзива Кзыл-кая в левобережье р.Джогас, имеющим четко выраженный калиевый облик. В количественном отношении вкрапленники плагиоклаза заметно преобладают над санидином. Кристаллизация плагиоклаза также начинается раньше санидина. В этой последовательности оказывается влияние общего химического состава этих пород, кристаллизация которых начинается в плагиоклазовом поле и в которых состав жидкой фазы смешается к границе двух полевых шпатов. По достижении этой границы к плагиоклазу присоединяется санидин и обе фазы сосуществуют с остаточной жидкостью. Это позволяет рассматривать их как равновесную ассоциацию и

использовать двуполевошпатовый геотермометр /122, 101/ для оценки температуры установления равновесия между ними. Мольные доли $\text{Na} / \frac{\text{Na}}{\text{Na} + \text{Ca} + \text{K}}$ в плагиоклазе и сандине равны соответственно 0.650 и 0.380, что по графику Л.Л.Перчука отвечает 730–740°C. При этом делается допущение, что валовый состав распавшегося твердого раствора калиполевошпатовой фазы, обнаруженного на стадии рентгеновской негомогенности (см. главу IV), отвечает первичномагматическому.

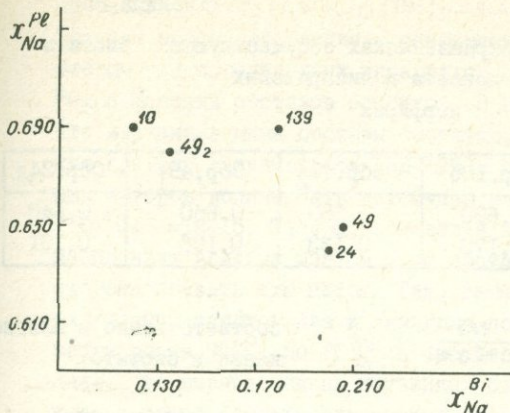
Плагиоклаз–биотит

Этот парагенезис вкрапленников является ведущим для биотитовых липаритов, биотит–сандининовых липарито–трахитов и вулканических стекол левобережья р.Джогас. В количественном отношении преобладающим является плагиоклаз; в интрапеллурический этап оба минерала кристаллизуются параллельно. В табл. 35 приведены мольные доли Na в существующей паре, причем поскольку во вкрапленниках плагиоклаза резко выражена зональность, использовались лишь данные оптических замеров и преимущественно составы центральных зон. По этим данным построен график (фиг. 41), на котором в целом видна обратная коррелируемость между содержанием Na в плагиоклазе и биотите. Вместе с тем колебания натровости биотита более значительны, чем плагиоклаза, причем наиболее натровыми являются биотиты из биотит–сандининовых липарито–трахитов, ассоциирующие с наиболее основным плагиоклазом.

По данным Г.Б.Ферштатера и Н.С.Бородиной /123/ замещение калия натрием в биотитах усиливается с повышением температуры. В этом отношении пониженная в целом натриевость биотитов из липаритов и дацитов верхнесантонского комплекса свидетельствует о сравнительно низкой температуре их интрапеллурической кристаллизации и определяется, кроме того, составом существующего плагиоклаза.

Сандин – биотит

Эти вкрапленники представляют характерную ассоциацию для липарито–трахитов, в которых K_2O заметно преобладает над Na_2O . Соотношения этих минералов указывают на количественное преобладание биотита, кристаллизация которого начинается в интрапеллурический этап несколько раньше сандина, однако на определенном



Фиг. 4I. Распределение натрия между существующими вкрапленниками плагиоклаза и биотита в липаритах и липарито-трахитах: обр. 10 и 139 - обсидианы; обр. 24 - дациты; обр. 49₁ и 49₂ - липарито-трахиты.

интервале и до конца интрагеттитического этапа оба минерала кристаллизуются параллельно.

В табл. 36 приводятся параметры состава существующих вкрапленников биотита и санидина. Высокое значение $K_{\text{Na}}^{\text{Rb}}$, равное 2.4, свидетельствует о температуре равновесия этой пары выше 700° (по графику Г.Б.Ферштата и Н.С.Бородиной). В этой связи отметим, что по сравнению с параметрами кислых эффиузивов, приведенных в работе названных авторов, в описываемой нами паре биотит отличается резко пониженной натриевостью. Содержания K_2O и Rb_2O и коэффициент распределения рубидия между биотитом и санидином позволяет по графику Бесвика и Юргстера /103/ примерно оценить температуру равновесия этой пары, равную 730–740°C.

Санидин – биотит – магнетит

Названная ассоциация крайне важна с петрологической точки зрения, поскольку позволяет при данном составе биотита оценивать температурный режим кристаллизации, величину парциального давления кислорода и летучести воды /52, 121, 38, 124, 103/. Известно, что свободный кислород в эндогенных условиях составляет ничтожную долю в составе компонентов газовых смесей, поэтому летучесть кислорода регулируется буферными равновесиями, в которых участвуют элементы переменной валентности и, в первую очередь, Fe^{+2} и Fe^{+3} /124/.

Равновесие в ассоциации биотит–санидин–магнетит определяет

Таблица 35

Содержание Na во вкрапленниках сосуществующих биотита и плагиоклаза в липаритовых порфирах

	обр. I39	обр. I06	обр. 49 ₂	обр. 49 _I	обр. 24д
$x_{\text{Na}}^{\text{Rb}}$	0.690	0.690	0.680	0.650	0.640
$x_{\text{Na}}^{\text{Bi}}$	0.120	0.179	0.133	0.196	0.191

Примечание:

$$x_{\text{Na}} = \frac{\text{Na}}{\text{Na} + \text{Ca} + \text{K}}$$

соответственно в плагиоклазе и биотите.

Таблица 36

Параметры состава сосуществующих вкрапленников биотита и санидина в биотит-санидиновых липаритах

	H_2O (вес %)	Rb_2O (вес %)	$K_{D(Sn-Bi)}^{\text{Rb}}$	x_{Na}	$K_{D(Sn-Bi)}^{\text{Na}}$
Биотит	6.65	0.015		0.200	
Санидин	9.25	0.039	0.47	0.380	2.40

Примечание:

$$x_{\text{Na}} = \frac{\text{Na}}{\text{Na} + \text{K} + \text{Ca}}$$

соответственно в биотите и санидине

$$K_{D(Sn/Bi)}^{\text{Rb}} = \left(\frac{K}{Rb}\right)_{\text{Sn}} \cdot \left(\frac{Rb}{K}\right)_{\text{Bi}}$$

$$K_{D(Sn/Bi)}^{\text{Na}} = \frac{x_{\text{Sn}}^{\text{Na}}}{1 - x_{\text{Sn}}^{\text{Na}}} \cdot \frac{1 - x_{\text{Bi}}^{\text{Na}}}{x_{\text{Bi}}^{\text{Na}}}$$

ся реакцией $KFe_3AlSi_3O_{10}(OH)_2 = KAlSi_3O_8 + Fe_3O_4 + H_2$. Пределы этого равновесия экспериментально изучены Вонсом и Югстером для определенных интервалов температуры, P_{O_2} и P_{H_2O} и фазовых составов биотитов. В главе IV уже было показано, что изученные нами составы биотитов, имеющие сравнительно узкие пределы железистости (55–67%), согласно диаграмме названных авторов должны быть устойчивы в условиях $t^\circ = 600\text{--}920^\circ$ и $\log f_{O_2} = 12\text{--}15$. Теперь, используя полученные данные по равновесию двух полевых шпатов и по составу магнетита, мы можем скорректировать эти цифры. Так, температура равновесной кристаллизации плагиоклаза и санидина по двуполевошпатовому термометру равна 750° , по K^{Rb} в биотите и санидине – $730\text{--}740^\circ$. Далее, во вкраепленниках изученных биотитовых липаритов и стекол, а также биотит-сандициновых липарито-травахитов присутствует магнетит серии $Fe_3O_4 - \chi FeTiO_3$, которая образуется при более высоких значениях P_{O_2} , чем серия магнетит-ульвошпинель. Это позволяет принять значение P_{O_2} рассматриваемой ассоциации в максимальном пределе, равном 12. Для определения значения летучести H_2O можно использовать уравнение /52/:

$$\log f_{H_2O} = \frac{3428 - 4212(1-x)^2}{T} + \log x + \frac{1}{2} \log f_{O_2} + 8,23 - \log \alpha_{KAlSi_3O_8} - \log \alpha_{Fe_3O_4},$$

где x – мольная доля Fe^{+2} в октаэдрических слоях биотита, $\alpha_{KAlSi_3O_8}$ – активность санидина, $\alpha_{Fe_3O_4}$ – активность магнетита. Мольная фракция Fe^{+2} в образце биотита (49) составляет 0.273; активности санидина и магнетита принимаются равными мольным долям K (0.560) и Fe^{+3} (0.826) соответственно в санидине и магнетите, поскольку калиевый минал в санидине и железистый минал в магнетите образуют идеальные твердые растворы /121, 124/. Подставляя соответствующие значения в приведенное уравнение, получаем $\log f_{H_2O}$, равный 0.6008. Эта величина отвечает давлению водяного пара на стадии, когда начинает кристаллизоваться биотит, в 4,083 кбар. Принимая по В.С. Соболеву, что для эфузивов $P_{H_2O}/P_S = 0.1$, глубину, на которой кристаллизуются биотитовые фенокристаллы, можно ориентировочно считать равной 4–4.5 км.

Характерную для кварц-биотитовых дацитов ассоциацию железистого биотита, магнезиального клинопироксена и кварца можно объяснить, исходя из экспериментов Вонса и Югстера, частичным разложением биотита в системе биотит-кварц в условиях сравнительно высоких температур. В результате образуется

биотит нового состава и клинопироксен. Образование именно клинопироксена (вместо гиперстена) свидетельствует о повышенной активности CaO, при этом нижний предел летучести O₂ должен, сравнительно с ассоциацией биотит+гиперстен, повыситься /124/. Принимается, таким образом, что парагенезис биотита и клинопироксена возникает в условиях более высоких температур, сравнительно высокой активности CaO и при РO₂, соответствующем кварц-фаилит-магнетитовому буферу ($\log f_{\text{O}_2} = -13,6$).

В табл. 37 приведены величины отношений $\text{Fe}^{+3}/(\text{Fe}^{+3} + \text{Fe}^{+2})$ во вкрапленниках биотита и магнетита для группы биотитсодержащих кислых лав и экструзивов. Отмечается, что значения степени окисленности этих минералов и вмещающих пород коррелируются между собой. По наиболее высокой степени окисленности и вкрапленников и валовой породы выделяются кварц-биотитовые дациты, в которых вкрапленники Fe-Ti окисного минерала преобразованы в гематит. Если учесть, что отношение $\text{Fe}^{+3}/(\text{Fe}^{+3} + \text{Fe}^{+2})$ составляет 0,25 для буферной смеси магнетит-гематит, а в исследованных породах оно заметно превышает эту цифру, то следует подчеркнуть значительную роль постмагматического высокотемпературного окисления (550–500°) вкрапленников, проявленного в лавовых потоках, куполах и экструзивах с различной интенсивностью. С этими процессами связаны образование реакционных камлок магнетита вокруг биотитовых фенокристаллов, преобразование низкотитанистого магнетита в маггемит или гематит и вторичная калишпатизация вкрапленников плагиоклаза.

Магнетит – ильменит

Ассоциация титаномагнетита и обособленного ильменита во вкрапленниках характерна для всех петрографических типов пород верхнемеловой серии /125/. Однако их количественные содержания резко колеблются и в целом связаны между собой обратной зависимостью. Так, максимальные концентрации титаномагнетита отмечаются в оливин-плагиоклаз-пироксеновых базальтах и долеритах, одновременно содержание дискретного ильменита в них исключительно мало. Наибольшие концентрации ильменита отмечаются в плагиоклаз-роговообманковых андезитах и роговообманковых липаритах, в которых содержание титаномагнетита заметно сокращено. В единичных знаках отмечается ильменит в биотитовых липаритах, биотит-сандиновых липарито-травах и биоти-

Таблица 37

Соотношения $\text{Fe}^{+3}/(\text{Fe}^{+3} + \text{Fe}^{+2})$ в сосуществующих вкрапленниках биотита, магнетита и вмещающих породах

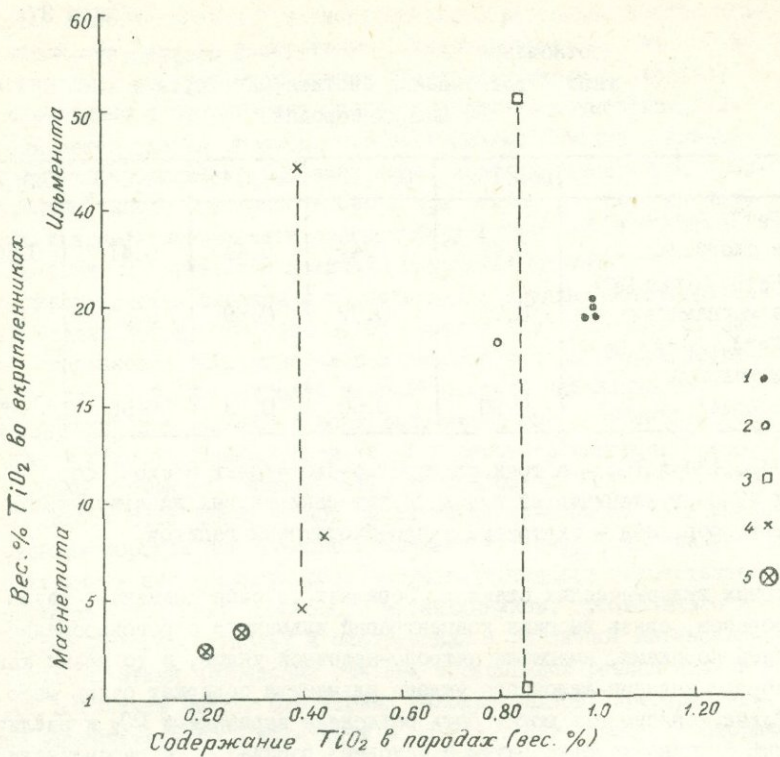
	Обр. I39	Обр. I06	Обр. 49 ₁	Обр. 49 ₂	Обр. 24д
$\text{Fe}^{+3}/(\text{Fe}^{+3} + \text{Fe}^{+2})$ в биотитах	0.42	0.41	0.44	0.41	0.50
$\text{Fe}^{+3}/(\text{Fe}^{+3} + \text{Fe}^{+2})$ в магнетитах	0.79	0.77	0.89	0.87	1.00
$\text{Fe}^{+3}/(\text{Fe}^{+3} + \text{Fe}^{+2})$ в валовой породе	0.60	0.50	0.63	0.58	0.87

Обр. I39 и I06 - потоки плагиоклаз-биотитовых стекол; обр. 49₁ и 49₂ - вулканический купол биотит-сандининовых липарито-трахитов; обр. 24д - экструзив кварц-биотитовых дацитов.

тловых вулканических стеклах. Обращает на себя внимание, таким образом, связь высоких концентраций ильменита с роговообманковыми породами, имеющими натрово-щелочный уклон, в то время как породы калиево-щелочного уклона ильменита содержат очень мало. Такая зависимость может быть объяснена вариациями $P\text{O}_2$ и различным флюидно-газовым режимом исходных расплавов, к рассмотрению которых мы обратимся ниже, в следующей главе.

Зависимость между содержаниями TiO_2 во вкрапленниках магнетита и ильменита от содержания TiO_2 во вмещающих породах приведена на диаграмме (фиг. 42). На ней отчетливо видно, что наиболее обогащенные TiO_2 породы - базальты и долериты - содержат вкрапленники наиболее титанистого магнетита. По мере убывания весовых процентов TiO_2 в породах заметно уменьшается содержание Ti во вкрапленниках магнетита, достигая минимальных значений в биотитовых липаритах и обсидианах. Одновременно, в проанализированных двух парах обособленных вкрапленников магнетита и ильменита содержания TiO_2 связаны обратной зависимостью.

Постоянное совместное нахождение магнетита и ильменита в фенокристаллах пород верхнемеловой серии указывает на то, что кристаллизация магнетита происходила в среде, насыщенной TiO_2 . Известно, что в таких условиях составы этих окисных минералов



Фиг. 42. Зависимость между содержаниями TiO_2 во вкрапленииках магнетита и ильменита от содержания TiO_2 в породах верхнемеловой серии. 1. Магнетиты из базальтов; 2. Магнетиты из андезито-базальтов; 3. Магнетиты и ильмениты из андезитов; 4. Магнетиты и ильмениты из липаритов; 5. Маггамиты из липаритов.

служат при постоянном давлении показателями температуры и парциального давления кислорода /93, 121, 126, 103/. Как отмечает Л.Л.Перчук, положенное в основу этого геотермометра обменное равновесие $Fe_2O_3 + Fe_2TiO_4 = FeTiO_3 + Fe_3O_4$ определяется не только температурой, давлением и составом фаз, но и парциальным давлением кислорода, поскольку железо в магнетите и ильмените имеет переменную валентность. С ростом P_{O_2} в каждой из этих фаз будут происходить изотермические процессы изменения, т.е. окисление Fe^{+2} .

Приведенные в главе /У данные о составе проанализированных пар-вкрапленников магнетита и ильменита (обр. 30 и обр. 15) позволили на основе геотермометра Баддингтона-Линдсли, усовершенствованного Ю.А.Полтавцом, оценить примерные температуры их равновесной кристаллизации в интрателлурических условиях. На основе изучения структурного состояния вкрапленников титаномагнетита в базальтах и (долеритах) и андезито-базальтах сделана также попытка приближенно определить температуру установления внутрифазового равновесия в условиях охлаждения. Эти данные сведены в табл. 38. Полученные результаты свидетельствуют о том, что температура распада твердого раствора титаномагнетита из базальтовой группы охватывает интервал 840–700°, причем второй этап распада проявлен в субвуликанических телах. В андезито-базальтах распад первичного титаномагнетита происходит при более низкой температуре (700°). Полученные для андезитов и липаритов температуры совместной кристаллизации магнетита и ильменита несколько ниже цифр, определенных по клинопироксен-амфиболовому геотермометру для андезитов и амфибол-гиперстеновому – для перлитов.

Распределение титана между вкрапленниками амфиболя-магнетита и биотит-магнетита (магнетита) в породах липаритовой группы.

Для фемических минералов в кислых эфузивных и субвуликанических породах верхнемеловой серии характерен постоянный парагенезис с магнетитом (и маггемитом), продолжительная кристаллизация которого на интрателлурическом этапе контролирует их титанистость. Следует отметить, что содержание Ti как во вкрапленниках рассматриваемых фемических силикатов, так и в магнетите, заметно понижено, что видно из сравнения с соответствующими минералами, описанными Кармайклом /121/ и Г.Б.Ферштатером с соавтором /123/ из сходных по составу вулканитов.

Мольные доли титана в существующих парах вкрапленников приведены в табл. 39. Рассчитанные коэффициенты распределения Ti между биотитом и магнетитом указывают на преимущественное вхождение Ti в биотит. В амфибол-магнетитовой паре, напротив, титан преобладает в магнетитовой фазе. Подобное распределение Ti зависит главным образом от температуры, поскольку принадлежность рассматриваемых минеральных пар к буферным ассоциациям позволяет предполагать, что на интрателлурическом этапе

Таблица 38

Температуры равновесий существующих вкрапленников магнетитов и ильменитов из пород верхнемеловой серии по геотермометру Баддингтона-Линдсли, усовершенствованному Ю.А.Полтавцом

№ пп	Образец	Состав твердых растворов магнетита и ильменита	T ^o C	-lgP _{O₂}
I	среднее из 3 анализов (обр. 5, 33, 32)	Mgt ₅₃ Usp ₄₇ - Jl ₁₀₀	830-840	15
2	обр. I	Mgt ₆₅ Usp ₃₅ - Jl ₁₀₀	700	18
3	обр. I9	Mgt ₆₅ Usp ₃₅ - Jl ₉₇ Hem ₃	700	18
4	обр. 30	Mgt ₉₅ Usp ₅ - Jl ₆₉ Hem ₃₁	760	13.5
5	обр. 15	Mgt ₉₀ Usp ₁₀ - Jl ₈₄ Hem ₁₈	740-750	15.5

Примечание: 1. Вкрапленники титаномагнетита из оливин-плагиоклаз-пироксеновых базальтов и долеритов с решетчатой структурой распада твердого раствора (I этап распада). 2. Вкрапленники титаномагнетита из субвулканических оливин-плагиоклаз-пироксеновых базальтов с двумя этапами распада твердых растворов (II этап распада). 3. Вкрапленники титаномагнетита из двупироксеновых андезито-базальтов с решетчатой структурой распада твердого раствора (I этап распада). 4. Вкрапленники гомогенного магнетита и дискретного гомогенного ильменита в плагиоклаз-роговообманковых андезитах. 5. Вкрапленники гомогенного магнетита и дискретного гомогенного ильменита в роговообманковых липаритах.

кристаллизации P_{O_2} в соответствующих магматических камерах поддерживалось примерно на одном уровне. При оценке вероятных температур совместной кристаллизации этих вкрапленников нами использовались графики, приведенные Г.Б.Ферштатером и Н.С.Бородиной. Положение точек относительно шкалы температуры устанавливалось этими авторами по двуполевошпатовому термометру; в высокотемпературной области кривых использовались установленные по магнетит-ильменитовому термометру данные Кармайкла для кислых эфузивов и субвулканических пород. Полученные нами цифры указывают, что изученные ассоциации роговой обманки и магнетита находятся в равновесии при более высоких температурах, чем биотита и магнетита. Кроме того, в каждой группе относительно более высокотемпературными оказываются вулканические стекла.

Таблица 39

Мольные доли титана во вкрапленниках биотита, амфибала и сопутствующего магнетита (и маггемита) в липаритах верхнемеловой серии

Обр.	x_{Bi}^{Ti}	x_{Mgt}^{Ti}	K_{δ}^{Ti} (Bi / Mgt)	$T^{\circ}C$ по графику Г.Б. Ферштатера и др.
I06	0.08	0.03	2.67	740-750
49	0.12	0.04	3.00	700-710
Обр.	x_{Amf}^{Ti}	x_{Mgt}^{Ti}	K_{δ}^{Ti} (Amf / Mgt)	$T^{\circ}C$ по графику Г.Б. Ферштатера и др.
I5	0.07	0.05	1.43	730-740
I3	0.07	0.11	0.67	820-830

Примечание: обр. I06 - поток биотит-плагиоклазовых стекол; обр. 49 - вулканический купол биотит-санидиновых липарито-травлитов; обр. I5 - вулканический купол роговообманковых липаритов; обр. I3 - дайка гиперстен-роговообманковых обсидианов.

$$x_{Bi}^{Ti} = \frac{Ti}{Ti + \Sigma Fe}$$

соответственно в биотите, амфиболе и магнетите.

$$K_{\delta}^{Ti} (Bi, Amf / Mgt) = x_{Bi}^{Ti}, Amf : x_{Mgt}^{Ti} [135].$$

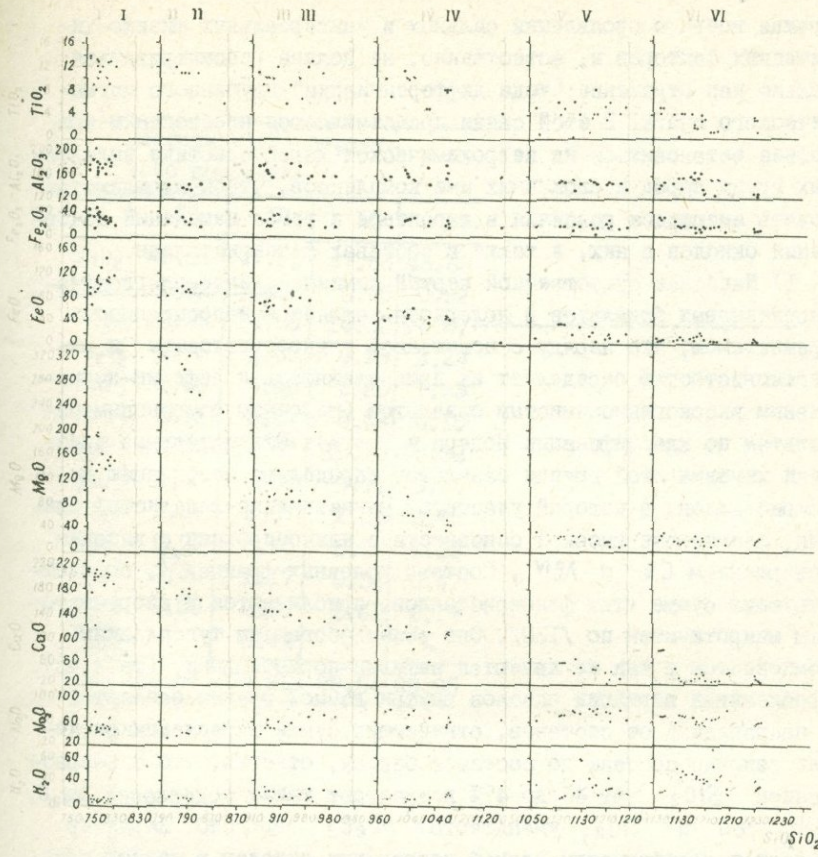
ГЛАВА VI.

ХИМИЗМ ПОРОД ВЕРХНЕМЕЛОВОЙ ВУЛКАНИЧЕСКОЙ СЕРИИ СЕВЕРНОЙ АРМЕНИИ И ОБЩИЕ ЗАКОНОМЕРНОСТИ ОБРАЗО- ВАНИЯ АССОЦИАЦИЙ ФЕНОКРИСТАЛЛОВ

Проведенные ранее исследования показали, что верхнемеловая вулканическая серия описываемого региона отвечает в целом известково-щелочному ("среднему тихоокеанскому") петрохимическому типу ассоциаций /7/. Целый ряд новых химических анализов, выполненных по материалам автора и заимствованных из работ других авторов, существенно дополняет эти исследования. В таблицах 40–51 приведены химические составы и ряд петрохимических параметров преимущественно свежих, неизмененных или слабоизмененных разностей пород верхнемеловой серии. Особенности химизма описываются ниже на основе 90 анализов, в том числе и анализов основных масс (базиса) различных типов пород (табл. 25 и 50).

Рассмотрение этой совокупности анализов указывает прежде всего на ее неоднородность. По патрографо-минаралогическому и петрохимическому признакам четко выделяются 14 групп пород, одновременно отвечающих разновозрастным комплексам или – как для кислых эфузивов – пространственно разобщенным рядам и различным геологическим телам. Рассчитанные для этих групп средние составы приведены в табл. 51.

Распределение пордообразующих окислов в рядах валовые составы пород – составы базиса для отдельных комплексов пород приводится на серии бинарных диаграмм (фиг. 43). Эти графики позволяют качественно наметить характер связи кремнезема и других окислов. Для более строгой оценки этих связей рассчитывались коэффициенты парной корреляции в общей выборке; значения коэффициентов графически отражены на фиг. 44. Рассмотрение этого графика указывает на четко скоррелированное поведение окислов в изученном ряду, при этом содержания Na_2O , K_2O прямо пропорционально увеличиваются относительно SiO_2 , а содержания



Фиг. 43. Бинарная диаграмма вариаций породообразующих окислов (мол. кол.) в группах пород верхнемеловой серии.

I - оливин-плагиоклаз-пироксеновые базальты и долериты;
II - оливиновые долериты ("A"); III - андезито-базальты; IV - андезиты; V - роговообманковые кислые эфузивы; VI - биотитовые и кварцевые кислые эфузивы.

Al_2O_3 , MgO , CaO , FeO , Fe_2O_3 обнаруживают обратную связь с SiO_2 . Однако, как справедливо отмечают А.Ф.Белоусов, В.А.Кутолин /128, 129/ и другие исследователи, подобная сопряженность между содержаниями окислов в таком широком ряду составов (от оливиновых базальтов до липаритов) свидетельствует

прежде всего о проявлении сильных и универсальных физико-химических факторов и, естественно, не должна рассматриваться только как отражение "хода дифференциации" глубинного магматического очага. В этой связи представляется необходимым подробнее остановиться на петрохимической характеристике выделенных групп пород и сложенных ими комплексов, чтобы проиллюстрировать имеющиеся различия в характере и темпе изменений содержаний окислов в них, а также в составах фенокристаллов.

I) Наиболее существенной чертой химизма оливин-плагиоклаз-пироксеновых базальтов и долеритов является недосыщенность кремнеземом, что наряду с повышенной глиноземистостью и известковистостью определяет их принадлежность к нефелин-нормативным высокоглиноземистым базальтам (шелочным оливиновым базальтам по классификации Йодера и Тилли). Отличительные признаки химизма этой группы базальтов определяют ассоциацию фенокристаллов, в которой участвуют магнезиально-железистый оливин, плагиоклаз высокой основности и клинопироксен с высоким содержанием Ca и Al^{IV} . Составы условных фракций^{x)}, соответствующих сумме этих фенокристаллов, приближаются к аортозитовым микротинитам по /130/. Они резко обогащены тугоплавким компонентом и так же являются нефелин-нормативными (табл.42). Прослеживая вариации окислов внутри данной группы базальтов в направлении от составов, отвечающих сумме вкрапленников, через валовые составы до составов базиса, отметим, что с возрастанием SiO_2 от 43 до 47% возрастают также содержания Na_2O , K_2O , FeO и TiO_2 , уменьшаются Al_2O_3 , MgO , CaO . Характер связей и коэффициенты парной корреляции окислов в данной группе базальтов полноотражены на графике (фиг. 45). Выявляется существенно известково-щелочная (боузновская) тенденция изменения составов от твердых фракционатов к базису, в котором сохраняется недосыщенность кремнеземом. Эта тенденция является признаком кристаллизационной дифференциации, проявляющейся также в эволюции расплава от ранних порций (потоки) к более поздним (пластовые залежи, дайки). В том же направлении отмечается последовательное изменение химизма вкрапленников — несколько возрастает железистость оливина и клинопироксена,

^{x)} Здесь и далее составы условных фракций, отвечающих сумме фенокристаллов, рассчитаны на основе химических анализов этих минералов с учетом их количественных соотношений.

Таблица 40

Химический состав, числовые характеристики и нормативный
состав базальтовой группы пород верхнемеловой вулканичес-
кой серии Северной Армении

	Оливин-плагиоклаз-пироксеновые базальты и долериты верхнеконьяк-нижнесантонского комплекса													Оливин-долериты ("А") верхне-сантонаского комплекса					
	I	2	3	4	5	6	7	8	9	10	II	I2	I3	I4	I5	I6	I7	I8	I9
SiO ₂	45.25	45.27	45.58	45.80	45.94	46.00	46.00	46.07	46.50	46.66	47.08	47.19	47.80	45.50	46.44	46.95	47.55	47.63	48.63
TiO ₂	I.12	I.00	0.72	0.60	I.00	0.80	I.03	0.95	0.98	0.60	I.00	I.02	0.94	0.99	0.95	0.92	I.66	0.85	0.92
Al ₂ O ₃	I8.05	I7.02	I9.12	20.7I	I6.26	I8.40	I7.35	I6.62	I7.29	I8.34	I9.12	I8.37	I9.35	I4.63	I2.24	I3.25	I4.89	I4.00	I4.87
Fe ₂ O ₃	5.16	8.84	5.57	2.06	8.53	3.29	5.35	6.05	4.59	4.99	3.40	3.59	2.76	3.6I	6.2I	4.75	3.09	4.25	2.23
FeO	6.92	6.16	4.88	6.39	7.84	7.63	6.78	8.26	9.2I	3.96	8.II	8.38	7.6I	5.76	6.30	6.46	6.00	7.33	
MnO	0.22	0.19	0.18	0.14	0.2I	0.19	0.17	0.16	0.16	0.22	0.17	0.22	0.15	0.20	0.14	0.15	0.37	0.09	0.15
MgO	7.57	5.58	5.74	4.6I	5.32	7.88	7.64	7.64	6.44	3.39	6.00	6.15	5.95	I2.80	I3.28	I2.32	I2.87	I0.43	I0.32
CaO	II.58	II.07	9.64	8.89	I0.86	II.70	II.45	II.94	II.4I	I3.60	II.45	II.3I	I0.37	I0.50	9.II	9.45	9.3I	9.79	8.84
Na ₂ O	2.75	2.90	3.44	4.70	2.80	2.30	2.92	2.60	2.16	3.2I	3.07	2.85	2.45	I.80	I.90	2.27	2.07	2.88	2.75
K ₂ O	0.49	0.77	0.78	0.62	0.60	0.65	0.58	0.50	0.98	0.II	0.89	0.92	I.20	I.00	0.76	0.79	0.38	0.77	I.25
H ₂ O ⁻	0.73	0.43	0.90	0.43	0.26	0.50	0.55	0.05	0.50	I.10	0.18	0.27	0.43	0.60	0.36	0.40	I.17	0.34	0.47
n.n.p.	0.30	I.47	3.48	4.99	0.50	-	0.64	-	0.74	2.52	-	0.35	0.90	2.60	3.0I	2.50	0.65	2.6I	2.19
P ₂ O ₅	-	-	-	-	-	-	-	-	-	-	-	-	0.16	0.30	-	-	0.44	-	-
Σ	I00.14	I00.70	I00.03	99.94	I00.12	99.34	99.46	I00.74	I00.96	99.27	I00.47	I00.62	I00.07	I00.29	I00.70	I00.84	I00.91	99.64	99.95

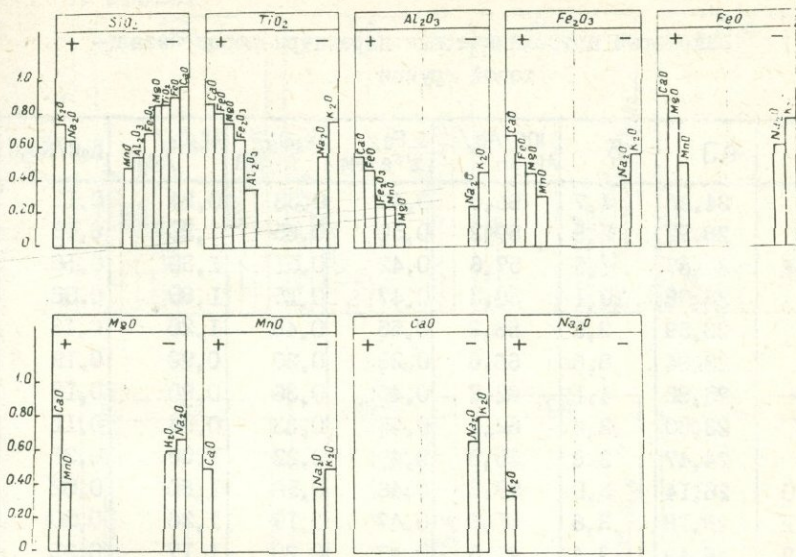
Числовые характеристики по А.Н.Заварцкому

a	7.0	7.9	9.5	I2.0	7.2	6.2	7.3	6.4	6.4	7.8	8.3	7.8	7.7	5.5	5.3	6.I	5.I	7.5	8.I
c	9.0	7.8	9.I	9.I	7.7	9.5	8.2	II.I	8.6	9.3	8.8	8.7	9.9	6.9	5.2	5.6	7.2	5.4	5.9
b	30.2	30.I	24.5	20.3	30.5	29.5	30.6	29.5	30.0	24.8	26.9	27.6	24.3	35.7	38.I	35.4	33.9	32.2	30.9
s	53.8	54.2	56.9	58.2	54.6	54.8	53.9	53.0	50.0	58.I	56.0	55.9	58.I	5I.9	5I.4	52.9	53.8	54.9	55.2
f'	37.9	47.0	42.6	43.6	50.I	35.9	37.5	44.6	44.5	36.0	40.3	4I.5	42.2	24.3	29.I	28.4	26.2	27.9	28.8
m'	43.8	32.6	42.9	42.3	I9.5	46.6	42.9	43.9	37.I	29.I	38.7	39.0	43.6	59.7	56.8	57.4	62.5	52.6	55.8
c'	I8.3	20.4	I4.5	I4.I	30.3	I7.5	I9.6	II.5	I8.4	34.9	2I.0	I9.5	I4.2	I6.0	I4.I	I4.2	I1.3	I9.5	I5.4
n	90.0	84.0	85.9	92.7	88.2	64.0	88.6	89.4	76.I	98.5	83.2	82.0	75.5	70.7	77.5	80.5	89.5	83.8	76.3
t	I.8	I.7	I.2	I.0	I.7	I.3	I.7	I.5	I.6	I.0	I.6	I.6	I.5	I.7	I.5	I.4	2.4	I.3	I.3
g	I4.8	26.5	2I.I	9.7	24.4	I0.0	15.3	I7.5	I3.6	I8.4	I0.9	II.6	I0.I	8.7	I3.4	II.3	7.4	II.0	6.I
Q	-I5.4	-I5.2	-I4.3	-7.5	-I2.9	-I2.3	-I5.0	-I7.9	-II.4	-8.7	-I3.4	-I2.5	-5.I	-I4.I	-I2.8	-I2.0	-9.8	-I0.6	-II.5
a/c	0.8	I.0	I.0	I.4	0.9	0.7	0.9	0.5	0.7	0.8	0.9	0.9	0.8	0.8	I.0	I.1	0.7	I.4	I.3

Нормативный состав по методу CJPW

	I	2	3	4	5	6	7	8	9	10	II	I2	I3	I4	I5	I6	I7	I8	I9
il	2.I2	I.97	I.37	I.2I	I.97	I.52	I.97	I.82	I.82	I.2I	I.97	I.97	I.82	I.97	I.67	3.04	I.67	I.67	
mgt	7.4I	I2.97	8.I0	3.0I	I2.27	4.86	7.87	8.80	6.7I	7.18	4.86	5.33	3.94	5.33	9.03	6.55	4.40	6.25	3.24
ap	-	-	-	-	-	-	-	-	-	-	-	0.34	0.67	-	-	I.0I	-	-	
or	2.78	5.0	5.0	3.34	3.34	3.90	3.34	2.78	6.I2	0.56	5.57	5.57	7.24	6.68	5.00	5.00	2.23	5.00	7.79
ab	I8.35	23.07	25.27	24.I2	23.59	I7.30	I9.92	I9.40	I8.35	23.59	I8.35	2I.50	20.97	I5.20	I6.25	I9.40	I7.83	24.I2	23.59
an	35.60	30.87	34.2I	33.66	30.32	37.83	32.82	32.26	34.49	35.05	35.32	34.49	38.II	28.37	22.25	23.40	30.04	22.6I	24.20
ne	3.I3	0.85	I.70	8.52	-	I.14	2.56	I.42	-	I.99	4.26	I.42	-	-	-	-	-	-	-
wo	9.I8	I0.I0	5.58	4.4I	9.87	8.48	I0.I0	II.27	9.18	I3.59	9.06	8.94	5.23	9.06	9.52	9.99	6.74	I0.80	8.25
di	6.22	7.63	4.02	2.5I	6.32	5.I2	6.83	7.23	5.I2	9.74	5.I2	5.02	3.2I	6.93	7.33	7.43	4.92	7.93	5.72
en	I.72	I.45	I.06	I.72	2.90	2.90	2.5I	3.30	3.69	2.64	3.56	3.56	I.72	I.19	I.19	I.58	I.06	I.85	I.85
fo	8.86	4.36	7.18	6.I9	I.97	I0.I3	8.58	8.30	6.47	0.I4	6.89	7.32	5.63	I6.88	9.57	I2.I0	9.85	II.96	I3.37
fa	3.87	0.6I	I.63	5.7I	I.02	5.60	2.85	4.08	5.30	-	5.30	5.30	5.50	2.85	I.63	2.85	2.45	3.06	6.II
hy	-	-	-	-	3.8I	-	-	-	I.3I	-	-	-	3.5I	0.80	II.85	5.72	I2.75	I.10	0.90
fs	-	-	-	-	I.85	-	-	-	0.92	-	-	-	I.58	I.32	I.98	I.20	3.03	0.26	0.66
Σ	99.24	98.88	95.02	94.40	99.23	99.78	99.35	I00.66	99.48	95.69	I00.26	I00.42	98.80	97.25	97.42	97.29	99.35	96.8I	97.35

I - обр. 32д, с.Шаваршаван; 2 - обр. 5, ср.из 2 ан., с.Хаштарак; 3 - обр. 606, с.Параракар; 4 - обр. I57I, св г.Эльяк (автор Г.А.Туманян); 5 - обр. 6, с.Ачаджур; 6 - с.Хаштарак (данные П.Г.Продайвода); 7 - обр. 28I, с.Ачаджур; 8 - обр. I, ср. из 3 ан., с.Хаштарак; 9 - обр. II0, с.Ачаджур (автор М.А.Сатиан); 10 - обр. 573, с.Неркин Кармирахбюр; II - обр. 370, ср. из 2 ан., с.Хаштарак; I2 - обр. 33д, ср. из 2 ан., с.Шаваршаван; I3 - обр. 2040, с.Кохб (автор Г.А.Туманян); I4 - обр. 89/72, с.Баганис; I5 - обр. 8, ср.из 2 ан., г.Сатылмыш; I6 - обр. 20, ср. из 2 ан., там же; I7 - обр. 85/72, с.Баганис; I8 - обр. 203, г.Сатылмыш; I9 - обр. I03, зимовка Цакагехчи (автор Г.А.Туманян)



Фиг.44. Коэффициенты парной корреляции, рассчитанные для общей выборки пород верхнемеловой серии (90 анализов).

уменьшается доля A_n в плагиоклазе.

Отсутствие реакционных отношений между оливином и клинопироксеном, порядок кристаллизации фенокристаллов в рассматриваемых базальтах и определяемые этим порядком особенности химизма остаточной жидкости отвечают по экспериментальным данным Д.Х.Грина и А.Э.Рингвуда /106/ путем дифференциации щелочного оливинового базальта в условиях низкого давления (до 15 км).

2) Оливиновые долериты также являются недосыщенным кремнеземом породами, но по содержанию в норме оливина и гиперстена должны быть отнесены к оливиновым толейитам. От базальтов первой группы они резко отличаются высокой магнезиальностью, пониженной глиноземистостью и известковистостью, более низкими значениями величины DC , что позволяет сравнивать их с коматитами по /131/. Единственной интрапетитурической фазой в этих породах является оливин, обогащенный форстеритовым компонентом. Отделение и аккумуляция его фенокристаллов приводит к резкому обеднению базиса магнезией и обогащению кремнеземом, а также заметному возрастанию глинозема и щелочей.

Таблица 41

Некоторые петрохимические параметры пород базальтовой группы

	DJ	б	100·An / Ab+An	$\Sigma Fe /$ $\Sigma Fe + Mg$	$Fe_2O_3 /$ FeO	$Al_2O_3 /$ MgO	K_2O / Na_2O
I	24,26	4,7	66,0	0,40	0,33	0,94	0,II
2	28,92	5,8	57,2	0,50	0,65	I,20	0,I9
3	31,87	6,9	57,6	0,42	0,51	I,30	0,I6
4	38,98	I0,I	58,3	0,47	0,15	I,80	0,08
5	23,59	3,9	56,2	0,55	0,48	I,20	0,I3
6	23,04	8,6	68,6	0,28	0,20	0,92	0,I9
7	25,82	4,I	62,2	0,40	0,36	0,90	0,I3
8	23,60	3,2	62,4	0,45	0,33	0,86	0,II
9	24,47	2,8	65,3	0,49	0,22	I,06	0,3I
I0	26,I4	3,0	59,8	0,46	0,56	I,80	0,02
II	28,I8	3,8	65,8	0,47	0,19	I,26	0,20
I2	28,49	3,4	6I,6	0,47	0,20	I,I7	0,2I
I3	28,2I	2,8	64,5	0,46	0,16	I,29	0,33
ср.	28,89	4,2	59,2	0,48	0,3I	I,26	0,17
состав							
I4	2I,88	5,4	65,4	0,25	0,29	0,46	0,6I
I5	2I,25	2,I	57,7	0,28	0,44	0,36	0,29
I6	24,40	2,4	54,7	0,28	0,34	0,43	0,23
I7	20,06	I,3	62,8	0,25	0,2I	0,46	0,I2
I8	29,I9	2,9	48,5	0,30	0,33	0,53	0,20
I9	3I,38	2,8	50,06	0,3I	0,14	0,57	0,3I
ср.	24,40	2,3	56,6	0,28	0,28	0,46	0,24
состав							

Примечание: DJ = $\Sigma Ab + An + Ne$

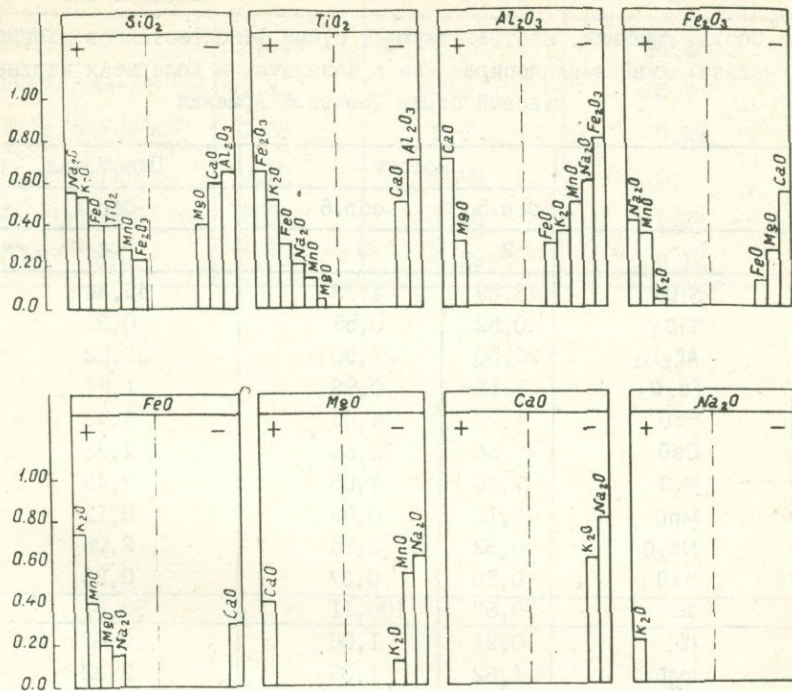
(вес % нормат.минералов)

по Торнтону и
Таттлу, /127/.

по А.Ритману

Остальные отношения рассчитывались по молекулярным количествам окислов.

$$б = \frac{(Na_2O + K_2O)^2}{SiO_2 - 43}$$



Фиг. 45. Коэффициенты парной корреляции породообразующих окислов в группе плагиоклаз-оливин-пироксеновых базальтов (29 анализов). Выборка включает составы фракций вкрапленников, валовых пород и основной массы.

При этом состав базиса остается недосыщенным SiO_2 . Таким образом, тот факт, что в описываемых долеритах на ранних стадиях интрапетиурической кристаллизации не появляются плагиоклаз (или клинопироксен) не изменяет в целом известково-щелочной тенденции дифференциации, но объясняет наблюдаемый резкий характер разделения тугоплавких и легкоплавких компонентов и, в частности, резкое возрастание параметра DJ . Существенно плагиоклаз-клинопироксеновый состав базиса данных долеритов отвечает установленной Д.Х.Грином и А.Э.Рингвудом для оливиновых толейитов последовательности появления фаз в условиях низкого давления, однако дифференциация в рассматриваемом наим случае не доходит до появления кварц-норматитовых составов.

Таблица 42

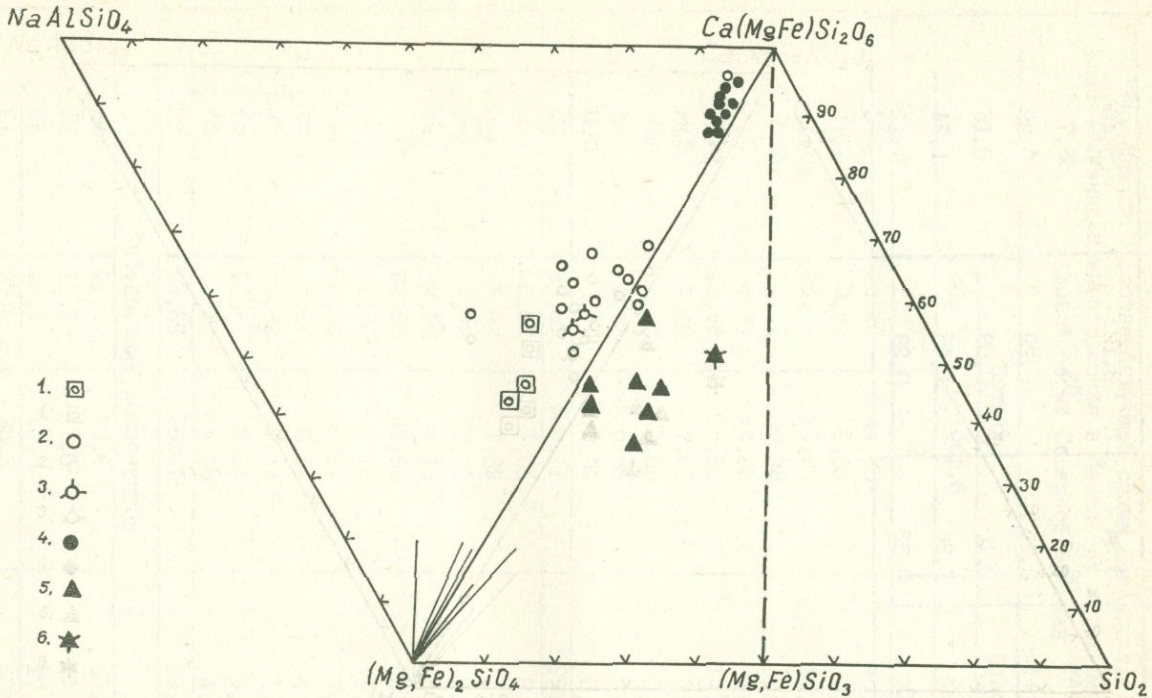
Состав фракции, соответствующей сумме фенокристаллов плагио-
клава+оливина+клинопироксена в базальтах и долеритах верхне-
меловой серии Северной Армении

	Потоки		Пласт.зал.	
	обр.5	обр.6		
	I	2	3	4
SiO ₂	43,29	44,03	45,34	
TiO ₂	0,52	0,55	0,32	
Al ₂ O ₃	25,53	25,90	23,52	
Fe ₂ O ₃	I,II	0,98	I,56	
FeO	4,77	4,65	4,79	
CaO	I5,56	I5,66	I4,33	
MgO	7,46	7,03	7,45	
MnO	0,12	0,09	0,12	
Na ₂ O	0,82	0,85	2,05	
K ₂ O	0,50	0,37	0,36	
Σ	99,67	I00,II	99,8I	
il	0,9I	I,06	0,6I	
mgt	I,62	I,39	2,32	
or	2,78	2,23	2,23	
ab	2,10	4,19	8,91	
an	64,53	65,64	53,68	
ne	2,56	I,70	4,26	
di	wo en	5,34 3,6I	5,II 3,4I	7,20 4,82
ol	fs fo fa	I,32 I0,4I 4,48	I,32 9,85 4,28	I,85 9,85 4,08
Σ	99,66	I00,I8	99,8I	

Соотношение компонентов

An	71,9	73,2	65,9
Di	I1,5	I1,0	I7,0
Ol	I6,6	I5,8	I7,I
Di	37,0	38,3	43,3
Ol	53,7	55,0	43,4
Ne	9,3	6,7	I3,3

I	2	3	4
Al	5,34	8,12	15,40
100-An / An+Ab	96,8	93,9	85,7
Σ Fe / Σ Fe+Mg	0,28	0,29	0,29
Fe ₂ O ₃ / FeO	0,10	0,09	0,15
Al ₂ O ₃ / MgO	1,36	1,45	1,24
K ₂ O / Na ₂ O	0,38	0,29	0,12

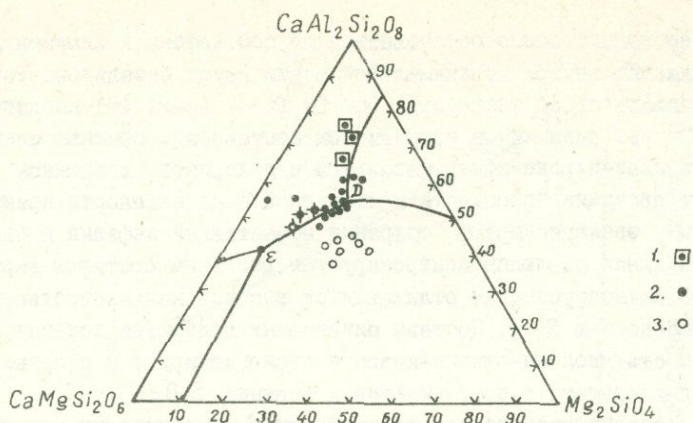


Фиг. 46. Нормативные составы равновозрастных базальтов верхнемеловой серии и их соотношения с составами фенокристаллов клинопироксена на диаграмме – развертке тетраэдра нефелин–диопсид–оливин–кварц. 1. Фракции, отвечающие сумме фенокристаллов; 2. Оливин–плагиоклаз–пироксеновые базальты и долериты; 3. Их базис; 4. Вкрапленники клинопироксена в них; 5. Оливиновые долериты; 6. Их базис.

Необходимо особо остановиться на соотношениях химизма двух выделяемых внутри верхнемеловой серии групп базальтов. Разворотка "базальтового тетраэдра" $\text{Ne}-\text{Di}-\text{O}_2-\text{Q}$ (фиг. 46) наглядно иллюстрирует различия в нормативном составе их. Составы оливин-плагиоклаз-пироксеновых базальтов и долеритов, ложащиеся влево от проекции "плоскости критической недосыщенности кремнеземом", эволюционируют, сохраняя нормативный нефелин в базисе. Такая линия эволюции контролируется реальным составом вкрапленников клинопироксена; отличающихся высокой кальциевостью и недосыщенностью SiO_2 . Составы оливиновых долеритов ложатся на плоскость диопсид-оливин-кварц и эволюционируют к стороне диопсид-энstatит, т.е. смещаются к вершине SiO_2 .

Проанализируем теперь особенности кристаллизации описываемых базальтов, сравнивая их с ходом кристаллизации в экспериментально изученных искусственных системах. На разрезе форстерит-диопсид-анортит системы $\text{Ab}_2\text{O}_3-\text{CaO}-\text{MgO}-\text{SiO}_2$ (фиг. 47) фигуративные точки валовых составов оливиновых долеритов отчетливо располагаются в поле надэвтектической кристаллизации форстерита, а состав их базиса за счет одновременного возрастания анортитового и диопсидового компонентов смещается к кривой, разделяющей поля анортита и форстерита. Начальные точки оливин-плагиоклаз-пироксеновых базальтов и долеритов, как и точки их базиса, располагаются вдоль этой кривой, что объясняет кристаллизацию вкрапленников плагиоклаза на ранних этапах. Относительно валовых составов составы базиса этих базальтов смещаются вдоль DE к тройной эвтектической точке, при этом возрастает диопсидовый компонент и убывает анортитовый. Составы, отвечающие сумме твердых фракционатов, располагаются в поле анортита и отчетливо смещены к полю шпинели.

На диаграмме диопсид-альбит-анортит (фиг. 48) фигуративные точки обеих групп базальтов верхнемеловой серии располагаются в плагиоклазовом поле. Отмечается, что валовые составы оливин-плагиоклаз-пироксеновых базальтов образуют сгущение вокруг изобары, соответствующей условиям кристаллизации при $P_{\text{H}_2\text{O}} \sim 5$ кбар. Составы базиса этих пород отчетливо смещены к стороне $\text{Ab}-\text{Di}$; фракции, отвечающие сумме фенокристаллов, резко сдвинуты к анортитовому углу диаграммы. Одновременно точки составов оливиновых долеритов, отвечая в целом кристаллизации в более "сухих" условиях, располагаются ближе к линии E_1, E_2 . Состав базиса этих пород отклоняется к альбитовому углу диаграммы.



Фиг. 47. Составы разновозрастных базальтов верхнемеловой серии на диаграмме форстерит-анортит-диопсид. 1. Фракции вкрапленников; 2. Оливин-плагиоклаз-пироксеновые базальты и долериты; 3. Оливиновые долериты. Крестики соответствуют составам базиса.

Рассмотрение приведенных диаграмм позволяет подчеркнуть следующие особенности, имеющие важное значение для обсуждения петрогенезиса рассмотренных двух групп базальтов:

- От исходных различий в составе породообразующих, а также флюидных компонентов кристаллизующегося расплава зависит направление последующего фракционирования. Кристаллизация обогащенных водородно-водной флюидной фазой оливин-плагиоклаз-пироксеновых базальтов начинается с выделения Mg-Fe оливинов, и расплав достигает граничной кривой между полями анортита и форстерита уже в интрапеллурическую стадию. Кристаллизация более "сухих" оливиновых долеритов также начинается с выделения оливинов, но существенно магнезиального, и расплав достигает упомянутой граничной кривой лишь в эфузивную стадию;
- Дальнейшее фракционирование идет в обоих случаях с убыванием форстеритового компонента. Оно приводит к появлению остаточных жидкостей, в разной степени недосыщенных кремнеземом;
- Состав этих жидкостей приближается к котектике пироксен-плагиоклаз.

Таблица 43

Химический состав, числовые характеристики и нормативный состав андезито-базальтовой и андезитовой группы пород верхнемеловой вулканической серии Северной Армении

	Гиперстеновые андезито-базальты				Двутироксеновые андезито-базальты					Плагиоклазовые андезиты						Плагиоклаз-роговообманковые и цироксен-роговообманковые андезиты				
	20	21	22	23	24	25	26	27	28	29	30	31	32	33	34	35	36	37	38	
SiO ₂	53.09	55.24	56.60	57.93	52.59	53.16	53.47	54.10	54.48	58.37	58.49	59.75	60.48	62.05	62.07	59.85	63.60	63.72	63.97	
TiO ₂	0.60	0.52	0.78	I.03	0.92	0.72	0.78	0.80	0.95	0.81	0.54	0.90	0.83	0.42	0.42	0.75	0.58	0.60	0.63	
Al ₂ O ₃	20.15	19.97	I7.02	I6.40	I7.87	I8.II	I6.90	I5.94	I3.15	I5.60	I6.23	I6.93	I5.53	I7.7I	I4.65	I6.42	I8.18	I5.60	I4.67	
FeO	2.33	3.77	3.70	3.58	4.64	3.88	2.90	5.24	5.78	5.70	2.48	3.80	4.39	2.61	3.95	4.05	2.49	3.75	2.05	
MnO	0.14	0.24	0.15	0.16	0.19	0.12	0.06	0.16	0.11	0.29	0.08	0.15	0.16	0.07	0.08	0.33	0.08	0.12	0.60	
MgO	4.45	3.67	3.16	4.29	4.81	I.30	2.70	3.62	5.15	2.29	3.88	2.72	I.95	2.47	I.3I	4.37	I.35	I.98	I.72	
CaO	9.50	8.10	6.95	4.81	8.17	7.76	7.60	7.71	7.76	6.06	6.48	6.51	4.20	3.02	6.54	5.57	5.41	5.72	5.62	
Na ₂ O	2.66	2.92	2.54	4.50	2.12	2.62	3.55	2.61	3.50	4.46	4.48	2.87	4.71	5.50	3.75	3.01	3.01	3.27	3.43	
K ₂ O	0.46	I.03	I.48	0.27	I.84	2.76	I.90	2.04	I.30	0.95	I.7I	0.41	I.10	0.32	I.19	0.97	I.59	I.72	I.57	
H ₂ O	0.40	-	0.12	0.48	0.42	-	0.76	0.28	0.43	0.44	0.66	0.59	0.64	0.57	0.81	0.86	-	0.38	0.98	
n. n. n.	I.40	I.48	I.50	3.43	2.18	5.50	4.95	2.12	0.26	I.24	I.05	0.86	0.94	2.41	I.68	0.77	0.92	0.25	I.27	
P ₂ O ₅	-	-	-	0.17	-	-	-	-	-	-	0.23	-	0.52	-	-	-	0.42	-		
Σ	I00.24	I00.78	99.54	I00.71	I00.42	I00.89	99.70	99.14	99.47	99.08	99.74	99.50	99.94	I00.19	99.75	99.93	I00.21	I00.82	99.49	

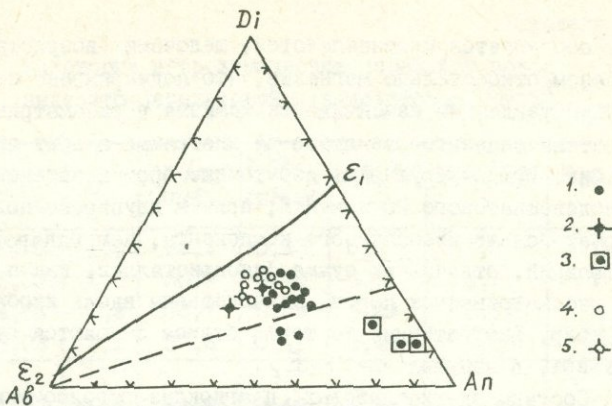
Числовые характеристики (по А.Н.Заваринскому)

a	7.0	8.4	8.2	I0.7	I7.6	I0.9	I3.9	I9.0	9.4	II.6	I2.5	7.2	I2.3	I2.5	I0.3	8.2	9.2	9.7	I0.2
c	II.0	I0.0	7.9	6.0	8.9	8.0	5.0	6.8	4.0	4.9	4.7	8.4	4.5	3.7	4.9	6.9	6.8	5.6	4.9
b	I6.8	I4.5	I5.8	I4.5	I9.5	I3.7	I6.4	I9.1	25.0	I4.8	I5.3	I2.2	I2.3	I2.8	I2.3	I4.8	8.9	II.3	I0.2
s	65.2	67.1	68.1	68.8	64.0	67.4	64.7	65.1	61.6	68.7	67.5	72.2	70.9	71.0	72.5	70.1	75.1	73.4	74.7
f'	43.9	52.0	57.3	47.8	47.4	65.0	4I.2	49.4	44.3	54.7	35.7	60.4	67.2	36.2	55.1	46.5	59.5	57.6	51.7
m'	47.8	45.0	36.4	5I.7	44.1	I7.5	29.4	34.1	34.4	26.9	42.9	39.6	27.2	3I.9	I8.2	50.7	27.0	30.3	28.6
c'	8.3	3.0	6.3	0.5	8.5	I7.5I	29.4	I6.5	2I.3	I8.4	2I.4	-	5.6	-	26.7	-	-	I2.1	I9.7
a'	-	-	-	-	-	-	-	-	-	-	-	-	-	3I.9	-	2.8	I3.5	-	-
n	89.6	8I.0	72.0	96.0	64.1	58.3	58.7	66.6	80.0	86.7	80.2	92.0	88.6	96.7	82.4	8I.4	73.8	74.6	74.0
t	0.9	0.6	I.1	I.3	I.2	I.0	I.1	I.1	I.3	I.0	0.7	I.1	0.9	0.5	0.9	0.9	0.7	0.7	0.7
γ	I2.2	27.9	20.9	22.2	2I.5	26.3	I5.8	24.7	I9.4	34.0	I4.3	28.4	I6.1	I7.0	28.4	24.0	25.4	29.1	I7.6
Q	+ 5.4	+ 7.4	+ II.9	+ I0.2	+ 3.9	+ 5.0	+ 6.6	+ 5.4	+ 0.4	+ 9.3	+ 5.3	+ 28.6	+ I2.7	+ I3.3	+ I9.5	+ I9.6	+ 25.0	+ 2I.8	+ 24.1
a/c	0.6	0.8	I.0	I.8	0.9	I.4	2.8	I.3	2.4	2.4	2.7	0.9	2.7	3.4	2.1	I.2	I.4	I.7	2.08

Нормативный состав по методу CJPW

	20	21	22	23	24	25	26	27	28	29	30	31	32	33	34	35	36	37	38
i ₂	I.2I	0.9I	I.52	I.97	I.67	I.37	I.52	I.52	I.82	I.52	I.06	I.67	I.52	0.76	0.76	I.52	I.2I	I.2I	I.2I
mgt	3.24	0.56	5.33	5.33	6.7I	5.56	4.17	7.64	8.34	6.7I	3.70	5.56	6.48	3.70	5.79	6.02	3.70	5.56	3.0I
ap	-	-	-	0.34	-	-	-	-	-	-	0.34	-	I.35	-	-	-	I.0I	-	
or	2.78	6.12	8.90	I.67	I0.57	I6.70	II.13	II.69	7.79	6.12	I0.02	2.23	6.68	I.67	7.24	6.12	9.46	I0.02	I0.57
ab	22.50	24.64	2I.50	38.27	I7.83	22.02	29.89	22.02	29.36	37.75	38.27	24.12	39.85	46.66	3I.98	25.17	25.17	27.79	28.3I
an	4I.72	38.38	30.60	23.09	34.2I	29.48	24.76	25.87	I6.4I	I9.47	I8.9I	3I.43	I8.08	II.40	I9.47	27.54	26.40	22.8I	I9.75
cor	-	-	-	0.20	-	-	-	-	-	-	0.3I	-	4.38	-	0.3I	I.73	-	-	
wo	2.2I	0.70	I.63	-	2.67	3.72	5.46	5.II	9.18	4.53	5.58	-	I.16	-	5.46	-	2.2I	3.37	
en	I.3I	0.40	0.90	-	I.8I	2.2I	3.3I	3.5I	5.82	2.8I	3.8I	-	0.60	-	3.II	-	I.4I	I.7I	
fs	0.79	0.26	0.66	-	0.66	I.32	I.85	I.19	2.77	I.45	I.32	-	0.53	-	2.II	-	0.66	I.58	
Jen	9.74	8.63	7.03	I0.74	I0.14	I.00	3.4I	5.62	7.03	2.9I	5.82	6.73	4.22	6.02	0.20	I0.84	3.4I	3.6I	2.5I
Jfs	5.67	2.77	5.28	2.24	2.90	3.56	I.98	4.22	3.03	I.06	I.85	2.24	2.37	I.85	0.13	0.79	2.5I	I.19	0.92
q	6.49	I0.27	I4.24	I3.09	8.59	8.4I	6.6I	9.67	7.09	I3.15	9.43	23.13	I6.15	I9.35	2I.2I	I9.82	25.45	23.18	23.72
Σ	97.7I	98.64	97.89	96.94	97.76	95.35	94.09	98.06	98.64	97.48	99.77	97.76	97.64	97.32	97.46	98.13	99.34	I00.66	99.66

20 - обр. 26д, с.Кохб (автор Э.Г.Малхасян); 21 - обр. 26, с.Кохб; 22 - обр. 57I, с.Кохб (автор М.А.Сатиан); 23 - обр. I597, с.Кохб (автор Г.А.Туманян); 24 - обр. 479, с.Саригюх (автор М.А.Сатиан); 25 - обр. 474, с.Саригюх (автор Г.А.Туманян); 26 - обр. I9д, с.Саригюх; 27 - обр. I99, с.Саригюх; 28 - обр. 7, ср. из 2 ан., с.Саригюх; 29 - обр. 56I, с.Товуз; 30 - обр. I48, с.Куши-Айрум; 31 - обр. 5I/72, с.Комкотан; 32 - обр. 553, с.Товуз; 33 - обр. I42/72, г.Эльдаг; 34 - обр. 752, с.Мазамлы; 35 - обр. 4Ia, с.Ачаджур; 36 - обр. 46, г.Шиш-Тапа; 37 - обр. 30, г.Шор-Ахор; 38 - обр. 79, ср. из 2 ан., г.Шиш-Тапа.



Фиг. 48. Составы разновозрастных базальтов верхненемеловой серии на диаграмме альбит-анортит-диопсид. E_1E_2 - линия эвтектики при $P_{H_2O} = 1$ кбар; пунктирная линия - изобара при $P_{H_2O} = 5$ кбар по /123/. 1. Оливин-плагиоклаз-пироксеновые базальты; 2. Их базис; 3. Фракции вкрапленников в них; 4. Оливиновые долериты; 5. Их базис.

3) Группы пород, отвечающие гиперстеновым и двупироксеновым андезито-базальтам, характеризуются насыщенностью SiO_2 , высокой известковистостью и глиноземистостью. При невысокой щелочности эти особенности их химизма находят отражение в парагенезисе фенокристаллов, представленном плагиоклазом повышенной основности, алюмогиперстеном и собственно авгитом. Вариации окислов в рассматриваемых андезито-базальтах сравнительно невелики и определяются различиями между гиперстеновыми и двупироксеновыми разностями, которые сохраняются также в составах их базиса. Гиперстеновые разности имеют более высокую кремнекислотность и магнезиальность и это обстоятельство определяет количественное преобладание вкрапленников гиперстена над клинопироксеном. Кроме того, при равных значениях железистости фенокристаллы гиперстена и клинопироксена в гиперстеновых разностях имеют более высокую степень насыщенности SiO_2 .

Составы фракций, отвечающих сумме фенокристаллов плагиоклаза, гиперстена и авгита (табл. 45) недосыщены кремнеземом и особенно обогащены аортитовым и энстатитовым компонентами. После выделения твердых фракционатов остаточный состав

резко обогащается кремнекислотой, щелочами (возрастание $\text{Д}\text{J}$) и железом относительно магнезии, что подчеркивает известково-щелочную тенденцию изменчивости химизма в рассматриваемом ряду.

Составы андезито-базальтов на диаграмме альбит-анортит-диопсид (фиг. 49) обнаруживают избыточные против эвтектики содержания полевошпатового компонента, причем двутироксеновые разности содержат больше диопсидового компонента, чем гиперстеновые. Состав фракций, отвечающих сумме фенокристаллов, как и валовые составы рассматриваемых пород, локализованы вдоль изобары с $P_{\text{H}_2\text{O}} \sim 5$ кбар, фигуративные же точки базиса смещаются от этой линии вверх, в направлении $E_1 E_2$.

4) Составы плагиоклазовых, плагиоклаз-рогообманковых и тироксен-рогообманковых андезитов обнаруживают резкое возрастание кремнекислотности, отношения Fe / Mg и щелочности, особенно натриевой. Следствием этого является кристаллизация более кислого плагиоклаза во вкраепленниках, ассоциирующего с кальциевым амфиболом. Вариации в содержании окислов в рассматриваемой группе связаны с возрастанием SiO_2 , K_2O , убыванием магнезии в направлении от плагиоклазовых к плагиоклаз-рогообманковым разностям (фиг. 43). Соответствующая сумме фенокристаллов плагиоклаза и роговой обманки фракция (табл. 45), хотя и недосыщена кремнеземом, но характеризуется резким сокращением количества нормативных оливина и гиперстена. Кроме того, в ней резко возрастает содержание альбитового и ортоклазового компонентов (параметр $\text{Д}\text{J}$). В результате выделения этих твердых фракционатов в составе основной массы происходит резкое увеличение щелочей, особенно K_2O , и глиноземистости, вызывающее появление в норме корунда.

На диаграмме Ab-An-Di (фиг. 49) начальные точки описываемых пород также располагаются в поле плагиоклаза, вблизи изобары с $P_{\text{H}_2\text{O}} \sim 5$ кбар, но резко смещены к альбитовому углу. Состав базиса, не отраженный на данной диаграмме, отчетливо сдвигнут уже в сторону тройной кварц-полевошпатовой эвтектики.

Химизм кислых эфузивов верхнемеловой серии варьирует в широких пределах, особенно по щелочности и кремнекислотности. Рассмотрим эти вариации для различных комплексов в отдельности.

5) Группы пород, отвечающие плагиоклаз-рогообманковым липарито-дацитам, липаритам и гиперстен-рогообманковым перлитам (дагитам) формировались в указанной, т.е. антидромной возрастной последовательности, что уже было показано в главе I.

Таблица 44

Некоторые петрохимические параметры пород андезито-базальтовой и андезитовой групп^X

	δJ	б	100·An / An+Ab	ΣFe / ΣFe+Mg	Fe ₂ O ₃ /FeO	Al ₂ O ₃ /MgO	K ₂ O/Na ₂ O
20	3I,82	I,0	64,9	0,43	0,19	I,80	0,12
21	4I,03	I,3	60,9	0,46	0,45	2,I7	0,23
22	44,64	I,2	58,7	0,56	0,29	2,II	0,39
23	53,03	I,5	37,6	0,41	0,45	I,50	0,04
Средн. состав	43,43	I,2	54,8	0,46	0,33	I,86	0,17
24	36,99	I,6	65,7	0,45	0,43	I,48	0,56
25	47,I3	2,9	57,2	0,74	0,35	5,56	0,71
26	47,63	2,8	45,3	0,53	0,32	2,50	0,35
27	43,38	I,9	54,0	0,51	0,52	I,7I	0,50
28	44,24	2,0	35,9	0,50	0,39	I,10	0,25
Средн. состав	44,92	2,2	5I,5	0,53	0,41	I,85	0,45
29	57,02	I,9	34,0	0,57	0,90	2,68	0,15
30	57,72	2,4	33,I	0,40	0,34	I,66	0,25
31	49,48	0,6	56,6	0,53	0,46	2,47	0,10
32	62,68	I,9	3I,2	0,65	0,47	3,19	0,16
33	67,66	I,7	I9,6	0,46	0,46	2,90	0,05
34	60,43	I,3	37,8	0,69	0,54	4,5	0,21
Средн. состав	59,05	I,5	37,8	0,55	0,5I	2,67	0,14
35	5I,II	0,9	52,2	0,39	0,6I	I,49	0,23
36	60,08	I,0	5I,5	0,63	0,38	5,20	0,35
37	60,98	I,2	45,I	0,58	0,52	3,06	0,34
38	62,60	I,2	4I,I	0,56	0,33	3,42	0,35
Средн. состав	60,76	I,2	48,I	0,58	0,40	3,86	0,35

Примечание: Σ $\Delta J = Ab + Or + Q$ (вес.% норм.минералов).

Таблица 45

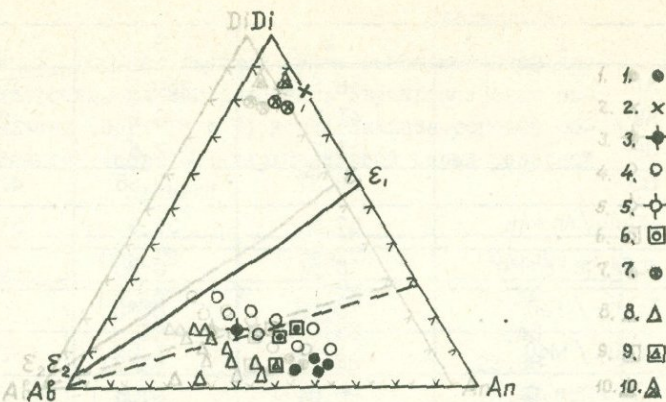
Состав фракции, соответствующей сумме фенокристаллов пла-
гиоклаза+гиперстена+клинопироксена в двутироксеновых ан-
дезито-базальтах (обр. I9 и 7) и плагиоклаза+роговой об-
манки в андезитах (обр. 30) верхнемеловой серии Северной
Армении

	обр. I9	обр. 7	обр. 30
SiO ₂	52,63	53,48	53,55
TiO ₂	0,27	0,20	0,43
Al ₂ O ₃	19,23	19,08	22,86
Fe ₂ O ₃	I,I2	0,99	2,43
FeO	5,33	5,21	2,88
CaO	10,76	9,72	10,01
MgO	7,38	7,23	3,50
MnO	0,18	0,22	0,05
Na ₂ O	3,21	3,76	4,60
K ₂ O	0,22	0,34	0,42
Σ	100,33	100,23	100,71
il	0,76	0,46	0,76
mgt	I,62	I,39	3,47
op	I,II	I,67	2,23
ab	27,26	3I,98	38,80
an	37,27	34,49	40,89
di	{ wo 6,74 en 4,22 fs 2,II	5,69 3,5I I,85	3,60 2,5I 0,79
ol	{ fo 2,II fa I,02	3,24 I,83	0,99 0,4I
hy	{ en 10,84 fs 5,28	9,44 4,62	4,72 I,45
Σ	100,34	100,17	100,62

Соотношение компонентов

An	48,0	44,5	47,2
Ab	35,I	4I,2	44,8
Di	I6,9	I4,3	8,0

I	2	3	4
An	56,8	50,6	49,9
Ab	41,5	46,9	47,4
Or	1,7	2,5	2,7
TJ	28,37	33,65	41,3
100-An / An + Ab	57,8	51,9	51,3
$\Sigma Fe / \Sigma Fe + Mg$	0,31	0,30	0,39
Fe_2O_3 / FeO	0,09	0,08	0,38
Al_2O_3 / MgO	1,03	1,04	2,59
K_2O / Na_2O	0,04	0,05	0,05



Фиг. 49. Составы андезито-базальтов и андезитов верхнемеловой серии на диаграмме альбит-аортит-диопсид: 1) гиперстеновые андезито-базальты; 2) состав вкрапленников клинопироксена в них; 3) их базис; 4) двутироксеновые андезито-базальты; 5) их базис; 6) фракции вкрапленников в них; 7) нормативный состав вкрапленников клинопироксена в них; 8) андезиты; 9) фракции вкрапленников в них; 10) нормативный состав вкрапленников клинопироксена в них.

Их составы обнаруживают резко выраженный натровый характер с вариациями SiO_2 в пределах 72–64%. Это пересыщенные кремнеземом породы со сравнительно высокой известковистостью и пониженным содержанием глиноэзма, что в липарито-дацитах выражается в появлении нормативного диопсида. Парагенезис фенокристаллов этих групп представлен плагиоклазом и кальциевой роговой обманкой; в перлитах поздних даек к ним присоединяется гиперстен. Составы порфировых вкрапленников обнаруживают резкие изменения в связи с изменением химизма вмещающих пород. От липарито-дацитов и липаритов к перлитам уменьшаются индекс дейкократовости, глиноэзмистость и отношение Fe/Mg , возрастает кальциевость. В том же направлении содержание An в плагиоклазе возрастает от 25 до 40%. Во вкрапленниках магнетит заметно возрастает содержание ульвошинелевого компонента. Изменение же состава фенокристаллов роговой обманки имеет сложный характер, поскольку в крайних дифференциатах во

Таблица 46

Химический состав, числовые характеристики и нормативный состав группы кислых пород верхнемеловой вулканической серии Северной Армении

	Роговообманковые дапиты, липарито-дапиты, липариты и гиперстен-роговообманковые вулканические стекла													Биотитовые дапиты, липариты, вулканические стекла и биотит-санидиновые липарито-траплиты									Кварцевые липариты			
	39	40	4I	42	43	44	45	46	47	48	49	50	5I	52	53	54	55	56	57	58	59	60	6I	62	63	64
SiO ₂	63.70	65.89	66.40	67.18	67.26	68.90	69.22	69.27	70.47	70.80	71.79	72.40	65.99	66.42	68.03	68.16	69.17	69.45	69.50	70.14	70.28	70.47	72.50	75.36	75.59	67.46
TiO ₂	0.36	0.45	0.42	0.11	0.45	0.37	0.25	0.59	0.22	0.45	0.42	0.38	0.36	0.43	0.11	0.27	0.29	0.06	0.15	0.26	0.20	0.31	0.15	0.17	0.13	0.31
Al ₂ O ₃	15.74	15.05	14.85	15.39	13.61	15.40	14.38	14.83	14.37	14.62	14.78	13.69	14.08	15.02	15.72	14.03	15.85	16.75	15.50	16.74	13.67	13.13	14.50	12.89	12.35	14.56
Fe ₂ O ₃	2.09	2.67	2.42	1.45	3.12	2.68	1.67	0.19	2.96	2.29	1.58	2.05	4.38	4.55	2.61	2.19	2.05	1.73	0.65	0.58	2.28	2.08	0.80	0.95	0.90	3.65
FeO	0.73	2.24	2.20	1.22	3.64	0.83	1.35	2.44	0.57	0.56	0.21	1.20	0.21	0.35	0.42	0.71	0.56	0.86	0.36	1.42	0.98	0.44	0.36	0.20	0.12	0.33
MnO	0.05	0.11	0.12	0.05	0.07	0.05	0.16	0.07	0.07	0.03	0.05	0.07	0.05	0.05	0.11	0.02	0.02	0.19	0.03	0.04	0.05	0.04	0.02	-	0.07	0.01
MgO	1.23	0.90	0.96	1.04	0.71	0.83	1.37	0.50	0.63	0.45	0.27	0.46	1.20	0.62	0.61	0.76	1.00	0.32	0.90	0.60	0.38	0.40	0.60	0.80	0.71	
CaO	3.66	3.10	3.00	2.20	3.51	0.89	2.36	2.45	2.25	2.29	1.68	2.63	4.20	4.37	1.74	1.26	1.37	2.13	1.62	2.17	1.41	1.29	2.08	1.54	1.31	2.13
Na ₂ O	3.70	4.10	4.32	4.54	4.60	4.98	4.67	4.40	4.62	3.70	4.88	4.04	4.21	4.11	4.35	4.16	3.96	3.30	3.30	3.60	3.30	3.93	4.76	3.50	3.58	2.47
K ₂ O	3.63	1.15	1.75	4.24	2.30	4.32	2.96	3.20	2.68	2.80	2.38	2.08	2.32	2.45	4.90	5.60	5.12	4.40	4.52	4.20	3.80	4.11	2.94	2.81	3.44	6.10
H ₂ O	1.00	0.72	1.02	0.83	0.13	0.29	0.79	0.70	0.48	0.49	0.17	0.35	0.35	0.43	0.35	0.23	0.75	-	4.40	-	0.36	4.12	1.50	0.10	0.17	0.34
n.n.n.	4.62	4.47	3.50	1.59	1.14	0.95	1.03	2.14	0.47	2.28	1.25	1.53	1.27	0.23	1.88	0.60	0.28	-	0.20	3.84	-	I.26	I.22	I.82		
P ₂ O ₅	-	-	-	-	-	-	-	-	-	-	-	-	-	-	-	-	-	-	-	-	-	-	-	-	-	-
Σ	100.51	100.85	100.96	99.64	100.47	100.51	100.70	100.97	99.79	100.80	100.50	100.60	99.29	100.65	99.34	99.12	100.50	100.25	100.35	100.35	100.77	100.20	100.11	99.38	99.68	99.89

Числовые характеристики (по А.Н. Заваринскому)

a	I4.0	II.0	I2.2	I6.2	I3.2	I6.9	I4.5	I4.3	I3.8	I2.2	I4.0	II.8	I2.8	I2.7	I6.7	I7.3	I5.8	I3.2	I4.1	I3.6	I2.6	I4.8	I4.5	II.5	I2.4	I4.5	
c	4.0	3.8	3.8	2.3	2.4	I.1	2.7	2.7	2.8	2.0	3.1	3.2	3.6	2.1	0.7	I.7	2.5	2.0	I.7	I.3	2.3	I.9	I.5	2.6			
b	5.6	8.1	6.5	4.7	8.9	5.0	5.3	3.8	4.4	4.9	3.5	3.8	6.1	3.8	4.5	5.3	7.7	3.1	6.2	6.1	3.2	2.1	2.8	2.9	4.7		
s	76.4	77.1	77.5	76.8	75.5	77.0	77.5	79.2	80.1	80.5	81.3	76.4	75.6	77.4	77.5	77.2	76.6	80.8	77.6	79.6	80.7	81.1	83.9	83.2	78.2		
f'	47.5	56.9	66.7	52.9	66.6	61.3	53.2	69.0	72.3	52.0	46.1	77.2	55.4	54.6	69.1	58.2	44.3	31.9	34.1	29.6	47.7	71.8	54.8	35.7	31.8	75.0	
m'	39.7	I9.0	24.7	38.3	I2.9	26.7	44.3	21.9	23.1	I5.1	I1.5	I9.3	I8.2	I0.4	27.3	20.9	22.8	I1.6	I5.9	23.4	I6.7	I1.7	32.3	35.7	45.5	25.0	
c'	I2.8	-	-	8.8	20.5	-	2.5	9.1	4.6	-	-	26.4	I6.3	-	20.9	-	-	-	-	-	-	6.5	I2.9	-	-	-	
a'	-	24.1	8.6	-	-	I2.0	-	-	32.9	42.4	3.5	-	-	3.6	-	32.9	46.5	50.0	47.0	35.6	-	-	28.6	22.7	-	-	-
n	6I.2	83.5	78.5	6I.9	75.5	63.5	70.4	67.5	7I.8	66.6	76.0	76.0	7I.0	57.3	53.5	54.2	57.9	52.5	56.2	57.0	59.3	66.7	65.1	6I.7	38.I		
t	0.5	0.5	0.5	0.1	0.5	0.4	0.3	0.4	0.3	0.5	0.4	0.4	0.5	-	0.4	0.3	0.1	0.2	0.3	0.3	0.2	0.2	0.2	0.4			
g	33.3	29.3	32.2	26.5	28.8	45.3	27.8	3.6	58.5	38.3	38.4	45.6	25.5	48.7	58.1	20.9	32.9	I9.0	I8.2	8.5	31.I	56.5	32.3	28.6	27.3	67.6	
Q	+20.8	+28.4	+16.8	+18.9	+22.2	+I9.1	+23.3	+27.1	+28.2	+33.0	+21.0	+35.9	+24.0	+22.2	I9.3	+I9.7	+2I.1	+24.3	+3I.4	+25.4	+32.3	+50.5	+30.9	+42.8	+40.I	+24.8	
a/c	3.5	2.9	3.2	7.0	5.5	I5.4	5.4	5.3	5.3	4.3	7.0	3.8	4.0	3.4	7.9	24.7	9.3	5.3	7.0	5.2	7.4	I1.1	6.3	6.2	8.3	5.6	

Нормативный состав по методу ССРВ

	39	40	4I	42	43	44	45	46	47	48	49	50	5I	52	53	54	55	56	57	58	59	60	6I	62	63	64

<

вкрапленниках появляется более тугоплавкая фаза — гиперстен. В соответствии с этим в роговой обманке возрастают степень насыщенности SiO_2 и щелочность, убывает магнезиальность.

Состав фракции, соответствующей сумме фенокристаллов плагиоклаза и роговой обманки в липарито-дапитах, и плагиоклаза, роговой обманки и гиперстена в перлитах (табл. 49), характеризуется появлением нормативного кварца, высоким содержанием эн-статитового и альбитового компонентов. Кристаллизация этих твердых фракционатов приводит к закономерному обогащению остаточного состава легкоплавким компонентом (Дж.), слабому возрастанию Fe/Mg отношения и увеличению роли K_2O в сумме щелочей. Та же направленность дифференциации прослеживается при рассмотрении зависимости между пордообразующими окислами в ряду от состава твердых фракционатов через валовые составы до составов базиса (фиг. 50). Приведенные данные указывают, что сильную положительную связь SiO_2 обнаруживает только с K_2O ; связи между кремнеземом и Al_2O_3 , FeO , CaO , MgO , а также с Na_2O — сильные отрицательные. Кроме того, обращает на себя внимание отсутствие корреляции между Na_2O и K_2O , а также положительные связи Na_2O с Al_2O_3 , CaO и MgO .

6) Группы пород, входящие в комплекс биотитсодержащих кислых эфузивов, формировались в возрастной последовательности биотит-плагиоклазовые обсидианы → липариты → биотит — санидиновые липарито-трахиты (и кварц-биотитовые дапиты). Этот ряд имеет калиевый характер и характеризуется убыванием SiO_2 (от 70 до 60%). Породы относятся к пересыщенным кремнеземом и глиноземом разностям со сравнительно низкой известковистостью. Ассоциация порфировых вкрапленников в них представлена кислым плагиоклазом и биотитом промежуточного типа между изоморфными рядами истонит-сидерофиллит и флогопит-аннит. В крайних дифференциатах появляются санидин (липарито-трахиты) или кварц с высокомагнезиальным клинопироксеном (дапиты). В составе вкрапленников плагиоклаза с изменением химизма от липаритов и обсидианов к липарито-трахитам несколько убывает содержание An . Составы же биотита варьируют с возрастанием железистости и глиноземистости, что определяется возрастанием калиевой щелочности пород в конце данного ряда. Более сложные изменения устанавливаются для биотита из кварц-биотитовых дапитов, в которых щелочность, напротив, убывает, но появляется тугоплавкая магнезиальная фаза — клинопироксен. В связи с этим

Таблица 47

Некоторые петрохимические параметры пород группы рогово-обманковых даситов, липарито-даситов, перлитов и липаритов

	Mg	G	$100 \cdot \text{An} / (\text{An} + \text{Ab})$	$\Sigma \text{Fe} / (\Sigma \text{Fe} + \text{Mg})$	$\text{Fe}_2\text{O}_3 / \text{FeO}$	$\text{Al}_2\text{O}_3 / \text{MgO}$	$\text{K}_2\text{O} / \text{Na}_2\text{O}$
39	71,98	2,6	32,3	0,43	1,30	4,97	0,63
40	70,79	1,2	30,7	0,69	0,52	6,72	0,20
41	72,87	1,6	29,3	0,67	0,48	6,34	0,28
Средн. состав	72,00	1,4	30,0	0,67	0,52	6,50	0,24
42	81,63	3,2	19,3	0,50	0,53	5,80	0,93
43	75,82	2,0	20,1	0,80	0,38	7,82	0,32
44	87,90	3,3	9,6	0,58	1,54	7,55	0,57
Средн. состав	76,84	1,9	25,9	0,63	0,58	5,96	0,35
45	80,60	2,2	22,2	0,46	0,58	4,20	0,42
46	80,29	2,2	23,0	0,76	0,15	12,68	0,48
47	82,68	1,9	21,4	0,64	2,40	9,40	0,39
48	81,07	1,5	26,1	0,67	1,75	13,00	0,50
49	85,61	1,8	16,7	0,68	3,30	24,20	0,32
50	81,31	1,3	27,0	0,73	0,76	12,30	0,33
Средн. состав	83,84	1,9	20,4	0,63	0,73	9,60	0,40

Таблица 48

Некоторые петрохимические параметры пород группы биотитовых дацитов, липарито-дацитов, липаритов, биотит-санидиновых липаритов, кварцевых липаритов и трахиолипаритов

	Mg	Si	$100 \cdot \text{An} / (\text{An} + \text{Ab})$	$\Sigma \text{Fe} / \Sigma \text{Fe} + \text{Mg}$	$\text{Fe}_2\text{O}_3 / \text{FeO}$	$\text{Al}_2\text{O}_3 / \text{MgO}$	$\text{K}_2\text{O} / \text{Na}_2\text{O}$
51	73,63	1,9	26,4	0,62	7,00	6,90	0,35
52	72,81	1,8	30,3	0,54	4,83	4,90	0,41
Средн. состав	73,03	1,8	28,1	0,55	6,75	5,72	0,37
53	85,41	3,4	17,5	0,68	2,70	10,30	0,74
54	88,00	3,8	7,4	0,63	1,40	9,78	0,86
55	86,43	3,2	17,2	0,53	1,60	8,66	0,84
Средн. состав	86,87	3,4	15,2	0,56	1,75	8,94	0,81
56	81,16	2,2	27,5	0,51	0,92	6,60	0,87
57	83,75	2,3	22,5	0,59	0,67	21,7	0,91
58	81,85	2,2	26,3	0,52	0,22	7,45	0,78
59	82,96	1,8	20,0	0,65	1,00	8,90	0,75
60	86,45	2,3	14,2	0,66	2,10	12,80	0,69
61	86,27	2,0	19,0	0,52	0,83	14,20	0,40
Средн. состав	83,90	2,3	21,5	0,55	0,91	9,06	0,81
62	86,17	1,2	21,0	0,38	2,00	8,40	0,54
63	87,78	1,5	17,4	0,26	6,00	6,10	0,62
Средн. состав	87,31	1,4	18,7	0,35	2,00	7,29	0,58
64	81,22	3,00	33,5	0,62	6,40	8,41	1,63

Таблица 49

Состав фракции, соответствующей сумме фенокристаллов в группе кислых вулканических пород верхнемеловой серии Северной Армении

	Обр.15	Обр.13	Обр.10	Обр.49
I	2	3	4	5
SiO ₂	57,55	55,69	53,70	55,46
TiO ₂	0,23	0,23	0,67	0,64
Al ₂ O ₃	19,91	19,56	22,44	21,47
Fe ₂ O ₃	2,01	1,30	3,32	3,43
FeO	2,46	5,68	3,43	3,67
CaO	7,97	6,73	4,76	4,64
MgO	4,05	5,51	2,82	2,56
MnO	0,10	0,11	0,24	0,20
Na ₂ O	5,69	4,63	5,46	4,61
K ₂ O	0,40	0,58	2,88	3,30
Σ	100,37	100,02	99,72	99,98
il	0,46	0,46	1,37	1,21
mgt	2,78	2,08	4,86	4,86
or	2,23	3,34	17,25	19,48
ab	48,24	39,32	41,94	38,80
an	27,54	30,87	23,64	23,09
di	wo en fs	4,99 3,61 0,92	1,05 0,60 0,40	- - -
hy	en, fs	6,42 1,85	13,05 8,57	- -
ol	q cor fo fa ne	1,32 - - - -	0,36 - - - -	- 6,32 3,30 0,96 1,94 -
Σ	100,36	100,10	99,62	99,96

Соотношения компонентов

An	35,3	42,0	28,5	28,4
Ab	61,8	53,5	50,6	47,7
Or	2,9	4,5	20,9	23,9

I	2	3	4	5
Ab	93,0	91,3	-	65,5
Or	4,3	7,8	-	32,9
Q	2,7	0,9	-	1,6
Ab	-	-	68,2	-
Or	-	-	28,1	-
Ne	-	-	3,7	-
Si	51,79	43,02	61,46	59,24
100-An/An+Ab	36,3	44,0	36,0	37,3
$\Sigma Fe / \Sigma Fe + Mg$	0,32	0,39	0,50	0,54
Fe_2O_3 / FeO	0,35	0,10	0,45	0,39
Al_2O_3 / MgO	1,95	1,40	3,19	3,34
K_2O / Na_2O	0,04	0,08	0,35	0,47

Примечание: обр. I5 - роговообманковый липарит, плагиоклаз+роговая обманка; обр. I3 - гиперстен-роговообманковый перлит, плагиоклаз+гиперстен+роговая обманка; обр. IO - биотитовый обсидиан-перлит, плагиоклаз+биотит; обр. 49 - биотит-сандиновий липарит, биотит-сандин с учетом плагиоклаза (обр. 2042).

Таблица 50

Некоторые петрохимические параметры основных масс /базиса/
верхнемеловых вулканических пород Северной Армении

	ηJ	δ	100·An/ An+Ab	$\Sigma Fe /$ $\Sigma Fe+Mg$	$Fe_2O_3 /$ FeO	Al_2O_3 / MgO	K_2O / Na_2O
5	28,44	4,2	57,0	0,57	0,20	I,I8	0,19
I	37,40	5,5	43,2	0,51	0,25	I,I2	0,13
8	31,88	I,7	49,9	0,29	0,05	0,65	0,28
I9д	53,68	2,6	36,9	0,55	0,27	2,08	0,39
7	55,59	2,4	35,1	0,48	0,22	I,90	0,35
26д	55,98	2,1	39,1	0,54	0,33	2,69	0,35
30д	78,94	I,8	29,2	0,43	4,00	5,53	0,59
I3	78,52	I,6	24,0	0,51	3,25	8,06	0,22
I5д	92,37	3,7	2,9	0,59	-	8,40	0,55
I0	87,54	2,3	I0,7	0,43	-	7,18	0,74
49	91,70	3,7	I4,8	0,60	-	I8,75	I,I3
2042	89,25	2,7	I0,2	0,43	-	7,64	0,78
50д	82,14	2,0	25,2	0,62	I,I	I4,5	0,85

Таблица 5I

Средние химические составы индивидуальных групп эфузивов верхнемеловой
вулканической серии Северной Армении

	I	2	3	4	5	6	7	8	9	10	II	12	13	14
SiO ₂	46.24	47.28	55.71	53.56	60.20	63.76	66.15	67.78	70.66	66.21	68.45	69.93	75.45	67.46
TiO ₂	0.90	I.04	0.73	0.83	0.65	0.60	0.27	0.31	0.38	0.39	0.28	0.20	0.15	0.31
Al ₂ O ₃	I8.15	I3.98	I8.38	I6.39	I6.10	I6.50	I5.12	I4.58	I4.84	I4.55	I5.47	I5.67	I2.62	I4.56
Fe ₂ O ₃	4.93	4.02	3.35	4.49	3.82	2.76	2.54	2.41	I.79	4.28	2.26	I.56	0.92	3.65
FeO	7.09	6.35	4.53	4.97	3.35	3.05	2.22	I.90	I.05	0.28	0.56	0.77	0.16	0.33
MnO	0.18	0.18	0.17	0.13	0.13	0.26	0.12	0.06	0.07	0.06	0.02	0.06	0.30	0.01
MgO	5.73	I2.00	3.89	3.52	2.43	I.68	0.95	0.97	0.62	I.01	0.66	0.66	0.70	0.71
CaO	II.I7	9.50	7.37	7.80	5.46	5.58	3.05	2.78	2.08	4.29	I.34	I.66	I.42	2.13
Na ₂ O	2.93	2.27	3.16	2.88	4.29	3.24	4.21	4.38	4.52	4.16	4.16	3.57	3.54	2.47
K ₂ O	0.75	0.84	0.80	I.96	0.94	I.66	I.45	2.42	2.68	2.39	5.21	4.36	3.13	6.10
H ₂ O-	0.47	0.55	0.33	0.45	0.62	0.68	0.87	0.42	0.49	0.39	0.44	0.76	0.13	0.34
II.п.п.	I.22	2.26	I.95	3.02	I.36	0.81	3.99	I.22	I.39	I.40	0.95	-	I.24	I.82
Σ	99.76	I00.24	I00.37	I00.00	99.35	I00.58	I00.92	99.23	I00.57	99.42	99.82	99.20	99.76	99.89

Числовые характеристики (по А.Н.Заваринскому)

a	7.9	6.1	8.8	9.8	II.1	9.8	II.7	I3.2	I3.6	I2.8	I6.6	I4.1	II.8	I4.5
c	8.8	6.1	8.5	6.7	5.5	6.4	3.8	3.2	2.0	3.5	I.6	2.0	I.7	2.6
b	27.4	34.5	I5.6	I8.6	I2.2	9.1	7.5	5.8	5.5	7.6	4.5	5.8	3.6	4.7
s	55.9	53.3	67.1	64.9	71.2	74.7	77.0	77.8	78.9	76.1	77.3	78.1	82.9	78.2
f'	43.2	27.4	49.5	48.7	55.2	61.5	59.8	67.9	47.6	53.2	56.1	36.8	35.2	75.0
m'	36.7	57.5	44.5	33.6	33.9	32.3	21.5	28.6	I8.3	22.5	25.8	I9.5	31.5	25.0
c'	20.1	I5.1	6.0	I7.8	I0.9	6.2	-	3.6	-	24.3	-	-	-	-
a'	-	-	-	-	-	-	I8.7	-	34.1	-	I8.1	43.7	33.3	-
n	85.5	80.4	85.2	69.1	87.3	74.3	81.0	74.0	71.6	73.1	55.3	55.2	63.3	38.1
t	I.4	I.6	I.0	I.1	0.9	0.7	36.2	0.4	0.3	0.4	0.3	0.3	0.2	0.4
J	I6.7	9.7	I9.3	21.6	27.6	26.1	29.9	35.7	26.8	48.6	42.4	23.0	22.2	67.6
Q	-I2.8	-II.7	+ 8.1	+ 3.5	+I4.7	+23.4	+26.8	+26.0	+28.6	+23.1	+I9.8	+26.0	+40.5	+24.8
a/c	0.89	I.0	I.0	I.5	2.0	I.5	3.1	4.1	6.8	3.7	I0.4	7.0	6.9	5.6

Нормативный состав по системе ССРВ

	1	2	3	4	5	6	7	8	9	10	11	12	13	14
i6	I.67	I.97	I.37	I.52	I.37	I.21	0.61	0.61	0.61	0.76	0.61	0.46	0.30	0.61
mgt	7.18	5.79	4.86	6.48	5.56	3.94	3.70	3.47	2.55	0.23	I.16	I.86	0.23	0.23
hem	-	-	-	-	-	-	-	-	-	4.15	I.44	0.32	0.80	3.51
or	4.45	5.00	5.00	II.69	5.57	I0.02	8.90	I3.91	I6.44	I3.91	30.61	26.16	I8.37	36.17
ab	23.59	I9.40	27.26	24.64	36.18	27.26	35.65	37.23	38.27	35.65	35.65	30.41	29.89	20.97
an	34.85	25.31	33.10	26.15	21.97	25.29	I5.30	I3.07	8.07	I3.91	6.40	8.34	6.95	I0.57
ne	0.85	-	-	-	-	-	-	-	-	-	-	-	-	-
cor	-	-	-	-	-	-	I.02	-	I.43	-	0.61	I.94	0.92	-
wo	8.94	9.06	I.51	5.34	2.21	0.93	-	0.35	-	3.14	-	-	-	-
di	en	5.42	6.63	0.90	3.41	I.51	0.50	-	0.20	-	2.51	-	-	-
fs	3.03	I.58	0.53	I.58	0.53	0.40	-	0.13	-	-	-	-	-	-
ol	fo	6.19	I0.41	-	-	-	-	-	-	-	-	-	-	-
fa	3.67	2.45	-	-	-	-	-	-	-	-	-	-	-	-
en	-	8.55	8.83	5.32	4.42	3.71	2.31	2.21	I.15	-	I.71	I.71	I.71	I.71
hy	fs	-	I.98	4.22	2.64	I.45	I.85	I.58	0.92	0.13	-	-	-	-
q	-	-	II.17	8.59	I7.30	23.48	27.45	25.70	29.43	23.84	20.61	27.33	39.05	24.08
Σ	99.20	98.II	98.65	97.36	98.07	98.59	96.52	97.80	98.14	98.II	98.80	98.53	98.22	97.85

1. Оливин-плагиоклаз-пироксеновые базальты и долериты. 2. Оливиновые долериты ("A"). 3. Гиперстеновые андезито-базальты. 4. Двутироксеновые андезито-базальты. 5. Плагиоклазовые андезиты. 6. Плагиоклаз-рогообманковые андезиты. 7. Гиперстен-рогообманковые липарито-дациты /перлиты/. 8. Плагиоклаз-рогообманковые липарито-дациты. 9. Рогообманковые липариты. 10. Кварц-биотитовые дациты. II. Биотит-сэндиевые липарито-трахиты. 12. Биотит-плагиоклазовые липариты и стекла. 13. Кварцевые липариты. 14. Плагиоклазовые трахилипариты.

фенокристаллы этого минерала обнаруживаются в данных породах самую высокую железистость при сравнительно низкой глиноземистости.

Характерными особенностями состава обладают фракции, отвечающие сумме фенокристаллов плагиоклаза и биотита и плагиоклаза, биотита и сандинина (табл. 49). Они заметно пересыщены глиноземом, содержат значительные количества альбитового и ортоклазового компонента, вследствие этого недосыщены или слабо насыщены SiO_2 и обнаруживают нормативные оливин или энстатит. Составы базиса по сравнению с составами этих фракций резко обогащены легкоплавкими компонентами, характеризуются возрастанием Fe/Mg отношения и резким увеличением K_2O в сумме щелочей.

Рассмотрение зависимости между породообразующими окислами в ряду от твердых фракционатов через валовые составы до состава базиса (фиг. 50б) обнаруживает слабую положительную связь

SiO_2 с K_2O и сильные отрицательные связи — с Al_2O_3 , MgO , FeO , CaO и Na_2O . Na_2O положительно коррелируется с MgO и CaO .

7) Кварцевые липариты по содержанию SiO_2 относятся к предельным, лейкократовым разностям и характеризуются пересыщенностью глиноземом, пониженной известковистостью и невысоким содержанием щелочей с преобладанием Na_2O . Ассоциация фенокристаллов в них отвечает кварцу и олигоклазу, играющему резко подчиненную роль. Кристаллизация этих фенокристаллов приводит к иному результату — остаточный состав обедняется кремнеземом и глиноземом, но обогащается щелочами, особенно калием.

8) Плагиоклазовые трахиолипариты — пересыщенные SiO_2 породы лейкократового облика и содержат лишь фенокристаллы альбитизированного плагиоклаза. Характеризуются наиболее высоким $\text{K}_2\text{O}/\text{Na}_2\text{O}$ отношением.

Из приведенного описания химизма кислых эфузивов верхнемеловой серии можно заключить, что большая часть их относится по содержанию SiO_2 к непредельным типам. Изменения содержаний кремнезема, окиси кальция, глинозема и, особенно, щелочей в пространственно разобщенных комплексах подчиняются различным закономерностям.

В комплексе роговообманковых лав и вулканических куполов от ранних излияний к наиболее поздним дайкам происходит убывание SiO_2 и K_2O , возрастание $\text{CaO}, \text{Al}_2\text{O}_3$ при постоянном содержании Na_2O .

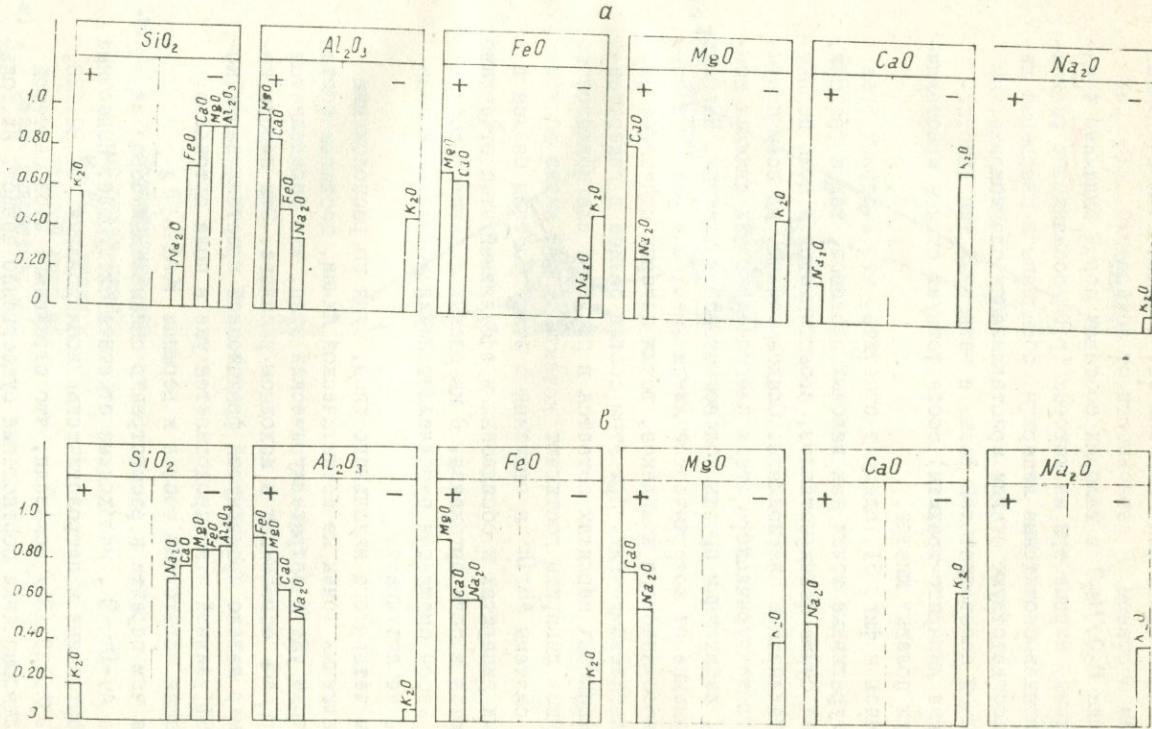
В комплексе биотитовых и кварцевых лав и экструзивов общий уровень кремнекислотности и глиноzemистости заметно выше, появляются предельные типы липаритов. От ранних излияний к поздним этапам, связанным с формированием вулканических куполов и экструзивов, происходит нерегулярная смена составов в следующих направлениях: а) с резким возрастанием SiO_2 и убыванием Al_2O_3 и щелочей — переход к предельным типам (экструзив Карабачал); б) с убыванием SiO_2 и резким возрастанием щелочай, особенно K_2O — трахитовый уклон (купол Кзыл-Кая); в) с убыванием $\text{SiO}_2, \text{K}_2\text{O}$ при неизменном содержании Na_2O и с возрастанием CaO — дацитовый уклон (экструзив Кардан).

Подчеркнем также, что комплекс роговообманковых эфузивов отличается от комплекса биотитовых и кварцевых эфузивов более высокой титанистостью, меланократостью и более низкой степенью окисленности железа.

Общей особенностью для непредельных кислых эфузивов рассматриваемых комплексов является положительная корреляция SiO_2 с K_2O и отрицательная — с Na_2O , причем с возрастанием активностей K_2O или Na_2O эти связи, судя по уменьшению коэффициентов корреляции, слабеют, т.е. поведение щелочей становится все более независимым. Иначе говоря, в роговообманковом (натровом) комплексе связи между K_2O и SiO_2 сильнее, а между Na_2O и SiO_2 слабее, в биотитовом комплексе — наоборот. Отрицательные корреляционные связи между Na_2O и SiO_2 объясняются свойственным кислым магмам /I28/ вхождением Na совместно с Ca во фракцию сравнительно тугоплавких ранних кристаллических фаз (плагиоклаза и темноцветного минерала типа роговой обманки или биотита).

Рассмотрим теперь главные особенности кристаллизации кислых эфузивов верхнемеловой серии в рамках упрощенных, экспериментально изученных систем альбит-ортоклаз и альбит-ортоклаз-кварц (фиг. 51).

Первая диаграмма уже частично была рассмотрена в главе I в связи с особенностями кристаллизации полевых шпатов в кислых эфузивах описываемой серии. Было показано, что порядок кристаллизации вкрапленников полевого шпата и, в частности, появ-



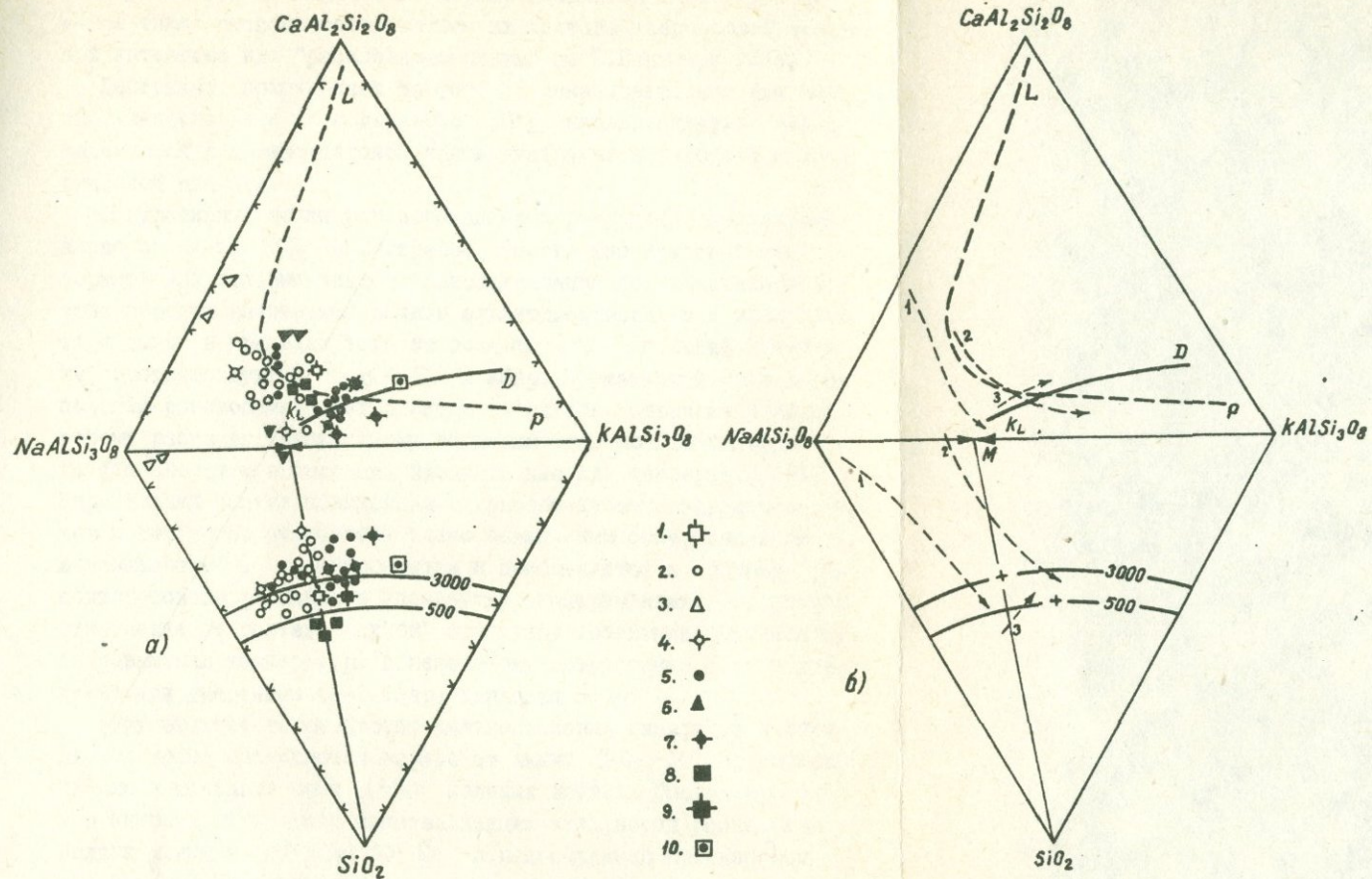
Фиг. 50. Коэффициенты парной корреляции пордообразующих окислов в группе кислых эфузивов;
а - роговообманковая группа пород (19 анализов); б - биотитовая группа пород (24 анализа).

ление в числе первых фаз плагиоклаза, определяются исходным химическим составом. В зависимости от содержаний SiO_2 , CaO и отношения K_2O/Na_2O в валовых составах пород выделено 4 начальных типа, первые три из которых (роговообманковые разности, плагиоклаз-биотитовые липариты, обсидианы и кварцевые липариты) соответствуют стадии кристаллизации плагиоклаза как единственной полевошпатовой фазы, а четвертый тип (биотит-сандиновые липарито-трахиты) соответствует стадии кристаллизации двух полевых шпатов.

Обращаясь к фиг. 51, следует отметить, что в первых трех типах фигуративные точки как валовых составов, так и фракций, отвечающей сумме фенокристаллов, проектируются в поле первичной кристаллизации плагиоклаза. Следовательно, на всем протяжении интратектурального этапа плагиоклаз в них является компонентом, избыточным против полевошпатовой котектики. Наибольшее отклонение от котектической линии имеют все разности пород роговообманкового комплекса, точки которых отчетливо смещены к альбитовому углу. При этом состав базиса в гиперстен-роговообманковых перлитах остается в пределах плагиоклазового поля, и лишь липариты достигают котектической линии вблизи максимума системы $Ab-Og$ в эфузивный этап. Составы базиса в биотитовых липаритах и обсидианах в эфузивный этап отчетливо перемещаются в поле ортоклаза. В кварцевых липаритах состав основной массы смещается параллельно линии котектики и поля ортоклаза не достигает.

Породы четвертого начального типа, судя по расположению их фигуративных точек на котектической линии, достигли состава котектики уже в интратектуральный этап, что определяется высоким K/Na отношением в исходном расплаве. Эти породы являются примером далеко продвинутой фракционной кристаллизации, которая в эфузивный этап продолжается уже в поле ортоклаза, резко смещающая остаточный состав к вершине $KAlSi_3O_8$.

Прежде чем перейти к рассмотрению описываемых пород на диаграмме $Ab-Og-Q$, необходимо отметить следующее. Известные экспериментальные и петрологические исследования /81, 82, 123, 128, 130, 132, 133, 135/ показали, что отражаемые этой системой кварц-полевошпатовые соотношения существенно зависят не только от исходного состава и, в частности, от отношения нормативных An и Ab , но и от внешних параметров – температуры, общего давления, давления паров воды. Проанализируем под



Фиг.5I а,б. Нормативные составы кислых эфузивов верхнемеловой серии на диаграмме альбит-анортит-ортоклаз-кремнезем (вода). Линия LP - граница непрерывной серии твердых растворов; KL - линия котектики двух полевых шпатов. Нанесены котектические линии кремнезем-полевой шпат при различных $P_{\text{H}_2\text{O}}$.

а) 1 - базис андезитов; 2 - валовые составы роговообманковой группы; 3 - фракция фенокристаллов в них; 4 - их базис; 5 - валовые составы биотитовой группы; 6 - фракция фенокристаллов; 7 - их базис; 8 - валовые составы кварцевых липаритов; 9 - их базис; 10 - валовые составы трахилипариотов.

б) Линии эволюции: 1 - роговообманковых разностей; 2 - биотитовых разностей; 3 - кварцевых разностей.

этим углом зрения выделяемые четыре начальных типа пород, определяя также степень соответствия их состава кварц-полевошпатовой эвтектике или "расплавам-минимум" по Г. Винклеру /132/.

Диаграмма, приведенная на фиг. 51 показывает, что все изученные, непределенные по содержанию SiO_2 кислые эфузивы четко локализуются в полевошпатовой части диаграммы и тяготеют к котектической области.

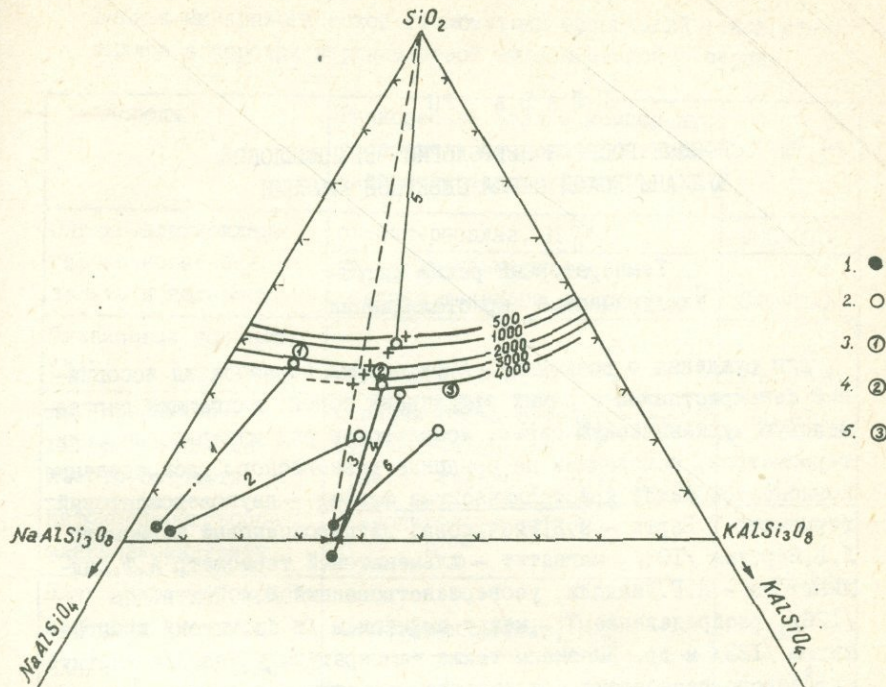
Фигуративные точки роговообманковых разностей располагаются влево от линии $\text{SiO}_2\text{-M}$, отражая существенно натровый состав нормативных полевых шпатов. Кристаллизация фенокристаллов в этих породах начинается вблизи альбитовой вершины и продолжается далее в пределах того же поля Ab-Q-M до линий котектики, соответствующих $P_{\text{H}_2\text{O}} \sim 2 - 3$ кбар. Нормативный состав гиперстен-роговообманковых дацитов (перлитов) отвечает тоналитовому расплаву, полученному экспериментально Г. Винклером и Г. фон Платеном в условиях наиболее высоких температур (810°). Нормативный состав плагиоклаз-роговообманковых липарито-дацитов и липаритов отличается резко повышенным содержанием Ab и пониженным Q — компонентов и приближается к составу гранодиоритового расплава в упомянутых экспериментах. Это резкое отклонение от состава "сухой" гранитной эвтектики соответствует повышению температуры и некоторому возрастанию общего давления при умеренном (1-2 кбар) давлении $P_{\text{H}_2\text{O}}$.

Фигуративные точки биотит-плагиоклазовых липаритов и обсидианов четко размещаются вправо от линии $\text{SiO}_2\text{-M}$, преимущественно в пределах поля $K\text{-Na}$ полевых шпатов. Состав продуктов интрателлурической кристаллизации этих породложен вблизи минимума системы Ab-Og в недосыщенной кремнеземом части поля щелочных полевых шпатов. Кристаллизация этих пород продолжается в поле $Og\text{-Q-M}$, смешая остаточный расплав к области котектики. Составы базиса достигают точки минимума на котектических линиях с $P_{\text{H}_2\text{O}} \sim 3 - 4$ кбар. Нормативный состав этих пород отклоняется от "сухой" безанортитовой гранитной эвтектики в сторону возрастания Ab и уменьшения Og компонентов и тем приближается к гранитному расплаву — минимум, полученному Г. Винклером и соавтором при температуре 655° , $P_{\text{H}_2\text{O}} \sim 7$ кбар и $\text{Ab}/\text{An} = 2,9$. От последнего, однако, он отличается несколько более высокой ролью Og , что определенно указывает на относительное возрастание анортита и, следовательно, более высокие температуры формирования.

Составы предельных кварцевых липаритов располагаются в надэвтектическом кварцевом поле. Кристаллизация фенокристаллов в этих породах, начинаясь в вершине SiO_2 , смещает остаточный состав к котектической линии с минимальным давлением водяного пара. Нормативный валовый состав близок соответственно к гранитной эвтектике при $P_{H_2O} = 0.5$ кбар; состав базиса отвечает расплаву-минимум при $P_{H_2O} = 0.5$ кбар, $Ab/An = 0$ и температуре 770° .

Фигуративные точки биотит-сандииновых липарито-траплитов также расположены вправо от линии SiO_2 -M. Подобно биотит-плагиоклавовым липаритам рассматриваемые породы начинают кристаллизоваться вблизи минимума двойной системы $Ab-Or$. Кристаллизация продолжается в поле $Or-Q-M$ по направлению к котектической линии, однако состав базиса оказывается резко смещенным к ортоклавовому углу диаграммы. Нормативный состав этих пород резко отличается от гранитного расплава-минимум в сторону возрастания Or и уменьшения Q -компонентов, что должно быть связано с уменьшением P_{H_2O} и некоторым возрастанием общего давления.

Разнообразие петрохимических типов верхнемеловых кислых эфузивов и приведенные сопоставления позволяют высказать предположение об анатектическом происхождении исходных расплавов. При этом ряд биотит-плагиоклавовые липариты (и липарито-траплиты) → плагиоклав-рогообманковые липариты (и липарито-дациты) → гиперстен-рогообманковые дациты, смещающийся вдоль котектических линий от $Or-Q$ стороны к $Ab-Q$ стороне, отражает повышение температур этих расплавов (фиг.52). Общей особенностью их является исходное низкое отношение Ab/An , т.е. значительное участие аортитового компонента, вызывающее повышение температур начала плавления. Различия в степени водонасыщенности расплавов к началу интрателлурической кристаллизации обусловили тот факт, что избыточными против эвтектики становились или фазы плагиоклав+темноцветный минерал (непредельные типы) или кварц+плагиоклав (предельный тип). Кристаллизация порфировых вкраепленников различного состава определила в конечном счете различные пути изменения состава остаточной жидкости, но основной тенденцией фракционирования являлось приближение к области котектики, т.е. обогащение легкоплавкими компонентами. Повышение отношения K/Na определило интенсивность фракционирования и достижение котектической поверхности уже в интрателлурический этап.



Фиг. 52. Составы фенокристаллов и основных масс кислых эффи-
зивов верхнемеловой серии на диаграмме кварц-альбит-ортоклаз
(вода). 1. состав фракций фенокристаллов; 2. состав базиса;
линии: 1 - гиперстен-роговообманковые перлиты; 2. плагиоклаз-
роговообманковые липарито-дапиты; 3. биотитовые липариты;
4. биотитовые обсидианы; 5. кварцевые липариты; 6. биотит-са-
нидиновые липарито-травиты. Кружки соответствуют расплавам –
максимум по Винклару: 1. тоналиты; 2. биотитовые гранодиориты;
3. известково-щелочные граниты.

ГЛАВА УП

ОСНОВНЫЕ ВОПРОСЫ ПЕТРОЛОГИИ ВЕРХНЕМЕЛОВОЙ ВУЛКАНИЧЕСКОЙ СЕРИИ СЕВЕРНОЙ АРМЕНИИ

Температурный режим интра- тектонической кристаллизации

Для суждения о возможных температурах образования ассоциаций фенокристаллов и самих эфузивных пород, слагающих верхнемеловую вулканическую серию, использован ряд минералогических термометров, основанных на принципе равновесного распределения компонентов между кирстальлическими фазами - двуполевошпатовый термометр Т.Барта - И.Д.Рябчикова, двупироксеновый термометр Л.Л.Перчука /103/, магнетит - ильменитовый термометр А.Ф.Баддингтона - Д.Г.Линдсли, усовершенствованный Ю.А.Полтавцом /126/, распределение Ti между амфиболом /и биотитом/ и магнетитом /123/ и др. Выяснены также температуры установления внутрифазового равновесия при распаде магнетитовых твердых растворов. Все эти данные, уже изложенные при рассмотрении составов сосуществующих фенокристаллов, суммированы в табл. 52. Подчеркнем, что приведенные цифры фиксируют минимальные температуры разделения компонентов, т.е. отвечают температурам солидуса и субсолидусных превращений.

Для определения температур солидуса изученных оливинсодержащих базальтов и долеритов применялся другой метод, основанный на зависимости типа кирсталь-расплав, поскольку установлено, что концентрации MgO и FeO в базальтовых расплавах определяют температуры начала кристаллизации оливина /136/. Этот метод, детально описанный В.И.Вагановым и соавтором /137/, учитывает зависимость железистости кристаллов оливина от состава равновесного с ним расплава. Применение его для оценки начальных температур кристаллизации вкрапленников оливина в изученных верхнемеловых базальтах оправдано двумя обстоятельствами: I) составы обеих разностей отличаются высоким отношением

Таблица 52

Данные минералогической термометрии ассоциаций фенокристаллов в породах верхнемеловой вулканической серии

Породы	Равновесные фазы и компонент, распределение которого учитывается геотермометром	$T^o(C)$
Оливин-плагиоклаз-пироксеновые базальты и долериты	оливин-расплав, K_D^{Mg}	900-950
	магнетит-ильменит (распад твердого раствора), K_D^{Ti}	840-700
Оливиновые долериты ("A")	оливин-расплав, K_D^{Mg}	1150-1170
Двутироксеновые и гиперстеновые андезито-базальты	клинопироксен-ортопироксен, K_D^{Mg}	790-820
	магнетит-ильменит (распад твердого раствора) K_D^{Ti}	700
Пироксен-роговообманковые андезиты	клинопироксен-амфибол, K_D^{Mg}, K_D^{Ca}	790-800
Плагиоклаз-роговообманковые андезиты	магнетит-ильменит, K_D^{Ti}	760
Плагиоклаз-биотитовые обсидианы (липариты)	биотит-магнетит, K_D^{Ti}	740-750
Биотит-сандиновые липарито-тракиты	биотит-сандин, K_D^K, K_D^{Rb}	730-740
	сандин-плагиоклаз, K_D^{Na}	730-740
	биотит-магнетит, K_D^{Ti}	700-710
Плагиоклаз-роговообманковые липариты и липарито-дациты	магнетит-ильменит, K_D^{Ti}	740-750
	амфибол-магнетит, K_D^{Ti}	730-740
Гиперстен-роговообманковые перлиты (дациты)	гиперстен-амфибол, K_D^{Mg}	780-800
	амфибол-магнетит, K_D^{Ti}	820-830

$Mg / Mg + Fe$, следовательно, к ним более обоснованно можно приложить допущение, что они близко соответствуют составам расплавов на глубине. Такое ограничение введено Д.Х.Грином и А.Э. Рингвудом на основании вывода, что при температуре ликвидуса железо-магнезиальные силикаты обогащаются магнием /106/;2) в изученных верхнемеловых базальтах соотношения между фенокристаллами и основной массой близки к равновесным (серийно-порфировые структуры, полнокристаллическая основная масса, слабое проявление резорбции и отсутствие реакционных отношений между минералами). Вместе с тем, как следует из табл. 53, коэффициент распределения магния между оливином и жидкостью ($K_{Mg}^{Oe/liqu}$) в изученных образцах несколько ниже величины 1.33, эмпирически выведенной Д.Х.Грином и А.Э.Рингвудом. Это дает основание считать, что в результате накопления вкрапленников оливина равновесие жидкость+кристаллы в рассматриваемых базальтах устанавливается при температурах более низких, чем температуры ликвидуса. Чтобы оценить начальные температуры кристаллизации оливина в этих породах, сначала по результатам химических анализов рассчитывались условные мольные доли потенциального форстерита в растворе (X_{Oe}^{Mg}) по выведенной В.И.Багановым и соавтором формуле. Затем по графику названных авторов, отражающему солидусные взаимоотношения величин железистости оливина, X_{Oe}^{Mg} и температуры, определялись температурные условия выделения порфировых вкрапленников оливина. Рассмотрение данных табл. 53 показывает, что температура солидуса оливин-плагиоклаз-пироксеновых базальтов закономерно ниже, чем температура солидуса оливиновых долеритов. Принимая, что составы первичных расплавов соответствуют составам изученных разностей базальтов, можно по данным Баганова и соавтора ориентировочно оценить также температуру их ликвидуса. Она примерно на 130-170° выше приведенных цифр и составляет около 1100-1150° для оливин-плагиоклаз-пироксеновых базальтов и 1320-1350° для оливиновых долеритов ("А"). Поскольку распад твердого раствора титаномагнетита в оливин-плагиоклаз-пироксеновых базальтах происходит при температуре ниже 840°, можно также предположить, что в этих породах кристаллизация вкрапленников в последовательности оливин-плагиоклаз-клинопироксен (и магнетит) происходит в интервале 60-110°. Этот интервал оказывается несколько более растянутым по сравнению с установленным экспериментально /88,117/.

Таблица 53

Параметры состава и данные минералогической термометрии базальтовой группы пород верхнемеловой вулканической серии

Состав пород	Залегание	Обр.	$\frac{100 \cdot Mg}{Mg + Fe^{+2}}$ в породе	$K_{Oe/eq}^{Mg}$	$-ln x_{Oe}^{eq}$	$\frac{100 \cdot Fe^{+2}}{Fe^{+2} + Mg}$ в оливине	$T^o (C)$
Оливин- плагиоклаз- пироксенос- вые базаль- ты и доле- риты	потоки	5	66,0	I,II	0,5258	31,0	920
		6	62,0	I,29	0,5072	29,0	910
		33д	55,0	I,33	0,5735	31,0	900
Оливино- вые доле- риты "А"	пл.зала- жехи	I	62,0	I,I8	0,4935	27,0	950
		32д	57,0	I,IO	0,5171	27,0	910

Примечание: $K_{Oe/eq}^{Mg} = \frac{100 \cdot Mg}{Mg + Fe^{+2}} Oe / \frac{100 \cdot Mg}{Mg + Fe^{+2}} eq [117]$

x_{Oe}^{eq} соответствует условной мольной доле потенциального оливина в расплаве и определяется выражением:

$$x_{Oe}^{eq} = \frac{3,5 [Mg + Fe + 0,6 (Na + K)]}{Mg + Fe + Na + K + Ca + Al + Si + O}$$

Температуры определялись по графику, отражающему солидусные взаимоотношения жесткости оливиника и величины условной мольной доли потенциального оливина в расплаве /137/.

О начальных температурах кристаллизации вкрапленников в двупироксеновых андезито-базальтах можно ориентировочно судить по температуре установления равновесия между выделившимися фазами ортоциркона и клиноциркона (табл. 52). При этом собственно температура образования первых вкрапленников гиперстена, магнетита и плагиоклаза в этих породах должна быть несколько выше. О нижнем температурном пределе кристаллизации вкрапленников в этих породах можно судить по температуре распада магнетитового твердого раствора (ниже 700°). Таким образом, интервал кристаллизации вкрапленников плагиоклаза, гиперстена и клиноциркона в двупироксеновых андезито-базальтах отвечает примерно 90–120°.

Для пироксен-роговообманковых и плагиоклаз-роговообманковых андезитов определяется порядок температур солидуса в пределах 760–800°.

В кислых эфузивах равновесие пар минералов-вкрапленников в различных группах пород фиксируется при различных температурах (табл. 52). Это позволяет сделать вывод о различных температурных условиях кристаллизации ассоциаций вкрапленников, при этом наиболее высокие температуры солидуса свойственны гиперстен-роговообманковым перлитам (780–830°), наиболее низкие – биотит-плагиоклазовым липаритам и биотит-сандикиновым липарито-травитам (700–750°). В соответствии с тем, что в экспериментальных условиях интервал кристаллизации плагиоклаза и темноцветного минерала в дапитовом расплаве равен 225°, а в гранитных расплавах – 225–250° /135, 138/, можно принять, что температуры ликвидуса в соответствующих изученным эфузивам расплавах должны отвечать примерно 1000–1050° и 925–950°.

В заключение отметим, что полученные температуры равновесия минеральных фаз на этапе их начальной кристаллизации и примерные температуры ликвидуса в изученном ряду от базальтов до липаритов ниже, чем в соответствующих экспериментальных "сухих" системах. Они также существенно ниже температур кристаллизации, установленных по данным гомогенизации включений расплавов в минералах-вкрапленниках соответствующих типов вулканических пород /139/.

Режим кислорода и водного флюида

Режим кислорода, под которым следует понимать не свобод-

ный кислород флюидных смесей, а кислород, участвующий в реакциях восстановления – окисления, регулирует многие минеральные равновесия с участием воды и других летучих /124,140/. В этой связи оценки летучести O_2 на магматической стадии формирования пород необходимы для выяснения состава флюидов. Установлено, что степень окисленности последних обнаруживает прямую коррелируемость с содержанием воды в магматическом расплаве. Принимая вслед за многими исследователями модель о преимущественно восстановительном, углеводородном характере флюидов, мигрирующих из верхней мантии в земную кору, Ф.А. Летников с соавторами показал, что природа этой связи состоит в образовании воды на базе водорода, основным носителем которого являются углеводороды /140/. В эндогенных условиях величины летучести O_2 регулируются буферными равновесиями с участием элементов переменной валентности и в первую очередь – двух- и трехвалентного железа. Поэтому об активности O_2 на этапе интрапеллурической кристаллизации можно судить по таким индикаторам, как отношение окисного и закисного железа в валовом составе пород и во вкраепленниках минералов, время появления магнетитовой фазы фенокристаллов и ее состав. Поскольку вода оказывает существенное влияние на соотношения силикатных компонентов в эвтектических расплавах различных систем, создается возможность оценить содержания воды в начальные этапы кристаллизации магматических расплавов по соотношению нормативных минералов и последовательности выделения кристаллических фаз /134,141/.

В данном разделе мы попытались на основании известных экспериментальных и петрологических данных оценить примерные величины парциального давления O_2 и особенности водно–флюидного режима в процессе формирования вулканических пород описывающей серии. Эти вопросы частично уже были рассмотрены в других главах работы при описании химизма минералов. Здесь необходимо суммировать полученные данные, рассматривая в отдельности выделенные комплексы пород и петрографические типы. Основные петрологические показатели, позволяющие судить о режиме O_2 и H_2O в интрапеллурических условиях становления пород верхнемеловой серии, сведены в табл. 54, 56, 58; нормативные составы и индикаторные отношения в них приведены для средних типов.

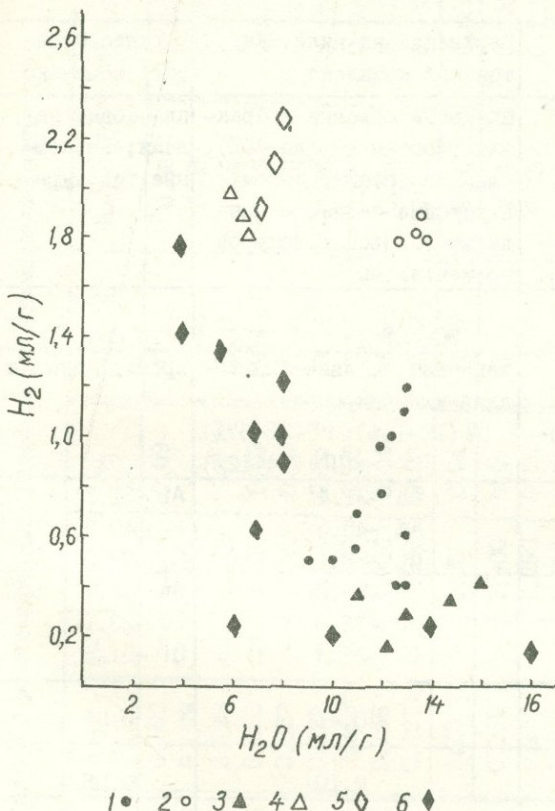
Мы располагаем, кроме того, результатами аналитического определения содержаний воды и газов (CO_2 , CO , CH_4 , H_2 , N_2)

в главных петрографических типах пород изученной серии, произведенного в лаборатории экспериментальной и теоретической петрологии Института Земной коры СО АН СССР. Анализы выполнены методом высокотемпературной газовой хроматографии, который в значительной мере разработан и применяется в качестве основного метода исследования флюидного состава горных пород Ф.А. Летниковым с сотрудниками /140/. Содержание флюидных компонентов (в миллилитрах газа на 1 грамм породы) в образцах верхнемеловых эфузивов приведено в таблицах 55, 57, 59 (аналитик Н.В.Забоева). Относительно полученных нами результатов флюидного анализа пород необходимо сделать следующее общее замечание. Преобладающим компонентом в составе флюидов всех проанализированных пород является вода, содержание которой колеблется в определенных, сравнительно узких пределах для каждого петрографического типа. Однако вулканические стекла кислого состава и породы со стекловатой основной массой обнаруживают аномально высокое количество воды, которую можно рассматривать не только как продукт окисления первичного водорода, но и следует связывать с процессом разно проявленной вторичной гидратации. Соответственно, в этих образцах коэффициент восстановленности и отношения H_2 / H_2O и CO / CO_2 не рассчитывались. Затем в составе флюидов в порядке уменьшения содержаний устанавливаются такие компоненты, как H_2 , CO_2 , CO ; содержания N_2 и особенно метана очень низки. Поскольку нами анализировались породы сравнительно молодого возраста и преимущественно их свежие, малоизмененные разности, можно вслед за Ф.А.Летниковым сделать допущение, что полученные содержания восстановленных флюидов CO , H_2 и N_2 характеризуют реликтовую часть первично-мантийных флюидов, которая с их окисленной частью, как будет показано ниже, связана по-разному в различных типах пород.

Вернемся к рассмотрению особенностей флюидного режима эфузивов изученной верхнемеловой серии.

Базальты разновозрастных комплексов, как это следует из таблиц 54 и 55, четко различаются между собой по степени окисленности валового состава пород и вкраплеников оливинса, составу окисных фаз-фенокристаллов, а также по содержанию флюидных компонентов, величинам индикаторных отношений CO / CO_2 , H_2 / H_2O , и по коэффициенту восстановленности. Оливин-плагиоклаз-пироксеновые базальты и долериты обладают особенностями, свидетельствующими о сравнительно высоком парциальном давле-

ния кислорода и паров воды уже на интрапетиурическом этапе их кристаллизации. Выявляемая по диаграмме (фиг. 53) прямая зависимость между H_2 и H_2O для этой группы пород позволяет фиксировать высокую степень окисленности H_2 .



Фиг. 53. Соотношения H_2 и H_2O в породах верхнемеловой вулканической серии по результатам флюидного анализа: 1) оливин-плагиоклаз-пироксеновые базальты и долериты; 2) оливиновые долериты; 3) двутироксеновые андезито-базальты; 4) андезиты; 5) роговообманковые липариты и липарито-дациты; 6) биотитовые липариты и биотит-сандиновые липарито-трахиты.

1• 2○ 3▲ 4△ 5◊ 6♦

В рассматриваемой группе базальтов H_2 постоянно преобладает над CO ; между содержаниями CO_2 и H_2O устанавливается прямая корреляция, что также свидетельствует о высоком уровне окисленности флюидов. Интересно, кроме того, отметить, что между CO и CO_2 отсутствует взаимосвязь. Оценка величины парциального давления кислорода, проведенная на диаграмме Р.Ф.Фудали и соавторов /142/, отражающей соотношения железистости пород и степени окисленности Fe, дает для данной группы базальтов значения $-\lg fO_2 = 7.5-8.2$. Соответственно высокому окислитель-

Таблица 54

Петрологические показатели режима O_2 и H_2O в процессе интрапеллурической кристаллизации разновозрастных базальтов верхнемеловой серии

	Верхнеконьяк-нижнесантонский комплекс	Верхнесантонский комплекс
Характер залегания, текстурные особенности	шлаковые обломки в брекчиях (объем пор до 40%), лавовые потоки, дайки, пластовые залежи с мандельштейновой текстурой по контактам	пластовые залижи; массивные текстуры.
Суммарное содержание фенокристаллов	30-50%	15-20%
Последовательность кристаллизации и количественное соотношение фенокристаллов	магнетит, оливин-плагиоклаз-клинопироксен Ol (19-16%): Pl (72-67%): CPx (14-12%)	хромит, оливин
Состав породы в системе An-Ab-Di	An -31.4 Ab -45.5 Di -23.1	An -31.3 Ab -40.8 Di -27.9
Состав породы в системе An-Fo-Di	An -55.7 Fo -16.0 Di -28.3	An -45.7 Fo -23.1 Di -31.2
$Fe_2O_3 / Fe_2O_3 + FeO$ в валовой породе	0.41	0.36
$TiO_2 / FeO + Fe_2O_3$ в валовой породе	0.10	0.08
Нормативный состав вкрацленников магнетита	Mgt ₄₇₋₅₄ Usp ₂₈₋₄₆ Jl ₇₋₁₇	-
Fe^{+3} / Fe^{+2} во вкрацленниках оливина	0.06-0.09	0.03
Fe^{+3} / Fe^{+2} во вкрацленниках клинопироксена	0.55-0.62	-
Температура солидуса	900-950°	II50-II70°
$-\lg fO_2$	7.5 - 8.2	< 8.5
P_{H_2O} (кбар)	$\sim 2.5 - 5$	< 2

Таблица 55

Содержание флюидов (мл/г) в разновозрастных базальтах верхненамаловой серии

№ пп	Образец	H ₂ O	CO ₂	CO	CH ₄	H ₂	N ₂	CO / CO ₂	H ₂ / H ₂ O	K восст.
I	374	12.66	0.295	0.090	-	1.040	0.09	0.31	0.08	0.087
2	377а	13.21	0.246	0.079	-	0.610	-	0.32	0.05	0.051
3	2007	13.00	0.289	0.128	сл.	1.280	-	0.44	0.09	0.105
4	2008	13.10	0.202	0.080	сл.	0.380	0.03	0.40	0.03	0.035
5	2028	13.01	0.179	0.037	-	0.270	0.02	0.21	0.02	0.023
6	2056	11.18	0.234	0.127	-	0.680	0.05	0.54	0.06	0.071
7	2057	9.83	0.213	0.460 ^x	-	0.510	0.03	2.16	0.05	0.097
8	2070	13.00	0.397	0.156	-	1.230	0.04	0.39	0.09	0.103
10	2074	12.00	0.287	0.121	-	0.930	0.03	0.42	0.08	0.086
	Среднее	12.19	0.27	0.10	-	0.75	0.04	0.37	0.06	0.068
II	203	13.88	0.191	0.114	-	1.900	0.07	0.60	0.14	0.143
I2	8	13.90	0.251	0.112	-	1.750	0.04	0.45	0.13	0.132
I3	20	12.75	0.231	0.110	-	1.820	0.05	0.48	0.14	0.149
	Среднее	13.51	0.22	0.11	-	1.82	0.05	0.50	0.13	0.148

Номера I-I0 - оливин-плагиоклаз-пироксеновые базальты и долериты верхнего конъяка-нижнего сантоне;
 номера II-I3 - оливиновые долериты верхнего сантоне.

Примечание: K восст. = $\frac{CO + H_2 + CH_4}{CO_2 + H_2O}$ /по 140/.

^x Данные из расчета средних исключены.

Таблица 56

Петрологические показатели режима O_2 и H_2O в процессе интрапелитурнической кристаллизации андезитов и андезито-базальтов верхнемеловой серии

	Верхнеконьяк-нижнесантонский комплекс андезитов	Верхнесантонский комплекс андезито-базальтов
Характер залегания и текстурные особенности	дайкообразные массивы, мелкие дайки, реже потоки. Массивные текстуры. Мандельштейны в обломках брекций или по контактам потоков.	Система потоков, реже пластовые залежи. Текстуры массивные, реже флюидальные или мандельштейновые.
Суммарное содержание фенокристаллов	20 - 30%	30 - 40%
Последовательность кристаллизации и количественное соотношение фенокристаллов	Плагиоклаз (магнетит), роговая обманка Pл 75% : Amf 25%	Ортопироксен (магнетит)-плагиоклаз-клинопироксен Pл 63% : Hy 21% : Crx 16%
Состав пород в системах Ab-An-Di и Ab-Or-Q	Ab - 61.3-44.9 Q - 29.3-38.6 Or - 9.4-16.5	Ab - 40.3-43.1 An - 42.8-52.3 Di - 16.9-4.6
$Fe_2O_3 / Fe_2O_3 + FeO$ в валовой породе	0.41 - 0.50	0.40 - 0.44
$TiO_2 / FeO + Fe_2O_3$ в валовой породе	0.14	0.10
Нормативный состав вкрапленников железо-титановых фаз	Mgt ₉₅ Jl ₃ Hem ₂ Jl ₇₀ Hem ₁₅ Ru ₁₅	Mgt ₅₇ Usp ₂₉ Jl ₁₄
Fe^{+3} / Fe^{+2} во вкрапленниках ортопироксена	-	0.10 - 0.11
Fe^{+3} / Fe^{+2} во вкрапленниках клинопироксена	0.16	0.22 - 0.38
Fe^{+3} / Fe^{+2} во вкрапленниках роговой обманки	0.49 - 0.53	-
Температура солидуса - $egfO_2$	760 - 800°	790 - 820°
P_{H_2O} (кбар)	1.5 - 2	2.5 - 5

ному потенциалу O_2 парциальное давление паров воды в исходном расплаве также значительно, что объясняет отмеченные выше такие их особенности, как обогащение валового состава этих пород анортитовым компонентом, снижение температуры солидуса и растянутость интервала кристаллизации вкраплеников оливина, плагиоклаза, клинопироксена (и магнетита). Сравнение с экспериментальными данными /142/ позволяет величину P_{H_2O} в исходном для этих пород расплаве примерно оценить в 2.5 – 5 кбар. Кристаллизация этих пород на эфузивном этапе шла уже в условиях некоторого падения P_{O_2} , что фиксируется по возрастанию FeO относительно TiO_2 и Fe_2O_3 (фиг. 54) и объясняется буферирующей ролью вкраплеников титаномагнетита. При этом роль магнетита в основной массе убывает, а H_2O (до 6–7 вес.%) связывается в позднемагматических минералах—анальциме и палагоните.

Интрателлурическая кристаллизация оливиновых долеритов верхнесантонского комплекса происходила, судя по петрологическим показателям и по составу флюидных компонентов (табл. 54, 55), в более восстановительных ($-\lg fO_2 < 8.5$) и высокотемпературных условиях (P_{H_2O} менее 2 кбар). При этом более высокий уровень восстановленности этих пород определяется заметным усилением роли водорода и, судя по присутствию вкраплеников хромита, возможно также и участием хромистых флюидов. По содержанию воды, как и по прямой корреляции между H_2 и H_2O (фиг. 53) данная группа долеритов не отличается от рассмотренных выше базальтов, но судя по составу основной массы, окисление H_2 и появление воды в исходном расплаве происходит на эфузивном этапе их кристаллизации. В этих породах несколько убывают содержания углекислоты, среди восстановительных флюидов также преобладает H_2 .

Андезито-базальты верхнесантонского комплекса характеризуются показателями, свидетельствующими о высоком парциальном давлении H_2O и O_2 в процессе их интрателлурической кристаллизации (табл. 56, 57). Сравнение с экспериментальными данными позволяет оценить P_{H_2O} в пределах ~ 5 кбар, $-\lg fO_2 = 7.2-8.0$. Можно таким образом видеть, что интрателлурическая кристаллизация ассоциации гиперстен (и магнетит) + плагиоклаз+клинопироксен шла при режиме высокой летучести O_2 , которая несколько превосходила таковую при кристаллизации оливин-плагиоклаз-пироксеновых базальтов. На это указывает возрастание степени окисленности валового состава андезито-базальтов и усиление роли магнетитового минала в норме титаномагнетитовой фазы фенокристаллов.

Таблица 57

Содержание флюидов (мл/г) в группе верхнемеловых андезито-базальтов и андезитов

№ пп	Образец	H ₂ O	CO ₂	CO	CH ₄	H ₂	N ₂	CO / CO ₂	H ₂ / H ₂ O	K восст.
I4	I99	I4.27	0.364	0.108	-	0.370	0.11	0.296	0.025	0.032
I5	I99a	I5.00	0.336	0.154	-	0.480	0.09	0.458	0.032	0.041
I6	202	I2.60	0.555	0.066	-	0.190	0.05	0.119	0.015	0.012
I7	202a	II.57	0.984	0.130	-	0.410	0.07	0.132	0.035	0.043
	Среднее	I3.36	0.56	0.12	-	0.36	0.08	0.21	0.026	0.034
I8	79	5.95	0.135	0.380	сл.	I.990	0.07	2.81	0.33	0.38
I9	30	6.75	0.140	0.310	-	I.830	0.05	2.21	0.27	0.31
	Среднее	6.35	0.14	0.35		I.91	0.06	2.50	0.30	0.35

Номера I4-I7 - двупироксеновые андезито-базальты; номера I8-I9 плагиоклаз-роговообманковые андезиты.

Таблица 58

Петрологические показатели режима O_2 и H_2O в процессе интрапеллурической кристаллизации верхнесантонского комплекса кислых эфузивов верхнемеловой серии

	Плагиоклаз-роговообманковые липариты и липарито-дациты	Гиперстен-роговообманковые дациты (перлиты)	Плагиоклаз-биотитовые липариты и обсидианы	Биотит-санидиновые липарито-тракиты
Характер залегания и текстурные особенности	Пласти пепловых и кристалло-кластических туфов, вулканические купола. Флюидальная текстура	Некрупные дайки. Массивная текстура	Пласти пепловых, пемзовых кристаллокластических туфов, потоки лав, вулканические купола и некки. Текстура флюидальная; шаровые обособления стекла	Вулканические купола. Текстура - массивная
Суммарное содержание фенокристаллов	20 - 35%	15 - 20%	15 - 20%	20 - 35%
Количественное соотношение фенокристаллов	Плагиоклаз (магнетит) роговая обманка Рl 71%: Amf 29%	Плагиоклаз (магнетит), гиперстен, роговая обманка Рl 71%: Ny 21%: Amf 8%	Плагиоклаз (магнетит), биотит Рl 72%; Bi 28%	Плагиоклаз (магнетит) биотит санидин Рl 69%; Bi 27%: Sn 4%
Состав в системе Ab - Or - Q	Ab - 45.6 - 48.5 Or - 19.3 - 18.1 Q - 25.1 - 33.4	Ab - 49.5 Or - 12.4 Q - 38.1	Ab - 36.2 Or - 31.2 Q - 32.6	Ab - 41.1 Or - 35.2 Q - 23.7
$Fe_2O_3 / (Fe_2O_3 + FeO)$ в валовой породе	0.54 - 0.58	0.50	0.63	0.76
$TiO_2 / (Fe_2O_3 + FeO)$ в валовой породе	0.10 - 0.15	0.10	0.14	0.13
Нормативный состав вкрапленников железо-титанистых фаз	Mgt ₈₉ Jl ₉ Hem ₂ ; Jl ₈₃ Hem ₁₆ Ru ₁	Mgt ₇₇ Usp ₉ Jl ₁₄	Mgt ₆₂ Jl ₆ Hem ₃₂	Mgt ₃₁ Jl ₈ Hem ₆₁
Fe ⁺³ / Fe ⁺² во вкрапленниках роговой обманки	0.39	0.42	-	-
Fe ⁺³ / Fe ⁺² во вкрапленниках ортопироксена	-	0.04	-	-
Fe ⁺³ / Fe ⁺² во вкрапленниках биотита	-	-	0.70 - 0.73	0.73 - 0.80
Температура солидуса - P_{CO_2}	730-750° 15.5	780-830° <15.5	740-750° 12-13.5	700-740° ~12
P_{H_2O} (кбар)	~2 - 2.5	<0.3	~4.5 - 5	~4

Как и в упомянутой группе базальтов, в рассматриваемых андезито-базальтах проявляется сходная тенденция к падению P_{O_2} на эфузивном этапе кристаллизации (фиг. 54). В составе флюидных компонентов устанавливается возрастание содержаний H_2O и CO_2 , убывание H_2 при некотором увеличении CO и N_2 , т.е. также фиксируется несколько более высокая степень окисленности при сохранении прямой коррелируемости между H_2 и H_2O и соотношения $\text{H}_2 > \text{CO}$.

Андезиты, входящие в верхнеконьяк-нижнесантонский комплекс, на интрапетиурическом этапе кристаллизовались в своеобразных окислительно-восстановительных условиях. По особенностям нормативного состава и количественному содержанию вкрапленников роговой обманки $\text{P}_{\text{H}_2\text{O}}$ оценивается примерно значениями 1.5-2 кбар; составы сосуществующих вкрапленников магнетита и ильменита указывают на величину $-\lg f_{\text{O}_2} = 13.5$. В составе флюидных компонентов данной группы пород заметно убывают содержания H_2O и CO_2 , резко возрастают H_2 , CO (при $\text{H}_2 > \text{CO}$) и величина коэффициента восстановленности. Таким образом, по сравнению с базальтами и андезито-базальтами, режим кристаллизации андезитов оказывается значительно более восстановительным, причем нарушается прямая коррелируемость между H_2 и H_2O (фиг. 53).

Вместе с тем в рассматриваемых породах несколько возрастает отношение $\text{Fe}_2\text{O}_3 / (\text{Fe}_2\text{O}_3 + \text{FeO})$, что определенно коррелируется с увеличением щелочности, в частности натриевой. Характерно, также, что в данных породах резко возрастает отношение $\text{TiO}_2 / (\text{Fe}_2\text{O}_3 + \text{FeO})$, увеличивается количественное содержание второй железозитановой окисной фазы — ильменита и снижается степень окисленности клинопироксена. Дальнейшее возрастание щелочности остаточного расплава способствует увеличению роли Fe_2O_3 относительно FeO и TiO_2 в основной массе, что отчетливо видно на диаграмме (фиг. 54). Таким образом, приведенные петрологические показатели и состав флюидов в описываемых породах позволяют считать, что связыванию H_2O уже на интрапетиурическом этапе и появлению фенокристаллов амфибола способствует резкое возрастание натриевой щелочности и значительный уровень восстановления флюидной фазы. Это заключение находится в соответствии со схемой, предложенной Ф. А. Летниковым для объяснения возможных путей образования амфиболосодержащих диоритов и габбро-диоритов /140/.

Кислые эфузивы верхнесантонского комплекса характеризуют-

Таблица 59

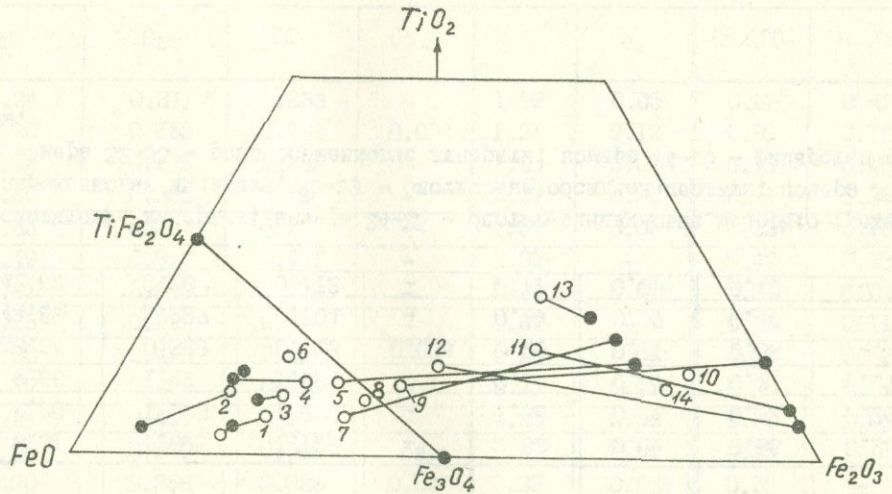
Содержание флюидов (мл/г) в группе кислых эффиузивов верхнемеловой серии

№ пп	Образец	H ₂ O	CO ₂	CO	CH ₄	H ₂	N ₂	CO/CO ₂	H ₂ /H ₂ O	К восст.
20	I02	4.24	0.371	0.233	-	1.79	0.05	0.63	0.42	0.44
21	2039	8.00	0.185	0.183	0.004	1.21	0.12	0.99	0.15	0.17
22	I34	7.18	0.275	0.202	-	1.09	0.04	0.75	0.15	0.17
23	2042	3.97	0.380	0.150	-	1.37	0.04	0.39	0.35	0.35
	Среднее	5.85	0.30	0.19	-	1.37	0.06	0.63	0.23	0.27
24	63	8.49	0.917	0.431	-	1.09	-	0.47	0.13	0.16
25	63a	7.41	0.923	0.220	-	0.64	0.07	0.24	0.09	0.10
	Среднее	7.95	0.92	0.33	-	0.87	-	0.36	0.11	0.13
26	I4.00	0.415	0.238	-	-	0.20	0.06	0.57	0.02	0.03
27	24	6.27	0.492	0.106	-	0.25	0.07	0.22	0.04	0.05
	Среднее	10.14	0.45	0.17	-	0.23	0.06	0.38	0.03	0.04
28	I39	40.50	0.260	0.066	сл.	0.17	0.02	0.25	-	-
29	I0	48.50	0.358	0.088	0.04	0.38	0.03	0.25	-	-
	Среднее	44.50	0.31	0.077	-	0.28	0.02	0.25	-	-
30	69	I6.50	0.415	0.134	-	0.15	0.06	0.32	-	-
31	50	21.15	0.361	0.136	-	0.13	0.07	0.38	-	-
	Среднее	18.58	0.39	0.135	-	0.14	0.06	0.35	-	-

Продолжение табл. 59

№ пп	Образец	H ₂ O	CO ₂	CO	CH ₄	H ₂	N ₂	CO/CO ₂	H ₂ /H ₂ O	K _{восст.}
32	2050	8.31	I.695	I.I28	-	2.32	0.09	0.66	0.28	0.34
33	2045	7.00	I.220	I.I20	-	I.88	0.06	0.92	0.26	0.36
	Среднее	7.66	I.46	I.I24		2.I0	0.07	0.77	0.27-	0.35
34	728	40.34	0.339	0.I23	0.004	0.20	0.II	0.36	-	-
35	I3	44.89	0.227	0.I04	-	0.19	0.07	0.46	-	-
	Среднее	42.62	0.28	0.II3	-	0.19	0.09	0.40	-	-

Номера 20-23 - биотитовые липариты; номера 24-25 - биотит-санидиновые липарито-трахиты; номера 26-27 - биотит-диорексеновые липариты; 28-29 - биотитовые обсидиан-перлиты; номера 30-31 - кварцевые липариты; номера 32-33 - роговообманковые липариты; номера 34-35 - гиперстен-роговообманковые перлиты.



Фиг. 54. Средние валовые составы групп пород и составы базиса верхнемеловой серии на диаграмме $\text{FeO}-\text{Fe}_2\text{O}_3-\text{TiO}_2$ (Номера соответствуют средним типам пород в табл. 51)

ся петрологическими признаками, позволяющими судить о существенных различиях флюидного режима в процессе образования тех или иных минералогических разностей их (табл. 58 и 59). Из приведенных в таблицах данных следует, что кристаллизация вкрапленников в роговообманковых разностях шла по сравнению с биотитовыми в более восстановительных и маловодных условиях. В составе флюидов этих разностей резко возрастает содержание H_2 , усиливается роль CO и CO_2 , хотя продолжает сохраняться соотношение $H_2 > CO$. Вывод о более восстановительном режиме интрапеллурической кристаллизации роговообманковых липаритов и липарито-дайитов соответствует известному положению о том, что даже в условиях постоянных температур снижение P_{H_2O} (увеличение глубины формирования данной минеральной ассоциации) может привести к вытеснению биотита амфиболом /143/. Составы вкрапленников магнетита в рассматриваемой группе кислых эфузивов верхнемеловой серии позволяют судить о том, что наиболее восстановительным режимом флюидной фазы характеризуются гиперстен-роговообманковые перлиты (дациты). Появление вкрапленников гиперстена в этих породах является важным показателем величины P_{H_2O} , поскольку оно отвечает точке пересечения линии $Ab-Or-Q-H_2O$ эвтектики с кривой дегидратации амфиболя в интервале температур выше 800° и P_{H_2O} менее 0,3 кбар /143, стр. 35, фиг. 7/. Для пластиоклаз-роговообманковых липаритов составы сосуществующих вкрапленников магнетита и ильменита указывают на значения $\log fO_2 = -15.5$; величина P_{H_2O} оценивается по графикам А.А.Кадика, Е.Б. Лебедева и Н.И.Хитарова /134, 135/ примерно в 2-2,5 кбар. Приведенные цифры позволяют, таким образом, подчеркнуть, что эволюция составов роговообманковых разностей во времени происходит в условиях падения P_{H_2O} (и возрастания температуры). В основной массе этих пород параллельно с увеличением щелочности возрастает Fe_2O_3 (фиг. 54).

Биотитсодержащие разности кислых эфузивов верхнемеловой серии в отношении состава флюидных компонентов характеризуются более низкими содержаниями H_2 и CO при $H_2 > CO$. Содержания H_2O в них колеблются в значительных пределах. Как это видно на диаграммах (фиг. 53), в данной группе пород прямая коррелируемость между H_2 и H_2O нарушается; содержания H_2O и CO_2 также не обнаруживают взаимосвязи. О режиме O_2 и H_2O в процессе интрапеллурической кристаллизации рассматриваемых биотитоодержащих

кислых эфузивов можно судить по составам биотитовых и магнетитовых вкрапленников, а также по характерным ассоциациям биотит+сандин+магнетит или биотит+клинопироксен. Судя по величине $Fe/(Fe+Mg)$ в биотитах, равной 54–60%, наиболее высоким потенциалом O_2 характеризуются условия кристаллизации плагиоклаз-биотитовых липаритов (и обсидианов) и биотит-сандиновых липарито-травлитов ($-\lg fO_2 = 12-13.5$). Значение P_{H_2O} для ассоциации биотит+сандин+магнетит, рассчитанное по формуле Вонса и Юстера (гл.У, с. 153), отвечает примерно 4 кбар; для условий кристаллизации плагиоклаз-биотитовых липаритов и обсидианов P_{H_2O} должно быть несколько выше (4.5–5 кбар). Кристаллизация кварц-биотитовых дацитов, в которых биотит имеет $Fe/(Fe+Mg) = 68\%$, шла в более восстановительных условиях ($-\lg fO_2 = 15.5$, $P_{H_2O} \approx 1$ кбар). Таким образом, тренд изменения состава вкрапленников биотита от ранних излияний к поздним выжимкам отвечает тренду восстановления (II), описанному Вонсом и Юстером и свидетельствующему об изменении флюидного режима в сторону убывания P_{H_2O} . В главе VI, при рассмотрении химизма биотитсодержащих кислых эфузивов уже указывалось на нерегулярную смену их составов к поздним этапам развития вулканических процессов, когда шло формирование вулканических куполов и экструзивов. Здесь необходимо подчеркнуть, что смена составов во всех случаях происходит с падением P_{H_2O} , в составе флюидов при этом убывают содержания H_2 и усиливается роль CO и CO_2 . Однако смена с трахитовым уклоном и появление в ассоциации вкрапленников сандина происходит с некоторым понижением температуры, при этом степень окисленности валовой породы и вкрапленников магнетита при незначительных различиях по fO_2 закономерно возрастает, что объясняется по Д.С.Коржинскому /145/ повышением щелочности расплава. Смена составов с дацитовым уклоном происходит при некотором повышении температуры и сопровождается частичным разложением биотита на более жалазистый биотит и магнезиальный клинопироксен. Переход к предельным липаритам также происходит с повышением температуры, резким снижением P_{H_2O} и сопровождается полным исчезновением биотита. В основной массе всех разностей рассматриваемых биотитсодержащих пород роль Fe_2O_3 относительно TiO_2 и FeO заметно возрастает (фиг. 54), что коррелируется с возрастанием концентраций щелочей.

Таким образом, полученные данные о режиме O_2 и H_2O на этапе

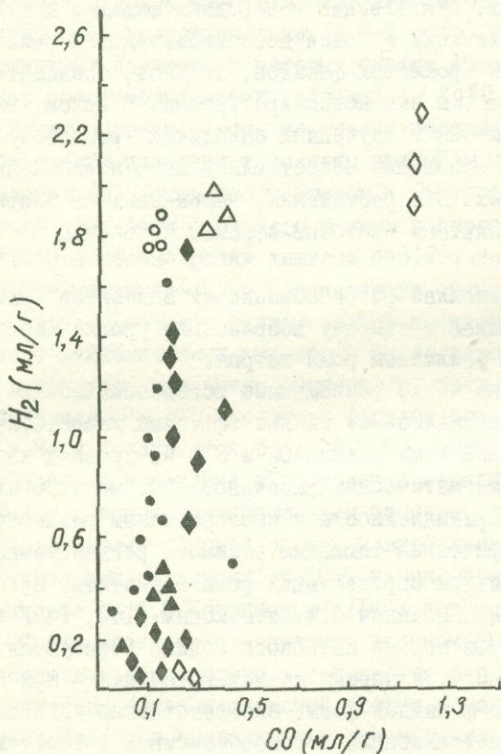
интрапеллурической кристаллизации и о составе флюидных компонентов в различных типах вулканических пород верхнемеловой серии Северной Армении позволяют сделать следующие выводы:

1. Кристаллизация вкрапленников в оливин-плагиоклаз-пироксеновых базальтах и долеритах, в двупироксеновых и гиперстеновых андезито-базальтах шла в условиях высокой летучести O_2 и высокого парциального давления воды, вызывающих понижение температуры солидуса. Эти условия отражают высокую степень окисленности флюидной фазы. Оливиновые долериты характеризуются лучшей сохранностью глубинных, существенно водородных флюидов и отвечают условиям кристаллизации в более восстановительном режиме, возможно при участии хромистых флюидов, являясь, следовательно, более глубинными и высокотемпературными. В целом, высокие содержания H_2O и CO_2 в изученных базальтах разновозрастных комплексов дают основание сопоставлять их с недосыщенным кремнеземом базальтами зон растяжения, заложенных на континентальной коре (с базальтами Восточно-Африканского типа по Ф.А.Летникову).

2. Появление плагиоклаз-рогообманковых андезитов отвечает смене режима флюидов в сторону возрастания уровня восстановленности с заметным усилением роли натрия.

3. Пространственно четко разобщенные рогообманковые (натровые) и биотитовые (калиевые) кислые эфузивы характеризуются различными особенностями режима O_2 и H_2O на уровнях начальной кристаллизации магматических расплавов. Это может свидетельствовать об их принадлежности к изолированным разноглубинным очагам со специфическим флюидным режимом, регулируемым буферными равновесиями при определяющей роли магнетита. При этом четко подтверждается описанная Ф.А.Летниковым /140, 143/ закономерность, по которой породы натрового облика образуются при более восстановительном, а породы калиевого облика - при более окислительном режиме флюидной фазы. Соответственно условия интрапеллурической кристаллизации рогообманковых разностей должны отвечать большим глубинам (и высоким температурам), биотитовых разностей - меньшим глубинам (примерно 4-4,5 км при допущении, что $P_{H_2O}/P_S = 0,1$) и более низким температурам. И рогообманковые, и биотитовые группы пород эволюционируют во времени в сторону уменьшения P_{H_2O} и при различном температурном режиме, при этом степень окисленности валовых пород обнаруживает прямую коррелируемость с K_2O/Na_2O отношением.

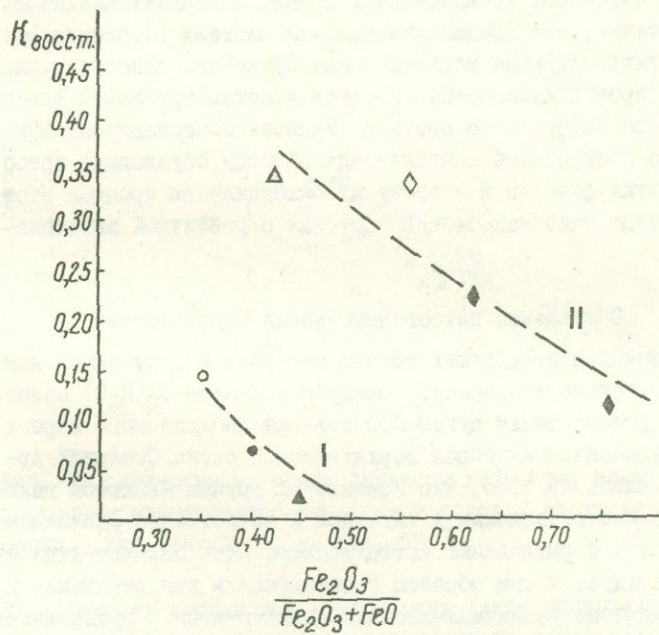
4. Общие особенности состава флюидных компонентов пород верхнемеловой вулканической серии состоят в их четко выраженной водородно-водной специфике и постоянном преобладании H_2 в группе восстановленных газов. Изученная серия, таким образом, может быть отнесена к системам с "водородной линией развития" по Ф.А.Летникову, в которых процесс окисления первично-мантийных, преимущественно углеводородных флюидов идет на различных уровнях по линии образования H_2 и H_2O .



Фиг. 55. Соотношения между H_2 и CO в породах верхнемеловой серии по результатам флюидного анализа. (Усл. знаки см. на фиг. 53).

5. В изученных эфузивах обнаруживается прямая корреляция между H_2 и CO , что иллюстрируется фиг. 55. Это подтверждает возможность отнесения этих компонентов к реликтовой части исходного флюида. Одновременно выявляется, что в группе основных пород существует прямая корреляция также между H_2 и H_2O .

Это позволяет считать, что обогащение системы парами H_2O происходит на уровне интрапетраллической кристаллизации за счет высокотемпературного окисления глубинного водорода. В группе же андезитов и кислых эфузивов корреляция между H_2 и H_2O нарушается, что позволяет предполагать возрастание роли H_2O корового происхождения в петрогенезисе этих пород. Отсутствие скоррелированных связей между CO и CO_2 , отмечаемое для всех разностей эфузивов изученной серии, позволяет предполагать, что образование углекислоты в составе флюидных компонентов протекало в данном случае не за счет CO , а, по-видимому, в результате далеко зашедшего процесса окисления метана.



Фиг. 56. Соотношение между коэффициентом восстановленности флюидных компонентов и степенью окисленности валового состава пород верхнемеловой серии (составы пород для средних типов). (Усл. знаки см. на фиг. 53).

6. Выявляется определенная взаимосвязь между уровнем сохранности восстановительных первичных флюидов ($K_{восст.}$) и отношением $Fe_2O_3 / Fe_2O_3 + FeO$ в валовом составе пород, являющем-

ся показателем активности O_2 в магматическом расплаве (фиг. 56). Данная диаграмма, построенная для средних составов пород, обнаруживает два прерывистых ряда (I ряд — оливиновые долериты —> оливин-плагиоклаз-пироксеновые базальты —> андезито-базальты; II ряд — плагиоклаз-рогообманковые андезиты —> рогообманковые липариты —> биотитовые липариты), в каждом из которых устанавливается обратная зависимость между данными параметрами. Вариационная линия обнаруживает разрыв и резкое смещение за счет возрастания $K_{\text{восст.}}$ в точке, соответствующей плагиоклаз-рогообманковым андезитам.

7. Водородно-водная специфика флюидных компонентов, свойственная изученной вулканической серии, позволяет высказать предположение, что Предмалокавказская система глубинных разломов, контролирующая верхнемеловой вулканализм данного региона, являлась проводником мощных потоков восстановительных флюидов существенно водородного состава. Наличие консолидированной гетерогенно-построенной континентальной коры обусловило преобразование этих флюидов в сторону их окисления, но процесс этот на различных участках-блоках протекал с различной интенсивностью.

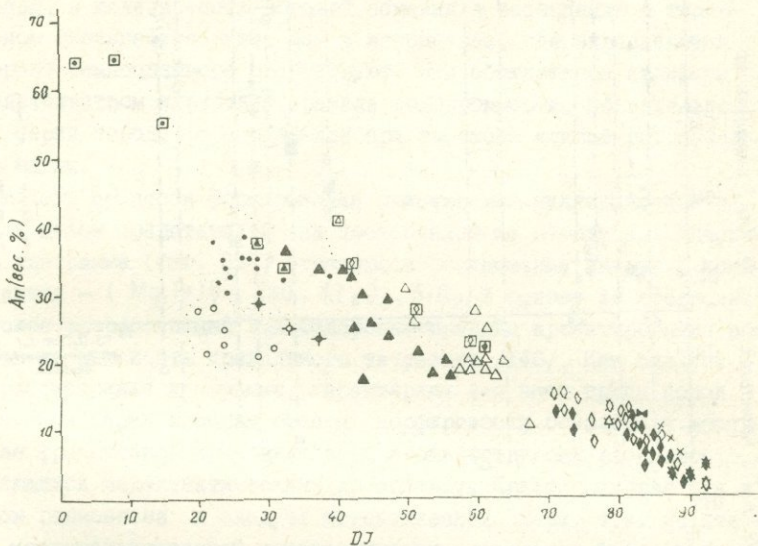
Обсуждение петрогенетических особенностей

Изложенный в предыдущих главах материал и полученные данные относительно температур солидуса и режима $O_2(H_2O)$ позволяют при рассмотрении путей образования наблюдаемого парагенезиса вулканических пород верхнемеловой серии Северной Армении исходить из того, что главные их группы являются генетически самостоятельными и тяготеют к качественно различным котектикам^X. Формирование естественного ряда базальт-андезит-лиparит следует таким образом рассматривать как отражение изменения химизма различных магматических очагов. Представляя по набору пород пример "непрерывной ассоциации", изученная серия обнаруживает разрывы состава между оливиновыми долери-

^X В том широком смысле, который дан этому термину в формулировке А.Ф.Белоусова: "котектики.... — системы типа кристаллы-расплав, состав и состояние которых обеспечивают совместное плавление или совместную кристаллизацию из расплава двух или больше минеральных фаз" (141, с. 187).

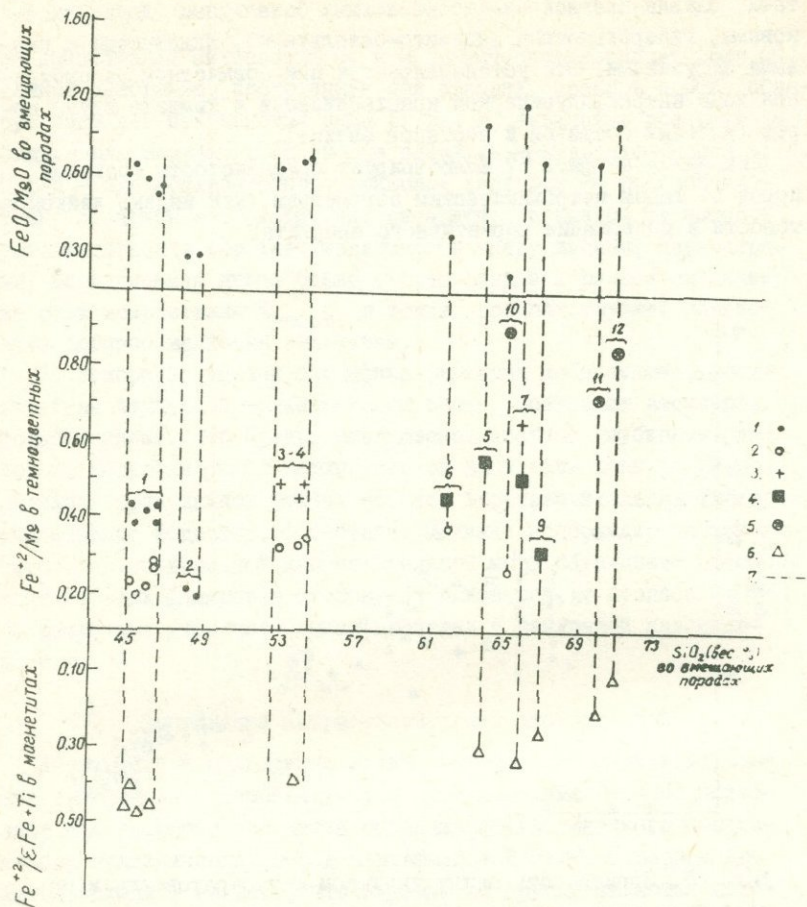
тами, оливин-плагиоклаз-пироксановыми базальтами (двутироксеновыми, гиперстеновыми андезито-базальтами), андезитами и кислыми эфузивами. Это устанавливается при совместном рассмотрении хода интрателлурической кристаллизации и химизма групп пород (валовых составов и составов базиса).

Диаграмма на фиг. 57 иллюстрирует прерывистость составов пород по таким петрохимическим параметрам, как индекс лейкократовости и содержание нормативного аортита.



Фиг. 57. Зависимость между индексом лейкократовости и содержанием нормативного аортита в породах верхнемеловой серии. (Усл. знаки см. на фиг. 59).

Дискретность составов в данном ряду четко обнаруживается также на диаграмме зависимости железистости фенокристаллов темноцветных минералов и содержания Fe^{+2} в магнетитах от кремнекислотности и железистости материнских пород (фиг. 58). На ней видно, что смена ассоциаций фенокристаллов темноцветных и вариации их железистости контролируются не только возрастанием SiO_2 , но согласуются также с составом сосуществующей магнетитовой фазы, т.е. в конечном счете с режимом O_2 .

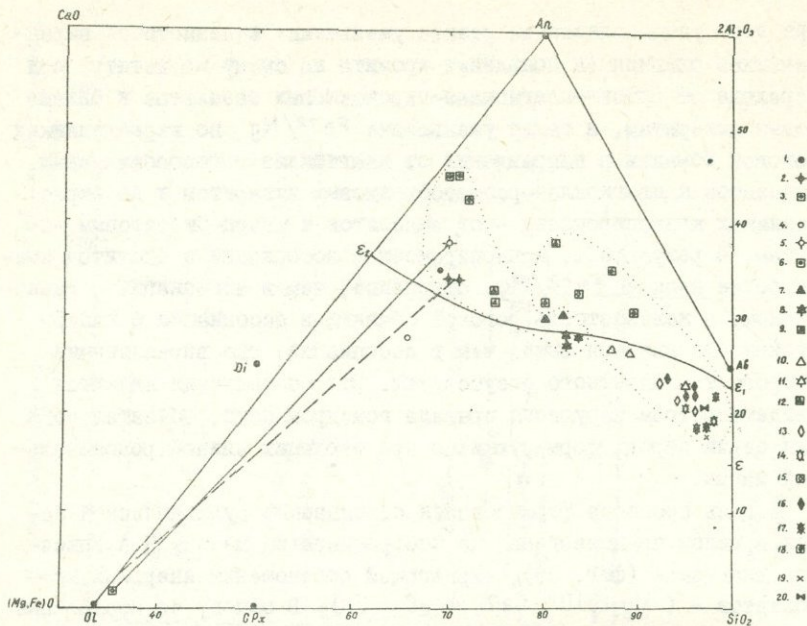


Фиг. 58. Зависимость состава вкраепленников темноцветных минералов и магнетита от кремнекислотности и железистости в ряду пород верхнемеловой серии: 1) оливины; 2) клинопироксены; 3) гиперстены; 4) амфиболы; 5) биотиты; 6) магнетиты; 7) существующие пары. Группы пород: I оливин-плагиоклаз-пироксеновые базальты и долериты; 2) оливиновые долериты; 4) андезито-базальты; 5-6) андезиты; 7) перлиты; 8) липариты; 9) дашиты; 10) липарито-трахиты; II) липариты.

При этом устанавливается резкое уменьшение железистости вкраепленников оливина (и появление хромита на смену магнетиту) при переходе от оливин-плагиоклаз-пироксеновых базальтов к оливиновым долеритам, а также уменьшение Fe^{+2}/Mg во вкраепленниках роговой обманки в направлении от плагиоклаз-роговообманковых андезитов к плагиоклаз-роговообманковым липаритам и во вкраепленниках клинопироксена - от андезитов к кварц-биотитовым дацитам. В результате, клинопироксен в ассоциации с биотитом имеет более низкое Fe^{+2}/Mg отношение, чем в ассоциации с гиперстеном, а железистость роговой обманки в ассоциации с гиперстеном оказывается выше, чем в ассоциации, где вкраепленники второго темноцветного отсутствуют. Эти соотношения являются свидетельством нарушения правила гомодромности, обязательного для серии пород, формирующихся при эволюции единой родоначальной магмы.

Модель процесса формирования описываемой вулканической серии в целом представлена на построенной по методу Н.А.Елисеева диаграмме (фиг. 59), отражающей соотношения инертных компонентов - $(Mg, Fe)O$, CaO , Al_2O_3 , SiO_2 . В основу ее построения положен разработанный Е.С.Федоровым принцип проектирования составов на плоскость правильного тетраэдра /146/. Как следует из рассмотрения диаграммы, характерная для всех групп пород изученной серии высокая степень порфировости обусловила проявление фракционной кристаллизации соответствующих расплавов, являющихся надэвтектическими по составу. Кристаллизация эта в целом равновесна и следует котектической схеме, т.е. на стадии интрапеллурической кристаллизации выделяются фазы, избыточные против плагиоклаз-пироксеновой котектики (для базальтов и андезито-базальтов) или кварц-полевошпатовой котектики (для андезитов и кислых эфузивов) и лишь составы базиса приближаются к котектическому минимуму.

Линии кристаллизации оливиновых долеритов (оливиновых толеитов с нормативным гиперстеном) и оливин-плагиоклаз-пироксеновых базальтов (высокоглиноземистых базальтов с нормативным нефелином) начинаются вблизи оливиновой вершины и указывают на сходные для обеих групп тенденции к обогащению легкоплавким компонентом на эфузивном этапе в результате выделения избыточного оливина и резкого смещения остаточного расплава к линии $E_2 - E_1$. На этом кристаллизация оливиновых долеритов за-



Фиг. 59. Диаграмма-модель процесса формирования верхнемеловой вулканической серии. Линия E_2-E_1 - пластиоклаз-пироксеновая котектика; E - точка гранитной эвтектики.
 I) Ср. вал. состав оливин-пластиоклаз-пироксеновых базальтов; 2) их базис; 3) фракция фенокристаллов в них; 4) ср. вал. состав оливиновых долеритов; 5) их базис; 6) фракция фенокристаллов; 7) ср.вал.состав гиперстеновых и двупироксеновых андезито-базальтов; 8) их базис; 9) фракция фенокристаллов в них; 10) ср.вал.состав пластиоклазовых и пластиоклаз-роговообманковых андезитов; II) их базис; I2) фракция фенокристаллов в них; I3) ср. вал. состав роговообманковых липарито-дацитов и липаритов; I4) их базис; I5) фракция фенокристаллов в них; I6) ср.вал.состав биотитовых липаритов и липарито-трахитов; I7) их базис; I8) фракция фенокристаллов в них; I9) ср.вал. состав кварцевых липаритов; 20) их базис.

вершается, причем выделение надэвтектических вкраплеников оливина и хромита объясняется, исходя из результатов работы А.А. Маракушева с соавторами, исчезновением избыточной флюидной фазы водородно-хромистого состава /14/. Интрапеллурический же этап формирования оливин-плагиоклаз-пироксеновых базальтов сопровождается окислением водородной составляющей флюидов, обогащением системы вследствие этого парами воды и расширением поля кристаллизации клинопироксена (и магнетита). Итак, можно видеть, что уже на уровне интрапеллурической кристаллизации состав этих пород приближается к составу тройной котектики. Фракционирование клинопироксена при этом способствует сохранению недосыщенности SiO_2 и возрастанию щелочности остаточного расплава. Дальнейшее рассмотрение диаграммы показывает, что между составами оливин-плагиоклаз-пироксеновых базальтов и андезито-базальтов выдерживается правило гомодромности, выраженное плавным переходом к составам фракций фенокристаллов плагиоклаза+гиперстена+клинопироксена, далее к составам базиса. Переход этот приводит к концентрации соответствующих фигуративных точек вдоль линии плагиоклаз-пироксеновой котектики. Можно, следовательно, принять, что резкое перераспределение химических и салических компонентов в результате кристаллизационной дифференциации оливин-плагиоклаз-пироксеновых базальтов приводит к обогащению остаточного расплава кремнеземом. При этом оливин заменяется ортопироксеном, убывает основность плагиоклаза и возрастает железистость клинопироксена. Этому петрохимическому переходу способствует, по-видимому, некоторое возрастание общего давления, поскольку 1) как фаза ликвидуса оливин с глубиной вытесняется ортопироксеном /86/ и 2) в присутствии H_2O эволюция базальтов в лейкобазальтоидном направлении более эффективна на умеренных глубинах, чем на малых /128/. Переход к андезитам происходит при выраженном разрыве между составами базиса андезито-базальтов и фракции, отвечающей сумме фенокристаллов роговой обманки и плагиоклаза. Это можно видеть по резкому возрастанию CaO и Al_2O_3 в составе фенокристаллов и по смещению состава базиса андезитов к области кварц-полевошпатовой котектики. Указанный разрыв отвечает смене режима O_2 и H_2O соответствующего расплава в сторону сравнительно более восстановительных и маловодных условий. Данная диаграмма также иллюстрирует прерывистость, сопровождающую появление фенокристаллов плагиоклаза +роговой обманки или

плагиоклаза +биотита (+сандиана) в различных группах кислых эффиузивов и смещение валовых составов и базиса их ниже линии E_2E_1 , к области кварц-полевошпатовой котектики (точка E). Эти разрывы совпадают также со сменой флюидных режимов – для роговообманковых разностей в сторону более восстановительных; для биотитовых – более окислительных условий. Относительно расположения фигуративных точек кислых эффиузивов на данной диаграмме следует также заметить, что столь различные составы этих групп проектируются в пределах сравнительно узкого поля. Следовательно, описанное выше разнообразие петрохимических типов определяется подвижным поведением щелочей и уровнем окисления флюидной фазы.

Итак, на основании полученного фактического материала и в соответствии с современными представлениями об источниках и происхождении магматических расплавов /86, 128, 129, 140/, основные выводы о возможных составах исходных для данной вулканической серии магм можно обобщить следующим образом.

I) Исходные расплавы, давшие начало разновозрастным базальтам произошли из первичного базит-гипербазитового мантийного субстрата, отвечающего по классификации /130/ вероятно анортит-форстеритовой фации под поверхностью Мохо, путем его непосредственного частичного плавления, которое возможно при давлениях 12–20 кбар и температурах 1250–1300°. Условия низких давлений могли благоприятствовать, по Грину и Рингвуду, возникновению различных типов магм. Это соответственно магматические расплавы с нормативным нефелином и расплавы с нормативным гиперстеном, границей между которыми по названным авторам является температурный раздел. Первые из них, испытавшие сравнительно быстрый подъем от уровня генерации очага, а затем задержку в промежуточных камерах на более высоких горизонтах земной коры (< 15 км) эволюционировали в условиях значительного окисления флюидной фазы, в частности ее водородной составляющей, что привело к смене оливин-плагиоклазовой ассоциации фенокристаллов ассоциацией плагиоклаз+клиноцирроксен+магнетит. Расплав с нормативным гиперстеном, выплавлявшийся с участием хромистых флюидов, эволюционировал в дальнейшем в условиях восстановительного режима флюидной фазы. К данным расплавам приложимы представления Д.Х.Грина и А.Э.Рингвуда, А.Ф.Белоусова о том, что они могли существовать вероятнее всего как смеси кристаллов оливина (или оливина+плагиоклаза+кли-

нопироксена) с расплавом, близким по составу к плагиоклаз-пироксеновой котектике. Последовательность появления производных этих различных расплавов в процессе формирования верхнемеловой вулканической серии, в частности появление оливиновых толеитов на поздних этапах, противоположна той, которая должна отвечать фракционной кристаллизации оливинового толеита на глубинах 35–70 км /98/. Следовательно, принимая модель Грина и Рингвуда, возникновение данных расплавов необходимо связывать со степенью частичного плавления субстрата. При этом, расплав высокоглиноземистого базальта с нормативным нефелином отвечает сравнительно низкой степени плавления ($\sim 20\%$), расплав же с нормативным гиперстеном появляется при возрастании температуры и степени плавления ($\sim 30\%$), с переходом глиноzemистых фаз в жидкость.

2) Боузновская тенденция эволюции высокоглиноземистого базальтового расплава с нормативным нефелином в сохраняющихся условиях высоких P_{O_2} и P_{H_2O} могла привести к образованию магматического очага андезито-базальтов, которые являются низкоплавкими в более глубинных частях зоны устойчивости плагиоклаза. Эти расплавы начиная с интрапеллурического этапа близко соответствуют плагиоклаз-пироксеновой котектике.

3) Образование очага плагиоклаз-роговообманковых и пироксен-роговообманковых андезитов можно рассматривать согласно механизму, описанному Ф.А.Летниковым /140/, как результат преобразования возникших основных расплавов под воздействием существенно водородных (и натровых) глубинных флюидов. Предполагается, что взаимодействие H_2 с магнетитом приводит к образованию воды, которая преобразует пироксен в амфибол с выделением свободного магнетита. Этот процесс протекает по линии связывания H_2O по мере убывания буферирующего минерала – магнетита. Снижение активности O_2 вызывает таким образом усиленную кристаллизацию ильменита на интрапеллурическом этапе.

4) Возникновение очагов кислой магмы в процессе формирования описываемой вулканической серии можно рассматривать как результат плавления (анатексиса) различных исходных субстратов на локальных участках земной коры. В процессе плавления возникали автономные, сравнительно некрупные приповерхностные очаги, характеризующиеся своеобразными температурными условиями, различным уровнем окисленности флюидной фазы и различной тенденцией последующей дифференциации отдельных порций расплавов, в

целом отражающей возрастание степени плавления исходных субстратов. С этими варьирующими условиями связано образование на интрапаллюрическом этапе котектик типа плагиоклаз-роговая обманка (гиперстен), или плагиоклаз-биотит (санидин), или кварц-плагиоклаз. Магматические очаги роговообманковых эфузивов могли образоваться в результате продвинутого плавления субстрата "фемического" облика, возможно с участием кристаллов роговой обманки ("гранодиоритовый профиль"). Формирование этих выплавок шло в сравнительно высокотемпературных условиях при низкой степени окислительности флюидной фазы. Антидромная последовательность внедрения отдельных порций данного расплава связана с некоторым повышением температуры, уменьшением активности воды и частичной дегидратацией роговой обманки. Очаги биотитсодержащих эфузивов могли образоваться при плавлении субстратов с повышенным содержанием кремнезема, щелочей и калиевых слюд ("гранитный профиль"). Формирование этих выплавок шло при несколько более низких температурах в условиях высокой степени окисленности флюидной фазы. Дифференциация в отдельных камерах и петрохимический переход от липаритов к липарито-травлитам осуществлялись за счет падения P_{H_2O} , температуры и возрастания K_2O . Используя петрогенетические обобщения /128/, кварц-биотитовые дациты, а также предельные кварцевые липариты следует рассматривать как производные изолированных магматических очагов. Первый из них характеризовался высокой температурой в связи с местным возрастанием активности CaO (увеличение роли основного плагиоклаза в субстрате), невысокой активностью воды и процессом частичной дегидратации биотита. Образование второго могло происходить в результате "сухого" плавления обогащенного свободным кремнеземом кислого субстрата с высоким отношением плагиоклаза к калиевому полевому шпату.

Особенности геотектонического положения и пространственное распределение главных типов вулканических пород

Заложение и развитие Прикуринской (Предмалокавказской) системы прогибов, связанное с раздроблением и погружением новых участков Закавказского срединного массива вдоль его южной и юго-западной окраин, совпадает с мощным импульсом (альб-сенон) тектонической и магматической активности в пределах крупных регионов планеты и, в том числе, в пределах Средизем-

номорского альпийского пояса и входящего в его состав Малокавказского региона. На этом сходятся мнения почти всех исследователей данного региона, независимо от того, какой тектонической концепции они придерживаются /148, 149, 150, 151, 152/. Так, по палеотектонической схеме Ш.А.Адамия, Г.С.Закариадзе, М.Б.Лордкипанидзе этот импульс отвечает началу посткололизационной стадии с возобновлением напряжений растяжения, общим погружением фундамента и трансгрессией моря в пределах центральной и южной частей единого Малоазиатского-Закавказского микроконтинента. И.П.Гамкелидзе связывает растяжение и интенсивное погружение по разрывам центральной части Закавказского срединного массива с начавшимся в альбе зарождением Черноморско-Аджаро-Триалетской рифтовой зоны, при этом Артвино-Болниssкая и Бейбурт-Карабахская (Сомхето-Карабахская) зоны рассматриваются им в качестве островной дуги, в тылу которой и развивается названная рифтовая зона. Р.Н.Абдуллаев с соавторами относит образование Прикуринской системы прогибов к "поздней (верхний мел) стадии развития Сомхето-Карабахской геосинклинальной зоны", на которой происходит "интенсивное расчленение зон с возникновением попечерных прогибов и устойчивых консолидированных участков". А.Т.Асланян и М.А.Сатиан подчеркивают, что квазикратонная область горного Закавказья была вновь вовлечена в процессы деструкций в "среднем" мелу, что привело к возникновению офиолитовых тафро-геосинклиналей, знаменующих начальный этап новоальпийского тектонического цикла. В дальнейшем, в кампане - маастрихте, в связи с широкой морской трансгрессией, происходит выравнивание тектонического режима данного региона и проявляются слабые устойчивые прогибания с накоплением мелководных известняков /1, 5, 7/.

Ранее /7/ нами обращалось внимание на то, что Прикуринская система прогибов представляет собой пример сложного сочетания северо-западного приразломного прогиба с попечерными структурами, которые ориентированы в широтном или северо-восточном направлении. Подобные соотношения определяются развитием ее на сопряжении зон разновозрастной консолидации - Закавказского срединного массива (точнее, той его части, которая именуется Азербайджанской глыбой) и Сомхето-Карабахского геоантклинального поднятия. Первая из них представляет зону доальпийской консолидации, претерпевшую высокотемпературный метаморфизм и гранитизацию; вторая является гетерогенным складчато-глыбовым сооружением, в котором частные структуры были объе-

динены в одно поднятие благодаря складчатости и внедрению гранитных интрузий на верхнеюрском-неокомском этапе /I, 153/. Переход от Сомхето-Карабахской зоны к Азербайджанской глыбе обозначен в глубинном разрезе поперечно-ступенчатыми опущенными и приподнятыми блоками кристаллического фундамента и фиксируется геофизическими данными в виде северо-западных разломов, проникающих в верхнюю мантию до глубин около 38 км /14/. Таким образом, Прикуринская система прогибов, имея в основании жесткий, мозаично-раздробленный кристаллический фундамент, развивалась в верхнем мелу на активной окраине Азербайджанской глыбы в качестве наложенной структуры типа краевого прогиба. Эта структура обнаруживала общую тенденцию к компенсированному, сравнительно слабому погружению и на процессы тектонического растяжения она реагировала образованием разломов и конседиментационных брахиморфных складок. С этими тектоническими усилиями и связано формирование верхнемелового вулканического пояса, который в сходных геолого-структурных условиях /151, 153, 154/ протягивается вдоль северо-восточного склона Малого Кавказа с северо-запада (Болниssкий прогиб) на юго-восток (Мартуниинский прогиб). Этот пояс в продольном направлении разбивается на ряд структур-блоков II порядка, различающихся между собой по облику вулканических и ассоциирующих осадочных накоплений, по относительной роли в разрезах пород базальтового, андезитового и кислого состава. Изученная нами вулканическая серия слагает центральное звено упомянутого пояса, включающее следующие геологические структуры II порядка: северо-восточное крыло Алавердского антиклинория, Иджеванский поперечный прогиб и северо-восточное крыло Шамшадинского антиклинория, отвечающее Таузскому моноклинальному блоку. Как уже было показано в главе I и II, они отличаются распределением аномалий силы тяжести при общем преобладании и приподнятом залегании "базальтового" слоя, различным уровнем залегания кристаллического фундамента, вплоть до появления участков с редуцированным "гранито-метаморфическим" слоем. Эти структуры II порядка разбиваются в свою очередь на более мелкие структуры III порядка, которые характеризуются различными тенденциями и темпами вертикальных движений, в связи с чем отмечаются различия во времени проявления интенсивного вулканизма. Состав и количественные соотношения вулканических пород в пределах частных структур-блоков сведены в табл. 60, которая может слу-

жить основой для рассмотрения особенностей пространственного их распределения. Эти особенности сводятся к следующему:

1) Наиболее ранние (нижний турон-нижний коньек) вулканические процессы приурочены лишь к структурам-блокам с синклинальными тенденциями развития, причем в Иджеванском прогибе и на Паравакарском блоке это выбросы пирокластического материала андезито-дацитового состава, в Папакарской структуре - извержения андезитов. Эти вулканические процессы могут быть связаны с поступлением глубинных флюидов и возникновением мелких магматических очагов, предшествующих поднятию фронта массового базальтообразования. Важно при этом подчеркнуть, что Иджеванский прогиб является примером такой структуры II порядка, где раннее проявление кислого вулканизма приурочено к участку с редуцированным "гранитно-метаморфическим" слоем.

2) Максимальная вулканическая активность в верхнем коньке - нижнем сантоне проявляется вдоль западных, юго-западных границ всех структур-блоков в форме извержений шлакового материала и излияний лав высокоглиноземистых нефелинормативных базальтов. Это должно свидетельствовать о массовом процессе магмообразования на глубинах порядка 70-35 км, соответствующих примерно границе верхней мантии и земной коры. Возникшие расплавы на пути к поверхности испытали (в связи с пониженной проницаемостью консолидированного фундамента) задержку с образованием промежуточных магматических камер на глубинах менее 15 км. Эти глубины в пределах данного региона примерно соответствуют мощности "гранитно-метаморфического" слоя. Таким образом, задержка обусловила длительную интратектоническую внутрикамерную дифференциацию и обогащение базальтового расплава водно-флюидной фазой, которое в данных условиях тектонического растяжения происходило скорее всего путем окисления глубинных водородных флюидов. Высокое содержание летучих явилось главным фактором, определившим преимущественно взрывной характер вулканических явлений, связанных с отдельными некрупными вулканическими центрами, приуроченными, как уже указывалось, к участкам пересечения продольных разломов с поперечными. Длительная внутрикамерная кристаллизация базальтового расплава обусловила также внедрение на поздних этапах верхнеконьек-нижнесантонского вулканизма дайкообразных субвулканических тел и пластовых залежей. Особое место в ряду описываемых структур занимает Папакарская структура, в которой на раннем этапе был интенсивно проявлен андезитовый вулканизм. Возможно, именно это обстоятель-

Таблица 60

Соотношение объемов (в %) вулканических пород в частных тектонических структурах – блоках центрального звена верхнемелового вулканического пояса северо-восточного склона Малого Кавказа

Структуры II порядка	Структуры-блоки III порядка	Возрастной интервал	I	2	3	4	5
Северо-восточ- ное крыло Ала- вердского ан- тиклиниория	Айрумский брахи- антеклинальный блок	н.коньяк- в.сантон	70%	-	5%	-	25%
	Лапакарский брахисинклиналь- ный блок	н.турон- в.сантон	15%	1%	-	70%	14%
	Боскепар-Шаварша- ванский брахианти- клинальный блок	н.коньяк- в.сантон	45%	-	-	22%	33%
Иджеванский прогиб	-	в.турон- н.сантон	75%	4%	20%	-	1%
Таузская моно- клиналь	Паравакарский блок	в.турон- н.сантон	90%	-	5%		5%
	Товуз-Неркинкармир- ахюрский блок	н.коньяк- в.сантон	60%	-	-	10%	30%

1. Оливин-плагиоклаз-цироксеновые базальты и долериты; 2. Оливиновые долериты; 3. Андезито-базальты; 4. Андезиты; 5. Кислые эфузивы.

ство, наряду с большей "жесткостью" данной структуры, привело к "закупорке" тектонических каналов и, следовательно, к более длительному отстаиванию базальтовых расплавов в коре. Предполагается, что взаимодействие этих расплавов с глубинными, восстановительными и существенно натровыми флюидами могло привести к формированию очагов субвулканических андезитов, развитых как в пределах названного блока, так и вдоль западной границы смежного Воскепар-Шаваршаванского блока.

3) В верхнем сантоне проявляются резкие различия между вулканическими комплексами частных тектонических структур. В пределах каждого блока проявляется площадная зональность, выраженная в последовательном смещении верхнесантонских вулканических центров в северном (Айрумский, Папакарский блоки) или северо-восточном (Воскепар-Шаваршаванский, Иджеванский, Таузский блоки) направлении, в сторону центральной части Азербайджанской глыбы. В структурах с синклинальной тенденцией вулканизм сохранил основной (до среднего) состав, проявления кислых эфузивов крайне незначительны. В Иджеванском блоке формирование последовательного ряда оливин-плагиоклаз-пироксеновые базальты — двупироксеновые андезито-базальты — оливиновые долериты связано с углублением фронта магмообразования. В структурах с антиклинальной тенденцией проявляется интенсивный кислый вулканизм и происходит подъем фронта магмообразования. В этих структурах кислый вулканизм развивался независимо от предшествующего базальтового, на что указывают следующие факты: а) резкие переходы и несогласные соотношения между верхнеконьяк-нижнесантонским и верхнесантонским комплексами; б) одновременные излияния андезито-базальтов и выбросы кислой пирокластики на смежных участках Иджеванского и Воскепар-Шаваршаванского блоков; в) главный структурный контроль кислого вулканизма осуществлялся единой северо-западной полосой поднятия, трассирующей г. убинные разломы Предмалокавказской системы. Необходимо также подчеркнуть, что состав кислых эфузивов обнаруживает определенную связь с мощностью "гранито-метаморфического" слоя, которая в региональном плане возрастает с юго-запада на северо-запад /II, 12, 13, 14, 15/. В этом же направлении натровые эфузивы сменяются кали-натровыми и, далее, калиевыми. Этот факт позволяет связывать формирование их очагов с процессами плавления разнородных исходных субстратов на различных уров-

иях земной коры. Подобные условия определяются наличием упомянутой регионально-протяженной зоны глубинного разлома, дренирующего верхнюю мантию и служащего проводником глубинных флюидов. Последние по мере проникновения в более высокие структурные этажи земной коры при смещении в северо-западном направлении приобретают все более калиевый и окисленный состав. Взаимодействие глубинных флюидов с разнородным субстратом обуславливает, таким образом, особенности петрохимического облика палингенных магматических очагов. В вертикальном разрезе эти очаги располагались на глубинах порядка нескольких километров, во всяком случае интрапалеогеновая кристаллизация биотитовых разностей начиналась на глубинах 4–4,5 км, роговообманковых разностей – на больших глубинах (до 6–8 км).

Суммируя изложенные в данной главе конкретные особенности, определяющие тектонический режим развития Прикуриńskiej системы прогибов и условия проявления вулканических процессов, можно прийти к следующим выводам:

1. Развитие на тектонически зрелой коре континентального типа, преобладание процессов слабого компенсированного погружения, связанного с этапом морской трансгрессии в пределах всего Малого Кавказа (и Среднеземноморского пояса), брахиформный тип конседиментационных складок и определяемая глубинными разломами "сосредоточенная проникаемость земной коры" (по терминологии В.В.Белоусова) позволяют рассматривать данный регион как краевой прогиб на активной окраине Азербайджанской глыбы и классифицировать тектонический режим его развития на верхнемеловом этапе как режим срединных массивов, который выделяется В.В.Белоусовым /167/ в качестве особого типа в классе геосинклинальных режимов. Сохранение морских мелководных условий приводило к периодическому нивелированию вулканического основного рельефа.

2. Для объяснения особенностей вулканических процессов и одновременных извержений продуктов различного состава в пределах различных структур-блоков принимается "модель с серией глубинных (мантийно-коровых) очагов" /128, 148/. На фоне относительно стабильных тектонических условий магматический контроль осуществлялся попеременно поперечными (базальтовый вулканализм) и продольными (кислый вулканализм) разломами.

3. Наличие жесткого консолидированного фундамента обусловило задержку глубинных расплавов (и флюидов) на более высо-

ких структурных этажах, образование приповерхностных промежуточных вулканических очагов, в которых осуществлялись продолжительная интрапеллурическая кристаллизация и окисление глубинных флюидов. Высокая степень порфировости почти всех петрографических разностей изученной серии указывает на то, что лавы изливались (или внедрялись в слабоуплотненные слои вулканических брекчий) в негомогенном состоянии при температуре ниже ликвидуса. Этому способствовало длительное сохранение флюидной фазы в расплаве, которое приближает условия начальной кристаллизации данных расплавов к таковым глубинных пород.

ЗАКЛЮЧЕНИЕ

Проведенное исследование вулканических пород "непрерывной" ассоциации среднего звена Прикуринского (Предмалокавказского) верхнемелового вулканического пояса, включающее изучение химизма пордообразующих минералов, соотношения составов существующих фаз фенокристаллов и общего химизма пород, приводит к выводу, что данная вулканическая серия гетерогенна по происхождению. В пределах изученного региона, обладающего глубинным блоковым строением, формирование естественных рядов базальт → андезито-базальт, базальт → липарит, андезит → липарит в различных структурах-блоках является отражением изменения химизма различных магматических очагов.

Наиболее существенные особенности химизма пород (и минералов) изученной вулканической серии, состоящие в недосыщенности кремнеземом состава оливиновых базальтов (и вкрапленников клинопироксена в них) и в проявлении трахитового уклона поздних дифференциатов кислых эфузивов, тесно увязываются с геотектоническим режимом региона, отвечающим режиму срединных массивов. В последних верхняя часть мантии находится при меньшем давлении и глубинная зональная система магмообразующих субстратов оказывается относительно фронта магмообразования приподнятой выше, чем в смежных участках взаимодействующей с массивом геосинклинали.

ЛИТЕРАТУРА

1. АСЛАНЯН А.Т. Региональная геология Армении. Ереван, Айнетрат, 1958.
2. АТАБИКЯН А.А. Стратиграфия меловых отложений междуречья Агстев и Инджа-су (Северная Армения). Автореф. канд. дис. Ленинград-Ереван, 1954.
3. Геология СССР, т.43, Армянская ССР. Геологическое описание. М., Недра, 1970.
4. ТУМАНИН Г.А. Позднемезозойская структура междуречья Дебед и Агстев (Сев. Армения). Автореф. канд. дис., Ереван, 1975.
5. САТИАН М.А. Литология и палеогеография меловых отложений междуречья р. Инджа-су, ср. течения р. Агстев и р. Гасан-су (Северная Армения). Автореф. канд. дис., Ереван, 1960.
6. МНАЦАКАНЯН А.Х. Меловые вулканические серии Северной Армении и связанное с ними минералообразование. Автореф. канд. дис., Ереван, 1964.
7. ДЖРБАШЯН Р.Т., ЕЛИСЕЕВА О.П., МНАЦАКАНЯН А.Х., ОСТРОУМОВА А.С., ФАВОРСКАЯ М.А. Связь мелового и палеогенового вулканализма Армении с типами развития геосинклинальных прогибов. М., Наука, 1968.
8. ДЖРБАШЯН Р.Т., МАЛХАСЯН Э.Г., МНАЦАКАНЯН А.Х. Основные закономерности эволюции мезо-кайнозойского вулканализма Армении. В кн.: Материалы докладов II регионально-петрографического совещания по Кавказу, Крыму и Карпатам. Тбилиси, 1978.
9. АБДУЛЛАЕВ Р.Н. Мезозойский вулканализм северо-восточной части Малого Кавказа. Баку, 1963.
10. ГАБРИЕЛЯН А.А., ПИРУЗЯН С.А. Сейсмотектоническая схема Армении и сопредельных частей Антикавказа. - Изв. АН АрмССР, сер. "Науки о Земле", 1972, т. XXV, № 4.
11. АСЛАНЯН А.Т., ВИГУНИ А.Т., МИЛАЙ Т.А., НИКОЛЬСКИЙ Ю.И., СИРОТКИНА Т.Н. Основные черты тектоники АрмССР в свете новых геолого-геофизических данных. - Изв. АН АрмССР, сер. "Науки о Земле", 1975, т. XXVII, № 6.

12. ОГАНИСЯН Ш.С. Изостатические аномалии силы тяжести и новейшие движения земной коры на территории АрмССР. - Изв. АН АрмССР, сер. "Науки о Земле", 1972, т. XXI, № 4.
13. НИКОЛЬСКИЙ Ю.И., СИРОТКИНА Т.Н., МИЛАЙ Т.А. Некоторые черты тектоники и истории геологического развития территории Армении по данным геофизики. - В кн.: Методы разведочной геофизики. Вып. I2, Л., Недра, 1971.
14. АРУТОЮНЯН А.Р. Особенности блокового строения и структурного плана поверхности элибайкальского основания центральной и северо-западной части АрмССР. - Изв. АН АрмССР, сер. "Науки о Земле", 1976, т. XXIX, № 3.
15. ЦИМЕЛЬЗОН И.О. Глубинное строение и тектоника Азербайджана по данным геофизических исследований. - Сов.геол., 1965, № 4.
16. ОГАНИСЯН Ш.С. Геологическая характеристика регионального гравитационного поля Армении. - В сб.: Геофизические и сейсмологические исследования строения земной коры территории Армянской ССР. Ереван, АН АрмССР, 1975.
17. МНАЦАКАНЯН А.Х. О цеолитизации верхнемеловых вулканических пород севера Армянской ССР. - Изв. АН АрмССР, сер. "Науки о Земле", 1965, т. XIX, № 5.
18. ГОДЛЕНСКИЙ М.Н., БАТАЛИЕВ А.Д. Фемические минералы дифференцированных траповых интрузий. - Минералогический сборник, № I2. Изд. Львовского университета, 1958.
19. WILLIE P.J. Discrepancies between optic axial angles of olivines measured over different bisectrices. - Amer. Mineralogist, 1959, v.44, N 1-2.
20. YODER H.S., SAHAMA TH.G. Olivine X-ray determinate curve. - Amer. Mineralogist, 1957, v.42, p.475.
21. JAHANBAGLOO J.C. X-ray diffraction study of olivine solid solution series. - Amer. Mineralogist, 1969, v.54, N 1-2.
22. JAMBOR J.L. Olivine composition determination with small-diameter X-ray powder cameras. - Miner. Magazine, 1964, v. 33, N 264.
23. BONNE G.M., FERNANDEZ L.A. Phenocrystic olivines from easter Azores. - Miner. Magazine, 1971, v. 38, N 294.
24. SAHAMA TH. G., HYTONEN KAI. Calcium-bearing magnesium-iron olivines. - Amer. Mineralogist, 1958, v. 43, N 9-10.
25. ИЛЬВИШКИЙ М.И., КОЛБАНЦЕВ Р.В. Парагенетические типы и статистический анализ химизма оливинов. - ДАН СССР, 1968, т. I79, № 6.

26. СОБОЛЕВ В.С. Значение железистости фемических минералов и вспомогательные диаграммы для определения состава биотитов, роговых обманок и ромбических пироксенов. - Минералогический сборник, № 4. Изд. Львовского университета, 1950.
27. ДОБРЕНОВ Н.А., КОЧКИН Ю.Н., КРИВЕНКО А.П., КУТОЛИН В.А. Породообразующие пироксены. М., Наука, 1971.
28. ДИР У.А., ХАУИ Р.А., ЗУСМАН Дж. Породообразующие минералы, т. I-5, М., 1965, 1966.
29. LEAKE B.E. Optical properties and composition in the orthopyroxene series. - Miner. Magazine, 1968, v. 36, N 281.
30. ZWAAN P.C. The determination of pyroxenes by X-ray powder diagrams. - Leidse. Geol. Meded., 1955, v. 19.
31. HOWIE R.A. The geochemistry of the charnockite series of Madras, India. - Trans. Roy. Soc. Edinburgh, 1955, 62, p. 725.
32. HESS H.H. Chemical composition and optical properties of common clinopyroxenes. - Amer. Mineralogist, 1949, V.34, N 9-10.
33. WITKIND J.J. Clinopyroxenes from acidic, intermediate and basic rocks, Little Belt Mountains, Montana. - Amer. Mineralogist, 1969, v. 54, N 7-8.
34. ГИНЗБУРГ И.В. Обзор систематики пироксенов. - В сб.: Минералы базитов в связи с вопросами петрогенезиса. М., Наука, 1970.
35. СОБОЛЕВ В.С. Введение в минералогию силикатов. Львов, 1949.
36. KUSHIRO J. Si-Al relation in clinopyroxenes from igneous rocks. - Amer. Journ. of Science, 1960, v.258, N 8.
37. LE BAS M.J. The role of aluminum in igneous clinopyroxenes with relation to their parentage. - Amer. Journ. of Science, 1962, v. 260, N 4.
38. CARMICHAEL J.S.E., NICHOLLS J., SMITH A.L. Silica activity in igneous rocks. - Amer. Mineralogist, 1970, v.55, N 1-2.
39. БИЛЕНСКИЙ А.М., ЗЕДГЕНИЗОВ А.Н. О влиянии щелочности и кремнекислотности на состав магматических клинопироксенов. - ДАН СССР, 1969, т. 186, № 2.
40. ГИНЗБУРГ И.В., СИДОРЕНКО Г.А. Некоторые особенности кристаллохимии пироксенов, выявленные при их диагностике по дебаеграммам. - Минералы СССР. Тр. Минер. музея. Вып. 15. 1964.
41. BROWN G.M. The effect of ion substitution on the unit-cell dimensions of the common clinopyroxenes. - Amer. Mineralogist, 1960, v. 45, p. 15.

42. VISWANATAN K. Unit-cell dimensions and ionic substitutions in common clinopyroxenes. - Amer. Mineralogist, 1966, v. 51, N 3-4.
43. KUNO H., HESS H.H. Unit-cell dimensions of clinoenstatite and pigeonite in relation to other common clinopyroxenes. - Amer. Journ. of Science, 1953, v. 251, p. 741.
44. BROWN G.M. Pyroxenes from the early and middle stages of fractionation of the Skaergaard magma. - Miner. Magazine, 1957, v. 31, p. 511.
45. LEFEVRE P.C. Заметка о значении параметра "B" в ячейке клинопироксенов. - Bull. Soc. Franc. Miner. et Cristallogr., 1969, v. 92, N 1.
46. ЛОДОЧНИКОВ В.Н. Главнейшие породообразующие минералы. M., Госгеолтехиздат, 1955.
47. WILKINSON J.P.G. Some aspects of the calciferous amphiboles, oxyhornblende, kaersutite and barkevikite. - Amer. Mineralogist, 1961, v. 46, N 3-4.
48. КОРИКОВСКИЙ С.П. Влияние щелочности на состав кальциевых амфиболов в магматических породах. - ДАН СССР, 1966, т.171, № 5.
49. HARRY W.T. Aluminium replacing silicon in some silicate lattices. - Miner. Magazine, 1950, v.29, p. 142.
50. COLVILLE P.A., ERNST W.G., GILBERT. Relationship between cell parameters and chemical compositions of monoclinic amphiboles. - Amer. Mineralogist, 1966, v.51, N 11-12.
51. JAKES P., WHITE A.J.R. Hornblendes from calc-alkaline volcanic rocks of island arcs and continental margins. - Amer. Mineralogist, 1972, v. 57, N 5-6.
52. WONES D.R., EGSTER H.P. Stability of biotite: experiment, theory and application. - Amer. Mineralogist, 1965, v.50, N 9.
53. МАРАКУШЕВ А.А., ТАРАРИН И.А. О минералогических критериях щелочности гранитоидов. - Изв. АН СССР, сер. геол., 1965, № 3.
54. GOWER J.A. X-ray measurement of the iron-magnesium ratio in biotites. - Amer. Journal of Science, 1957, v. 255, N 2.
55. BLACKERBY B.A. Covolute zoning of plagioclase phenocrysts in miocene volcanics from the western Santa Monica Mountains, California. - Amer. Mineralogist, 1968, v.53, N 5-6.

56. МАРЧУНИН А.С. Полевые шпаты - фазовые взаимоотношения, оптические свойства, геологическое распределение. - Тр. ИГЕМ, вып. 78, М., 1962.
57. SMITH J.V., GAY M.A. The powder patterns and lattice parametres of plagioclase feldspars. II. - Miner. Magazine, 1958, v. 31, N 240.
58. TSUBOI S. Оптические методы определения низко- и высокотемпературных плагиоклазов. I, II, III. - Proc. Japan. Acad., 1968, v. 44, N 3.
59. КАМЕНЦЕВ И.Е. и др. Рентгеновское определение состава и упорядоченности плагиоклазов. - В сб.: Кристаллохимия и структура минералов. Л.: Наука, 1974.
60. RIBBE P.H. One-parameter characterization of the average Al/Si distribution in plagioclase feldspars. - Journ. of Geophys. Research, 1972, v. 77, N 29.
61. SLEMMONS D.B. Observation on order-disorder relation of natural plagioclases. - Norsk. Geol. Tidsskr., 1962, Bd. 42, N 2.
62. BAMBAUER H.V., CORLETT M., EBERHARD E., VISWANATHAN K. Diagrams for the determination of plagioclases using X-ray powder methods. III. - Schweiz. Miner. Petrog. Mitt., 1967, Bd. 47, N 1.
63. HOFFER J.M. Compositional variations of plagioclases from a basaltic lava flow. - Amer. Mineralogist, 1966, v. 51, N 5-6.
64. HOFFER J.M. Order-disorder relationships of plagioclases in a porphyritic basalt flow. - Amer. Mineralogist, 1968, v. 53, N 5-6.
65. CARMICHAEL J.S.E. The feldspar phenocrysts of some Tertiary acid glasses. - Min. Magazine, 1960, v. 32, N. 251.
66. КУЗНЕЦОВА Л.Г., СТАНКЕВИЧ Е.К., ЦЕНТЕР И.Я. Метод ИК-спектроскопии в исследовании структурного состояния плагиоклазов. - В сб.: Минералы и парагенезисы минералов магматических и метасоматических горных пород. Л., Наука, 1974.
67. СОСЕДКО Т.А. Рентгеновский экспрессный метод определения степени упорядоченности калиевых полевых шпатов. - В сб.: Кристаллохимия и структура минералов. М., Наука, 1974.
68. BASTA E.Z. Some mineralogical relationships in the system Fe_2O_3 - Fe_3O_4 and the composition of titanomagnetite. - Econ. Geology, 1959, v. 54, N 4.

69. ЦЕНТЕР И.Я., КАПРАЛОВА К.П., КУЗНЕЦОВА Н.В. Об изменении состава и свойств магнетита в эфузивную стадию кристаллизации андезитового расплава. - В сб.: Минералы и парагенезис минералов магматических и метасоматических горных пород. Л., Наука, 1974.
70. VINCENT E.A., WRIGHT J.B., CHEVALLIER B.A., MATHIEU S. Heating experiments on some natural titaniferous magnetites. - Min. Magazine, 1956, v. 31, N 239.
71. ЦВЕТКОВ А.И., МИСНИКОВ В.С., ЩЕПОЧКИНА Н.И., МАТВЕЕВА Н.А. О природе пластинчатых образований в титаномагнетитах. - Изв. АН СССР. Сер. геол., 1965, № 2.
72. HAGG G. Die Kristallstruktur des magnetischen Ferrioxyds. - Zc. Phys. Chem. (Leipzig), 1935, Bd.29, Hf. 1.
73. НАГАТА Т. Магнетизм горных пород, М., Мир, 1965.
74. AKIMOTO S., KATSURA P., JOSHIDA M. Magnetic properties of TiO_2 - Fe_2O_4 - Fe_3O_4 system and their change with oxidation. - J. Geomag. and Geoelectricity, 1957, v.9, N 4.
75. BASTA E.Z. Natural and synthetic titanomagnetites (The system Fe_3O_4 - Fe_2TiO_4 - $Fe Ti O_3$). - Neues Jahrbuch für Mineralogie, Abhandlungen, 1961, Band. 94, 2 Häfte.
76. VINCENT E.A. Ulvöspinel in the Skaergaard Intrusion, Greenland. - Neues Jahrbuch für Mineralogie, Abhandlungen, 1960, Band 94, 2 Häfte.
77. Печерский Л.М., Шаронова З.В. О происхождении магнетита в магматических породах основного состава. - Изв. АН СССР, сер. Физика Земли, 1970, № 8.
78. ЙОДЕР Г.С., ТИЛЛИ К.Э. Происхождение базальтовых магм. М., Мир, 1965.
79. КАМЕНЦЕВ И.Е., ПРИЯТКИН А.А. Изменение параметров элементарной ячейки кварца в зависимости от условий его образования в различных магматических породах Большого Хингана. - В кн.: Рентгенография минерального сырья, сб. З. М., Госгеолтехиздат, 1961.
80. УСТИЕВ Е.К. Андайский вулкан и проблемы четвертичного вулканизма северо-востока СССР. М., Госгеолтехиздат, 1961.
81. BOWEN N.L., TUTTLE O.F. Synthetic granites and their melting behavior under high H_2O pressure. - Amer. Mineralogist, 1952, v. 37, N 3-4.
82. ФОН ПЛАТЕН Г. Экспериментальное исследование анатексиса и генезис магматитов. - В сб.: Природа метаморфизма. М., Мир, 1967.

83. ЗАВАРИЦКИЙ А.Н., СОБОЛЕВ В.С. Физико-химические основы петрографии изверженных горных пород. М., Госгеолтехиздат, 1961.
84. НАСЕДКИН В.В. Водосодержащие вулканические стекла кислого состава, их генезис и изменения. Тр. ИГЕМ АН СССР, вып. 98, М., 1963.
85. BOYD F.R. The system $MgSiO_3$ - $CaMgSi_2O_6$. - J. Petrology, 1964, v. 5, N 6.
86. ГРИН Д.Х., РИНГВУД А.Э. Происхождение базальтовых магм. В сб.: Петрология верхней мантии. М.: Мир, 1968.
87. WILKINSON J.F.G. The olivines of a differentiated Tschernite Sill Near Cunnedah. New South Wales.-Geol. Mag. 1956, v. 93.
88. SMITH D., LINDSLEY D.H. Stable and metastable augite crystallization in a single basalt flow. - Amer. Mineralogist, 1971, v. 56, N 1-2.
89. ОСТРОУМОВА А.С., ЦЕНТРП И.Я., СЫСОЕВ А.Г. Состав и оптические свойства породообразующих минералов как показатель глубинности кристаллизации базальт-андезитовых расплавов. ЗВМО, вторая серия, 1976, ч. I05, вып. 2.
90. SCHÖRER G. Die Pyroxene tertärer Vulkanite des Vogelsberges. - Chem. Erde, 1970, Bd. 29, Heft 2.
91. RAMBERG H., DE-VORE G.W. The distribution of Fe^{+2} and Mg^{+2} in coexisting olivines and pyroxenes. - J. of Geology, 1951, v. 59, N 3.
92. BARTH T.F.W. The feldspar geologic thermometers. - Neues Jahrbuch Mineral. Abhandl., 1951, Bd. 82.
93. BUDDINGTON A.F., LINDSLEY D.H. Iron-titanium oxide minerals and synthetic equivalents. - J. Petrology, 1964, v. 5, N 2.
94. KRETZ R. Distribution of magnesium and iron between orthopyroxene and calcic pyroxene in natural mineral assemblages. - J. Geol., 1963, v. 71, N 6.
95. GHOSE S. The nature of Mg^{+2} - Fe^{+2} distribution in some ferromagnesian silicate minerals. - Amer. Mineralogist, 1962, v. 47, N 3-4.
96. ПОЛКАНОВ А.А., ЕЛИСЕЕВ Н.А., ЕЛИСЕЕВ Э.Н., КАВАРДИН Г.И. Массив Гремяха-Вырмес на Колымском полуострове. М.-Л.: Наука, 1967.
97. I Международный геохимический конгресс. Том I. Магматические процессы, М.. Мир. 1972.

98. САКСЕНА С. Термодинамика твердых растворов породообразующих минералов. М.: Мир, 1975.
99. SAXENA S.K. Krystal-chemical Aspects of distribution of elements among certain Coexisting Rock-forming silicates. - Neues Jahrbuch Miner. Abhand., Band. 108, Heft 3. (Stuttgart), 1968.
100. SAXENA S.K. Mg^{+2} - Fe^{+2} order-disorder in orthopyroxene and the Mg^{+2} - Fe^{+2} distribution between coexisting minerals. - Lithos, 1971, N 4. p. 345.
101. ПЕРЧУК Л.Л. Равновесия породообразующих минералов. М.: Наука, 1970.
102. ПЕРЧУК Л.Л. Термодинамический режим глубинного петrogenезиса. М.: Наука, 1973.
103. ПЕРЧУК Л.Л., РЯБЧИКОВ И.Д. Фазовое соответствие в минеральных системах. М.: Недра, 1976.
104. ХЭТЧ Ф., УЭЛЛС А., УЭЛЛС М. Петрология магматических пород. М.: Мир, 1975.
105. КУШИРО И., ШЕРЕР И.Ф. Новые данные по системе диопсид-форстерит-кремнезем. - В сб.: Экспериментальная петрология и минералогия. М.: Недра, 1969.
106. ГРИН Т.Х., РИНГВУД А.Э. Происхождение магматических пород известково-щелочного ряда. - В кн.: Петрология верхней мантии. М.: Мир, 1968.
107. ГРИН Д.Х., РИНГВУД А.Э. Происхождение базальтовых магм. - В кн.: Происхождение главных серий изверженных пород по данным экспериментальных исследований. Л.: Недра, 1970.
108. КУШИРО И., ЙОДЕР Г.С. Реакция между форстеритом и аортитом при высоких давлениях. - В кн.: Экспериментальная петрология и минералогия. М.: Недра, 1971.
109. ВОЛЬНЕЦ О.Н., ЩЕКА С.А., ДУБЫК Ю.М. Оливин-аортитовые включения вулканов Камчатки и Курил. - В сб.: Включения в вулканических породах Курило-Камчатской островной дуги. М.: Наука, 1978.
110. КАДИК А.А., ЛУКАНИН О.А., МУРАВЬЕВА Н.С. Система форстерит-аортит-вода при 3000 атм. (Хитаров Н.И. Хроника семинара экспериментаторов). - Геохимия, 1970, № 9.
- III. DUKE J.M. Distribution of the Period four transition elements among olivine, calcic clinopyroxene and mafic silicate liquid: experimental results. - J. of Petrology, 1976, v. 17, part 4.

- III2. СОБОЛЕВ В.С. Петрология траппов Сибирской платформы. - Тр. Арктич. ин-та, 1936, т. 43.
- III3. ПОЛЯКОВ А.И., ИЛЬИН Н.П., МУРАВЬЕВА Н.С. Условия кристаллизации пород риолит-базальтовой ассоциации Исландии (по данным состава минералов-вкрапленников и коэффициентов распределения). - Геохимия, 1976, № 7.
- III4. КРИВЕНКО А.П., ОРЛОВ Д.М. Пироксены габбро-сиенитовой формации Алтас-Саянской области. - В сб.: Проблемы петрологии ультраосновных и основных пород. М.: Наука, 1972.
- III5. ФБОКТИСТОВ Г.Д. Чунский диабазовый силл. - ДАН СССР, 1960, т. 130, № 2.
- III6. ФБОКТИСТОВ Г.Д., УЩАПОВСКАЯ З.Ф., ВАСИЛЬЕВ Т.А., ЛАХНО Т.А., ЕЛИЗАРЬЕВА Т.И. Минералогия траппов юга Сибирской платформы. Новосибирск: Наука, 1975.
- III7. MURRAY R.J. The clinopyroxenes of the Garbh Eilien sill, Shiant Isles. - Geol. Magazine, 1954, v. 91, N 1.
- III8. ЙОДЕР Г.С., ТИЛЛИ К.Э., ШЕРБЕР И.Ф. Пироксены и минералы, ассоциирующие с ними в земной коре и мантии. Пироксеновый четырехугольник. - В кн.: Экспериментальная петрология и минералогия. М.: Недра, 1969.
- III9. LARSEN E.S., IRVING F.A., GONYER J. Petrologic results of a study of minerals from the Tertiary volcanic rocks. - Amer. Mineralogist, 1937, v. 22, N 8.
- III10. ТАРАРИН И.А. Минеральные фации гранитоидов малой и средней глубинности Дальнего Востока. М.: Наука, 1971.
- III11. CARMICHAEL J.S.E. The iron-titanium oxides of salic volcanic rocks and their associated ferromagnesian silicates. - Contrib. to Mineral. and Petrol., 1967, v. 14, N 1.
- III12. БАРТ Т.Ф. Измерения палеотемператур гранитных пород. - В кн.: Чтения им. В.И.Вернадского. IV, М.: АН СССР, 1962.
- III13. ФИРШТАЕР Г.Б., БОРОДИНА Н.С. Петрология магматических гранитоидов. М.: Наука, 1975.
- III14. РЯБЧИКОВ И.Д. Термодинамика флюидной фазы гранитоидных магм. М.: Наука, 1975.
- III15. МИАЦАКАНИЯН А.Х., ХУРИШДЯН Э.Х. Железо-титановые окисные минералы-вкрапленники в вулканических породах верхнемеловой серии Северной части Армянской ССР. - Изв. АН АрмССР, сер. Науки о Земле, 1976, № 1.

126. ПОЛТАВЕЦ Ю.А. Обсуждение титаномагнетитового геотермометра Баддингтона-Линдсли на основе сравнительного анализа равновесий шинелидов магнетитовой серии. - Изв. АН СССР, сер. геол., 1975, № 6.
127. THORNTON C.P. Chemistry of igneous rocks. I. Differentiation index.-Amer.Journ.of Science, 1960, v.258, p. 664.
128. БЕЛОУСОВ А.Ф. Проблемы анализа эфузивных формаций. Новосибирск: Наука, 1976.
129. КУТОЛИН В.А. Проблемы петрохимии и петрологии базальтов. Новосибирск: Наука, 1978.
130. БАКУМЕНКО И.Т., ДОБРЕЦОВ Н.Л. и др. Глубинные ксенолиты и верхняя мантия. Новосибирск: Наука, 1975.
131. БАСИНА В.А. Ультраосновные вулканические породы. - Геол. и геофиз. 1975, № 8.
132. ВИНКЛЕР Г. Генезис с метаморфических пород. М.: Мир, 1969.
133. ВИНКЛЕР Г., ФОН ПЛАТЕН Х. Экспериментальный метаморфизм и анатексис. Новосибирск: Наука, 1968.
134. КАДИК А.А., ЛЕБЕДЕВ Е.Б., ХИТАРОВ Н.И. Вода в магматических расплавах. М.: Наука, 1971.
135. ХИТАРОВ Н.И., НАГАШТЕЯН Л.Б., ЛЕБЕДЕВ Е.Б. Особенности кристаллизации кислых расплавов (экспериментальное исследование). - Геохимия, 1969, № 3.
136. ROEDER P.L., EMSLIE R.F. Olivine-liquid equilibrium. - Contrib. Mineral. and Petrol., 1970, v. 29, N 4.
137. ВАГАНОВ В.И., КУЗНЕЦОВ И.Е. Определение температур кристаллизации оливина ультраосновных и основных пород. - В сб.: Современные методики петрологических исследований. М.: Наука, 1976.
138. ХИТАРОВ Н.И., НАГАШТЕЯН Л.Б., ЛЕБЕДЕВ Е.Б. Кристаллизация расплава дацитового состава в условиях давления водяного пара от 500 до 3000 кг/см². - Геохимия, 1969, № 1.
139. БАЗАРОВА Т.Ю., БАКУМЕНКО И.Т., КОСТОЮК В.П., ПАНИНА Л.И., СОБОЛЕВ В.С. Температурные условия кристаллизации главнейших типов изверженных горных пород (по данным гомогенизации включений расплавов в минералах). - В сб.: Геохимия, минералогия, петрология. (Докл. сов. геологов, XXI серия МГК) М.: Наука, 1976.
140. ЛЕТНИКОВ Ф.А., КАРПОВ И.К., КИСЕЛЕВ А.И., ШКАНДРИЙ Б.О. Флюидный режим земной коры и верхней мантии. М.: Наука, 1977.

141. ФРОЛОВА Т.И., БУРИКОВА И.А., КОСТИНА Р.И., РОГОВ В.И. Эволюция флюидного режима в процессе развития геосинклинального вулканизма Южного Урала. - В кн.: Очерки геологической петрологии. М.: Наука, 1976.
142. FUDALY R.F., MUAN A., OSBORN E.F. Oxygen fugacities of basaltic magmas. - Geol. Soc. Amer., Spec. Paper, 1962, 68.
143. ЛЕТНИКОВ Ф.А. Гранитоиды глыбовых областей. Новосибирск; Наука, 1975.
144. GIBBON D.L., WYLLIE P.J. Experimental studies of igneous rock series: The Farrington complex, North Carolina and the Star Mountain Rhyolite, Texas. - J. of Geology, 1969, v.77, N 2.
145. КОРМИНСКИЙ Д.С. Зависимость степени окисления железа в магме от щелочности. - ДАН СССР, 1978, т. 238, № 4.
146. ЕЛИСЕЕВ Э.Н. Физико-химическое моделирование. Л.: Наука, 1975.
147. МАРАКУШЕВ В.А., БЕЗМЕН Н.И., БОКША С.С., ЧЕСНОКОВ В.И. К проблеме генезиса мономинеральных магм. - В кн.: Очерки физико-химической петрологии, вып. УП, М.: Наука, 1978.
148. ФАВОРСКАЯ М.А., ТОМСОН И.Н., ИВАНОВ Р.Г., БАСКИНА В.А., ВОЛЧАНСКАЯ И.К., ДЕЖИН Ю.П., КРАВЦОВ В.С., ФРИХ-ХАР Д.И. Связь магматизма и эндогенной минералогии с блоковой тектоники. М.: Недра, 1969.
149. АДАМИЯ Ш.А., ЗАКАРИАДЗЕ Г.С., ЛОРДКИПАНИДЗЕ М.Б. Эволюция древней активной континентальной окраины на примере альпийской истории Кавказа. - Геотектоника, 1977, № 4.
150. ГАМКРЕЛИДЗЕ И.П. Механизм формирования тектонических структур и некоторые общие проблемы тектогенеза. Тбилиси; Мецниреба, 1977.
151. АБДУЛЛАЕВ Р.Н., МУСТАФАЕВ Г.В., ГАСАНОВ Р.К., МУСТАФАЕВ М.А. Кислые геосинклинальные вулканиты северо-восточной части Малого Кавказа. - В сб.: Проблемы петрологии. М.: Наука, 1976.
152. АСЛАНЯН А.Т., САТИАН М.А. К геологической характеристике офиолитовых поясов Закавказья. - Изв. АН АрмССР, сер. Наука и Земле, 1977, т. XXX, № 4-5.
153. ШИХАЛЬБЕЙЛИ Э.Ш. Геологическое строение и история тектонического развития восточной части Малого Кавказа (в пределах Азербайджана). Т.2, Баку, АН Аз.ССР, 1966.

154. ГОГИШВИЛИ В.Г., ГОГИШВИЛИ Т.Ш., ЗУЛИАШВИЛИ Т.Г., СУХИШВИЛИ А.И., ЧОХОНЕЛИДЗЕ М.И., МУЧКРИДЗЕ Н.К. Петрология кислых пород верхнемеловой вулканогенной толщи Южной Грузии и некоторые вопросы блоковой тектоники. - В сб.: Проблемы геологии и металлогении Кавказа, Тбилиси: Мецниереба, 1976.
155. БЕЛОУСОВ В.В. Основы геотектоники. М.: Недра, 1975.

О Г Л А В Л Е Н И Е

Предисловие	5
I. ГЕОЛОГИЧЕСКОЕ СТРОЕНИЕ И СОСТАВ ВЕРХНЕМЕЛОВОЙ ВУЛКАНИЧЕСКОЙ СЕРИИ СЕВЕРНОЙ ЧАСТИ АРМЯНСКОЙ ССР	8
II. О ГЛУБИННОМ СТРОЕНИИ СЕВЕРО-ВОСТОЧНОЙ ЧАСТИ АРМЯНСКОЙ ССР	17
III. КРАТКАЯ ПЕТРОГРАФИЧЕСКАЯ ХАРАКТЕРИСТИКА ВЕРХНЕМЕЛОВЫХ ВУЛКАНИЧЕСКИХ ПОРОД	20
IV. СОСТАВ ПОРОДООБРАЗУЮЩИХ МИНЕРАЛОВ ВЕРХНЕМЕЛОВОЙ ВУЛКАНИЧЕСКОЙ СЕРИИ СЕВЕРНОЙ ЧАСТИ АРМЯНСКОЙ ССР	28
Оливин	28
Гиперстен	34
Клинопироксен	40
Роговая обманка	54
Биотит	62
Полевые шпаты	73
а) Плагиоклаз	73
б) Сандиния	82
Магнетит	87
Ильменит	98
Хромшпинель	101
Кварц	101
Особенности состава базиса (основных масс) верхнемеловых вулканических пород	102
Особенности кристаллизации полевых шпатов в породах верхнемеловой вулканической серии	114
Особенности кристаллизации пироксенов в породах верхнемеловой вулканической серии	118
V. СООТНОШЕНИЯ СОСТАВОВ СОСУЩЕСТВУЮЩИХ МИНЕРАЛОВ-ВКРАПЛЕНИКОВ В ПОРОДАХ ВЕРХНЕМЕЛОВОЙ ВУЛКАНИЧЕСКОЙ СЕРИИ СЕВЕРНОЙ АРМЕНИИ	123
Оливин-плагиоклаз	125
Оливин-клинопироксен	128
Оливин-хромшпинель	132
Плагиоклаз-клинопироксен	133
Плагиоклаз-гиперстен	136
Гиперстен-клинопироксен	138
Клинопироксен-роговая обманка	141

Плагиоклаз-роговая обманка	144
Биотит-клинопироксей	146
Гиперстен-роговая обманка	148
Плагиоклаз-санидин	149
Плагиоклаз-биотит	150
Санидин-биотит	150
Санидин-биотит-магнетит	151
Магнетит-ильменит	154
Распределение титана между вкрапленниками амфибола- магнетита и биотит-магнетита (маггемита) в породах ли- паритовой группы	157
У1. ХИМИЗМ ПОРОД ВЕРХНЕМЕЛОВОЙ ВУЛКАНИЧЕСКОЙ СЕРИИ СЕВЕР- НОЙ АРМЕНИИ И ОБЩИЕ ЗАКОНОМЕРНОСТИ ОБРАЗОВАНИЯ АССО- ЦИАЦИЙ ФЕНОКРИСТАЛЛОВ	160
У2. ОСНОВНЫЕ ВОПРОСЫ ПЕТРОЛОГИИ ВЕРХНЕМЕЛОВОЙ ВУЛКАНИЧЕ- СКОЙ СЕРИИ СЕВЕРНОЙ АРМЕНИИ	190
Температурный режим интрапетиурической кристаллизации	190
Режим кислорода и водного флюида	194
Обсуждение петрогенетических особенностей	212
Особенности геотектонического положения и пространст- венное распределение главных типов вулканических пород	220
Заключение	228
Литература	229

Мнацаканян Алла Хачатуровна

ПЕТРОЛОГИЯ ВЕРХНЕМЕЛОВОЙ ВУЛКАНИЧЕСКОЙ
СЕРИИ СЕВЕРНОЙ АРМЕНИИ

ИБ № 404

Редактор издательства Р. Г. Навасардян

Художник А. А. Зарян

Худож. редактор Г. Н. Горцакалян

Технич. редактор Р. Х. Геворкян

Корректор М. Б. Геворкян

ВФ 04863. Изд. 5407. Заказ 796 . Тираж 500

Сдано в производство 17. 07. 1981 г.,

подписано к печати 8. 05. 1981 г. Печ. 15,25 л.+13 вкл,

Усл. печ. л. 20,25, изд. 15,66 л. Бумага № 1,

60x90 1/16. Цена 2 р. 60 к.

Издательство АН Армянской ССР.

375019 Ереван, Барекамутян, 24-г.

Типография Издательства АН Армянской ССР,

г. Эчмиадзин